



COMMISSARIO DELEGATO PER L'EMERGENZA
DETERMINATASI NEL SETTORE DEL TRAFFICO E DELLA MOBILITÀ NEL
TERRITORIO DELLE PROVINCE DI TREVISO E VICENZA

SUPERSTRADA A PEDAGGIO PEDEMONTANA VENETA

CONCESSIONARIO

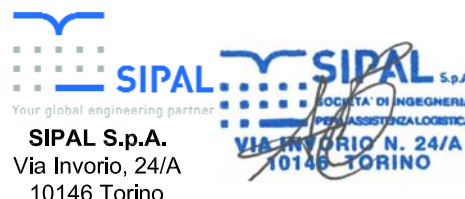


SPV srl
Via Inverio, 24/A
10146 Torino

Società di progetto ai sensi dell'art. 156 D.LGS 163/06
subentrato all'ATI



PROGETTISTA



RESPONSABILE PROGETTAZIONE



ORDINE DEGLI INGEGNERI
DELLA PROVINCIA DI CUNEO
1211 Dott. Ing. Claudio Dogliani

RESPONSABILE INTEGRAZIONE PRESTAZIONI SPECIALISTICHE



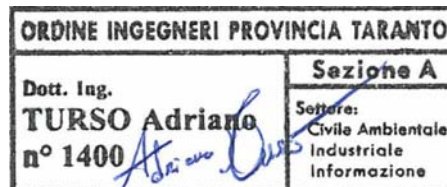
SUPPORTO ALLA PROGETTAZIONE DELL'INFRASTRUTTURA E DELLE OPERE CIVILI



COORDINATORE PER LA SICUREZZA IN FASE DI PROGETTAZIONE



GEOLOGO



N. Progr. _____
CARTELLA N. _____

PROGETTO DEFINITIVO
(C.U.P. H51B03000050009)

LOTTO 3 - TRATTA "C"
dal Km. 74+075 al Km 75+625

TITOLO ELABORATO: PROGETTO DELL'INFRASTRUTTURA
OPERE D'ARTE MINORI: OPERE DI SOSTEGNO
MURO PREFABBRICATO - MU.3C.016.N
Relazione di calcolo del muro

P V D S R A P M U 3 C 0 1 6 - 0 0 1 N 0 0 1 R A 0

SCALA: -

REV.	DESCRIZIONE	REDATTO	DATA	VERIFICATO	DATA	APPROVATO	DATA
0	PRIMA EMISSIONE	SICS	24/03/2014	SIPAL	26/03/2014	SIS	28/03/2014

IL RESPONSABILE DEL PROCEDIMENTO:

Ing. Giuseppe FASIOL

IL COMMISSARIO:

Ing. Silvano VERNIZZI

VALIDAZIONE:

PROTOCOLLO : _____

DEL: _____

**COMMISSARIO DELEGATO PER L'EMERGENZA DETERMINATASI NEL
SETTORE DEL TRAFFICO E DELLA MOBILITA' NEL TERRITORIO
DELLE PROVINCE DI TREVISO E VICENZA**

**SUPERSTRADA A PEDAGGIO
PEDEMONTANA VENETA**

PROGETTO DEFINITIVO

**OPERE D'ARTE MINORI: OPERE DI SOSTEGNO
MURO PREFABBRICATO – MU.3C.016.N
Relazione di calcolo del muro**

INDICE

INDICE	2
1. DESCRIZIONE DELL'OPERA.....	3
2. ESAME DEI RISULTATI.....	4
2.1. TRATTO F	4
2.1.1. TIPO F2 - MURO TRATTO F CON ALTEZZA FUORI TERRA DI 3M	4
2.1.2. TIPO F3 - MURO TRATTO F CON ALTEZZA FUORI TERRA DI 4M	40
2.1.3. TIPO F4 - MURO TRATTO F CON ALTEZZA FUORI TERRA DI 5M	76
2.1.4. TIPO F5 - MURO TRATTO F CON ALTEZZA FUORI TERRA DI 6M	112
2.1.5. TIPO GETTATO IN OPERA - ALTEZZA FUORI TERRA 5.50M < H < 11.00M	148

1. DESCRIZIONE DELL'OPERA

Nel presente elaborato sono riportati i calcoli statici (ottenuti mediante l'utilizzo del programma **MAX10.0**[®] Rel. 10.05a del 2010, distribuita dalla società AZTEC) delle strutture in calcestruzzo armato relativi alla realizzazione dei muri di controripa in c.a. compresi tra il km 74+075 e il Km 75+625 della tratta F del lotto 3C della Superstrada a pedaggio Pedemontana Veneta.

L'opera sarà realizzata mediante una piastra di fondazione sulla quale si innesteranno i paramenti verticali costituiti da lastre prefabbricate in cemento armato, a spessore costante, o in cemento armato gettato in opera, solidarizzate tramite un cordolo di collegamento in testa, secondo quanto indicato negli elaborati grafici di progetto.

2. ESAME DEI RISULTATI

2.1. TRATTO F

2.1.1. Tipo F2 - Muro tratto F con altezza fuori terra di 3m

Normativa

N.T.C. 2008 - Approccio 1

Simbologia adottata

γ_{Gsfav}	Coefficiente parziale sfavorevole sulle azioni permanenti
γ_{Gfav}	Coefficiente parziale favorevole sulle azioni permanenti
γ_{Qsfav}	Coefficiente parziale sfavorevole sulle azioni variabili
γ_{Qfav}	Coefficiente parziale favorevole sulle azioni variabili
$\gamma_{tan\phi}$	Coefficiente parziale di riduzione dell'angolo di attrito drenato
γ_c	Coefficiente parziale di riduzione della coesione drenata
γ_{cu}	Coefficiente parziale di riduzione della coesione non drenata
γ_{qu}	Coefficiente parziale di riduzione del carico ultimo
γ_r	Coefficiente parziale di riduzione della resistenza a compressione uniassiale delle rocce

Coefficienti di partecipazione combinazioni statiche

Coefficienti parziali per le azioni o per l'effetto delle azioni:

Carichi	Effetto		A1	A2	EQU	HYD
Permanenti	Favorevole	γ_{Gfav}	1.00	1.00	0.90	0.90
Permanenti	Sfavorevole	γ_{Gsfav}	1.30	1.00	1.10	1.30
Variabili	Favorevole	γ_{Qfav}	0.00	0.00	0.00	0.00
Variabili	Sfavorevole	γ_{Qsfav}	1.50	1.30	1.50	1.50

Coefficienti parziali per i parametri geotecnici del terreno:

Parametri		M1	M2	M2	M1
Tangente dell'angolo di attrito	$\gamma_{tan\phi}$	1.00	1.25	1.25	1.00
Coesione efficace	γ_c	1.00	1.25	1.25	1.00
Resistenza non drenata	γ_{cu}	1.00	1.40	1.40	1.00
Resistenza a compressione uniassiale	γ_{qu}	1.00	1.60	1.60	1.00
Peso dell'unità di volume	γ_r	1.00	1.00	1.00	1.00

Coefficienti di partecipazione combinazioni sismiche

Coefficienti parziali per le azioni o per l'effetto delle azioni:

Carichi	Effetto		A1	A2	EQU	HYD
Permanenti	Favorevole	γ_{Gfav}	1.00	1.00	1.00	0.90
Permanenti	Sfavorevole	γ_{Gsfav}	1.00	1.00	1.00	1.30
Variabili	Favorevole	γ_{Qfav}	0.00	0.00	0.00	0.00
Variabili	Sfavorevole	γ_{Qsfav}	1.00	1.00	1.00	1.50

Coefficienti parziali per i parametri geotecnici del terreno:

Parametri		M1	M2	M2	M1
Tangente dell'angolo di attrito	$\gamma_{tan\phi}$	1.00	1.25	1.25	1.00
Coesione efficace	γ_c	1.00	1.25	1.25	1.00
Resistenza non drenata	γ_{cu}	1.00	1.40	1.40	1.00
Resistenza a compressione uniassiale	γ_{qu}	1.00	1.60	1.60	1.00
Peso dell'unità di volume	γ_r	1.00	1.00	1.00	1.00

FONDAZIONE SUPERFICIALE

Coefficienti parziali γ_R per le verifiche agli stati limite ultimi STR e GEO

Verifica	Coefficienti parziali		
	R1	R2	R3
Capacità portante della fondazione	1.00	1.00	1.40

PV_D_SR_AP_MU_3_C_016-_001_N_001_R_A_0

Muro prefabbricato – MU.3C.016.N – Relazione di Calcolo

Scorrimento	1.00	1.00	1.10
Resistenza del terreno a valle	1.00	1.00	1.40
Stabilità globale		1.10	

Geometria muro e fondazioneDescrizione **Muro a mensola in c.a.**

Altezza del paramento	3.00 [m]
Spessore in sommità	0.10 [m]
Spessore all'attacco con la fondazione	0.10 [m]
Inclinazione paramento esterno	0.00 [°]
Inclinazione paramento interno	0.00 [°]
Lunghezza del muro	9.60 [m]

Fondazione

Lunghezza mensola fondazione di valle	0.50 [m]
Lunghezza mensola fondazione di monte	1.55 [m]
Lunghezza totale fondazione	2.15 [m]
Inclinazione piano di posa della fondazione	0.00 [°]
Spessore fondazione	0.50 [m]
Spessore magrone	0.10 [m]

Contrafforti prefabbricati

Altezza contrafforti	3.00 [m]
Spessore contrafforti	0.20 [m]
Larghezza in sommità	0.30 [m]
Larghezza alla base	0.30 [m]
Larghezza elemento	1.20 [m]
Numero contrafforti	8
Posizione :	Monte

Materiali utilizzati per la strutturaCalcestruzzo

Peso specifico	25.000 [kN/mc]
Classe di Resistenza	C25/30
Resistenza caratteristica a compressione R_{ck}	30.00 [MPa]
Modulo elastico E	31447.048 [MPa]

Acciaio

Tipo	B450C
Tensione di snervamento σ_{fa}	449.94 [MPa]

Geometria profilo terreno a monte del muroSimbologia adottata e sistema di riferimento

(Sistema di riferimento con origine in testa al muro, ascissa X positiva verso monte, ordinata Y positiva verso l'alto)

N numero ordine del punto

X ascissa del punto espressa in [m]

Y ordinata del punto espressa in [m]

A inclinazione del tratto espressa in [°]

N	X	Y	A
1	1.35	0.00	0.00
2	9.67	5.00	31.00
3	30.00	5.00	0.00

Terreno a valle del muro

Inclinazione terreno a valle del muro rispetto all'orizzontale	0.00 [°]
Altezza del rinterro rispetto all'attacco fondaz.valle-paramento	0.60 [m]

Descrizione terreni

PV_D_SR_AP_MU_3_C_016-_001_N_001_R_A_0

Muro prefabbricato – MU.3C.016.N – Relazione di Calcolo

Simbologia adottata

Nr.	Indice del terreno
Descrizione	Descrizione terreno
γ	Peso di volume del terreno espresso in [kN/mc]
γ_s	Peso di volume saturo del terreno espresso in [kN/mc]
ϕ	Angolo d'attrito interno espresso in [°]
δ	Angolo d'attrito terra-muro espresso in [°]
c	Coesione espressa in [MPa]
c_a	Adesione terra-muro espressa in [MPa]

Descrizione	γ	γ_s	ϕ	δ	c	c_a
AL1	18.50	18.50	38.00	25.33	0.0000	0.0000
AL1 - Paramento	18.50	18.50	38.00	25.33	0.0000	0.0000
AL1 - Fondazione	18.50	18.50	38.00	38.00	0.0000	0.0000

Stratigrafia**Simbologia adottata**

N	Indice dello strato
H	Spessore dello strato espresso in [m]
a	Inclinazione espressa in [°]
Kw	Costante di Winkler orizzontale espressa in Kg/cm ² /cm
Ks	Coefficiente di spinta
Terreno	Terreno dello strato

Nr.	H	a	Kw	Ks	Terreno
1	0.10	0.00	0.00	0.00	AL1
2	20.00	0.00	9.48	0.00	AL1 - Fondazione

Terreno di riempimento

AL1 - Paramento

Condizioni di carico**Simbologia e convenzioni di segno adottate**

Carichi verticali positivi verso il basso.

Carichi orizzontali positivi verso sinistra.

Momento positivo senso antiorario.

X	Ascissa del punto di applicazione del carico concentrato espressa in [m]
F_x	Componente orizzontale del carico concentrato espressa in [kN]
F_y	Componente verticale del carico concentrato espressa in [kN]
M	Momento espresso in [kNm]
X_i	Ascissa del punto iniziale del carico ripartito espressa in [m]
X_f	Ascissa del punto finale del carico ripartito espressa in [m]
Q_i	Intensità del carico per $x=X_i$ espressa in [kN/m]
Q_f	Intensità del carico per $x=X_f$ espressa in [kN/m]
D / C	Tipo carico : D=distribuito C=concentrato

Condizione n° 1 (Vento)

C	Paramento	X=0.00	Y=0.00	$F_x=3.0000$	$F_y=0.0000$	M=6.0000
---	-----------	--------	--------	--------------	--------------	----------

Descrizione combinazioni di carico**Simbologia adottata**

F/S	Effetto dell'azione (FAV: Favorevole, SFAV: Sfavorevole)
γ	Coefficiente di partecipazione della condizione
Ψ	Coefficiente di combinazione della condizione

Combinazione n° 1 - Caso A1-M1 (STR)

	S/F	γ	Ψ	$\gamma * \Psi$
Peso proprio muro	FAV	1.00	1.00	1.00
Peso proprio terrapieno	FAV	1.00	1.00	1.00
Spinta terreno	SFAV	1.30	1.00	1.30

Combinazione n° 2 - Caso A2-M2 (GEO)

	S/F	γ	Ψ	$\gamma * \Psi$
Peso proprio muro	SFAV	1.00	1.00	1.00
Peso proprio terrapieno	SFAV	1.00	1.00	1.00
Spinta terreno	SFAV	1.00	1.00	1.00

Combinazione n° 3 - Caso EQU (SLU)

	S/F	γ	Ψ	$\gamma * \Psi$
PV_D_SR_AP_MU_3_C_016-_001_N_001_R_A_0				

Muro prefabbricato – MU.3C.016.N – Relazione di Calcolo

Peso proprio muro	FAV	0.90	1.00	0.90
Peso proprio terrapieno	FAV	0.90	1.00	0.90
Spinta terreno	SFAV	1.10	1.00	1.10

Combinazione n° 4 - Caso A2-M2 (GEO-STAB)

	S/F	γ	Ψ	$\gamma * \Psi$
Peso proprio muro	SFAV	1.00	1.00	1.00
Peso proprio terrapieno	SFAV	1.00	1.00	1.00
Spinta terreno	SFAV	1.00	1.00	1.00

Combinazione n° 5 - Caso A1-M1 (STR)

	S/F	γ	Ψ	$\gamma * \Psi$
Peso proprio muro	FAV	1.00	1.00	1.00
Peso proprio terrapieno	FAV	1.00	1.00	1.00
Spinta terreno	SFAV	1.30	1.00	1.30
Vento	SFAV	1.50	1.00	1.50

Combinazione n° 6 - Caso A2-M2 (GEO)

	S/F	γ	Ψ	$\gamma * \Psi$
Peso proprio muro	SFAV	1.00	1.00	1.00
Peso proprio terrapieno	SFAV	1.00	1.00	1.00
Spinta terreno	SFAV	1.00	1.00	1.00
Vento	SFAV	1.30	1.00	1.30

Combinazione n° 7 - Caso EQU (SLU)

	S/F	γ	Ψ	$\gamma * \Psi$
Peso proprio muro	FAV	0.90	1.00	0.90
Peso proprio terrapieno	FAV	0.90	1.00	0.90
Spinta terreno	SFAV	1.10	1.00	1.10
Vento	SFAV	1.50	1.00	1.50

Combinazione n° 8 - Caso A2-M2 (GEO-STAB)

	S/F	γ	Ψ	$\gamma * \Psi$
Peso proprio muro	SFAV	1.00	1.00	1.00
Peso proprio terrapieno	SFAV	1.00	1.00	1.00
Spinta terreno	SFAV	1.00	1.00	1.00
Vento	SFAV	1.30	1.00	1.30

Combinazione n° 9 - Caso A1-M1 (STR) - Sisma Vert. positivo

	S/F	γ	Ψ	$\gamma * \Psi$
Peso proprio muro	SFAV	1.00	1.00	1.00
Peso proprio terrapieno	SFAV	1.00	1.00	1.00
Spinta terreno	SFAV	1.00	1.00	1.00

Combinazione n° 10 - Caso A1-M1 (STR) - Sisma Vert. negativo

	S/F	γ	Ψ	$\gamma * \Psi$
Peso proprio muro	SFAV	1.00	1.00	1.00
Peso proprio terrapieno	SFAV	1.00	1.00	1.00
Spinta terreno	SFAV	1.00	1.00	1.00

Combinazione n° 11 - Caso A2-M2 (GEO) - Sisma Vert. positivo

	S/F	γ	Ψ	$\gamma * \Psi$
Peso proprio muro	SFAV	1.00	1.00	1.00
Peso proprio terrapieno	SFAV	1.00	1.00	1.00
Spinta terreno	SFAV	1.00	1.00	1.00

Combinazione n° 12 - Caso A2-M2 (GEO) - Sisma Vert. negativo

	S/F	γ	Ψ	$\gamma * \Psi$
Peso proprio muro	SFAV	1.00	1.00	1.00
Peso proprio terrapieno	SFAV	1.00	1.00	1.00

PV_D_SR_AP_MU_3_C_016-_001_N_001_R_A_0

Muro prefabbricato – MU.3C.016.N – Relazione di Calcolo

Spinta terreno	SFAV	1.00	1.00	1.00
----------------	------	------	------	------

Combinazione n° 13 - Caso EQU (SLU) - Sisma Vert. positivo

	S/F	γ	Ψ	$\gamma * \Psi$
Peso proprio muro	FAV	1.00	1.00	1.00
Peso proprio terrapieno	FAV	1.00	1.00	1.00
Spinta terreno	SFAV	1.00	1.00	1.00

Combinazione n° 14 - Caso EQU (SLU) - Sisma Vert. negativo

	S/F	γ	Ψ	$\gamma * \Psi$
Peso proprio muro	FAV	1.00	1.00	1.00
Peso proprio terrapieno	FAV	1.00	1.00	1.00
Spinta terreno	SFAV	1.00	1.00	1.00

Combinazione n° 15 - Caso A2-M2 (GEO-STAB) - Sisma Vert. positivo

	S/F	γ	Ψ	$\gamma * \Psi$
Peso proprio muro	SFAV	1.00	1.00	1.00
Peso proprio terrapieno	SFAV	1.00	1.00	1.00
Spinta terreno	SFAV	1.00	1.00	1.00

Combinazione n° 16 - Caso A2-M2 (GEO-STAB) - Sisma Vert. negativo

	S/F	γ	Ψ	$\gamma * \Psi$
Peso proprio muro	SFAV	1.00	1.00	1.00
Peso proprio terrapieno	SFAV	1.00	1.00	1.00
Spinta terreno	SFAV	1.00	1.00	1.00

Combinazione n° 17 - Quasi Permanente (SLE)

	S/F	γ	Ψ	$\gamma * \Psi$
Peso proprio muro	--	1.00	1.00	1.00
Peso proprio terrapieno	--	1.00	1.00	1.00
Spinta terreno	--	1.00	1.00	1.00
Vento	SFAV	1.00	1.00	1.00

Combinazione n° 18 - Frequente (SLE)

	S/F	γ	Ψ	$\gamma * \Psi$
Peso proprio muro	--	1.00	1.00	1.00
Peso proprio terrapieno	--	1.00	1.00	1.00
Spinta terreno	--	1.00	1.00	1.00
Vento	SFAV	1.00	1.00	1.00

Combinazione n° 19 - Rara (SLE)

	S/F	γ	Ψ	$\gamma * \Psi$
Peso proprio muro	--	1.00	1.00	1.00
Peso proprio terrapieno	--	1.00	1.00	1.00
Spinta terreno	--	1.00	1.00	1.00
Vento	SFAV	1.00	1.00	1.00

Impostazioni di analisi

Metodo verifica sezioni

Stato limite**Impostazioni verifiche SLU**Coefficienti parziali per resistenze di calcolo dei materiali

Coefficiente di sicurezza calcestruzzo a compressione	1.60
Coefficiente di sicurezza calcestruzzo a trazione	1.60
Coefficiente di sicurezza acciaio	1.15
Fattore riduzione da resistenza cubica a cilindrica	0.83
Fattore di riduzione per carichi di lungo periodo	0.85
Coefficiente di sicurezza per la sezione	1.00

Impostazioni verifiche SLE

PV_D_SR_AP_MU_3_C_016-_001_N_001_R_A_0

Muro prefabbricato – MU.3C.016.N – Relazione di Calcolo

Condizioni ambientali	Ordinarie
Armatura ad aderenza migliorata	
<u>Verifica fessurazione</u>	
Sensibilità delle armature	Sensibile
Valori limite delle aperture delle fessure	$w_1 = 0.20$ $w_2 = 0.30$ $w_3 = 0.40$
Metodo di calcolo aperture delle fessure	Circ. Min. 252 (15/10/1996)
<u>Verifica delle tensioni</u>	
Combinazione di carico	Rara $\sigma_c < 0.60 f_{ck}$ - $\sigma_f < 0.80 f_{yk}$ Quasi permanente $\sigma_c < 0.45 f_{ck}$
<u>Calcolo della portanza</u> metodo di Vesic	

Coefficiente correttivo su N_γ per effetti cinematici (combinazioni sismiche SLU): 1.00Coefficiente correttivo su N_γ per effetti cinematici (combinazioni sismiche SLE): 1.00**Impostazioni avanzate**

Componente verticale della spinta nel calcolo delle sollecitazioni

Influenza del terreno sulla fondazione di valle nelle verifiche e nel calcolo delle sollecitazioni

Diagramma correttivo per eccentricità negativa con aliquota di parzializzazione pari a 0.00

Quadro riassuntivo coeff. di sicurezza calcolatiSimbologia adottata

C	Identificativo della combinazione
Tipo	Tipo combinazione
Sisma	Combinazione sismica
CS_{SCO}	Coeff. di sicurezza allo scorrimento
CS_{RIB}	Coeff. di sicurezza al ribaltamento
CS_{QLIM}	Coeff. di sicurezza a carico limite
CS_{STAB}	Coeff. di sicurezza a stabilità globale

C	Tipo	Sisma	CS_{SCO}	CS_{RIB}	CS_{qlim}	CS_{stab}
1	A1-M1 - [1]	--	3.13	--	15.00	--
2	A2-M2 - [1]	--	1.98	--	4.53	--
3	EQU - [1]	--	--	2.68	--	--
4	STAB - [1]	--	--	--	--	1.78
5	A1-M1 - [2]	--	2.87	--	11.76	--
6	A2-M2 - [2]	--	1.86	--	3.59	--
7	EQU - [2]	--	--	2.07	--	--
8	STAB - [2]	--	--	--	--	1.78
9	A1-M1 - [3]	Orizzontale + Verticale positivo	2.08	--	6.82	--
10	A1-M1 - [3]	Orizzontale + Verticale negativo	2.00	--	6.66	--
11	A2-M2 - [3]	Orizzontale + Verticale positivo	1.22	--	1.18	--
12	A2-M2 - [3]	Orizzontale + Verticale negativo	1.19	--	1.12	--
13	EQU - [3]	Orizzontale + Verticale positivo	--	1.98	--	--
14	EQU - [3]	Orizzontale + Verticale negativo	--	1.86	--	--
15	STAB - [3]	Orizzontale + Verticale positivo	--	--	--	1.48
16	STAB - [3]	Orizzontale + Verticale negativo	--	--	--	1.46
17	SLEQ - [1]	--	3.60	--	16.45	--
18	SLEF - [1]	--	3.60	--	16.45	--
19	SLER - [1]	--	3.60	--	16.45	--

Analisi della spinta e verifiche

Sistema di riferimento adottato per le coordinate :

Origine in testa al muro (spigolo di monte)

Ascisse X (espresse in [m]) positive verso monte

Ordinate Y (espresse in [m]) positive verso l'alto

Le forze orizzontali sono considerate positive se agenti da monte verso valle

Le forze verticali sono considerate positive se agenti dall'alto verso il basso

Calcolo riferito ad 1 metro di muro

Tipo di analisi

PV_D_SR_AP_MU_3_C_016-_001_N_001_R_A_0

Muro prefabbricato – MU.3C.016.N – Relazione di Calcolo

Calcolo della spinta	metodo di Culmann
Calcolo del carico limite	metodo di Vesic
Calcolo della stabilità globale	metodo di Bishop
Calcolo della spinta in condizioni di	Spinta attiva

Sisma**Combinazioni SLU**

Accelerazione al suolo a_g	3.28 [m/s ²]
Coefficiente di amplificazione per tipo di sottosuolo (S)	1.07
Coefficiente di amplificazione topografica (St)	1.00
Coefficiente riduzione (β_m)	0.31
Rapporto intensità sismica verticale/orizzontale	0.50
Coefficiente di intensità sismica orizzontale (percento)	$k_h=(a_g/g*\beta_m*St*S) = 11.13$
Coefficiente di intensità sismica verticale (percento)	$k_v=0.50 * k_h = 5.56$

Combinazioni SLE

Accelerazione al suolo a_g	1.27 [m/s ²]
Coefficiente di amplificazione per tipo di sottosuolo (S)	1.20
Coefficiente di amplificazione topografica (St)	1.00
Coefficiente riduzione (β_m)	0.24
Rapporto intensità sismica verticale/orizzontale	0.50
Coefficiente di intensità sismica orizzontale (percento)	$k_h=(a_g/g*\beta_m*St*S) = 3.74$
Coefficiente di intensità sismica verticale (percento)	$k_v=0.50 * k_h = 1.87$

Forma diagramma incremento sismico	Stessa forma diagramma statico
Partecipazione spinta passiva (percento)	50.0
Lunghezza del muro	9.60 [m]
Peso muro	34.3750 [kN]
Baricentro del muro	X=0.36 Y=-2.87

Superficie di spinta

Punto inferiore superficie di spinta	X = 1.55	Y = -3.50
Punto superiore superficie di spinta	X = 1.55	Y = 0.12
Altezza della superficie di spinta	3.62 [m]	
Inclinazione superficie di spinta(rispetto alla verticale)	0.00 [°]	

COMBINAZIONE n° 1**Peso muro favorevole e Peso terrapieno favorevole**

Valore della spinta statica	61.7302 [kN]		
Componente orizzontale della spinta statica	48.6962 [kN]		
Componente verticale della spinta statica	37.9381 [kN]		
Punto d'applicazione della spinta	X = 1.55 [m]	Y = -2.29 [m]	
Inclinaz. della spinta rispetto alla normale alla superficie	37.92 [°]		
Inclinazione linea di rottura in condizioni statiche	50.09 [°]		
Peso terrapieno gravante sulla fondazione a monte	83.4724 [kN]		
Baricentro terrapieno gravante sulla fondazione a monte	X = 0.78 [m]	Y = -1.50 [m]	
Numero contrafforti	8		
Peso del singolo contrafforte	4.5000 [kN]		
Peso del contrafforte riferito ad un metro di muro	3.7500 [kN]		
Baricentro contrafforte	X = 0.15 [m]	Y = -1.50 [m]	

Risultanti

Risultante dei carichi applicati in dir. orizzontale	48.6962 [kN]
Risultante dei carichi applicati in dir. verticale	165.0855 [kN]
Resistenza passiva a valle del muro	-23.5252 [kN]
Sforzo normale sul piano di posa della fondazione	165.0855 [kN]
Sforzo tangenziale sul piano di posa della fondazione	48.6962 [kN]
Eccentricità rispetto al baricentro della fondazione	0.02 [m]
PV_D_SR_AP_MU_3_C_016-_001_N_001_R_A_0	

Muro prefabbricato – MU.3C.016.N – Relazione di Calcolo

Lunghezza fondazione reagente	2.15	[m]
Risultante in fondazione	172.1178	[kN]
Inclinazione della risultante (rispetto alla normale)	16.43	[°]
Momento rispetto al baricentro della fondazione	2.6649	[kNm]
Carico ultimo della fondazione	2477.0134	[kN]

Tensioni sul terreno

Lunghezza fondazione reagente	2.15	[m]
Tensione terreno allo spigolo di valle	0.08024	[MPa]
Tensione terreno allo spigolo di monte	0.07332	[MPa]

Fattori per il calcolo della capacità portante

Coeff. capacità portante	$N_c = 61.35$	$N_q = 48.93$	$N_\gamma = 78.02$
Fattori forma	$s_c = 1.00$	$s_q = 1.00$	$s_\gamma = 1.00$
Fattori inclinazione	$i_c = 0.52$	$i_q = 0.53$	$i_\gamma = 0.37$
Fattori profondità	$d_c = 1.20$	$d_q = 1.12$	$d_\gamma = 1.00$
Fattori inclinazione piano posa	$b_c = 1.00$	$b_q = 1.00$	$b_\gamma = 1.00$
Fattori inclinazione pendio	$g_c = 1.00$	$g_q = 1.00$	$g_\gamma = 1.00$

I coefficienti N' tengono conto dei fattori di forma, profondità, inclinazione carico, inclinazione piano di posa, inclinazione pendio.

$$N'_c = 38.44$$

$$N'_q = 28.99$$

$$N'_\gamma = 29.15$$

COEFFICIENTI DI SICUREZZA

Coefficiente di sicurezza a scorrimento	3.13
Coefficiente di sicurezza a carico ultimo	15.00

Sollecitazioni fondazione di valleCombinazione n° 1

L'ascissa X(espressa in m) è considerata positiva verso monte con origine in corrispondenza dell'estremo libero della fondazione di valle

Momento positivo se tende le fibre inferiori, espresso in kNm

Taglio positivo se diretto verso l'alto, espresso in kN

Nr.	X	M	T
1	0.00	0.0000	0.0000
2	0.05	0.0666	2.6616
3	0.10	0.2660	5.3152
4	0.15	0.5980	7.9607
5	0.20	1.0620	10.5982
6	0.25	1.6577	13.2277
7	0.30	2.3846	15.8491
8	0.35	3.2424	18.4625
9	0.40	4.2307	21.0678
10	0.45	5.3491	23.6650
11	0.50	6.5971	26.2543

Sollecitazioni fondazione di monteCombinazione n° 1

L'ascissa X(espressa in m) è considerata positiva verso valle con origine in corrispondenza dell'estremo libero della fondazione di monte

Momento positivo se tende le fibre inferiori, espresso in kNm

Taglio positivo se diretto verso l'alto, espresso in kN

Nr.	X	M	T
1	0.00	0.0000	0.0000
2	0.16	-0.1598	-1.9912
3	0.31	-0.5985	-3.6452
4	0.47	-1.2856	-5.2073
5	0.62	-2.2088	-6.6922
6	0.78	-3.3562	-8.0997
7	0.93	-4.7157	-9.4299
8	1.08	-6.2754	-10.6828
9	1.24	-8.0234	-11.8584
10	1.40	-9.9476	-12.9567
11	1.55	-12.0360	-13.9777

Armature e tensioni nei materiali della fondazioneCombinazione n° 1

Simbologia adottata

PV_D_SR_AP_MU_3_C_016-_001_N_001_R_A_0

Muro prefabbricato – MU.3C.016.N – Relazione di Calcolo

B	base della sezione espressa in [m]
H	altezza della sezione espressa in [m]
A _{fi}	area di armatura in corrispondenza del lembo inferiore in [mq]
A _{fs}	area di armatura in corrispondenza del lembo superiore in [mq]
N _u	sforzo normale ultimo espresso in [kN]
M _u	momento ultimo espresso in [kNm]
CS	coefficiente sicurezza sezione
VRcd	Aliquota di taglio assorbito dal cls, espresso in [kN]
VRsd	Aliquota di taglio assorbito dall'armatura, espresso in [kN]
VRd	Resistenza al taglio, espresso in [kN]

Fondazione di valle

(L'ascissa X, espressa in [m], è positiva verso monte con origine in corrispondenza dell'estremo libero della fondazione di valle)

Nr.	Y	B, H	A _{fs}	A _{fi}	N _u	M _u	CS	V _{Rd}	V _{Rcd}	V _{Rsd}
1	0.00	1.00, 0.500	0.0007700	0.000565	0.00	0.00	1000.00	173.53	--	--
2	0.05	1.00, 0.500	0.0007700	0.000565	0.00	98.56	1480.52	173.53	--	--
3	0.10	1.00, 0.500	0.0007700	0.000565	0.00	98.56	370.50	173.53	--	--
4	0.15	1.00, 0.500	0.0007700	0.000565	0.00	98.56	164.83	173.53	--	--
5	0.20	1.00, 0.500	0.0007700	0.000565	0.00	98.56	92.81	173.53	--	--
6	0.25	1.00, 0.500	0.0007700	0.000565	0.00	98.56	59.46	173.53	--	--
7	0.30	1.00, 0.500	0.0007700	0.000565	0.00	98.56	41.33	173.53	--	--
8	0.35	1.00, 0.500	0.0007700	0.000565	0.00	98.56	30.40	173.53	--	--
9	0.40	1.00, 0.500	0.0007700	0.000565	0.00	98.56	23.30	173.53	--	--
10	0.45	1.00, 0.500	0.0007700	0.000565	0.00	98.56	18.43	173.53	--	--
11	0.50	1.00, 0.500	0.0007700	0.000565	0.00	98.56	14.94	173.53	--	--

Fondazione di monte

(L'ascissa X, espressa in [m], è positiva verso valle con origine in corrispondenza dell'estremo libero della fondazione di monte)

Nr.	Y	B, H	A _{fs}	A _{fi}	N _u	M _u	CS	V _{Rd}	V _{Rcd}	V _{Rsd}
1	0.00	1.00, 0.500	0.0007700	0.000565	0.00	0.00	1000.00	173.53	--	--
2	0.16	1.00, 0.500	0.0007700	0.000565	0.00	-133.13	833.13	173.53	--	--
3	0.31	1.00, 0.500	0.0007700	0.000565	0.00	-133.13	222.43	173.53	--	--
4	0.47	1.00, 0.500	0.0007700	0.000565	0.00	-133.13	103.56	173.53	--	--
5	0.62	1.00, 0.500	0.0007700	0.000565	0.00	-133.13	60.27	173.53	--	--
6	0.78	1.00, 0.500	0.0007700	0.000565	0.00	-133.13	39.67	173.53	--	--
7	0.93	1.00, 0.500	0.0007700	0.000565	0.00	-133.13	28.23	173.53	--	--
8	1.08	1.00, 0.500	0.0007700	0.000565	0.00	-133.13	21.21	173.53	--	--
9	1.24	1.00, 0.500	0.0007700	0.000565	0.00	-133.13	16.59	173.53	--	--
10	1.40	1.00, 0.500	0.0007700	0.000565	0.00	-133.13	13.38	173.53	--	--
11	1.55	1.00, 0.500	0.0007700	0.000565	0.00	-133.13	11.06	173.53	--	--

COMBINAZIONE n° 2

Valore della spinta statica	72.4037	[kN]		
Componente orizzontale della spinta statica	61.4481	[kN]		
Componente verticale della spinta statica	38.2940	[kN]		
Punto d'applicazione della spinta	X = 1.55	[m]	Y = -2.24	[m]
Inclinaz. della spinta rispetto alla normale alla superficie	31.93	[°]		
Inclinazione linea di rottura in condizioni statiche	43.32	[°]		
Peso terrapieno gravante sulla fondazione a monte	83.4724	[kN]		
Baricentro terrapieno gravante sulla fondazione a monte	X = 0.78	[m]	Y = -1.50	[m]
Numero contrafforti	8			
Peso del singolo contrafforte	4.5000	[kN]		
Peso del contrafforte riferito ad un metro di muro	3.7500	[kN]		
Baricentro contrafforte	X = 0.15	[m]	Y = -1.50	[m]

Risultanti

Risultante dei carichi applicati in dir. orizzontale	61.4481	[kN]
Risultante dei carichi applicati in dir. verticale	165.4414	[kN]
Resistenza passiva a valle del muro	-18.2184	[kN]
Sforzo normale sul piano di posa della fondazione	165.4414	[kN]
PV_D_SR_AP_MU_3_C_016-_001_N_001_R_A_0		

Muro prefabbricato – MU.3C.016.N – Relazione di Calcolo

Sforzo tangenziale sul piano di posa della fondazione	61.4481	[kN]
Eccentricità rispetto al baricentro della fondazione	0.12	[m]
Lunghezza fondazione reagente	2.15	[m]
Risultante in fondazione	176.4843	[kN]
Inclinazione della risultante (rispetto alla normale)	20.38	[°]
Momento rispetto al baricentro della fondazione	20.5860	[kNm]
Carico ultimo della fondazione	749.7141	[kN]

Tensioni sul terreno

Lunghezza fondazione reagente	2.15	[m]
Tensione terreno allo spigolo di valle	0.10367	[MPa]
Tensione terreno allo spigolo di monte	0.05023	[MPa]

Fattori per il calcolo della capacità portante

Coeff. capacità portante	$N_c = 61.35$	$N_q = 48.93$	$N_\gamma = 78.02$
Fattori forma	$s_c = 1.00$	$s_q = 1.00$	$s_\gamma = 1.00$
Fattori inclinazione	$i_c = 0.40$	$i_q = 0.43$	$i_\gamma = 0.27$
Fattori profondità	$d_c = 1.20$	$d_q = 1.14$	$d_\gamma = 1.00$
Fattori inclinazione piano posa	$b_c = 1.00$	$b_q = 1.00$	$b_\gamma = 1.00$
Fattori inclinazione pendio	$g_c = 1.00$	$g_q = 1.00$	$g_\gamma = 1.00$
I coefficienti N' tengono conto dei fattori di forma, profondità, inclinazione carico, inclinazione piano di posa, inclinazione pendio.			
	$N'_c = 38.44$	$N'_q = 28.99$	$N'_\gamma = 29.15$

COEFFICIENTI DI SICUREZZA

Coefficiente di sicurezza a scorrimento	1.98
Coefficiente di sicurezza a carico ultimo	4.53

Sollecitazioni fondazione di valleCombinazione n° 2

L'ascissa X(espressa in m) è considerata positiva verso monte con origine in corrispondenza dell'estremo libero della fondazione di valle

Momento positivo se tende le fibre inferiori, espresso in kNm

Taglio positivo se diretto verso l'alto, espresso in kN

Nr.	X	M	T
1	0.00	0.0000	0.0000
2	0.05	0.0996	3.9724
3	0.10	0.3962	7.8827
4	0.15	0.8868	11.7309
5	0.20	1.5683	15.5169
6	0.25	2.4375	19.2408
7	0.30	3.4913	22.9025
8	0.35	4.7267	26.5021
9	0.40	6.1405	30.0395
10	0.45	7.7296	33.5148
11	0.50	9.4909	36.9280

Sollecitazioni fondazione di monteCombinazione n° 2

L'ascissa X(espressa in m) è considerata positiva verso valle con origine in corrispondenza dell'estremo libero della fondazione di monte

Momento positivo se tende le fibre inferiori, espresso in kNm

Taglio positivo se diretto verso l'alto, espresso in kN

Nr.	X	M	T
1	0.00	0.0000	0.0000
2	0.16	-0.2179	-2.6670
3	0.31	-0.7846	-4.5371
4	0.47	-1.5933	-5.7987
5	0.62	-2.5513	-6.4631
6	0.78	-3.5660	-6.5303
7	0.93	-4.5449	-6.0004
8	1.08	-5.3953	-4.8733
9	1.24	-6.0247	-3.1490
10	1.40	-6.3406	-0.8275
11	1.55	-6.2504	2.0911

Muro prefabbricato – MU.3C.016.N – Relazione di Calcolo**Armature e tensioni nei materiali della fondazione**Combinazione n° 2

Simbologia adottata

B	base della sezione espressa in [m]
H	altezza della sezione espressa in [m]
A _{fi}	area di armatura in corrispondenza del lembo inferiore in [mq]
A _{fs}	area di armatura in corrispondenza del lembo superiore in [mq]
N _u	sfuerzo normale ultimo espresso in [kN]
M _u	momento ultimo espresso in [kNm]
CS	coefficiente sicurezza sezione
VRcd	Aliquota di taglio assorbito dal cls, espresso in [kN]
VRsd	Aliquota di taglio assorbito dall'armatura, espresso in [kN]
VRd	Resistenza al taglio, espresso in [kN]

Fondazione di valle

(L'ascissa X, espressa in [m], è positiva verso monte con origine in corrispondenza dell'estremo libero della fondazione di valle)

Nr.	Y	B, H	A _{fs}	A _{fi}	N _u	M _u	CS	V _{Rd}	V _{Rcd}	V _{Rs}
1	0.00	1.00, 0.500	0.0007700	0.000565	0.00	0.00	1000.00	173.53	--	--
2	0.05	1.00, 0.500	0.0007700	0.000565	0.00	98.56	989.90	173.53	--	--
3	0.10	1.00, 0.500	0.0007700	0.000565	0.00	98.56	248.77	173.53	--	--
4	0.15	1.00, 0.500	0.0007700	0.000565	0.00	98.56	111.14	173.53	--	--
5	0.20	1.00, 0.500	0.0007700	0.000565	0.00	98.56	62.85	173.53	--	--
6	0.25	1.00, 0.500	0.0007700	0.000565	0.00	98.56	40.44	173.53	--	--
7	0.30	1.00, 0.500	0.0007700	0.000565	0.00	98.56	28.23	173.53	--	--
8	0.35	1.00, 0.500	0.0007700	0.000565	0.00	98.56	20.85	173.53	--	--
9	0.40	1.00, 0.500	0.0007700	0.000565	0.00	98.56	16.05	173.53	--	--
10	0.45	1.00, 0.500	0.0007700	0.000565	0.00	98.56	12.75	173.53	--	--
11	0.50	1.00, 0.500	0.0007700	0.000565	0.00	98.56	10.39	173.53	--	--

Fondazione di monte

(L'ascissa X, espressa in [m], è positiva verso valle con origine in corrispondenza dell'estremo libero della fondazione di monte)

Nr.	Y	B, H	A _{fs}	A _{fi}	N _u	M _u	CS	V _{Rd}	V _{Rcd}	V _{Rs}
1	0.00	1.00, 0.500	0.0007700	0.000565	0.00	0.00	1000.00	173.53	--	--
2	0.16	1.00, 0.500	0.0007700	0.000565	0.00	-133.13	611.09	173.53	--	--
3	0.31	1.00, 0.500	0.0007700	0.000565	0.00	-133.13	169.68	173.53	--	--
4	0.47	1.00, 0.500	0.0007700	0.000565	0.00	-133.13	83.56	173.53	--	--
5	0.62	1.00, 0.500	0.0007700	0.000565	0.00	-133.13	52.18	173.53	--	--
6	0.78	1.00, 0.500	0.0007700	0.000565	0.00	-133.13	37.33	173.53	--	--
7	0.93	1.00, 0.500	0.0007700	0.000565	0.00	-133.13	29.29	173.53	--	--
8	1.08	1.00, 0.500	0.0007700	0.000565	0.00	-133.13	24.68	173.53	--	--
9	1.24	1.00, 0.500	0.0007700	0.000565	0.00	-133.13	22.10	173.53	--	--
10	1.40	1.00, 0.500	0.0007700	0.000565	0.00	-133.13	21.00	173.53	--	--
11	1.55	1.00, 0.500	0.0007700	0.000565	0.00	-133.13	21.30	173.53	--	--

COMBINAZIONE n° 3

Valore della spinta statica	79.6441	[kN]		
Componente orizzontale della spinta statica	67.5929	[kN]		
Componente verticale della spinta statica	42.1234	[kN]		
Punto d'applicazione della spinta	X = 1.55	[m]	Y = -2.24	[m]
Inclinaz. della spinta rispetto alla normale alla superficie	31.93	[°]		
Inclinazione linea di rottura in condizioni statiche	43.32	[°]		
Peso terrapieno gravante sulla fondazione a monte	75.1251	[kN]		
Baricentro terrapieno gravante sulla fondazione a monte	X = 0.78	[m]	Y = -1.50	[m]
Numero contrafforti	8			
Peso del singolo contrafforte	4.0500	[kN]		
Peso del contrafforte riferito ad un metro di muro	3.3750	[kN]		
Baricentro contrafforte	X = 0.15	[m]	Y = -1.50	[m]

Risultanti

Risultante dei carichi applicati in dir. orizzontale	67.5929	[kN]
Risultante dei carichi applicati in dir. verticale	156.5560	[kN]
PV_D_SR_AP_MU_3_C_016-_001_N_001_R_A_0		

Muro prefabbricato – MU.3C.016.N – Relazione di Calcolo

Resistenza passiva a valle del muro	-16.3966	[kN]
Momento ribaltante rispetto allo spigolo a valle	84.9323	[kNm]
Momento stabilizzante rispetto allo spigolo a valle	227.4936	[kNm]
Sforzo normale sul piano di posa della fondazione	156.5560	[kN]
Sforzo tangenziale sul piano di posa della fondazione	67.5929	[kN]
Eccentricità rispetto al baricentro della fondazione	0.16	[m]
Lunghezza fondazione reagente	2.15	[m]
Risultante in fondazione	170.5244	[kN]
Inclinazione della risultante (rispetto alla normale)	23.35	[°]
Momento rispetto al baricentro della fondazione	25.7365	[kNm]

COEFFICIENTI DI SICUREZZA

Coefficiente di sicurezza a ribaltamento 2.68

Stabilità globale muro + terrenoCombinazione n° 4

Le ascisse X sono considerate positive verso monte

Le ordinate Y sono considerate positive verso l'alto

Origine in testa al muro (spigolo contro terra)

W peso della striscia espresso in [kN]

 α angolo fra la base della striscia e l'orizzontale espresso in [°] (positivo antiorario) ϕ angolo d'attrito del terreno lungo la base della striscia

c coesione del terreno lungo la base della striscia espressa in [MPa]

b larghezza della striscia espressa in [m]

u pressione neutra lungo la base della striscia espressa in [MPa]

Metodo di Bishop

Numero di cerchi analizzati 36

Numero di strisce 25

Cerchio critico

Coordinate del centro X[m]= 0.00 Y[m]= 2.61

Raggio del cerchio R[m]= 6.31

Ascissa a valle del cerchio Xi[m]= -3.84

Ascissa a monte del cerchio Xs[m]= 6.30

Larghezza della striscia dx[m]= 0.41

Coefficiente di sicurezza C= 1.78

Le strisce sono numerate da monte verso valle

Caratteristiche delle strisce

Striscia	W	$\alpha(^{\circ})$	$W\sin\alpha$	$b/\cos\alpha$	ϕ	c	u
1	1178.72	77.93	1152.66	1.94	32.01	0.000	0.000
2	2046.27	64.76	1850.93	0.95	32.01	0.000	0.000
3	2428.01	57.05	2037.42	0.75	32.01	0.000	0.000
4	2670.59	50.75	2068.02	0.64	32.01	0.000	0.000
5	2830.22	45.22	2008.91	0.58	32.01	0.000	0.000
6	2931.08	40.19	1891.55	0.53	32.01	0.000	0.000
7	2986.37	35.52	1734.85	0.50	32.01	0.000	0.000
8	3004.20	31.10	1551.78	0.47	32.01	0.000	0.000
9	2989.98	26.88	1351.97	0.45	32.01	0.000	0.000
10	2947.46	22.82	1143.05	0.44	32.01	0.000	0.000
11	2879.34	18.87	931.35	0.43	32.01	0.000	0.000
12	2827.29	15.02	732.60	0.42	32.01	0.000	0.000
13	2867.94	11.23	558.62	0.41	32.01	0.000	0.000
14	2915.48	7.50	380.31	0.41	32.01	0.000	0.000
15	2946.15	3.79	194.78	0.41	32.01	0.000	0.000
16	2741.29	0.10	4.88	0.41	32.01	0.000	0.000
17	1111.70	-3.59	-69.54	0.41	32.01	0.000	0.000
18	948.80	-7.29	-120.39	0.41	32.01	0.000	0.000
19	897.75	-11.02	-171.67	0.41	32.01	0.000	0.000
20	826.56	-14.81	-211.24	0.42	32.01	0.000	0.000
21	733.23	-18.66	-234.56	0.43	32.01	0.000	0.000

PV_D_SR_AP_MU_3_C_016-_001_N_001_R_A_0

Muro prefabbricato – MU.3C.016.N – Relazione di Calcolo

22	616.36	-22.60	-236.83	0.44	32.01	0.000	0.000
23	474.01	-26.65	-212.64	0.45	32.01	0.000	0.000
24	303.54	-30.86	-155.71	0.47	32.01	0.000	0.000
25	101.26	-35.27	-58.46	0.50	32.01	0.000	0.000

 $\Sigma W_i = 482.5299$ [kN] $\Sigma W_i \sin \alpha_i = 177.7252$ [kN] $\Sigma W_i \tan \phi_i = 301.5949$ [kN] $\Sigma \tan \alpha_i \tan \phi_i = 7.16$

COMBINAZIONE n° 5

Peso muro favorevole e Peso terrapieno favorevole

Valore della spinta statica	61.7302	[kN]		
Componente orizzontale della spinta statica	48.6962	[kN]		
Componente verticale della spinta statica	37.9381	[kN]		
Punto d'applicazione della spinta	X = 1.55	[m]	Y = -2.29	[m]
Inclinaz. della spinta rispetto alla normale alla superficie	37.92	[°]		
Inclinazione linea di rottura in condizioni statiche	50.09	[°]		
Peso terrapieno gravante sulla fondazione a monte	83.4724	[kN]		
Baricentro terrapieno gravante sulla fondazione a monte	X = 0.78	[m]	Y = -1.50	[m]
Numero contrafforti	8			
Peso del singolo contrafforte	4.5000	[kN]		
Peso del contrafforte riferito ad un metro di muro	3.7500	[kN]		
Baricentro contrafforte	X = 0.15	[m]	Y = -1.50	[m]

Risultanti carichi esterni

Componente dir. X 4.50 [kN]

Risultanti

Risultante dei carichi applicati in dir. orizzontale	53.1962	[kN]
Risultante dei carichi applicati in dir. verticale	165.0855	[kN]
Resistenza passiva a valle del muro	-23.5252	[kN]
Sforzo normale sul piano di posa della fondazione	165.0855	[kN]
Sforzo tangenziale sul piano di posa della fondazione	53.1962	[kN]
Eccentricità rispetto al baricentro della fondazione	0.17	[m]
Lunghezza fondazione reagente	2.15	[m]
Risultante in fondazione	173.4447	[kN]
Inclinazione della risultante (rispetto alla normale)	17.86	[°]
Momento rispetto al baricentro della fondazione	27.4149	[kNm]
Carico ultimo della fondazione	1941.3577	[kN]

Tensioni sul terreno

Lunghezza fondazione reagente	2.15	[m]
Tensione terreno allo spigolo di valle	0.11237	[MPa]
Tensione terreno allo spigolo di monte	0.04120	[MPa]

Fattori per il calcolo della capacità portante

Coeff. capacità portante	$N_c = 61.35$	$N_q = 48.93$	$N_\gamma = 78.02$
Fattori forma	$s_c = 1.00$	$s_q = 1.00$	$s_\gamma = 1.00$
Fattori inclinazione	$i_c = 0.48$	$i_q = 0.49$	$i_\gamma = 0.33$
Fattori profondità	$d_c = 1.20$	$d_q = 1.12$	$d_\gamma = 1.00$
Fattori inclinazione piano posa	$b_c = 1.00$	$b_q = 1.00$	$b_\gamma = 1.00$
Fattori inclinazione pendio	$g_c = 1.00$	$g_q = 1.00$	$g_\gamma = 1.00$

I coefficienti N' tengono conto dei fattori di forma, profondità, inclinazione carico, inclinazione piano di posa, inclinazione pendio.

 $N'_c = 38.44$ $N'_q = 28.99$ $N'_\gamma = 29.15$ **COEFFICIENTI DI SICUREZZA**

Coefficiente di sicurezza a scorrimento	2.87
Coefficiente di sicurezza a carico ultimo	11.76

Sollecitazioni fondazione di valle

Combinazione n° 5

PV_D_SR_AP_MU_3_C_016-_001_N_001_R_A_0

Muro prefabbricato – MU.3C.016.N – Relazione di Calcolo

L'ascissa X(espressa in m) è considerata positiva verso monte con origine in corrispondenza dell'estremo libero della fondazione di valle

Momento positivo se tende le fibre inferiori, espresso in kNm

Taglio positivo se diretto verso l'alto, espresso in kN

Nr.	X	M	T
1	0.00	0.0000	0.0000
2	0.05	0.1061	4.2305
3	0.10	0.4217	8.3783
4	0.15	0.9426	12.4434
5	0.20	1.6646	16.4257
6	0.25	2.5837	20.3252
7	0.30	3.6958	24.1419
8	0.35	4.9966	27.8760
9	0.40	6.4820	31.5272
10	0.45	8.1479	35.0957
11	0.50	9.9902	38.5815

Sollecitazioni fondazione di monteCombinazione n° 5

L'ascissa X(espressa in m) è considerata positiva verso valle con origine in corrispondenza dell'estremo libero della fondazione di monte

Momento positivo se tende le fibre inferiori, espresso in kNm

Taglio positivo se diretto verso l'alto, espresso in kN

Nr.	X	M	T
1	0.00	0.0000	0.0000
2	0.16	-0.5272	-6.6116
3	0.31	-1.9938	-12.1682
4	0.47	-4.2580	-16.9148
5	0.62	-7.1963	-20.8662
6	0.78	-10.6854	-24.0223
7	0.93	-14.6021	-26.3832
8	1.08	-18.8231	-27.9487
9	1.24	-23.2251	-28.7190
10	1.40	-27.6849	-28.6940
11	1.55	-32.0792	-27.8738

Armature e tensioni nei materiali della fondazioneCombinazione n° 5

Simbologia adottata

B	base della sezione espressa in [m]
H	altezza della sezione espressa in [m]
A _{fi}	area di armatura in corrispondenza del lembo inferiore in [mq]
A _{fs}	area di armatura in corrispondenza del lembo superiore in [mq]
N _u	sforzo normale ultimo espresso in [kN]
M _u	momento ultimo espresso in [kNm]
CS	coefficiente sicurezza sezione
V _{Rcd}	Aliquota di taglio assorbito dal cls, espresso in [kN]
V _{Rs}	Aliquota di taglio assorbito dall'armatura, espresso in [kN]
V _{Rd}	Resistenza al taglio, espresso in [kN]

Fondazione di valle

(L'ascissa X, espressa in [m], è positiva verso monte con origine in corrispondenza dell'estremo libero della fondazione di valle)

Nr.	Y	B, H	A _{fs}	A _{fi}	N _u	M _u	CS	V _{Rd}	V _{Rcd}	V _{Rs}
1	0.00	1.00, 0.500	0.0007700	0.000565	0.00	0.00	1000.00	173.53	--	--
2	0.05	1.00, 0.500	0.0007700	0.000565	0.00	98.56	928.90	173.53	--	--
3	0.10	1.00, 0.500	0.0007700	0.000565	0.00	98.56	233.74	173.53	--	--
4	0.15	1.00, 0.500	0.0007700	0.000565	0.00	98.56	104.57	173.53	--	--
5	0.20	1.00, 0.500	0.0007700	0.000565	0.00	98.56	59.21	173.53	--	--
6	0.25	1.00, 0.500	0.0007700	0.000565	0.00	98.56	38.15	173.53	--	--
7	0.30	1.00, 0.500	0.0007700	0.000565	0.00	98.56	26.67	173.53	--	--
8	0.35	1.00, 0.500	0.0007700	0.000565	0.00	98.56	19.73	173.53	--	--
9	0.40	1.00, 0.500	0.0007700	0.000565	0.00	98.56	15.21	173.53	--	--
10	0.45	1.00, 0.500	0.0007700	0.000565	0.00	98.56	12.10	173.53	--	--
11	0.50	1.00, 0.500	0.0007700	0.000565	0.00	98.56	9.87	173.53	--	--

Fondazione di monte

PV_D_SR_AP_MU_3_C_016-_001_N_001_R_A_0

Muro prefabbricato – MU.3C.016.N – Relazione di Calcolo

(L'ascissa X, espressa in [m], è positiva verso valle con origine in corrispondenza dell'estremo libero della fondazione di monte)

Nr.	Y	B, H	A _{fs}	A _{fi}	N _u	M _u	CS	V _{Rd}	V _{Rcd}	V _{Rsd}
1	0.00	1.00, 0.500.0007700.000565	0.00	0.00	0.00	0.00	1000.00	173.53	--	--
2	0.16	1.00, 0.500.0007700.000565	0.00	-133.13	252.55	173.53	--	--	--	
3	0.31	1.00, 0.500.0007700.000565	0.00	-133.13	66.77	173.53	--	--	--	
4	0.47	1.00, 0.500.0007700.000565	0.00	-133.13	31.27	173.53	--	--	--	
5	0.62	1.00, 0.500.0007700.000565	0.00	-133.13	18.50	173.53	--	--	--	
6	0.78	1.00, 0.500.0007700.000565	0.00	-133.13	12.46	173.53	--	--	--	
7	0.93	1.00, 0.500.0007700.000565	0.00	-133.13	9.12	173.53	--	--	--	
8	1.08	1.00, 0.500.0007700.000565	0.00	-133.13	7.07	173.53	--	--	--	
9	1.24	1.00, 0.500.0007700.000565	0.00	-133.13	5.73	173.53	--	--	--	
10	1.40	1.00, 0.500.0007700.000565	0.00	-133.13	4.81	173.53	--	--	--	
11	1.55	1.00, 0.500.0007700.000565	0.00	-133.13	4.15	173.53	--	--	--	

COMBINAZIONE n° 6

Valore della spinta statica	72.4037	[kN]		
Componente orizzontale della spinta statica	61.4481	[kN]		
Componente verticale della spinta statica	38.2940	[kN]		
Punto d'applicazione della spinta	X = 1.55	[m]	Y = -2.24	[m]
Inclinaz. della spinta rispetto alla normale alla superficie	31.93	[°]		
Inclinazione linea di rottura in condizioni statiche	43.32	[°]		

Peso terrapieno gravante sulla fondazione a monte	83.4724	[kN]		
Baricentro terrapieno gravante sulla fondazione a monte	X = 0.78	[m]	Y = -1.50	[m]
Numero contrafforti	8			
Peso del singolo contrafforte	4.5000	[kN]		
Peso del contrafforte riferito ad un metro di muro	3.7500	[kN]		
Baricentro contrafforte	X = 0.15	[m]	Y = -1.50	[m]

Risultanti carichi esterni

Componente dir. X	3.90	[kN]		
-------------------	------	------	--	--

Risultanti

Risultante dei carichi applicati in dir. orizzontale	65.3481	[kN]		
Risultante dei carichi applicati in dir. verticale	165.4414	[kN]		
Resistenza passiva a valle del muro	-18.2184	[kN]		
Sforzo normale sul piano di posa della fondazione	165.4414	[kN]		
Sforzo tangenziale sul piano di posa della fondazione	65.3481	[kN]		
Eccentricità rispetto al baricentro della fondazione	0.25	[m]		
Lunghezza fondazione reagente	2.15	[m]		
Risultante in fondazione	177.8798	[kN]		
Inclinazione della risultante (rispetto alla normale)	21.55	[°]		
Momento rispetto al baricentro della fondazione	42.0360	[kNm]		
Carico ultimo della fondazione	594.6728	[kN]		

Tensioni sul terreno

Lunghezza fondazione reagente	2.15	[m]		
Tensione terreno allo spigolo di valle	0.13151	[MPa]		
Tensione terreno allo spigolo di monte	0.02239	[MPa]		

Fattori per il calcolo della capacità portante

Coeff. capacità portante	N _c = 61.35	N _q = 48.93	N _γ = 78.02
Fattori forma	s _c = 1.00	s _q = 1.00	s _γ = 1.00
Fattori inclinazione	i _c = 0.37	i _q = 0.40	i _γ = 0.24
Fattori profondità	d _c = 1.20	d _q = 1.14	d _γ = 1.00
Fattori inclinazione piano posa	b _c = 1.00	b _q = 1.00	b _γ = 1.00
Fattori inclinazione pendio	g _c = 1.00	g _q = 1.00	g _γ = 1.00

I coefficienti N' tengono conto dei fattori di forma, profondità, inclinazione carico, inclinazione piano di posa, inclinazione pendio.

PV_D_SR_AP_MU_3_C_016-_001_N_001_R_A_0

$N'_c = 38.44$

$N'_q = 28.99$

$N'_\gamma = 29.15$

COEFFICIENTI DI SICUREZZA

Coefficiente di sicurezza a scorrimento

1.86

Coefficiente di sicurezza a carico ultimo

3.59

Sollecitazioni fondazione di valle**Combinazione n° 6**

L'ascissa X(espressa in m) è considerata positiva verso monte con origine in corrispondenza dell'estremo libero della fondazione di valle

Momento positivo se tende le fibre inferiori, espresso in kNm

Taglio positivo se diretto verso l'alto, espresso in kN

Nr.	X	M	T
1	0.00	0.0000	0.0000
2	0.05	0.1338	5.3322
3	0.10	0.5311	10.5374
4	0.15	1.1855	15.6158
5	0.20	2.0906	20.5673
6	0.25	3.2401	25.3919
7	0.30	4.6276	30.0896
8	0.35	6.2469	34.6605
9	0.40	8.0916	39.1044
10	0.45	10.1553	43.4214
11	0.50	12.4316	47.6116

Sollecitazioni fondazione di monte**Combinazione n° 6**

L'ascissa X(espressa in m) è considerata positiva verso valle con origine in corrispondenza dell'estremo libero della fondazione di monte

Momento positivo se tende le fibre inferiori, espresso in kNm

Taglio positivo se diretto verso l'alto, espresso in kN

Nr.	X	M	T
1	0.00	0.0000	0.0000
2	0.16	-0.5362	-6.6714
3	0.31	-1.9938	-11.9236
4	0.47	-4.1694	-15.9452
5	0.62	-6.8738	-18.7473
6	0.78	-9.9180	-20.3300
7	0.93	-13.1131	-20.6932
8	1.08	-16.2699	-19.8371
9	1.24	-19.1996	-17.7616
10	1.40	-21.7130	-14.4666
11	1.55	-23.6212	-9.9522

Armature e tensioni nei materiali della fondazione**Combinazione n° 6**

Simbologia adottata

B	base della sezione espressa in [m]
H	altezza della sezione espressa in [m]
A _{fi}	area di armatura in corrispondenza del lembo inferiore in [mq]
A _{fs}	area di armatura in corrispondenza del lembo superiore in [mq]
N _u	sforzo normale ultimo espresso in [kN]
M _u	momento ultimo espresso in [kNm]
CS	coefficiente sicurezza sezione
V _{Rcd}	Aliquota di taglio assorbito dal cls, espresso in [kN]
V _{Rs}	Aliquota di taglio assorbito dall'armatura, espresso in [kN]
V _{Rd}	Resistenza al taglio, espresso in [kN]

Fondazione di valle

(L'ascissa X, espressa in [m], è positiva verso monte con origine in corrispondenza dell'estremo libero della fondazione di valle)

Nr.	Y	B, H	A _{fs}	A _{fi}	N _u	M _u	CS	V _{Rd}	V _{Rcd}	V _{Rs}
1	0.00	1.00, 0.500	0.0007700	0.000565	0.00	0.00	1000.00	173.53	--	--
2	0.05	1.00, 0.500	0.0007700	0.000565	0.00	98.56	736.47	173.53	--	--
3	0.10	1.00, 0.500	0.0007700	0.000565	0.00	98.56	185.58	173.53	--	--
4	0.15	1.00, 0.500	0.0007700	0.000565	0.00	98.56	83.14	173.53	--	--
5	0.20	1.00, 0.500	0.0007700	0.000565	0.00	98.56	47.15	173.53	--	--
6	0.25	1.00, 0.500	0.0007700	0.000565	0.00	98.56	30.42	173.53	--	--

Muro prefabbricato – MU.3C.016.N – Relazione di Calcolo

7	0.30	1.00, 0.500.0007700.000565	0.00	98.56	21.30	173.53	--	--
8	0.35	1.00, 0.500.0007700.000565	0.00	98.56	15.78	173.53	--	--
9	0.40	1.00, 0.500.0007700.000565	0.00	98.56	12.18	173.53	--	--
10	0.45	1.00, 0.500.0007700.000565	0.00	98.56	9.71	173.53	--	--
11	0.50	1.00, 0.500.0007700.000565	0.00	98.56	7.93	173.53	--	--

Fondazione di monte

(L'ascissa X, espressa in [m], è positiva verso valle con origine in corrispondenza dell'estremo libero della fondazione di monte)

Nr.	Y	B, H	A _{fs}	A _{fi}	N _u	M _u	CS	V _{Rd}	V _{Rcd}	V _{Rsd}
1	0.00	1.00, 0.500.0007700.000565			0.00	0.00	1000.00	173.53	--	--
2	0.16	1.00, 0.500.0007700.000565			0.00	-133.13	248.27	173.53	--	--
3	0.31	1.00, 0.500.0007700.000565			0.00	-133.13	66.77	173.53	--	--
4	0.47	1.00, 0.500.0007700.000565			0.00	-133.13	31.93	173.53	--	--
5	0.62	1.00, 0.500.0007700.000565			0.00	-133.13	19.37	173.53	--	--
6	0.78	1.00, 0.500.0007700.000565			0.00	-133.13	13.42	173.53	--	--
7	0.93	1.00, 0.500.0007700.000565			0.00	-133.13	10.15	173.53	--	--
8	1.08	1.00, 0.500.0007700.000565			0.00	-133.13	8.18	173.53	--	--
9	1.24	1.00, 0.500.0007700.000565			0.00	-133.13	6.93	173.53	--	--
10	1.40	1.00, 0.500.0007700.000565			0.00	-133.13	6.13	173.53	--	--
11	1.55	1.00, 0.500.0007700.000565			0.00	-133.13	5.64	173.53	--	--

COMBINAZIONE n° 7

Valore della spinta statica	79.6441	[kN]		
Componente orizzontale della spinta statica	67.5929	[kN]		
Componente verticale della spinta statica	42.1234	[kN]		
Punto d'applicazione della spinta	X = 1.55	[m]	Y = -2.24	[m]
Inclinaz. della spinta rispetto alla normale alla superficie	31.93	[°]		
Inclinazione linea di rottura in condizioni statiche	43.32	[°]		

Peso terrapieno gravante sulla fondazione a monte	75.1251	[kN]		
Baricentro terrapieno gravante sulla fondazione a monte	X = 0.78	[m]	Y = -1.50	[m]
Numero contrafforti	8			
Peso del singolo contrafforte	4.0500	[kN]		
Peso del contrafforte riferito ad un metro di muro	3.3750	[kN]		
Baricentro contrafforte	X = 0.15	[m]	Y = -1.50	[m]

Risultanti carichi esterni

Componente dir. X	4.50	[kN]		
-------------------	------	------	--	--

Risultanti

Risultante dei carichi applicati in dir. orizzontale	72.0929	[kN]		
Risultante dei carichi applicati in dir. verticale	156.5560	[kN]		
Resistenza passiva a valle del muro	-16.3966	[kN]		
Momento ribaltante rispetto allo spigolo a valle	109.6823	[kNm]		
Momento stabilizzante rispetto allo spigolo a valle	227.4936	[kNm]		
Sforzo normale sul piano di posa della fondazione	156.5560	[kN]		
Sforzo tangenziale sul piano di posa della fondazione	72.0929	[kN]		
Eccentricità rispetto al baricentro della fondazione	0.32	[m]		
Lunghezza fondazione reagente	2.15	[m]		
Risultante in fondazione	172.3577	[kN]		
Inclinazione della risultante (rispetto alla normale)	24.73	[°]		
Momento rispetto al baricentro della fondazione	50.4865	[kNm]		

COEFFICIENTI DI SICUREZZA

Coefficiente di sicurezza a ribaltamento	2.07			
--	------	--	--	--

Stabilità globale muro + terrenoCombinazione n° 8

Le ascisse X sono considerate positive verso monte

Le ordinate Y sono considerate positive verso l'alto

Origine in testa al muro (spigolo contro terra)

W peso della striscia espresso in [kN]

PV_D_SR_AP_MU_3_C_016-_001_N_001_R_A_0

Muro prefabbricato – MU.3C.016.N – Relazione di Calcolo

α	angolo fra la base della striscia e l'orizzontale espresso in [°] (positivo antiorario)
ϕ	angolo d'attrito del terreno lungo la base della striscia
c	coesione del terreno lungo la base della striscia espressa in [MPa]
b	larghezza della striscia espressa in [m]
u	pressione neutra lungo la base della striscia espressa in [MPa]

Metodo di Bishop

Numero di cerchi analizzati 36

Numero di strisce 25

Cerchio critico

Coordinate del centro X[m]= 0.00 Y[m]= 2.61

Raggio del cerchio R[m]= 6.31

Ascissa a valle del cerchio Xi[m]= -3.84

Ascissa a monte del cerchio Xs[m]= 6.30

Larghezza della striscia dx[m]= 0.41

Coefficiente di sicurezza C= 1.78

Le strisce sono numerate da monte verso valle

Caratteristiche delle strisce

Striscia	W	$\alpha(^{\circ})$	$W\sin\alpha$	$b/\cos\alpha$	ϕ	c	u
1	1178.72	77.93	1152.66	1.94	32.01	0.000	0.000
2	2046.27	64.76	1850.93	0.95	32.01	0.000	0.000
3	2428.01	57.05	2037.42	0.75	32.01	0.000	0.000
4	2670.59	50.75	2068.02	0.64	32.01	0.000	0.000
5	2830.22	45.22	2008.91	0.58	32.01	0.000	0.000
6	2931.08	40.19	1891.55	0.53	32.01	0.000	0.000
7	2986.37	35.52	1734.85	0.50	32.01	0.000	0.000
8	3004.20	31.10	1551.78	0.47	32.01	0.000	0.000
9	2989.98	26.88	1351.97	0.45	32.01	0.000	0.000
10	2947.46	22.82	1143.05	0.44	32.01	0.000	0.000
11	2879.34	18.87	931.35	0.43	32.01	0.000	0.000
12	2827.29	15.02	732.60	0.42	32.01	0.000	0.000
13	2867.94	11.23	558.62	0.41	32.01	0.000	0.000
14	2915.48	7.50	380.31	0.41	32.01	0.000	0.000
15	2946.15	3.79	194.78	0.41	32.01	0.000	0.000
16	2741.29	0.10	4.88	0.41	32.01	0.000	0.000
17	1111.70	-3.59	-69.54	0.41	32.01	0.000	0.000
18	948.80	-7.29	-120.39	0.41	32.01	0.000	0.000
19	897.75	-11.02	-171.67	0.41	32.01	0.000	0.000
20	826.56	-14.81	-211.24	0.42	32.01	0.000	0.000
21	733.23	-18.66	-234.56	0.43	32.01	0.000	0.000
22	616.36	-22.60	-236.83	0.44	32.01	0.000	0.000
23	474.01	-26.65	-212.64	0.45	32.01	0.000	0.000
24	303.54	-30.86	-155.71	0.47	32.01	0.000	0.000
25	101.26	-35.27	-58.46	0.50	32.01	0.000	0.000

 $\Sigma W_i = 482.5299$ [kN] $\Sigma W_i \sin\alpha_i = 177.7252$ [kN] $\Sigma W_i \tan\phi_i = 301.5949$ [kN] $\Sigma \tan\alpha_i \tan\phi_i = 7.16$ COMBINAZIONE n° 9

Valore della spinta statica	47.4848	[kN]	
Componente orizzontale della spinta statica	37.4586	[kN]	
Componente verticale della spinta statica	29.1832	[kN]	
Punto d'applicazione della spinta	X = 1.55	[m]	Y = -2.29 [m]
Inclinaz. della spinta rispetto alla normale alla superficie	37.92	[°]	
Inclinazione linea di rottura in condizioni statiche	50.09	[°]	
Incremento sismico della spinta	37.9017	[kN]	

PV_D_SR_AP_MU_3_C_016-_001_N_001_R_A_0

Muro prefabbricato – MU.3C.016.N – Relazione di Calcolo

Punto d'applicazione dell'incremento sismico di spinta	X = 1.55	[m]	Y = -2.29	[m]
Inclinazione linea di rottura in condizioni sismiche	42.90	[°]		
Peso terrapieno gravante sulla fondazione a monte	83.4724	[kN]		
Baricentro terrapieno gravante sulla fondazione a monte	X = 0.78	[m]	Y = -1.50	[m]
Numero contrafforti	8			
Peso del singolo contrafforte	4.5000	[kN]		
Peso del contrafforte riferito ad un metro di muro	3.7500	[kN]		
Baricentro contrafforte	X = 0.15	[m]	Y = -1.50	[m]
Inerzia del muro	3.8244	[kN]		
Inerzia verticale del muro	1.9122	[kN]		
Inerzia del terrapieno fondazione di monte	9.2868	[kN]		
Inerzia verticale del terrapieno fondazione di monte	4.6434	[kN]		
Inerzia del singolo contrafforte	0.5007	[kN]		
Inerzia del contrafforte riferita ad un metro di muro	0.4172	[kN]		
Inerzia verticale del singolo contrafforte	0.2503	[kN]		
Inerzia verticale del contrafforte riferita ad un metro di muro	0.2086	[kN]		

Risultanti

Risultante dei carichi applicati in dir. orizzontale	81.5034	[kN]		
Risultante dei carichi applicati in dir. verticale	186.3884	[kN]		
Resistenza passiva a valle del muro	-23.5252	[kN]		
Sforzo normale sul piano di posa della fondazione	186.3884	[kN]		
Sforzo tangenziale sul piano di posa della fondazione	81.5034	[kN]		
Eccentricità rispetto al baricentro della fondazione	0.17	[m]		
Lunghezza fondazione reagente	2.15	[m]		
Risultante in fondazione	203.4292	[kN]		
Inclinazione della risultante (rispetto alla normale)	23.62	[°]		
Momento rispetto al baricentro della fondazione	30.8509	[kNm]		
Carico ultimo della fondazione	1271.1777	[kN]		

Tensioni sul terreno

Lunghezza fondazione reagente	2.15	[m]		
Tensione terreno allo spigolo di valle	0.12674	[MPa]		
Tensione terreno allo spigolo di monte	0.04665	[MPa]		

Fattori per il calcolo della capacità portante

Coeff. capacità portante	$N_c = 61.35$	$N_q = 48.93$	$N_\gamma = 78.02$
Fattori forma	$s_c = 1.00$	$s_q = 1.00$	$s_\gamma = 1.00$
Fattori inclinazione	$i_c = 0.34$	$i_q = 0.35$	$i_\gamma = 0.20$
Fattori profondità	$d_c = 1.20$	$d_q = 1.12$	$d_\gamma = 1.00$
Fattori inclinazione piano posa	$b_c = 1.00$	$b_q = 1.00$	$b_\gamma = 1.00$
Fattori inclinazione pendio	$g_c = 1.00$	$g_q = 1.00$	$g_\gamma = 1.00$

I coefficienti N' tengono conto dei fattori di forma, profondità, inclinazione carico, inclinazione piano di posa, inclinazione pendio.

$$N'_c = 38.44 \quad N'_q = 28.99 \quad N'_\gamma = 29.15$$

COEFFICIENTI DI SICUREZZA

Coefficiente di sicurezza a scorrimento	2.08
Coefficiente di sicurezza a carico ultimo	6.82

Sollecitazioni fondazione di valleCombinazione n° 9

L'ascissa X(espressa in m) è considerata positiva verso ascissa monte con origine in corrispondenza dell'estremo libero della fondazione di valle

Momento positivo se tende le fibre inferiori, espresso in kNm

Taglio positivo se diretto verso l'alto, espresso in kN

Nr.	X	M	T
1	0.00	0.0000	0.0000
2	0.05	0.1281	5.1103
3	0.10	0.5095	10.1274
4	0.15	1.1393	15.0514
5	0.20	2.0131	19.8823
6	0.25	3.1260	24.6201

PV_D_SR_AP_MU_3_C_016-_001_N_001_R_A_0

Muro prefabbricato – MU.3C.016.N – Relazione di Calcolo

7	0.30	4.4735	29.2647
8	0.35	6.0509	33.8163
9	0.40	7.8536	38.2746
10	0.45	9.8768	42.6399
11	0.50	12.1160	46.9120

Sollecitazioni fondazione di monteCombinazione n° 9

L'ascissa X (espressa in m) è considerata positiva verso valle con origine in corrispondenza dell'estremo libero della fondazione di monte

Momento positivo se tende le fibre inferiori, espresso in kNm

Taglio positivo se diretto verso l'alto, espresso in kN

Nr.	X	M	T
1	0.00	0.0000	0.0000
2	0.16	-0.2532	-3.0732
3	0.31	-0.8951	-5.0516
4	0.47	-1.7728	-6.1239
5	0.62	-2.7473	-6.3011
6	0.78	-3.6799	-5.5835
7	0.93	-4.4319	-3.9708
8	1.08	-4.8646	-1.4633
9	1.24	-4.8393	1.9392
10	1.40	-4.2172	6.2367
11	1.55	-2.8597	11.4291

Armature e tensioni nei materiali della fondazioneCombinazione n° 9

Simbologia adottata

B	base della sezione espressa in [m]
H	altezza della sezione espressa in [m]
A _{fi}	area di armatura in corrispondenza del lembo inferiore in [mq]
A _{fs}	area di armatura in corrispondenza del lembo superiore in [mq]
N _u	sforzo normale ultimo espresso in [kN]
M _u	momento ultimo espresso in [kNm]
CS	coefficiente sicurezza sezione
V _{Rcd}	Aliquota di taglio assorbito dal cls, espresso in [kN]
V _{Rsd}	Aliquota di taglio assorbito dall'armatura, espresso in [kN]
V _{Rd}	Resistenza al taglio, espresso in [kN]

Fondazione di valle

(L'ascissa X, espressa in [m], è positiva verso monte con origine in corrispondenza dell'estremo libero della fondazione di valle)

Nr.	Y	B, H	A _{fs}	A _{fi}	N _u	M _u	CS	V _{Rd}	V _{Rcd}	V _{Rsd}
1	0.00	1.00, 0.500	0.0007700	0.000565	0.00	0.00	1000.00	173.53	--	--
2	0.05	1.00, 0.500	0.0007700	0.000565	0.00	98.56	769.16	173.53	--	--
3	0.10	1.00, 0.500	0.0007700	0.000565	0.00	98.56	193.46	173.53	--	--
4	0.15	1.00, 0.500	0.0007700	0.000565	0.00	98.56	86.51	173.53	--	--
5	0.20	1.00, 0.500	0.0007700	0.000565	0.00	98.56	48.96	173.53	--	--
6	0.25	1.00, 0.500	0.0007700	0.000565	0.00	98.56	31.53	173.53	--	--
7	0.30	1.00, 0.500	0.0007700	0.000565	0.00	98.56	22.03	173.53	--	--
8	0.35	1.00, 0.500	0.0007700	0.000565	0.00	98.56	16.29	173.53	--	--
9	0.40	1.00, 0.500	0.0007700	0.000565	0.00	98.56	12.55	173.53	--	--
10	0.45	1.00, 0.500	0.0007700	0.000565	0.00	98.56	9.98	173.53	--	--
11	0.50	1.00, 0.500	0.0007700	0.000565	0.00	98.56	8.14	173.53	--	--

Fondazione di monte

(L'ascissa X, espressa in [m], è positiva verso valle con origine in corrispondenza dell'estremo libero della fondazione di monte)

Nr.	Y	B, H	A _{fs}	A _{fi}	N _u	M _u	CS	V _{Rd}	V _{Rcd}	V _{Rsd}
1	0.00	1.00, 0.500	0.0007700	0.000565	0.00	0.00	1000.00	173.53	--	--
2	0.16	1.00, 0.500	0.0007700	0.000565	0.00	-133.13	525.83	173.53	--	--
3	0.31	1.00, 0.500	0.0007700	0.000565	0.00	-133.13	148.73	173.53	--	--
4	0.47	1.00, 0.500	0.0007700	0.000565	0.00	-133.13	75.10	173.53	--	--
5	0.62	1.00, 0.500	0.0007700	0.000565	0.00	-133.13	48.46	173.53	--	--
6	0.78	1.00, 0.500	0.0007700	0.000565	0.00	-133.13	36.18	173.53	--	--

PV_D_SR_AP_MU_3_C_016-_001_N_001_R_A_0

Muro prefabbricato – MU.3C.016.N – Relazione di Calcolo

7	0.93	1.00, 0.500.0007700.000565	0.00	-133.13	30.04	173.53	--	--
8	1.08	1.00, 0.500.0007700.000565	0.00	-133.13	27.37	173.53	--	--
9	1.24	1.00, 0.500.0007700.000565	0.00	-133.13	27.51	173.53	--	--
10	1.40	1.00, 0.500.0007700.000565	0.00	-133.13	31.57	173.53	--	--
11	1.55	1.00, 0.500.0007700.000565	0.00	-133.13	46.56	173.53	--	--

COMBINAZIONE n° 10

Valore della spinta statica	47.4848	[kN]		
Componente orizzontale della spinta statica	37.4586	[kN]		
Componente verticale della spinta statica	29.1832	[kN]		
Punto d'applicazione della spinta	X = 1.55	[m]	Y = -2.29	[m]
Inclinaz. della spinta rispetto alla normale alla superficie	37.92	[°]		
Inclinazione linea di rottura in condizioni statiche	50.09	[°]		

Incremento sismico della spinta	33.7050	[kN]		
Punto d'applicazione dell'incremento sismico di spinta	X = 1.55	[m]	Y = -2.29	[m]
Inclinazione linea di rottura in condizioni sismiche	42.34	[°]		

Peso terrapieno gravante sulla fondazione a monte	83.4724	[kN]		
Baricentro terrapieno gravante sulla fondazione a monte	X = 0.78	[m]	Y = -1.50	[m]
Numero contrafforti	8			
Peso del singolo contrafforte	4.5000	[kN]		
Peso del contrafforte riferito ad un metro di muro	3.7500	[kN]		
Baricentro contrafforte	X = 0.15	[m]	Y = -1.50	[m]
Inerzia del muro	3.8244	[kN]		
Inerzia verticale del muro	-1.9122	[kN]		
Inerzia del terrapieno fondazione di monte	9.2868	[kN]		
Inerzia verticale del terrapieno fondazione di monte	-4.6434	[kN]		
Inerzia del singolo contrafforte	0.5007	[kN]		
Inerzia del contrafforte riferita ad un metro di muro	0.4172	[kN]		
Inerzia verticale del singolo contrafforte	-0.2503	[kN]		
Inerzia verticale del contrafforte riferita ad un metro di muro	-0.2086	[kN]		

Risultanti

Risultante dei carichi applicati in dir. orizzontale	78.1929	[kN]		
Risultante dei carichi applicati in dir. verticale	170.2807	[kN]		
Resistenza passiva a valle del muro	-23.5252	[kN]		
Sforzo normale sul piano di posa della fondazione	170.2807	[kN]		
Sforzo tangenziale sul piano di posa della fondazione	78.1929	[kN]		
Eccentricità rispetto al baricentro della fondazione	0.19	[m]		
Lunghezza fondazione reagente	2.15	[m]		
Risultante in fondazione	187.3757	[kN]		
Inclinazione della risultante (rispetto alla normale)	24.66	[°]		
Momento rispetto al baricentro della fondazione	31.8481	[kNm]		
Carico ultimo della fondazione	1134.8848	[kN]		

Tensioni sul terreno

Lunghezza fondazione reagente	2.15	[m]		
Tensione terreno allo spigolo di valle	0.12054	[MPa]		
Tensione terreno allo spigolo di monte	0.03786	[MPa]		

Fattori per il calcolo della capacità portante

Coeff. capacità portante	$N_c = 61.35$	$N_q = 48.93$	$N_\gamma = 78.02$
Fattori forma	$s_c = 1.00$	$s_q = 1.00$	$s_\gamma = 1.00$
Fattori inclinazione	$i_c = 0.31$	$i_q = 0.33$	$i_\gamma = 0.18$
Fattori profondità	$d_c = 1.20$	$d_q = 1.12$	$d_\gamma = 1.00$
Fattori inclinazione piano posa	$b_c = 1.00$	$b_q = 1.00$	$b_\gamma = 1.00$
Fattori inclinazione pendio	$g_c = 1.00$	$g_q = 1.00$	$g_\gamma = 1.00$

I coefficienti N' tengono conto dei fattori di forma, profondità, inclinazione carico, inclinazione piano di posa, inclinazione pendio.

$N'_c = 38.44$

$N'_q = 28.99$

$N'_\gamma = 29.15$

COEFFICIENTI DI SICUREZZA

Coefficiente di sicurezza a scorrimento

2.00

Coefficiente di sicurezza a carico ultimo

6.66

Sollecitazioni fondazione di valleCombinazione n° 10

L'ascissa X(espressa in m) è considerata positiva verso monte con origine in corrispondenza dell'estremo libero della fondazione di valle

Momento positivo se tende le fibre inferiori, espresso in kNm

Taglio positivo se diretto verso l'alto, espresso in kN

Nr.	X	M	T
1	0.00	0.0000	0.0000
2	0.05	0.1204	4.7989
3	0.10	0.4783	9.5016
4	0.15	1.0689	14.1083
5	0.20	1.8875	18.6187
6	0.25	2.9292	23.0331
7	0.30	4.1892	27.3513
8	0.35	5.6627	31.5734
9	0.40	7.3449	35.6993
10	0.45	9.2311	39.7291
11	0.50	11.3163	43.6627

Sollecitazioni fondazione di monteCombinazione n° 10

L'ascissa X(espressa in m) è considerata positiva verso valle con origine in corrispondenza dell'estremo libero della fondazione di monte

Momento positivo se tende le fibre inferiori, espresso in kNm

Taglio positivo se diretto verso l'alto, espresso in kN

Nr.	X	M	T
1	0.00	0.0000	0.0000
2	0.16	-0.3580	-4.4206
3	0.31	-1.3113	-7.7175
4	0.47	-2.7025	-10.0793
5	0.62	-4.3882	-11.5172
6	0.78	-6.2251	-12.0312
7	0.93	-8.0701	-11.6214
8	1.08	-9.7800	-10.2877
9	1.24	-11.2116	-8.0301
10	1.40	-12.2216	-4.8486
11	1.55	-12.6669	-0.7433

Armature e tensioni nei materiali della fondazioneCombinazione n° 10

Simbologia adottata

B	base della sezione espressa in [m]
H	altezza della sezione espressa in [m]
A _{fi}	area di armatura in corrispondenza del lembo inferiore in [mq]
A _{fs}	area di armatura in corrispondenza del lembo superiore in [mq]
N _u	sfuerzo normale ultimo espresso in [kN]
M _u	momento ultimo espresso in [kNm]
CS	coefficiente sicurezza sezione
VR _{cd}	Aliquota di taglio assorbito dal cls, espresso in [kN]
VR _{sd}	Aliquota di taglio assorbito dall'armatura, espresso in [kN]
VR _d	Resistenza al taglio, espresso in [kN]

Fondazione di valle

(L'ascissa X, espressa in [m], è positiva verso monte con origine in corrispondenza dell'estremo libero della fondazione di valle)

Nr.	Y	B, H	A _{fs}	A _{fi}	N _u	M _u	CS	V _{Rd}	V _{Rcd}	V _{Rsd}
1	0.00	1.00, 0.500	0.0007700	0.000565	0.00	0.00	1000.00	173.53	--	--
2	0.05	1.00, 0.500	0.0007700	0.000565	0.00	98.56	818.82	173.53	--	--
3	0.10	1.00, 0.500	0.0007700	0.000565	0.00	98.56	206.08	173.53	--	--
4	0.15	1.00, 0.500	0.0007700	0.000565	0.00	98.56	92.21	173.53	--	--
5	0.20	1.00, 0.500	0.0007700	0.000565	0.00	98.56	52.22	173.53	--	--

PV_D_SR_AP_MU_3_C_016-_001_N_001_R_A_0

Muro prefabbricato – MU.3C.016.N – Relazione di Calcolo

6	0.25	1.00, 0.500.0007700.000565	0.00	98.56	33.65	173.53	--	--
7	0.30	1.00, 0.500.0007700.000565	0.00	98.56	23.53	173.53	--	--
8	0.35	1.00, 0.500.0007700.000565	0.00	98.56	17.41	173.53	--	--
9	0.40	1.00, 0.500.0007700.000565	0.00	98.56	13.42	173.53	--	--
10	0.45	1.00, 0.500.0007700.000565	0.00	98.56	10.68	173.53	--	--
11	0.50	1.00, 0.500.0007700.000565	0.00	98.56	8.71	173.53	--	--

Fondazione di monte

(L'ascissa X, espressa in [m], è positiva verso valle con origine in corrispondenza dell'estremo libero della fondazione di monte)

Nr.	Y	B, H	A _{fs}	A _{fi}	N _u	M _u	CS	V _{Rd}	V _{Rcd}	V _{Rsd}
1	0.00	1.00, 0.500.0007700.000565	0.00	0.00	1000.00	173.53	--	--		
2	0.16	1.00, 0.500.0007700.000565	0.00	-133.13	371.90	173.53	--	--		
3	0.31	1.00, 0.500.0007700.000565	0.00	-133.13	101.53	173.53	--	--		
4	0.47	1.00, 0.500.0007700.000565	0.00	-133.13	49.26	173.53	--	--		
5	0.62	1.00, 0.500.0007700.000565	0.00	-133.13	30.34	173.53	--	--		
6	0.78	1.00, 0.500.0007700.000565	0.00	-133.13	21.39	173.53	--	--		
7	0.93	1.00, 0.500.0007700.000565	0.00	-133.13	16.50	173.53	--	--		
8	1.08	1.00, 0.500.0007700.000565	0.00	-133.13	13.61	173.53	--	--		
9	1.24	1.00, 0.500.0007700.000565	0.00	-133.13	11.87	173.53	--	--		
10	1.40	1.00, 0.500.0007700.000565	0.00	-133.13	10.89	173.53	--	--		
11	1.55	1.00, 0.500.0007700.000565	0.00	-133.13	10.51	173.53	--	--		

COMBINAZIONE n° 11

Valore della spinta statica	72.4037	[kN]		
Componente orizzontale della spinta statica	61.4481	[kN]		
Componente verticale della spinta statica	38.2940	[kN]		
Punto d'applicazione della spinta	X = 1.55	[m]	Y = -2.24	[m]
Inclinaz. della spinta rispetto alla normale alla superficie	31.93	[°]		
Inclinazione linea di rottura in condizioni statiche	43.32	[°]		
Incremento sismico della spinta	47.5943	[kN]		
Punto d'applicazione dell'incremento sismico di spinta	X = 1.55	[m]	Y = -2.24	[m]
Inclinazione linea di rottura in condizioni sismiche	38.63	[°]		
Peso terrapieno gravante sulla fondazione a monte	83.4724	[kN]		
Baricentro terrapieno gravante sulla fondazione a monte	X = 0.78	[m]	Y = -1.50	[m]
Numero contrafforti	8			
Peso del singolo contrafforte	4.5000	[kN]		
Peso del contrafforte riferito ad un metro di muro	3.7500	[kN]		
Baricentro contrafforte	X = 0.15	[m]	Y = -1.50	[m]
Inerzia del muro	3.8244	[kN]		
Inerzia verticale del muro	1.9122	[kN]		
Inerzia del terrapieno fondazione di monte	9.2868	[kN]		
Inerzia verticale del terrapieno fondazione di monte	4.6434	[kN]		
Inerzia del singolo contrafforte	0.5007	[kN]		
Inerzia del contrafforte riferita ad un metro di muro	0.4172	[kN]		
Inerzia verticale del singolo contrafforte	0.2503	[kN]		
Inerzia verticale del contrafforte riferita ad un metro di muro	0.2086	[kN]		

Risultanti

Risultante dei carichi applicati in dir. orizzontale	115.9866	[kN]
Risultante dei carichi applicati in dir. verticale	197.3780	[kN]
Resistenza passiva a valle del muro	-18.2184	[kN]
Sforzo normale sul piano di posa della fondazione	197.3780	[kN]
Sforzo tangenziale sul piano di posa della fondazione	115.9866	[kN]
Eccentricità rispetto al baricentro della fondazione	0.33	[m]
Lunghezza fondazione reagente	2.15	[m]
Risultante in fondazione	228.9344	[kN]
Inclinazione della risultante (rispetto alla normale)	30.44	[°]

PV_D_SR_AP_MU_3_C_016-_001_N_001_R_A_0

Muro prefabbricato – MU.3C.016.N – Relazione di Calcolo

Momento rispetto al baricentro della fondazione	65.5207	[kNm]
Carico ultimo della fondazione	233.7882	[kN]

Tensioni sul terreno

Lunghezza fondazione reagente	2.15	[m]
Tensione terreno allo spigolo di valle	0.17685	[MPa]
Tensione terreno allo spigolo di monte	0.00676	[MPa]

Fattori per il calcolo della capacità portante

Coeff. capacità portante	$N_c = 61.35$	$N_q = 48.93$	$N_\gamma = 78.02$
Fattori forma	$s_c = 1.00$	$s_q = 1.00$	$s_\gamma = 1.00$
Fattori inclinazione	$i_c = 0.16$	$i_q = 0.20$	$i_\gamma = 0.08$
Fattori profondità	$d_c = 1.20$	$d_q = 1.14$	$d_\gamma = 1.00$
Fattori inclinazione piano posa	$b_c = 1.00$	$b_q = 1.00$	$b_\gamma = 1.00$
Fattori inclinazione pendio	$g_c = 1.00$	$g_q = 1.00$	$g_\gamma = 1.00$

I coefficienti N' tengono conto dei fattori di forma, profondità, inclinazione carico, inclinazione piano di posa, inclinazione pendio.

$N'_c = 38.44$	$N'_q = 28.99$	$N'_\gamma = 29.15$
----------------	----------------	---------------------

COEFFICIENTI DI SICUREZZA

Coefficiente di sicurezza a scorrimento	1.22
Coefficiente di sicurezza a carico ultimo	1.18

Sollecitazioni fondazione di valleCombinazione n° 11

L'ascissa X(espressa in m) è considerata positiva verso monte con origine in corrispondenza dell'estremo libero della fondazione di valle

Momento positivo se tende le fibre inferiori, espresso in kNm

Taglio positivo se diretto verso l'alto, espresso in kN

Nr.	X	M	T
1	0.00	0.0000	0.0000
2	0.05	0.1899	7.5636
3	0.10	0.7531	14.9294
4	0.15	1.6796	22.0974
5	0.20	2.9595	29.0677
6	0.25	4.5830	35.8401
7	0.30	6.5402	42.4148
8	0.35	8.8212	48.7917
9	0.40	11.4161	54.9708
10	0.45	14.3150	60.9522
11	0.50	17.5080	66.7357

Sollecitazioni fondazione di monteCombinazione n° 11

L'ascissa X(espressa in m) è considerata positiva verso valle con origine in corrispondenza dell'estremo libero della fondazione di monte

Momento positivo se tende le fibre inferiori, espresso in kNm

Taglio positivo se diretto verso l'alto, espresso in kN

Nr.	X	M	T
1	0.00	0.0000	0.0000
2	0.16	-0.7064	-8.7533
3	0.31	-2.6040	-15.4061
4	0.47	-5.3839	-20.1469
5	0.62	-8.7513	-22.9871
6	0.78	-12.4117	-23.9265
7	0.93	-16.0703	-22.9654
8	1.08	-19.4327	-20.1035
9	1.24	-22.2042	-15.3410
10	1.40	-24.0902	-8.6777
11	1.55	-24.7961	-0.1139

Armature e tensioni nei materiali della fondazioneCombinazione n° 11

Simbologia adottata

B base della sezione espressa in [m]

H altezza della sezione espressa in [m]

PV_D_SR_AP_MU_3_C_016-_001_N_001_R_A_0

Muro prefabbricato – MU.3C.016.N – Relazione di Calcolo

A_{fi}	area di armatura in corrispondenza del lembo inferiore in [mq]
A_{fs}	area di armatura in corrispondenza del lembo superiore in [mq]
N_u	sforzo normale ultimo espresso in [kN]
M_u	momento ultimo espresso in [kNm]
CS	coefficiente sicurezza sezione
V_{Rcd}	Aliquota di taglio assorbito dal cls, espresso in [kN]
V_{Rsd}	Aliquota di taglio assorbito dall'armatura, espresso in [kN]
V_{Rd}	Resistenza al taglio, espresso in [kN]

Fondazione di valle

(L'ascissa X, espressa in [m], è positiva verso monte con origine in corrispondenza dell'estremo libero della fondazione di valle)

Nr.	Y	B, H	A_{fs}	A_{fi}	N_u	M_u	CS	V_{Rd}	V_{Rcd}	V_{Rsd}
1	0.00	1.00, 0.500.0007700.000565			0.00	0.00	1000.00	173.53	--	--
2	0.05	1.00, 0.500.0007700.000565			0.00	98.56	518.99	173.53	--	--
3	0.10	1.00, 0.500.0007700.000565			0.00	98.56	130.88	173.53	--	--
4	0.15	1.00, 0.500.0007700.000565			0.00	98.56	58.68	173.53	--	--
5	0.20	1.00, 0.500.0007700.000565			0.00	98.56	33.30	173.53	--	--
6	0.25	1.00, 0.500.0007700.000565			0.00	98.56	21.51	173.53	--	--
7	0.30	1.00, 0.500.0007700.000565			0.00	98.56	15.07	173.53	--	--
8	0.35	1.00, 0.500.0007700.000565			0.00	98.56	11.17	173.53	--	--
9	0.40	1.00, 0.500.0007700.000565			0.00	98.56	8.63	173.53	--	--
10	0.45	1.00, 0.500.0007700.000565			0.00	98.56	6.89	173.53	--	--
11	0.50	1.00, 0.500.0007700.000565			0.00	98.56	5.63	173.53	--	--

Fondazione di monte

(L'ascissa X, espressa in [m], è positiva verso valle con origine in corrispondenza dell'estremo libero della fondazione di monte)

Nr.	Y	B, H	A_{fs}	A_{fi}	N_u	M_u	CS	V_{Rd}	V_{Rcd}	V_{Rsd}
1	0.00	1.00, 0.500.0007700.000565			0.00	0.00	1000.00	173.53	--	--
2	0.16	1.00, 0.500.0007700.000565			0.00	-133.13	188.47	173.53	--	--
3	0.31	1.00, 0.500.0007700.000565			0.00	-133.13	51.13	173.53	--	--
4	0.47	1.00, 0.500.0007700.000565			0.00	-133.13	24.73	173.53	--	--
5	0.62	1.00, 0.500.0007700.000565			0.00	-133.13	15.21	173.53	--	--
6	0.78	1.00, 0.500.0007700.000565			0.00	-133.13	10.73	173.53	--	--
7	0.93	1.00, 0.500.0007700.000565			0.00	-133.13	8.28	173.53	--	--
8	1.08	1.00, 0.500.0007700.000565			0.00	-133.13	6.85	173.53	--	--
9	1.24	1.00, 0.500.0007700.000565			0.00	-133.13	6.00	173.53	--	--
10	1.40	1.00, 0.500.0007700.000565			0.00	-133.13	5.53	173.53	--	--
11	1.55	1.00, 0.500.0007700.000565			0.00	-133.13	5.37	173.53	--	--

COMBINAZIONE n° 12

Valore della spinta statica	72.4037	[kN]		
Componente orizzontale della spinta statica	61.4481	[kN]		
Componente verticale della spinta statica	38.2940	[kN]		
Punto d'applicazione della spinta	X = 1.55	[m]	Y = -2.24	[m]
Inclinaz. della spinta rispetto alla normale alla superficie	31.93	[°]		
Inclinazione linea di rottura in condizioni statiche	43.32	[°]		
Incremento sismico della spinta	40.2416	[kN]		
Punto d'applicazione dell'incremento sismico di spinta	X = 1.55	[m]	Y = -2.24	[m]
Inclinazione linea di rottura in condizioni sismiche	38.01	[°]		
Peso terrapieno gravante sulla fondazione a monte	83.4724	[kN]		
Baricentro terrapieno gravante sulla fondazione a monte	X = 0.78	[m]	Y = -1.50	[m]
Numero contrafforti	8			
Peso del singolo contrafforte	4.5000	[kN]		
Peso del contrafforte riferito ad un metro di muro	3.7500	[kN]		
Baricentro contrafforte	X = 0.15	[m]	Y = -1.50	[m]
Inerzia del muro	3.8244	[kN]		
Inerzia verticale del muro	-1.9122	[kN]		
Inerzia del terrapieno fondazione di monte	9.2868	[kN]		

PV_D_SR_AP_MU_3_C_016-_001_N_001_R_A_0

Muro prefabbricato – MU.3C.016.N – Relazione di Calcolo

Inerzia verticale del terrapieno fondazione di monte	-4.6434	[kN]
Inerzia del singolo contrafforte	0.5007	[kN]
Inerzia del contrafforte riferita ad un metro di muro	0.4172	[kN]
Inerzia verticale del singolo contrafforte	-0.2503	[kN]
Inerzia verticale del contrafforte riferita ad un metro di muro	-0.2086	[kN]

Risultanti

Risultante dei carichi applicati in dir. orizzontale	109.7465	[kN]
Risultante dei carichi applicati in dir. verticale	179.9608	[kN]
Resistenza passiva a valle del muro	-18.2184	[kN]
Sforzo normale sul piano di posa della fondazione	179.9608	[kN]
Sforzo tangenziale sul piano di posa della fondazione	109.7465	[kN]
Eccentricità rispetto al baricentro della fondazione	0.36	[m]
Lunghezza fondazione reagente	2.15	[m]
Risultante in fondazione	210.7846	[kN]
Inclinazione della risultante (rispetto alla normale)	31.38	[°]
Momento rispetto al baricentro della fondazione	64.0896	[kNm]
Carico ultimo della fondazione	201.0742	[kN]

Tensioni sul terreno

Lunghezza fondazione reagente	2.15	[m]
Tensione terreno allo spigolo di valle	0.16689	[MPa]
Tensione terreno allo spigolo di monte	0.00051	[MPa]

Fattori per il calcolo della capacità portante

Coeff. capacità portante	$N_c = 61.35$	$N_q = 48.93$	$N_\gamma = 78.02$
Fattori forma	$s_c = 1.00$	$s_q = 1.00$	$s_\gamma = 1.00$
Fattori inclinazione	$i_c = 0.14$	$i_q = 0.18$	$i_\gamma = 0.07$
Fattori profondità	$d_c = 1.20$	$d_q = 1.14$	$d_\gamma = 1.00$
Fattori inclinazione piano posa	$b_c = 1.00$	$b_q = 1.00$	$b_\gamma = 1.00$
Fattori inclinazione pendio	$g_c = 1.00$	$g_q = 1.00$	$g_\gamma = 1.00$

I coefficienti N' tengono conto dei fattori di forma, profondità, inclinazione carico, inclinazione piano di posa, inclinazione pendio.

$$N'_c = 38.44 \qquad N'_q = 28.99 \qquad N'_\gamma = 29.15$$

COEFFICIENTI DI SICUREZZA

Coefficiente di sicurezza a scorrimento	1.19
Coefficiente di sicurezza a carico ultimo	1.12

Sollecitazioni fondazione di valleCombinazione n° 12

L'ascissa X(espressa in m) è considerata positiva verso monte con origine in corrispondenza dell'estremo libero della fondazione di valle

Momento positivo se tende le fibre inferiori, espresso in kNm

Taglio positivo se diretto verso l'alto, espresso in kN

Nr.	X	M	T
1	0.00	0.0000	0.0000
2	0.05	0.1775	7.0678
3	0.10	0.7036	13.9422
4	0.15	1.5685	20.6231
5	0.20	2.7626	27.1105
6	0.25	4.2763	33.4045
7	0.30	6.0999	39.5050
8	0.35	8.2236	45.4120
9	0.40	10.6378	51.1256
10	0.45	13.3329	56.6458
11	0.50	16.2992	61.9724

Sollecitazioni fondazione di monteCombinazione n° 12

L'ascissa X(espressa in m) è considerata positiva verso valle con origine in corrispondenza dell'estremo libero della fondazione di monte

Momento positivo se tende le fibre inferiori, espresso in kNm

Taglio positivo se diretto verso l'alto, espresso in kN

Nr.	X	M	T
1	0.00	0.0000	0.0000

PV_D_SR_AP_MU_3_C_016-_001_N_001_R_A_0

Muro prefabbricato – MU.3C.016.N – Relazione di Calcolo

2	0.16	-0.7825	-9.7418
3	0.31	-2.9126	-17.4246
4	0.47	-6.0878	-23.2369
5	0.62	-10.0200	-27.1901
6	0.78	-14.4207	-29.2842
7	0.93	-19.0020	-29.5191
8	1.08	-23.4756	-27.8948
9	1.24	-27.5533	-24.4113
10	1.40	-30.9470	-19.0687
11	1.55	-33.3686	-11.8670

Armature e tensioni nei materiali della fondazioneCombinazione n° 12

Simbologia adottata

B	base della sezione espressa in [m]
H	altezza della sezione espressa in [m]
A _{fi}	area di armatura in corrispondenza del lembo inferiore in [mq]
A _{fs}	area di armatura in corrispondenza del lembo superiore in [mq]
N _u	sfuerzo normale ultimo espresso in [kN]
M _u	momento ultimo espresso in [kNm]
CS	coefficiente sicurezza sezione
VRcd	Aliquota di taglio assorbito dal cls, espresso in [kN]
VRsd	Aliquota di taglio assorbito dall'armatura, espresso in [kN]
VRd	Resistenza al taglio, espresso in [kN]

Fondazione di valle

(L'ascissa X, espressa in [m], è positiva verso monte con origine in corrispondenza dell'estremo libero della fondazione di valle)

Nr.	Y	B, H	A _{fs}	A _{fi}	N _u	M _u	CS	V _{Rd}	V _{Rcd}	V _{Rsd}
1	0.00	1.00, 0.500.0007700.000565	0.000565	0.000565	0.00	0.00	1000.00	173.53	--	--
2	0.05	1.00, 0.500.0007700.000565	0.000565	0.000565	0.00	98.56	555.29	173.53	--	--
3	0.10	1.00, 0.500.0007700.000565	0.000565	0.000565	0.00	98.56	140.09	173.53	--	--
4	0.15	1.00, 0.500.0007700.000565	0.000565	0.000565	0.00	98.56	62.84	173.53	--	--
5	0.20	1.00, 0.500.0007700.000565	0.000565	0.000565	0.00	98.56	35.68	173.53	--	--
6	0.25	1.00, 0.500.0007700.000565	0.000565	0.000565	0.00	98.56	23.05	173.53	--	--
7	0.30	1.00, 0.500.0007700.000565	0.000565	0.000565	0.00	98.56	16.16	173.53	--	--
8	0.35	1.00, 0.500.0007700.000565	0.000565	0.000565	0.00	98.56	11.99	173.53	--	--
9	0.40	1.00, 0.500.0007700.000565	0.000565	0.000565	0.00	98.56	9.27	173.53	--	--
10	0.45	1.00, 0.500.0007700.000565	0.000565	0.000565	0.00	98.56	7.39	173.53	--	--
11	0.50	1.00, 0.500.0007700.000565	0.000565	0.000565	0.00	98.56	6.05	173.53	--	--

Fondazione di monte

(L'ascissa X, espressa in [m], è positiva verso valle con origine in corrispondenza dell'estremo libero della fondazione di monte)

Nr.	Y	B, H	A _{fs}	A _{fi}	N _u	M _u	CS	V _{Rd}	V _{Rcd}	V _{Rsd}
1	0.00	1.00, 0.500.0007700.000565	0.000565	0.000565	0.00	0.00	1000.00	173.53	--	--
2	0.16	1.00, 0.500.0007700.000565	0.000565	0.000565	0.00	-133.13	170.15	173.53	--	--
3	0.31	1.00, 0.500.0007700.000565	0.000565	0.000565	0.00	-133.13	45.71	173.53	--	--
4	0.47	1.00, 0.500.0007700.000565	0.000565	0.000565	0.00	-133.13	21.87	173.53	--	--
5	0.62	1.00, 0.500.0007700.000565	0.000565	0.000565	0.00	-133.13	13.29	173.53	--	--
6	0.78	1.00, 0.500.0007700.000565	0.000565	0.000565	0.00	-133.13	9.23	173.53	--	--
7	0.93	1.00, 0.500.0007700.000565	0.000565	0.000565	0.00	-133.13	7.01	173.53	--	--
8	1.08	1.00, 0.500.0007700.000565	0.000565	0.000565	0.00	-133.13	5.67	173.53	--	--
9	1.24	1.00, 0.500.0007700.000565	0.000565	0.000565	0.00	-133.13	4.83	173.53	--	--
10	1.40	1.00, 0.500.0007700.000565	0.000565	0.000565	0.00	-133.13	4.30	173.53	--	--
11	1.55	1.00, 0.500.0007700.000565	0.000565	0.000565	0.00	-133.13	3.99	173.53	--	--

COMBINAZIONE n° 13

Valore della spinta statica	72.4037	[kN]		
Componente orizzontale della spinta statica	61.4481	[kN]		
Componente verticale della spinta statica	38.2940	[kN]		
Punto d'applicazione della spinta	X = 1.55	[m]	Y = -2.24	[m]
Inclinaz. della spinta rispetto alla normale alla superficie	31.93	[°]		
Inclinazione linea di rottura in condizioni statiche	43.32	[°]		

PV_D_SR_AP_MU_3_C_016-_001_N_001_R_A_0

Muro prefabbricato – MU.3C.016.N – Relazione di Calcolo

Incremento sismico della spinta	47.5943	[kN]		
Punto d'applicazione dell'incremento sismico di spinta	X = 1.55	[m]	Y = -2.24	[m]
Inclinazione linea di rottura in condizioni sismiche	38.63	[°]		
Peso terrapieno gravante sulla fondazione a monte	83.4724	[kN]		
Baricentro terrapieno gravante sulla fondazione a monte	X = 0.78	[m]	Y = -1.50	[m]
Numero contrafforti	8			
Peso del singolo contrafforte	4.5000	[kN]		
Peso del contrafforte riferito ad un metro di muro	3.7500	[kN]		
Baricentro contrafforte	X = 0.15	[m]	Y = -1.50	[m]
Inerzia del muro	3.8244	[kN]		
Inerzia verticale del muro	1.9122	[kN]		
Inerzia del terrapieno fondazione di monte	9.2868	[kN]		
Inerzia verticale del terrapieno fondazione di monte	4.6434	[kN]		
Inerzia del singolo contrafforte	0.5007	[kN]		
Inerzia del contrafforte riferita ad un metro di muro	0.4172	[kN]		
Inerzia verticale del singolo contrafforte	0.2503	[kN]		
Inerzia verticale del contrafforte riferita ad un metro di muro	0.2086	[kN]		

Risultanti

Risultante dei carichi applicati in dir. orizzontale	115.9866	[kN]		
Risultante dei carichi applicati in dir. verticale	197.3780	[kN]		
Resistenza passiva a valle del muro	-18.2184	[kN]		
Momento ribaltante rispetto allo spigolo a valle	150.3209	[kNm]		
Momento stabilizzante rispetto allo spigolo a valle	296.9815	[kNm]		
Sforzo normale sul piano di posa della fondazione	197.3780	[kN]		
Sforzo tangenziale sul piano di posa della fondazione	115.9866	[kN]		
Eccentricità rispetto al baricentro della fondazione	0.33	[m]		
Lunghezza fondazione reagente	2.15	[m]		
Risultante in fondazione	228.9344	[kN]		
Inclinazione della risultante (rispetto alla normale)	30.44	[°]		
Momento rispetto al baricentro della fondazione	65.5207	[kNm]		

COEFFICIENTI DI SICUREZZA

Coefficiente di sicurezza a ribaltamento	1.98
<u>COMBINAZIONE n° 14</u>	

Valore della spinta statica	72.4037	[kN]		
Componente orizzontale della spinta statica	61.4481	[kN]		
Componente verticale della spinta statica	38.2940	[kN]		
Punto d'applicazione della spinta	X = 1.55	[m]	Y = -2.24	[m]
Inclinaz. della spinta rispetto alla normale alla superficie	31.93	[°]		
Inclinazione linea di rottura in condizioni statiche	43.32	[°]		
Incremento sismico della spinta	40.2416	[kN]		
Punto d'applicazione dell'incremento sismico di spinta	X = 1.55	[m]	Y = -2.24	[m]
Inclinazione linea di rottura in condizioni sismiche	38.01	[°]		
Peso terrapieno gravante sulla fondazione a monte	83.4724	[kN]		
Baricentro terrapieno gravante sulla fondazione a monte	X = 0.78	[m]	Y = -1.50	[m]
Numero contrafforti	8			
Peso del singolo contrafforte	4.5000	[kN]		
Peso del contrafforte riferito ad un metro di muro	3.7500	[kN]		
Baricentro contrafforte	X = 0.15	[m]	Y = -1.50	[m]
Inerzia del muro	3.8244	[kN]		
Inerzia verticale del muro	-1.9122	[kN]		
Inerzia del terrapieno fondazione di monte	9.2868	[kN]		
Inerzia verticale del terrapieno fondazione di monte	-4.6434	[kN]		
Inerzia del singolo contrafforte	0.5007	[kN]		
Inerzia del contrafforte riferita ad un metro di muro	0.4172	[kN]		
Inerzia verticale del singolo contrafforte	-0.2503	[kN]		

PV_D_SR_AP_MU_3_C_016-_001_N_001_R_A_0

Muro prefabbricato – MU.3C.016.N – Relazione di Calcolo

Inerzia verticale del contrafforte riferita ad un metro di muro -0.2086 [kN]

Risultanti

Risultante dei carichi applicati in dir. orizzontale	109.7465	[kN]
Risultante dei carichi applicati in dir. verticale	179.9608	[kN]
Resistenza passiva a valle del muro	-18.2184	[kN]
Momento ribaltante rispetto allo spigolo a valle	150.8662	[kNm]
Momento stabilizzante rispetto allo spigolo a valle	280.2344	[kNm]
Sforzo normale sul piano di posa della fondazione	179.9608	[kN]
Sforzo tangenziale sul piano di posa della fondazione	109.7465	[kN]
Eccentricità rispetto al baricentro della fondazione	0.36	[m]
Lunghezza fondazione reagente	2.15	[m]
Risultante in fondazione	210.7846	[kN]
Inclinazione della risultante (rispetto alla normale)	31.38	[°]
Momento rispetto al baricentro della fondazione	64.0896	[kNm]

COEFFICIENTI DI SICUREZZA

Coefficiente di sicurezza a ribaltamento 1.86

Stabilità globale muro + terrenoCombinazione n° 15

Le ascisse X sono considerate positive verso monte

Le ordinate Y sono considerate positive verso l'alto

Origine in testa al muro (spigolo contro terra)

W peso della striscia espresso in [kN]
 α angolo fra la base della striscia e l'orizzontale espresso in [°] (positivo antiorario)
 ϕ angolo d'attrito del terreno lungo la base della striscia
c coesione del terreno lungo la base della striscia espressa in [MPa]
b larghezza della striscia espressa in [m]
u pressione neutra lungo la base della striscia espressa in [MPa]

Metodo di Bishop

Numero di cerchi analizzati 36
Numero di strisce 25

Cerchio critico

Coordinate del centro X[m]= 0.00 Y[m]= 2.61

Raggio del cerchio R[m]= 6.31

Ascissa a valle del cerchio Xi[m]= -3.84

Ascissa a monte del cerchio Xs[m]= 6.30

Larghezza della striscia dx[m]= 0.41

Coefficiente di sicurezza C= 1.48

Le strisce sono numerate da monte verso valle

Caratteristiche delle strisce

Striscia	W	$\alpha(^{\circ})$	$W\sin\alpha$	$b/\cos\alpha$	ϕ	c	u
1	1178.72	77.93	1152.66	1.94	32.01	0.000	0.000
2	2046.27	64.76	1850.93	0.95	32.01	0.000	0.000
3	2428.01	57.05	2037.42	0.75	32.01	0.000	0.000
4	2670.59	50.75	2068.02	0.64	32.01	0.000	0.000
5	2830.22	45.22	2008.91	0.58	32.01	0.000	0.000
6	2931.08	40.19	1891.55	0.53	32.01	0.000	0.000
7	2986.37	35.52	1734.85	0.50	32.01	0.000	0.000
8	3004.20	31.10	1551.78	0.47	32.01	0.000	0.000
9	2989.98	26.88	1351.97	0.45	32.01	0.000	0.000
10	2947.46	22.82	1143.05	0.44	32.01	0.000	0.000
11	2879.34	18.87	931.35	0.43	32.01	0.000	0.000
12	2827.29	15.02	732.60	0.42	32.01	0.000	0.000
13	2867.94	11.23	558.62	0.41	32.01	0.000	0.000
14	2915.48	7.50	380.31	0.41	32.01	0.000	0.000
15	2946.15	3.79	194.78	0.41	32.01	0.000	0.000
16	2741.29	0.10	4.88	0.41	32.01	0.000	0.000

PV_D_SR_AP_MU_3_C_016-_001_N_001_R_A_0

Muro prefabbricato – MU.3C.016.N – Relazione di Calcolo

17	1111.70	-3.59	-69.54	0.41	32.01	0.000	0.000
18	948.80	-7.29	-120.39	0.41	32.01	0.000	0.000
19	897.75	-11.02	-171.67	0.41	32.01	0.000	0.000
20	826.56	-14.81	-211.24	0.42	32.01	0.000	0.000
21	733.23	-18.66	-234.56	0.43	32.01	0.000	0.000
22	616.36	-22.60	-236.83	0.44	32.01	0.000	0.000
23	474.01	-26.65	-212.64	0.45	32.01	0.000	0.000
24	303.54	-30.86	-155.71	0.47	32.01	0.000	0.000
25	101.26	-35.27	-58.46	0.50	32.01	0.000	0.000

 $\Sigma W_i = 482.5299$ [kN] $\Sigma W_i \sin \alpha_i = 177.7252$ [kN] $\Sigma W_i \tan \phi_i = 301.5949$ [kN] $\Sigma \tan \alpha_i \tan \phi_i = 7.16$ **Stabilità globale muro + terreno****Combinazione n° 16**

Le ascisse X sono considerate positive verso monte

Le ordinate Y sono considerate positive verso l'alto

Origine in testa al muro (spigolo contro terra)

W peso della striscia espresso in [kN]

 α angolo fra la base della striscia e l'orizzontale espresso in [°] (positivo antiorario) ϕ angolo d'attrito del terreno lungo la base della striscia

c coesione del terreno lungo la base della striscia espressa in [MPa]

b larghezza della striscia espressa in [m]

u pressione neutra lungo la base della striscia espressa in [MPa]

Metodo di Bishop

Numero di cerchi analizzati 36

Numero di strisce 25

Cerchio critico

Coordinate del centro X[m]= 0.00 Y[m]= 2.61

Raggio del cerchio R[m]= 6.31

Ascissa a valle del cerchio Xi[m]= -3.84

Ascissa a monte del cerchio Xs[m]= 6.30

Larghezza della striscia dx[m]= 0.41

Coefficiente di sicurezza C= 1.46

Le strisce sono numerate da monte verso valle

Caratteristiche delle strisce

Striscia	W	α (°)	$W \sin \alpha$	$b / \cos \alpha$	ϕ	c	u
1	1178.72	77.93	1152.66	1.94	32.01	0.000	0.000
2	2046.27	64.76	1850.93	0.95	32.01	0.000	0.000
3	2428.01	57.05	2037.42	0.75	32.01	0.000	0.000
4	2670.59	50.75	2068.02	0.64	32.01	0.000	0.000
5	2830.22	45.22	2008.91	0.58	32.01	0.000	0.000
6	2931.08	40.19	1891.55	0.53	32.01	0.000	0.000
7	2986.37	35.52	1734.85	0.50	32.01	0.000	0.000
8	3004.20	31.10	1551.78	0.47	32.01	0.000	0.000
9	2989.98	26.88	1351.97	0.45	32.01	0.000	0.000
10	2947.46	22.82	1143.05	0.44	32.01	0.000	0.000
11	2879.34	18.87	931.35	0.43	32.01	0.000	0.000
12	2827.29	15.02	732.60	0.42	32.01	0.000	0.000
13	2867.94	11.23	558.62	0.41	32.01	0.000	0.000
14	2915.48	7.50	380.31	0.41	32.01	0.000	0.000
15	2946.15	3.79	194.78	0.41	32.01	0.000	0.000
16	2741.29	0.10	4.88	0.41	32.01	0.000	0.000
17	1111.70	-3.59	-69.54	0.41	32.01	0.000	0.000
18	948.80	-7.29	-120.39	0.41	32.01	0.000	0.000
19	897.75	-11.02	-171.67	0.41	32.01	0.000	0.000
20	826.56	-14.81	-211.24	0.42	32.01	0.000	0.000
21	733.23	-18.66	-234.56	0.43	32.01	0.000	0.000

PV_D_SR_AP_MU_3_C_016-_001_N_001_R_A_0

Muro prefabbricato – MU.3C.016.N – Relazione di Calcolo

22	616.36	-22.60	-236.83	0.44	32.01	0.000	0.000
23	474.01	-26.65	-212.64	0.45	32.01	0.000	0.000
24	303.54	-30.86	-155.71	0.47	32.01	0.000	0.000
25	101.26	-35.27	-58.46	0.50	32.01	0.000	0.000

 $\Sigma W_i = 482.5299$ [kN] $\Sigma W_i \sin \alpha_i = 177.7252$ [kN] $\Sigma W_i \tan \phi_i = 301.5949$ [kN] $\Sigma \tan \alpha_i \tan \phi_i = 7.16$ **Sollecitazioni fondazione di valle**Combinazione n° 17

L'ascissa X (espressa in m) è considerata positiva verso monte con origine in corrispondenza dell'estremo libero della fondazione di valle

Momento positivo se tende le fibre inferiori, espresso in kNm

Taglio positivo se diretto verso l'alto, espresso in kN

Nr.	X	M	T
1	0.00	0.0000	0.0000
2	0.05	0.0853	3.4053
3	0.10	0.3398	6.7655
4	0.15	0.7611	10.0803
5	0.20	1.3471	13.3500
6	0.25	2.0954	16.5744
7	0.30	3.0037	19.7536
8	0.35	4.0700	22.8876
9	0.40	5.2918	25.9764
10	0.45	6.6669	29.0199
11	0.50	8.1930	32.0182

Sollecitazioni fondazione di monteCombinazione n° 17

L'ascissa X (espressa in m) è considerata positiva verso valle con origine in corrispondenza dell'estremo libero della fondazione di monte

Momento positivo se tende le fibre inferiori, espresso in kNm

Taglio positivo se diretto verso l'alto, espresso in kN

Nr.	X	M	T
1	0.00	0.0000	0.0000
2	0.16	-0.1856	-2.2778
3	0.31	-0.6723	-3.9210
4	0.47	-1.3785	-5.1185
5	0.62	-2.2366	-5.8813
6	0.78	-3.1792	-6.2094
7	0.93	-4.1391	-6.1030
8	1.08	-5.0487	-5.5619
9	1.24	-5.8408	-4.5862
10	1.40	-6.4480	-3.1759
11	1.55	-6.8029	-1.3310

Armature e tensioni nei materiali della fondazioneCombinazione n° 17

Simbologia adottata

B base della sezione espressa in [m]

H altezza della sezione espressa in [m]

 A_{fi} area di armatura in corrispondenza del lembo inferiore in [mq] A_{fs} area di armatura in corrispondenza del lembo superiore in [mq] σ_c tensione nel calcestruzzo espressa in [MPa] τ_c tensione tangenziale nel calcestruzzo espressa in [MPa] σ_{fi} tensione nell'armatura disposta in corrispondenza del lembo inferiore in [MPa] σ_{fs} tensione nell'armatura disposta in corrispondenza del lembo superiore in [MPa]Fondazione di valle

(L'ascissa X, espressa in [m], è positiva verso monte con origine in corrispondenza dell'estremo libero della fondazione di valle)

Nr.	X	B, H	A_{fs}	A_{fi}	σ_c	τ_c	σ_{fi}	σ_{fs}
1	0.00	1.00, 0.500	0.0007700	0.000565	0.000	0.000	0.000	0.000
2	0.05	1.00, 0.500	0.0007700	0.000565	0.005	0.009	0.348	-0.032
3	0.10	1.00, 0.500	0.0007700	0.000565	0.018	0.017	1.388	-0.128

PV_D_SR_AP_MU_3_C_016-_001_N_001_R_A_0

Muro prefabbricato – MU.3C.016.N – Relazione di Calcolo

4	0.15	1.00, 0.500.0007700.000565	0.041	0.026	3.109	-0.287
5	0.20	1.00, 0.500.0007700.000565	0.072	0.034	5.502	-0.508
6	0.25	1.00, 0.500.0007700.000565	0.112	0.042	8.558	-0.791
7	0.30	1.00, 0.500.0007700.000565	0.161	0.051	12.268	-1.133
8	0.35	1.00, 0.500.0007700.000565	0.218	0.059	16.623	-1.536
9	0.40	1.00, 0.500.0007700.000565	0.283	0.066	21.614	-1.996
10	0.45	1.00, 0.500.0007700.000565	0.357	0.074	27.230	-2.515
11	0.50	1.00, 0.500.0007700.000565	0.438	0.082	33.463	-3.091

Fondazione di monte

(L'ascissa X, espressa in [m], è positiva verso valle con origine in corrispondenza dell'estremo libero della fondazione di monte)

Nr.	X	B, H	A _{fs}	A _{fi}	σ _c	τ _c	σ _{fi}	σ _{fs}
1	0.00	1.00, 0.500.0007700.000565	0.000	0.000	0.000	0.000	0.000	0.000
2	0.16	1.00, 0.500.0007700.000565	0.009	-0.006	-0.073	0.561		
3	0.31	1.00, 0.500.0007700.000565	0.032	-0.010	-0.263	2.033		
4	0.47	1.00, 0.500.0007700.000565	0.066	-0.013	-0.540	4.169		
5	0.62	1.00, 0.500.0007700.000565	0.107	-0.015	-0.876	6.764		
6	0.78	1.00, 0.500.0007700.000565	0.152	-0.016	-1.245	9.615		
7	0.93	1.00, 0.500.0007700.000565	0.198	-0.016	-1.621	12.517		
8	1.08	1.00, 0.500.0007700.000565	0.241	-0.014	-1.977	15.268		
9	1.24	1.00, 0.500.0007700.000565	0.279	-0.012	-2.287	17.664		
10	1.40	1.00, 0.500.0007700.000565	0.308	-0.008	-2.525	19.500		
11	1.55	1.00, 0.500.0007700.000565	0.325	-0.003	-2.664	20.573		

Verifiche a fessurazioneCombinazione n° 17

L'ordinata Y (espressa in [m]) è considerata positiva verso il basso con origine in testa al muro

A_{fs} area di armatura in corrispondenza del lembo di monte in [mq]

A_{fi} area di armatura in corrispondenza del lembo di valle in [mq]

M_{pf} Momento di prima fessurazione espressa in [kNm]

M Momento agente nella sezione espressa in [kNm]

ε_m deformazione media espressa in [%]

s_m Distanza media tra le fessure espressa in [mm]

w Apertura media della fessura espressa in [mm]

Verifica fessurazione fondazione

N°	Y	A _{fs}	A _{fi}	M _{pf}	M	ε _m	s _m	w
1	-0.60	0.000770	0.000565	-58.79	0.00	0.0000	0.00	0.000
2	-0.55	0.000770	0.000565	58.12	0.09	0.0000	0.00	0.000
3	-0.50	0.000770	0.000565	58.12	0.34	0.0000	0.00	0.000
4	-0.45	0.000770	0.000565	58.12	0.76	0.0000	0.00	0.000
5	-0.40	0.000770	0.000565	58.12	1.35	0.0000	0.00	0.000
6	-0.35	0.000770	0.000565	58.12	2.10	0.0000	0.00	0.000
7	-0.30	0.000770	0.000565	58.12	3.00	0.0000	0.00	0.000
8	-0.25	0.000770	0.000565	58.12	4.07	0.0000	0.00	0.000
9	-0.20	0.000770	0.000565	58.12	5.29	0.0000	0.00	0.000
10	-0.15	0.000770	0.000565	58.12	6.67	0.0000	0.00	0.000
11	-0.10	0.000770	0.000565	58.12	8.19	0.0000	0.00	0.000
12	0.00	0.000770	0.000565	-58.79	-6.80	0.0000	0.00	0.000
13	0.15	0.000770	0.000565	-58.79	-6.45	0.0000	0.00	0.000
14	0.31	0.000770	0.000565	-58.79	-5.84	0.0000	0.00	0.000
15	0.46	0.000770	0.000565	-58.79	-5.05	0.0000	0.00	0.000
16	0.62	0.000770	0.000565	-58.79	-4.14	0.0000	0.00	0.000
17	0.78	0.000770	0.000565	-58.79	-3.18	0.0000	0.00	0.000
18	0.93	0.000770	0.000565	-58.79	-2.24	0.0000	0.00	0.000
19	1.08	0.000770	0.000565	-58.79	-1.38	0.0000	0.00	0.000
20	1.24	0.000770	0.000565	-58.79	-0.67	0.0000	0.00	0.000
21	1.40	0.000770	0.000565	-58.79	-0.19	0.0000	0.00	0.000
22	1.55	0.000770	0.000565	-58.79	0.00	0.0000	0.00	0.000

Sollecitazioni fondazione di valle**Combinazione n° 18**

L'ascissa X(espressa in m) è considerata positiva verso monte con origine in corrispondenza dell'estremo libero della fondazione di valle

Momento positivo se tende le fibre inferiori, espresso in kNm

Taglio positivo se diretto verso l'alto, espresso in kN

Nr.	X	M	T
1	0.00	0.0000	0.0000
2	0.05	0.0853	3.4053
3	0.10	0.3398	6.7655
4	0.15	0.7611	10.0803
5	0.20	1.3471	13.3500
6	0.25	2.0954	16.5744
7	0.30	3.0037	19.7536
8	0.35	4.0700	22.8876
9	0.40	5.2918	25.9764
10	0.45	6.6669	29.0199
11	0.50	8.1930	32.0182

Sollecitazioni fondazione di monte**Combinazione n° 18**

L'ascissa X(espressa in m) è considerata positiva verso valle con origine in corrispondenza dell'estremo libero della fondazione di monte

Momento positivo se tende le fibre inferiori, espresso in kNm

Taglio positivo se diretto verso l'alto, espresso in kN

Nr.	X	M	T
1	0.00	0.0000	0.0000
2	0.16	-0.1856	-2.2778
3	0.31	-0.6723	-3.9210
4	0.47	-1.3785	-5.1185
5	0.62	-2.2366	-5.8813
6	0.78	-3.1792	-6.2094
7	0.93	-4.1391	-6.1030
8	1.08	-5.0487	-5.5619
9	1.24	-5.8408	-4.5862
10	1.40	-6.4480	-3.1759
11	1.55	-6.8029	-1.3310

Armature e tensioni nei materiali della fondazione**Combinazione n° 18**

Simbologia adottata

B base della sezione espressa in [m]

H altezza della sezione espressa in [m]

A_{fi} area di armatura in corrispondenza del lembo inferiore in [mq]

A_{fs} area di armatura in corrispondenza del lembo superiore in [mq]

σ_c tensione nel calcestruzzo espressa in [MPa]

τ_c tensione tangenziale nel calcestruzzo espressa in [MPa]

σ_{fi} tensione nell'armatura disposta in corrispondenza del lembo inferiore in [MPa]

σ_{fs} tensione nell'armatura disposta in corrispondenza del lembo superiore in [MPa]

Fondazione di valle

(L'ascissa X, espressa in [m], è positiva verso monte con origine in corrispondenza dell'estremo libero della fondazione di valle)

Nr.	X	B, H	A _{fs}	A _{fi}	σ _c	τ _c	σ _{fi}	σ _{fs}
1	0.00	1.00, 0.500	0.0007700	0.000565	0.000	0.000	0.000	0.000
2	0.05	1.00, 0.500	0.0007700	0.000565	0.005	0.009	0.348	-0.032
3	0.10	1.00, 0.500	0.0007700	0.000565	0.018	0.017	1.388	-0.128
4	0.15	1.00, 0.500	0.0007700	0.000565	0.041	0.026	3.109	-0.287
5	0.20	1.00, 0.500	0.0007700	0.000565	0.072	0.034	5.502	-0.508
6	0.25	1.00, 0.500	0.0007700	0.000565	0.112	0.042	8.558	-0.791
7	0.30	1.00, 0.500	0.0007700	0.000565	0.161	0.051	12.268	-1.133
8	0.35	1.00, 0.500	0.0007700	0.000565	0.218	0.059	16.623	-1.536
9	0.40	1.00, 0.500	0.0007700	0.000565	0.283	0.066	21.614	-1.996
10	0.45	1.00, 0.500	0.0007700	0.000565	0.357	0.074	27.230	-2.515

PV_D_SR_AP_MU_3_C_016-_001_N_001_R_A_0

Muro prefabbricato – MU.3C.016.N – Relazione di Calcolo

11 0.50 1.00, 0.500.0007700.000565 0.438 0.082 33.463 -3.091

Fondazione di monte

(L'ascissa X, espressa in [m], è positiva verso valle con origine in corrispondenza dell'estremo libero della fondazione di monte)

Nr.	X	B, H	A _{fs}	A _{fi}	σ _c	τ _c	σ _{fi}	σ _{fs}
1	0.00	1.00, 0.500.0007700.000565			0.000	0.000	0.000	0.000
2	0.16	1.00, 0.500.0007700.000565			0.009	-0.006	-0.073	0.561
3	0.31	1.00, 0.500.0007700.000565			0.032	-0.010	-0.263	2.033
4	0.47	1.00, 0.500.0007700.000565			0.066	-0.013	-0.540	4.169
5	0.62	1.00, 0.500.0007700.000565			0.107	-0.015	-0.876	6.764
6	0.78	1.00, 0.500.0007700.000565			0.152	-0.016	-1.245	9.615
7	0.93	1.00, 0.500.0007700.000565			0.198	-0.016	-1.621	12.517
8	1.08	1.00, 0.500.0007700.000565			0.241	-0.014	-1.977	15.268
9	1.24	1.00, 0.500.0007700.000565			0.279	-0.012	-2.287	17.664
10	1.40	1.00, 0.500.0007700.000565			0.308	-0.008	-2.525	19.500
11	1.55	1.00, 0.500.0007700.000565			0.325	-0.003	-2.664	20.573

Verifiche a fessurazioneCombinazione n° 18

L'ordinata Y (espressa in [m]) è considerata positiva verso il basso con origine in testa al muro

A_{fs} area di armatura in corrispondenza del lembo di monte in [mq]A_{fi} area di armatura in corrispondenza del lembo di valle in [mq]M_{pf} Momento di prima fessurazione espressa in [kNm]

M Momento agente nella sezione espressa in [kNm]

ε_m deformazione media espressa in [%]S_m Distanza media tra le fessure espressa in [mm]

w Apertura media della fessura espressa in [mm]

Verifica fessurazione fondazione

N°	Y	A _{fs}	A _{fi}	M _{pf}	M	ε _m	S _m	w
1	-0.60	0.000770	0.000565	-58.79	0.00	0.0000	0.00	0.000
2	-0.55	0.000770	0.000565	58.12	0.09	0.0000	0.00	0.000
3	-0.50	0.000770	0.000565	58.12	0.34	0.0000	0.00	0.000
4	-0.45	0.000770	0.000565	58.12	0.76	0.0000	0.00	0.000
5	-0.40	0.000770	0.000565	58.12	1.35	0.0000	0.00	0.000
6	-0.35	0.000770	0.000565	58.12	2.10	0.0000	0.00	0.000
7	-0.30	0.000770	0.000565	58.12	3.00	0.0000	0.00	0.000
8	-0.25	0.000770	0.000565	58.12	4.07	0.0000	0.00	0.000
9	-0.20	0.000770	0.000565	58.12	5.29	0.0000	0.00	0.000
10	-0.15	0.000770	0.000565	58.12	6.67	0.0000	0.00	0.000
11	-0.10	0.000770	0.000565	58.12	8.19	0.0000	0.00	0.000
12	0.00	0.000770	0.000565	-58.79	-6.80	0.0000	0.00	0.000
13	0.15	0.000770	0.000565	-58.79	-6.45	0.0000	0.00	0.000
14	0.31	0.000770	0.000565	-58.79	-5.84	0.0000	0.00	0.000
15	0.46	0.000770	0.000565	-58.79	-5.05	0.0000	0.00	0.000
16	0.62	0.000770	0.000565	-58.79	-4.14	0.0000	0.00	0.000
17	0.78	0.000770	0.000565	-58.79	-3.18	0.0000	0.00	0.000
18	0.93	0.000770	0.000565	-58.79	-2.24	0.0000	0.00	0.000
19	1.08	0.000770	0.000565	-58.79	-1.38	0.0000	0.00	0.000
20	1.24	0.000770	0.000565	-58.79	-0.67	0.0000	0.00	0.000
21	1.40	0.000770	0.000565	-58.79	-0.19	0.0000	0.00	0.000
22	1.55	0.000770	0.000565	-58.79	0.00	0.0000	0.00	0.000

Sollecitazioni fondazione di valleCombinazione n° 19

L'ascissa X(espressa in m) è considerata positiva verso monte con origine in corrispondenza dell'estremo libero della fondazione di valle

Momento positivo se tende le fibre inferiori, espresso in kNm

Taglio positivo se diretto verso l'alto, espresso in kN

Nr.	X	M	T
1	0.00	0.0000	0.0000
2	0.05	0.0853	3.4053
3	0.10	0.3398	6.7655

PV_D_SR_AP_MU_3_C_016-_001_N_001_R_A_0

Muro prefabbricato – MU.3C.016.N – Relazione di Calcolo

4	0.15	0.7611	10.0803
5	0.20	1.3471	13.3500
6	0.25	2.0954	16.5744
7	0.30	3.0037	19.7536
8	0.35	4.0700	22.8876
9	0.40	5.2918	25.9764
10	0.45	6.6669	29.0199
11	0.50	8.1930	32.0182

Sollecitazioni fondazione di monteCombinazione n° 19

L'ascissa X(espressa in m) è considerata positiva verso valle con origine in corrispondenza dell'estremo libero della fondazione di monte

Momento positivo se tende le fibre inferiori, espresso in kNm

Taglio positivo se diretto verso l'alto, espresso in kN

Nr.	X	M	T
1	0.00	0.0000	0.0000
2	0.16	-0.1856	-2.2778
3	0.31	-0.6723	-3.9210
4	0.47	-1.3785	-5.1185
5	0.62	-2.2366	-5.8813
6	0.78	-3.1792	-6.2094
7	0.93	-4.1391	-6.1030
8	1.08	-5.0487	-5.5619
9	1.24	-5.8408	-4.5862
10	1.40	-6.4480	-3.1759
11	1.55	-6.8029	-1.3310

Armature e tensioni nei materiali della fondazioneCombinazione n° 19

Simbologia adottata

B base della sezione espressa in [m]

H altezza della sezione espressa in [m]

A_{fi} area di armatura in corrispondenza del lembo inferiore in [mq]

A_{fs} area di armatura in corrispondenza del lembo superiore in [mq]

σ_c tensione nel calcestruzzo espressa in [MPa]

τ_c tensione tangenziale nel calcestruzzo espressa in [MPa]

σ_{fi} tensione nell'armatura disposta in corrispondenza del lembo inferiore in [MPa]

σ_{fs} tensione nell'armatura disposta in corrispondenza del lembo superiore in [MPa]

Fondazione di valle

(L'ascissa X, espressa in [m], è positiva verso monte con origine in corrispondenza dell'estremo libero della fondazione di valle)

Nr.	X	B, H	A _{fs}	A _{fi}	σ _c	τ _c	σ _{fi}	σ _{fs}
1	0.00	1.00, 0.500	0.0007700	0.000565	0.000	0.000	0.000	0.000
2	0.05	1.00, 0.500	0.0007700	0.000565	0.005	0.009	0.348	-0.032
3	0.10	1.00, 0.500	0.0007700	0.000565	0.018	0.017	1.388	-0.128
4	0.15	1.00, 0.500	0.0007700	0.000565	0.041	0.026	3.109	-0.287
5	0.20	1.00, 0.500	0.0007700	0.000565	0.072	0.034	5.502	-0.508
6	0.25	1.00, 0.500	0.0007700	0.000565	0.112	0.042	8.558	-0.791
7	0.30	1.00, 0.500	0.0007700	0.000565	0.161	0.051	12.268	-1.133
8	0.35	1.00, 0.500	0.0007700	0.000565	0.218	0.059	16.623	-1.536
9	0.40	1.00, 0.500	0.0007700	0.000565	0.283	0.066	21.614	-1.996
10	0.45	1.00, 0.500	0.0007700	0.000565	0.357	0.074	27.230	-2.515
11	0.50	1.00, 0.500	0.0007700	0.000565	0.438	0.082	33.463	-3.091

Fondazione di monte

(L'ascissa X, espressa in [m], è positiva verso valle con origine in corrispondenza dell'estremo libero della fondazione di monte)

Nr.	X	B, H	A _{fs}	A _{fi}	σ _c	τ _c	σ _{fi}	σ _{fs}
1	0.00	1.00, 0.500	0.0007700	0.000565	0.000	0.000	0.000	0.000
2	0.16	1.00, 0.500	0.0007700	0.000565	0.009	-0.006	-0.073	0.561
3	0.31	1.00, 0.500	0.0007700	0.000565	0.032	-0.010	-0.263	2.033
4	0.47	1.00, 0.500	0.0007700	0.000565	0.066	-0.013	-0.540	4.169

PV_D_SR_AP_MU_3_C_016-_001_N_001_R_A_0

Muro prefabbricato – MU.3C.016.N – Relazione di Calcolo

5	0.62	1.00, 0.500.0007700.000565	0.107	-0.015	-0.876	6.764
6	0.78	1.00, 0.500.0007700.000565	0.152	-0.016	-1.245	9.615
7	0.93	1.00, 0.500.0007700.000565	0.198	-0.016	-1.621	12.517
8	1.08	1.00, 0.500.0007700.000565	0.241	-0.014	-1.977	15.268
9	1.24	1.00, 0.500.0007700.000565	0.279	-0.012	-2.287	17.664
10	1.40	1.00, 0.500.0007700.000565	0.308	-0.008	-2.525	19.500
11	1.55	1.00, 0.500.0007700.000565	0.325	-0.003	-2.664	20.573

Verifiche a fessurazioneCombinazione n° 19

L'ordinata Y (espressa in [m]) è considerata positiva verso il basso con origine in testa al muro

A_{fs} area di armatura in corrispondenza del lembo di monte in [mq]

A_{fi} area di armatura in corrispondenza del lembo di valle in [mq]

M_{pf} Momento di prima fessurazione espressa in [kNm]

M Momento agente nella sezione espressa in [kNm]

ϵ_m deformazione media espressa in [%]

S_m Distanza media tra le fessure espressa in [mm]

w Apertura media della fessura espressa in [mm]

Verifica fessurazione fondazione

N°	Y	A_{fs}	A_{fi}	M_{pf}	M	ϵ_m	S_m	w
1	-0.60	0.000770	0.000565	-58.79	0.00	0.0000	0.00	0.000
2	-0.55	0.000770	0.000565	58.12	0.09	0.0000	0.00	0.000
3	-0.50	0.000770	0.000565	58.12	0.34	0.0000	0.00	0.000
4	-0.45	0.000770	0.000565	58.12	0.76	0.0000	0.00	0.000
5	-0.40	0.000770	0.000565	58.12	1.35	0.0000	0.00	0.000
6	-0.35	0.000770	0.000565	58.12	2.10	0.0000	0.00	0.000
7	-0.30	0.000770	0.000565	58.12	3.00	0.0000	0.00	0.000
8	-0.25	0.000770	0.000565	58.12	4.07	0.0000	0.00	0.000
9	-0.20	0.000770	0.000565	58.12	5.29	0.0000	0.00	0.000
10	-0.15	0.000770	0.000565	58.12	6.67	0.0000	0.00	0.000
11	-0.10	0.000770	0.000565	58.12	8.19	0.0000	0.00	0.000
12	0.00	0.000770	0.000565	-58.79	-6.80	0.0000	0.00	0.000
13	0.15	0.000770	0.000565	-58.79	-6.45	0.0000	0.00	0.000
14	0.31	0.000770	0.000565	-58.79	-5.84	0.0000	0.00	0.000
15	0.46	0.000770	0.000565	-58.79	-5.05	0.0000	0.00	0.000
16	0.62	0.000770	0.000565	-58.79	-4.14	0.0000	0.00	0.000
17	0.78	0.000770	0.000565	-58.79	-3.18	0.0000	0.00	0.000
18	0.93	0.000770	0.000565	-58.79	-2.24	0.0000	0.00	0.000
19	1.08	0.000770	0.000565	-58.79	-1.38	0.0000	0.00	0.000
20	1.24	0.000770	0.000565	-58.79	-0.67	0.0000	0.00	0.000
21	1.40	0.000770	0.000565	-58.79	-0.19	0.0000	0.00	0.000
22	1.55	0.000770	0.000565	-58.79	0.00	0.0000	0.00	0.000

2.1.2. Tipo F3 - Muro tratto F con altezza fuori terra di 4m

Normativa

N.T.C. 2008 - Approccio 1

Simbologia adottata

γ_{Gsfav}	Coefficiente parziale sfavorevole sulle azioni permanenti
γ_{Gfav}	Coefficiente parziale favorevole sulle azioni permanenti
γ_{Qsfav}	Coefficiente parziale sfavorevole sulle azioni variabili
γ_{Qfav}	Coefficiente parziale favorevole sulle azioni variabili
$\gamma_{tan\phi}$	Coefficiente parziale di riduzione dell'angolo di attrito drenato
$\gamma_{c'}$	Coefficiente parziale di riduzione della coesione drenata
γ_{cu}	Coefficiente parziale di riduzione della coesione non drenata
γ_{qu}	Coefficiente parziale di riduzione del carico ultimo
γ_{γ}	Coefficiente parziale di riduzione della resistenza a compressione uniassiale delle rocce

Coefficienti di partecipazione combinazioni statiche

Coefficienti parziali per le azioni o per l'effetto delle azioni:

<i>Carichi</i>	<i>Effetto</i>		A1	A2	EQU	HYD
Permanenti	Favorevole	γ_{Gfav}	1.00	1.00	0.90	0.90
Permanenti	Sfavorevole	γ_{Gsfav}	1.30	1.00	1.10	1.30
Variabili	Favorevole	γ_{Qfav}	0.00	0.00	0.00	0.00
Variabili	Sfavorevole	γ_{Qsfav}	1.50	1.30	1.50	1.50

Coefficienti parziali per i parametri geotecnici del terreno:

<i>Parametri</i>		M1	M2	M2	M1
Tangente dell'angolo di attrito	$\gamma_{tan\phi}$	1.00	1.25	1.25	1.00
Coesione efficace	$\gamma_{c'}$	1.00	1.25	1.25	1.00
Resistenza non drenata	γ_{cu}	1.00	1.40	1.40	1.00
Resistenza a compressione uniassiale	γ_{qu}	1.00	1.60	1.60	1.00
Peso dell'unità di volume	γ_{γ}	1.00	1.00	1.00	1.00

Coefficienti di partecipazione combinazioni sismiche

Coefficienti parziali per le azioni o per l'effetto delle azioni:

<i>Carichi</i>	<i>Effetto</i>		A1	A2	EQU	HYD
Permanenti	Favorevole	γ_{Gfav}	1.00	1.00	1.00	0.90
Permanenti	Sfavorevole	γ_{Gsfav}	1.00	1.00	1.00	1.30
Variabili	Favorevole	γ_{Qfav}	0.00	0.00	0.00	0.00
Variabili	Sfavorevole	γ_{Qsfav}	1.00	1.00	1.00	1.50

Coefficienti parziali per i parametri geotecnici del terreno:

<i>Parametri</i>		M1	M2	M2	M1
Tangente dell'angolo di attrito	$\gamma_{tan\phi}$	1.00	1.25	1.25	1.00
Coesione efficace	$\gamma_{c'}$	1.00	1.25	1.25	1.00
Resistenza non drenata	γ_{cu}	1.00	1.40	1.40	1.00
Resistenza a compressione uniassiale	γ_{qu}	1.00	1.60	1.60	1.00
Peso dell'unità di volume	γ_{γ}	1.00	1.00	1.00	1.00

FONDAZIONE SUPERFICIALE

Coefficienti parziali γ_R per le verifiche agli stati limite ultimi STR e GEO

<i>Verifica</i>	<i>Coefficienti parziali</i>		
	R1	R2	R3
Capacità portante della fondazione	1.00	1.00	1.40
Scorrimento	1.00	1.00	1.10
Resistenza del terreno a valle	1.00	1.00	1.40
Stabilità globale		1.10	

Geometria muro e fondazione

Muro prefabbricato – MU.3C.016.N – Relazione di Calcolo

Descrizione	Muro a mensola in c.a.
Altezza del paramento	4.00 [m]
Spessore in sommità	0.15 [m]
Spessore all'attacco con la fondazione	0.15 [m]
Inclinazione paramento esterno	0.00 [°]
Inclinazione paramento interno	0.00 [°]
Lunghezza del muro	9.60 [m]

Fondazione

Lunghezza mensola fondazione di valle	0.50 [m]
Lunghezza mensola fondazione di monte	2.15 [m]
Lunghezza totale fondazione	2.80 [m]
Inclinazione piano di posa della fondazione	0.00 [°]
Spessore fondazione	0.50 [m]
Spessore magrone	0.10 [m]
<u>Contrafforti prefabbricati</u>	

Altezza contrafforti	4.00 [m]
Spessore contrafforti	0.20 [m]
Larghezza in sommità	0.20 [m]
Larghezza alla base	0.63 [m]
Larghezza elemento	1.20 [m]
Numero contrafforti	8
Posizione :	Monte

Materiali utilizzati per la struttura*Calcestruzzo*

Peso specifico	25.000 [kN/mc]
Classe di Resistenza	C25/30
Resistenza caratteristica a compressione R_{ck}	30.00 [N/mm ²]
Modulo elastico E	31447.048 [N/mm ²]

Acciaio

Tipo	B450C
Tensione di snervamento σ_{fa}	449.94 [N/mm ²]

Geometria profilo terreno a monte del muro*Simbologia adottata e sistema di riferimento*

(Sistema di riferimento con origine in testa al muro, ascissa X positiva verso monte, ordinata Y positiva verso l'alto)

N numero ordine del punto

X ascissa del punto espressa in [m]

Y ordinata del punto espressa in [m]

A inclinazione del tratto espressa in [°]

N	X	Y	A
1	1.35	0.00	0.00
2	9.67	5.00	31.00
3	30.00	5.00	0.00

Terreno a valle del muro

Inclinazione terreno a valle del muro rispetto all'orizzontale	0.00 [°]
Altezza del rinterro rispetto all'attacco fondaz.valle-paramento	0.60 [m]

Descrizione terreni*Simbologia adottata*

Nr.	Indice del terreno
Descrizione	Descrizione terreno
γ	Peso di volume del terreno espresso in [kN/mc]
γ_s	Peso di volume saturo del terreno espresso in [kN/mc]
ϕ	Angolo d'attrito interno espresso in [°]

PV_D_SR_AP_MU_3_C_016-_001_N_001_R_A_0

Muro prefabbricato – MU.3C.016.N – Relazione di Calcolo

δ	Angolo d'attrito terra-muro espresso in [°]
c	Coesione espressa in [N/mm ²]
c_a	Adesione terra-muro espressa in [N/mm ²]

Descrizione	γ	γ_s	ϕ	δ	c	c_a
AL1	18.50	18.50	38.00	25.33	0.0000	0.0000
A1 - Paramento	18.50	18.50	38.00	25.33	0.0000	0.0000
A1 - Fondazione	18.50	18.50	38.00	38.00	0.0000	0.0000

Stratigrafia*Simbologia adottata*

N	Indice dello strato
H	Spessore dello strato espresso in [m]
a	Inclinazione espressa in [°]
Kw	Costante di Winkler orizzontale espressa in Kg/cm ² /cm
Ks	Coefficiente di spinta
Terreno	Terreno dello strato

Nr.	H	a	Kw	Ks	Terreno
1	0.10	0.00	0.00	0.00	AL1
2	20.00	0.00	10.68	0.00	A1 - Fondazione

Terreno di riempimento

A1 - Paramento

Condizioni di carico*Simbologia e convenzioni di segno adottate*

Carichi verticali positivi verso il basso.

Carichi orizzontali positivi verso sinistra.

Momento positivo senso antiorario.

X	Ascissa del punto di applicazione del carico concentrato espressa in [m]
F_x	Componente orizzontale del carico concentrato espressa in [kN]
F_y	Componente verticale del carico concentrato espressa in [kN]
M	Momento espresso in [kNm]
X_i	Ascissa del punto iniziale del carico ripartito espressa in [m]
X_f	Ascissa del punto finale del carico ripartito espressa in [m]
Q_i	Intensità del carico per $x=X_i$ espressa in [kN/m]
Q_f	Intensità del carico per $x=X_f$ espressa in [kN/m]
D / C	Tipo carico : D=distribuito C=concentrato

Condizione n° 1 (Vento)

C	Paramento	X=0.00	Y=0.00	$F_x=3.0000$	$F_y=0.0000$	M=6.0000
---	-----------	--------	--------	--------------	--------------	----------

Descrizione combinazioni di carico*Simbologia adottata*

F/S Effetto dell'azione (FAV: Favorevole, SFAV: Sfavorevole)

 γ Coefficiente di partecipazione della condizione Ψ Coefficiente di combinazione della condizioneCombinazione n° 1 - Caso A1-M1 (STR)

	S/F	γ	Ψ	$\gamma * \Psi$
Peso proprio muro	FAV	1.00	1.00	1.00
Peso proprio terrapieno	FAV	1.00	1.00	1.00
Spinta terreno	SFAV	1.30	1.00	1.30

Combinazione n° 2 - Caso A2-M2 (GEO)

	S/F	γ	Ψ	$\gamma * \Psi$
Peso proprio muro	SFAV	1.00	1.00	1.00
Peso proprio terrapieno	SFAV	1.00	1.00	1.00
Spinta terreno	SFAV	1.00	1.00	1.00

Combinazione n° 3 - Caso EQU (SLU)

	S/F	γ	Ψ	$\gamma * \Psi$
Peso proprio muro	FAV	0.90	1.00	0.90
Peso proprio terrapieno	FAV	0.90	1.00	0.90
Spinta terreno	SFAV	1.10	1.00	1.10

Combinazione n° 4 - Caso A2-M2 (GEO-STAB)

	S/F	γ	Ψ	$\gamma * \Psi$
PV_D_SR_AP_MU_3_C_016-_001_N_001_R_A_0				

Muro prefabbricato – MU.3C.016.N – Relazione di Calcolo

Peso proprio muro	SFAV	1.00	1.00	1.00
Peso proprio terrapieno	SFAV	1.00	1.00	1.00
Spinta terreno	SFAV	1.00	1.00	1.00

Combinazione n° 5 - Caso A1-M1 (STR)

	S/F	γ	Ψ	$\gamma * \Psi$
Peso proprio muro	FAV	1.00	1.00	1.00
Peso proprio terrapieno	FAV	1.00	1.00	1.00
Spinta terreno	SFAV	1.30	1.00	1.30
Vento	SFAV	1.50	1.00	1.50

Combinazione n° 6 - Caso A2-M2 (GEO)

	S/F	γ	Ψ	$\gamma * \Psi$
Peso proprio muro	SFAV	1.00	1.00	1.00
Peso proprio terrapieno	SFAV	1.00	1.00	1.00
Spinta terreno	SFAV	1.00	1.00	1.00
Vento	SFAV	1.30	1.00	1.30

Combinazione n° 7 - Caso EQU (SLU)

	S/F	γ	Ψ	$\gamma * \Psi$
Peso proprio muro	FAV	0.90	1.00	0.90
Peso proprio terrapieno	FAV	0.90	1.00	0.90
Spinta terreno	SFAV	1.10	1.00	1.10
Vento	SFAV	1.50	1.00	1.50

Combinazione n° 8 - Caso A2-M2 (GEO-STAB)

	S/F	γ	Ψ	$\gamma * \Psi$
Peso proprio muro	SFAV	1.00	1.00	1.00
Peso proprio terrapieno	SFAV	1.00	1.00	1.00
Spinta terreno	SFAV	1.00	1.00	1.00
Vento	SFAV	1.30	1.00	1.30

Combinazione n° 9 - Caso A1-M1 (STR) - Sisma Vert. positivo

	S/F	γ	Ψ	$\gamma * \Psi$
Peso proprio muro	SFAV	1.00	1.00	1.00
Peso proprio terrapieno	SFAV	1.00	1.00	1.00
Spinta terreno	SFAV	1.00	1.00	1.00

Combinazione n° 10 - Caso A1-M1 (STR) - Sisma Vert. negativo

	S/F	γ	Ψ	$\gamma * \Psi$
Peso proprio muro	SFAV	1.00	1.00	1.00
Peso proprio terrapieno	SFAV	1.00	1.00	1.00
Spinta terreno	SFAV	1.00	1.00	1.00

Combinazione n° 11 - Caso A2-M2 (GEO) - Sisma Vert. positivo

	S/F	γ	Ψ	$\gamma * \Psi$
Peso proprio muro	SFAV	1.00	1.00	1.00
Peso proprio terrapieno	SFAV	1.00	1.00	1.00
Spinta terreno	SFAV	1.00	1.00	1.00

Combinazione n° 12 - Caso A2-M2 (GEO) - Sisma Vert. negativo

	S/F	γ	Ψ	$\gamma * \Psi$
Peso proprio muro	SFAV	1.00	1.00	1.00
Peso proprio terrapieno	SFAV	1.00	1.00	1.00
Spinta terreno	SFAV	1.00	1.00	1.00

Combinazione n° 13 - Caso EQU (SLU) - Sisma Vert. positivo

	S/F	γ	Ψ	$\gamma * \Psi$
Peso proprio muro	FAV	1.00	1.00	1.00
Peso proprio terrapieno	FAV	1.00	1.00	1.00

PV_D_SR_AP_MU_3_C_016-_001_N_001_R_A_0

Muro prefabbricato – MU.3C.016.N – Relazione di Calcolo

Spinta terreno	SFAV	1.00	1.00	1.00
----------------	------	------	------	------

Combinazione n° 14 - Caso EQU (SLU) - Sisma Vert. negativo

	S/F	γ	Ψ	$\gamma * \Psi$
Peso proprio muro	FAV	1.00	1.00	1.00
Peso proprio terrapieno	FAV	1.00	1.00	1.00
Spinta terreno	SFAV	1.00	1.00	1.00

Combinazione n° 15 - Caso A2-M2 (GEO-STAB) - Sisma Vert. positivo

	S/F	γ	Ψ	$\gamma * \Psi$
Peso proprio muro	SFAV	1.00	1.00	1.00
Peso proprio terrapieno	SFAV	1.00	1.00	1.00
Spinta terreno	SFAV	1.00	1.00	1.00

Combinazione n° 16 - Caso A2-M2 (GEO-STAB) - Sisma Vert. negativo

	S/F	γ	Ψ	$\gamma * \Psi$
Peso proprio muro	SFAV	1.00	1.00	1.00
Peso proprio terrapieno	SFAV	1.00	1.00	1.00
Spinta terreno	SFAV	1.00	1.00	1.00

Combinazione n° 17 - Quasi Permanente (SLE)

	S/F	γ	Ψ	$\gamma * \Psi$
Peso proprio muro	--	1.00	1.00	1.00
Peso proprio terrapieno	--	1.00	1.00	1.00
Spinta terreno	--	1.00	1.00	1.00
Vento	SFAV	1.00	1.00	1.00

Combinazione n° 18 - Frequente (SLE)

	S/F	γ	Ψ	$\gamma * \Psi$
Peso proprio muro	--	1.00	1.00	1.00
Peso proprio terrapieno	--	1.00	1.00	1.00
Spinta terreno	--	1.00	1.00	1.00
Vento	SFAV	1.00	1.00	1.00

Combinazione n° 19 - Rara (SLE)

	S/F	γ	Ψ	$\gamma * \Psi$
Peso proprio muro	--	1.00	1.00	1.00
Peso proprio terrapieno	--	1.00	1.00	1.00
Spinta terreno	--	1.00	1.00	1.00
Vento	SFAV	1.00	1.00	1.00

Impostazioni di analisi

Metodo verifica sezioni

Stato limite**Impostazioni verifiche SLU**Coefficienti parziali per resistenze di calcolo dei materiali

Coefficiente di sicurezza calcestruzzo a compressione	1.60
Coefficiente di sicurezza calcestruzzo a trazione	1.60
Coefficiente di sicurezza acciaio	1.15
Fattore riduzione da resistenza cubica a cilindrica	0.83
Fattore di riduzione per carichi di lungo periodo	0.85
Coefficiente di sicurezza per la sezione	1.00

Impostazioni verifiche SLE

Condizioni ambientali Ordinarie

Armatura ad aderenza migliorata

Verifica fessurazione

Sensibilità delle armature Sensibile

Valori limite delle aperture delle fessure $w_1 = 0.20$

PV_D_SR_AP_MU_3_C_016-_001_N_001_R_A_0

Muro prefabbricato – MU.3C.016.N – Relazione di Calcolo

$w_2 = 0.30$

$w_3 = 0.40$

Circ. Min. 252 (15/10/1996)

Metodo di calcolo aperture delle fessure

Verifica delle tensioni

Combinazione di carico

Rara $\sigma_c < 0.60 f_{ck}$ - $\sigma_f < 0.80 f_{yk}$ Quasi permanente $\sigma_c < 0.45 f_{ck}$ Calcolo della portanza metodo di VesicCoefficiente correttivo su N_γ per effetti cinematici (combinazioni sismiche SLU): 1.00Coefficiente correttivo su N_γ per effetti cinematici (combinazioni sismiche SLE): 1.00**Impostazioni avanzate**

Componente verticale della spinta nel calcolo delle sollecitazioni

Influenza del terreno sulla fondazione di valle nelle verifiche e nel calcolo delle sollecitazioni

Diagramma correttivo per eccentricità negativa con aliquota di parzializzazione pari a 0.00

Quadro riassuntivo coeff. di sicurezza calcolatiSimbologia adottata

<i>C</i>	Identificativo della combinazione
<i>Tipo</i>	Tipo combinazione
<i>Sisma</i>	Combinazione sismica
<i>CS_{SCO}</i>	Coeff. di sicurezza allo scorrimento
<i>CS_{RIB}</i>	Coeff. di sicurezza al ribaltamento
<i>CS_{OLIM}</i>	Coeff. di sicurezza a carico limite
<i>CS_{STAB}</i>	Coeff. di sicurezza a stabilità globale

C	Tipo	Sisma	CS_{SCO}	CS_{RIB}	CS_{qlim}	CS_{stab}
1	A1-M1 - [1]	--	2.73	--	11.42	--
2	A2-M2 - [1]	--	1.84	--	3.61	--
3	EQU - [1]	--	--	2.44	--	--
4	STAB - [1]	--	--	--	--	1.62
5	A1-M1 - [2]	--	2.60	--	10.01	--
6	A2-M2 - [2]	--	1.77	--	3.17	--
7	EQU - [2]	--	--	2.14	--	--
8	STAB - [2]	--	--	--	--	1.62
9	A1-M1 - [3]	Orizzontale + Verticale positivo	1.96	--	5.67	--
10	A1-M1 - [3]	Orizzontale + Verticale negativo	1.89	--	5.62	--
11	A2-M2 - [3]	Orizzontale + Verticale positivo	1.20	--	1.07	--
12	A2-M2 - [3]	Orizzontale + Verticale negativo	1.17	--	1.02	--
13	EQU - [3]	Orizzontale + Verticale positivo	--	1.88	--	--
14	EQU - [3]	Orizzontale + Verticale negativo	--	1.77	--	--
15	STAB - [3]	Orizzontale + Verticale positivo	--	--	--	1.37
16	STAB - [3]	Orizzontale + Verticale negativo	--	--	--	1.34
17	SLEQ - [1]	--	3.22	--	13.84	--
18	SLEF - [1]	--	3.22	--	13.84	--
19	SLER - [1]	--	3.22	--	13.84	--

Analisi della spinta e verifiche

Sistema di riferimento adottato per le coordinate :

Origine in testa al muro (spigolo di monte)

Ascisse X (espresse in [m]) positive verso monte

Ordinate Y (espresse in [m]) positive verso l'alto

Le forze orizzontali sono considerate positive se agenti da monte verso valle

Le forze verticali sono considerate positive se agenti dall'alto verso il basso

Calcolo riferito ad 1 metro di muro

Tipo di analisi

Calcolo della spinta

metodo di Culmann

Calcolo del carico limite

metodo di Vesic

Calcolo della stabilità globale

metodo di Bishop

Calcolo della spinta in condizioni di

Spinta attiva

Sisma

PV_D_SR_AP_MU_3_C_016-_001_N_001_R_A_0

Combinazioni SLU

Accelerazione al suolo a_g	3.28 [m/s ²]
Coefficiente di amplificazione per tipo di sottosuolo (S)	1.07
Coefficiente di amplificazione topografica (St)	1.00
Coefficiente riduzione (β_m)	0.31
Rapporto intensità sismica verticale/orizzontale	0.50
Coefficiente di intensità sismica orizzontale (percento)	$k_h=(a_g/g*\beta_m*St*S) = 11.13$
Coefficiente di intensità sismica verticale (percento)	$k_v=0.50 * k_h = 5.56$

Combinazioni SLE

Accelerazione al suolo a_g	1.27 [m/s ²]
Coefficiente di amplificazione per tipo di sottosuolo (S)	1.20
Coefficiente di amplificazione topografica (St)	1.00
Coefficiente riduzione (β_m)	0.24
Rapporto intensità sismica verticale/orizzontale	0.50
Coefficiente di intensità sismica orizzontale (percento)	$k_h=(a_g/g*\beta_m*St*S) = 3.74$
Coefficiente di intensità sismica verticale (percento)	$k_v=0.50 * k_h = 1.87$

Forma diagramma incremento sismico	Stessa forma diagramma statico
Partecipazione spinta passiva (percento)	50.0
Lunghezza del muro	9.60 [m]
Peso muro	50.0000 [kN]
Baricentro del muro	X=0.50 Y=-3.58

Superficie di spinta

Punto inferiore superficie di spinta	X = 2.15	Y = -4.50
Punto superiore superficie di spinta	X = 2.15	Y = 0.48
Altezza della superficie di spinta	4.98 [m]	
Inclinazione superficie di spinta (rispetto alla verticale)	0.00 [°]	

COMBINAZIONE n° 1**Peso muro favorevole e Peso terrapieno favorevole**

Valore della spinta statica	116.6495 [kN]		
Componente orizzontale della spinta statica	92.1990 [kN]		
Componente verticale della spinta statica	71.4594 [kN]		
Punto d'applicazione della spinta	X = 2.15 [m]	Y = -2.83 [m]	
Inclinaz. della spinta rispetto alla normale alla superficie	37.78 [°]		
Inclinazione linea di rottura in condizioni statiche	50.47 [°]		
Peso terrapieno gravante sulla fondazione a monte	157.5394 [kN]		
Baricentro terrapieno gravante sulla fondazione a monte	X = 1.09 [m]	Y = -1.95 [m]	
Numero contrafforti	8		
Peso del singolo contrafforte	8.3000 [kN]		
Peso del contrafforte riferito ad un metro di muro	6.9167 [kN]		
Baricentro contrafforte	X = 0.23 [m]	Y = -2.35 [m]	

Risultanti

Risultante dei carichi applicati in dir. orizzontale	92.1990 [kN]
Risultante dei carichi applicati in dir. verticale	291.4655 [kN]
Resistenza passiva a valle del muro	-23.5252 [kN]
Sforzo normale sul piano di posa della fondazione	291.4655 [kN]
Sforzo tangenziale sul piano di posa della fondazione	92.1990 [kN]
Eccentricità rispetto al baricentro della fondazione	0.08 [m]
Lunghezza fondazione reagente	2.80 [m]
Risultante in fondazione	305.7005 [kN]
Inclinazione della risultante (rispetto alla normale)	17.55 [°]
Momento rispetto al baricentro della fondazione	22.0912 [kNm]
Carico ultimo della fondazione	3328.5839 [kN]

Muro prefabbricato – MU.3C.016.N – Relazione di CalcoloTensioni sul terreno

Lunghezza fondazione reagente	2.80	[m]
Tensione terreno allo spigolo di valle	0.12100	[N/mm ²]
Tensione terreno allo spigolo di monte	0.08719	[N/mm ²]

Fattori per il calcolo della capacità portante

Coeff. capacità portante	$N_c = 61.35$	$N_q = 48.93$	$N_\gamma = 78.02$
Fattori forma	$s_c = 1.00$	$s_q = 1.00$	$s_\gamma = 1.00$
Fattori inclinazione	$i_c = 0.50$	$i_q = 0.51$	$i_\gamma = 0.35$
Fattori profondità	$d_c = 1.16$	$d_q = 1.09$	$d_\gamma = 1.00$
Fattori inclinazione piano posa	$b_c = 1.00$	$b_q = 1.00$	$b_\gamma = 1.00$
Fattori inclinazione pendio	$g_c = 1.00$	$g_q = 1.00$	$g_\gamma = 1.00$

I coefficienti N' tengono conto dei fattori di forma, profondità, inclinazione carico, inclinazione piano di posa, inclinazione pendio.

$N'_c = 35.43$	$N'_q = 27.18$	$N'_\gamma = 27.17$
----------------	----------------	---------------------

COEFFICIENTI DI SICUREZZA

Coefficiente di sicurezza a scorrimento	2.73
Coefficiente di sicurezza a carico ultimo	11.42

Sollecitazioni fondazione di valleCombinazione n° 1

L'ascissa X(espressa in m) è considerata positiva verso monte con origine in corrispondenza dell'estremo libero della fondazione di valle

Momento positivo se tende le fibre inferiori, espresso in kNm

Taglio positivo se diretto verso l'alto, espresso in kN

Nr.	X	M	T
1	0.00	0.0000	0.0000
2	0.05	0.1173	4.6885
3	0.10	0.4683	9.3468
4	0.15	1.0515	13.9748
5	0.20	1.8653	18.5727
6	0.25	2.9083	23.1405
7	0.30	4.1789	27.6780
8	0.35	5.6756	32.1853
9	0.40	7.3969	36.6624
10	0.45	9.3413	41.1094
11	0.50	11.5073	45.5261

Sollecitazioni fondazione di monteCombinazione n° 1

L'ascissa X(espressa in m) è considerata positiva verso valle con origine in corrispondenza dell'estremo libero della fondazione di monte

Momento positivo se tende le fibre inferiori, espresso in kNm

Taglio positivo se diretto verso l'alto, espresso in kN

Nr.	X	M	T
1	0.00	0.0000	0.0000
2	0.21	-0.7205	-6.4978
3	0.43	-2.7062	-11.7693
4	0.65	-5.6934	-15.8145
5	0.86	-9.4190	-18.6593
6	1.07	-13.6679	-20.7724
7	1.29	-18.3111	-22.3272
8	1.50	-23.2286	-23.3238
9	1.72	-28.3004	-23.7622
10	1.93	-33.4063	-23.6424
11	2.15	-38.4266	-22.9643

Armature e tensioni nei materiali della fondazioneCombinazione n° 1

Simbologia adottata

B	base della sezione espressa in [m]
H	altezza della sezione espressa in [m]
A_{fi}	area di armatura in corrispondenza del lembo inferiore in [mq]
A_{fs}	area di armatura in corrispondenza del lembo superiore in [mq]
N_u	sfuerzo normale ultimo espresso in [kN]
M_u	momento ultimo espresso in [kNm]
CS	coefficiente sicurezza sezione

PV_D_SR_AP_MU_3_C_016-_001_N_001_R_A_0

Muro prefabbricato – MU.3C.016.N – Relazione di Calcolo

VRcd Aliquota di taglio assorbito dal cls, espresso in [kN]
 VRsd Aliquota di taglio assorbito dall'armatura, espresso in [kN]
 VRd Resistenza al taglio, espresso in [kN]

Fondazione di valle

(L'ascissa X, espressa in [m], è positiva verso monte con origine in corrispondenza dell'estremo libero della fondazione di valle)

Nr.	Y	B, H	A _{fs}	A _{fi}	N _u	M _u	CS	V _{Rd}	V _{Rcd}	V _{Rsd}
1	0.00	1.00, 0.500	0.0000000	0.000565	0.00	0.00	1000.00	173.53	--	--
2	0.05	1.00, 0.500	0.0000000	0.000565	0.00	98.61	840.39	173.53	--	--
3	0.10	1.00, 0.500	0.0010050	0.000565	0.00	98.55	210.43	173.53	--	--
4	0.15	1.00, 0.500	0.0010050	0.000565	0.00	98.55	93.73	173.53	--	--
5	0.20	1.00, 0.500	0.0010050	0.000565	0.00	98.55	52.84	173.53	--	--
6	0.25	1.00, 0.500	0.0010050	0.000565	0.00	98.55	33.89	173.53	--	--
7	0.30	1.00, 0.500	0.0010050	0.000565	0.00	98.55	23.58	173.53	--	--
8	0.35	1.00, 0.500	0.0010050	0.000565	0.00	98.55	17.36	173.53	--	--
9	0.40	1.00, 0.500	0.0010050	0.000565	0.00	98.55	13.32	173.53	--	--
10	0.45	1.00, 0.500	0.0010050	0.000565	0.00	98.55	10.55	173.53	--	--
11	0.50	1.00, 0.500	0.0010050	0.000565	0.00	98.55	8.56	173.53	--	--

Fondazione di monte

(L'ascissa X, espressa in [m], è positiva verso valle con origine in corrispondenza dell'estremo libero della fondazione di monte)

Nr.	Y	B, H	A _{fs}	A _{fi}	N _u	M _u	CS	V _{Rd}	V _{Rcd}	V _{Rsd}
1	0.00	1.00, 0.500	0.0000000	0.000565	0.00	0.00	1000.00	173.53	--	--
2	0.21	1.00, 0.500	0.0010050	0.000565	0.00	-172.73	239.74	173.53	--	--
3	0.43	1.00, 0.500	0.0010050	0.000565	0.00	-172.73	63.83	173.53	--	--
4	0.65	1.00, 0.500	0.0010050	0.000565	0.00	-172.73	30.34	173.53	--	--
5	0.86	1.00, 0.500	0.0010050	0.000565	0.00	-172.73	18.34	173.53	--	--
6	1.07	1.00, 0.500	0.0010050	0.000565	0.00	-172.73	12.64	173.53	--	--
7	1.29	1.00, 0.500	0.0010050	0.000565	0.00	-172.73	9.43	173.53	--	--
8	1.50	1.00, 0.500	0.0010050	0.000565	0.00	-172.73	7.44	173.53	--	--
9	1.72	1.00, 0.500	0.0010050	0.000565	0.00	-172.73	6.10	173.53	--	--
10	1.93	1.00, 0.500	0.0010050	0.000565	0.00	-172.73	5.17	173.53	--	--
11	2.15	1.00, 0.500	0.0010050	0.000565	0.00	-172.73	4.50	173.53	--	--

COMBINAZIONE n° 2

Valore della spinta statica	126.1612	[kN]								
Componente orizzontale della spinta statica	107.2533	[kN]								
Componente verticale della spinta statica	66.4333	[kN]								
Punto d'applicazione della spinta	X = 2.15	[m]	Y = -2.73	[m]						
Inclinaz. della spinta rispetto alla normale alla superficie	31.77	[°]								
Inclinazione linea di rottura in condizioni statiche	46.51	[°]								

Peso terrapieno gravante sulla fondazione a monte	157.5394	[kN]								
Baricentro terrapieno gravante sulla fondazione a monte	X = 1.09	[m]	Y = -1.95	[m]						
Numero contrafforti	8									
Peso del singolo contrafforte	8.3000	[kN]								
Peso del contrafforte riferito ad un metro di muro	6.9167	[kN]								
Baricentro contrafforte	X = 0.23	[m]	Y = -2.35	[m]						

Risultanti

Risultante dei carichi applicati in dir. orizzontale	107.2533	[kN]								
Risultante dei carichi applicati in dir. verticale	286.4393	[kN]								
Resistenza passiva a valle del muro	-18.2184	[kN]								
Sforzo normale sul piano di posa della fondazione	286.4393	[kN]								
Sforzo tangenziale sul piano di posa della fondazione	107.2533	[kN]								
Eccentricità rispetto al baricentro della fondazione	0.23	[m]								
Lunghezza fondazione reagente	2.80	[m]								
Risultante in fondazione	305.8607	[kN]								
Inclinazione della risultante (rispetto alla normale)	20.53	[°]								
Momento rispetto al baricentro della fondazione	65.2553	[kNm]								

PV_D_SR_AP_MU_3_C_016-_001_N_001_R_A_0

Muro prefabbricato – MU.3C.016.N – Relazione di Calcolo

Carico ultimo della fondazione 1033.4370 [kN]

Tensioni sul terreno

Lunghezza fondazione reagente 2.80 [m]
 Tensione terreno allo spigolo di valle 0.15224 [N/mm²]
 Tensione terreno allo spigolo di monte 0.05236 [N/mm²]

Fattori per il calcolo della capacità portante

Coeff. capacità portante	$N_c = 61.35$	$N_q = 48.93$	$N_\gamma = 78.02$
Fattori forma	$s_c = 1.00$	$s_q = 1.00$	$s_\gamma = 1.00$
Fattori inclinazione	$i_c = 0.41$	$i_q = 0.44$	$i_\gamma = 0.27$
Fattori profondità	$d_c = 1.16$	$d_q = 1.11$	$d_\gamma = 1.00$
Fattori inclinazione piano posa	$b_c = 1.00$	$b_q = 1.00$	$b_\gamma = 1.00$
Fattori inclinazione pendio	$g_c = 1.00$	$g_q = 1.00$	$g_\gamma = 1.00$

I coefficienti N' tengono conto dei fattori di forma, profondità, inclinazione carico, inclinazione piano di posa, inclinazione pendio.

$N'_c = 35.43$	$N'_q = 27.18$	$N'_\gamma = 27.17$
----------------	----------------	---------------------

COEFFICIENTI DI SICUREZZA

Coefficiente di sicurezza a scorrimento 1.84
 Coefficiente di sicurezza a carico ultimo 3.61

Sollecitazioni fondazione di valleCombinazione n° 2

L'ascissa X(espressa in m) è considerata positiva verso monte con origine in corrispondenza dell'estremo libero della fondazione di valle

Momento positivo se tende le fibre inferiori, espresso in kNm

Taglio positivo se diretto verso l'alto, espresso in kN

Nr.	X	M	T
1	0.00	0.0000	0.0000
2	0.05	0.1601	6.3874
3	0.10	0.6373	12.6856
4	0.15	1.4271	18.8947
5	0.20	2.5252	25.0146
6	0.25	3.9271	31.0453
7	0.30	5.6283	36.9868
8	0.35	7.6243	42.8391
9	0.40	9.9107	48.6023
10	0.45	12.4830	54.2763
11	0.50	15.3368	59.8611

Sollecitazioni fondazione di monteCombinazione n° 2

L'ascissa X(espressa in m) è considerata positiva verso valle con origine in corrispondenza dell'estremo libero della fondazione di monte

Momento positivo se tende le fibre inferiori, espresso in kNm

Taglio positivo se diretto verso l'alto, espresso in kN

Nr.	X	M	T
1	0.00	0.0000	0.0000
2	0.21	-0.9171	-8.1711
3	0.43	-3.3585	-14.1793
4	0.65	-6.8592	-18.0246
5	0.86	-10.9545	-19.7272
6	1.07	-15.2168	-19.6473
7	1.29	-19.2847	-17.9184
8	1.50	-22.8036	-14.5406
9	1.72	-25.4190	-9.5139
10	1.93	-26.7764	-2.8383
11	2.15	-26.5213	5.4862

Armature e tensioni nei materiali della fondazioneCombinazione n° 2

Simbologia adottata

B base della sezione espressa in [m]
 H altezza della sezione espressa in [m]
 A_{fi} area di armatura in corrispondenza del lembo inferiore in [mq]
 A_{fs} area di armatura in corrispondenza del lembo superiore in [mq]
 N_u sforzo normale ultimo espresso in [kN]

PV_D_SR_AP_MU_3_C_016-_001_N_001_R_A_0

Muro prefabbricato – MU.3C.016.N – Relazione di Calcolo

M_u momento ultimo espresso in [kNm]
 CS coefficiente sicurezza sezione
 V_{Rcd} Aliquota di taglio assorbito dal cls, espresso in [kN]
 V_{Rsd} Aliquota di taglio assorbito dall'armatura, espresso in [kN]
 V_{Rd} Resistenza al taglio, espresso in [kN]

Fondazione di valle

(L'ascissa X, espressa in [m], è positiva verso monte con origine in corrispondenza dell'estremo libero della fondazione di valle)

Nr.	Y	B, H	A_{fs}	A_{fi}	N_u	M_u	CS	V_{Rd}	V_{Rcd}	V_{Rsd}
1	0.00	1.00, 0.500	0.000000	0.000565	0.00	0.00	1000.00	173.53	--	--
2	0.05	1.00, 0.500	0.000000	0.000565	0.00	98.61	616.09	173.53	--	--
3	0.10	1.00, 0.500	0.001005	0.000565	0.00	98.55	154.65	173.53	--	--
4	0.15	1.00, 0.500	0.001005	0.000565	0.00	98.55	69.06	173.53	--	--
5	0.20	1.00, 0.500	0.001005	0.000565	0.00	98.55	39.03	173.53	--	--
6	0.25	1.00, 0.500	0.001005	0.000565	0.00	98.55	25.10	173.53	--	--
7	0.30	1.00, 0.500	0.001005	0.000565	0.00	98.55	17.51	173.53	--	--
8	0.35	1.00, 0.500	0.001005	0.000565	0.00	98.55	12.93	173.53	--	--
9	0.40	1.00, 0.500	0.001005	0.000565	0.00	98.55	9.94	173.53	--	--
10	0.45	1.00, 0.500	0.001005	0.000565	0.00	98.55	7.90	173.53	--	--
11	0.50	1.00, 0.500	0.001005	0.000565	0.00	98.55	6.43	173.53	--	--

Fondazione di monte

(L'ascissa X, espressa in [m], è positiva verso valle con origine in corrispondenza dell'estremo libero della fondazione di monte)

Nr.	Y	B, H	A_{fs}	A_{fi}	N_u	M_u	CS	V_{Rd}	V_{Rcd}	V_{Rsd}
1	0.00	1.00, 0.500	0.000000	0.000565	0.00	0.00	1000.00	173.53	--	--
2	0.21	1.00, 0.500	0.001005	0.000565	0.00	-172.73	188.34	173.53	--	--
3	0.43	1.00, 0.500	0.001005	0.000565	0.00	-172.73	51.43	173.53	--	--
4	0.65	1.00, 0.500	0.001005	0.000565	0.00	-172.73	25.18	173.53	--	--
5	0.86	1.00, 0.500	0.001005	0.000565	0.00	-172.73	15.77	173.53	--	--
6	1.07	1.00, 0.500	0.001005	0.000565	0.00	-172.73	11.35	173.53	--	--
7	1.29	1.00, 0.500	0.001005	0.000565	0.00	-172.73	8.96	173.53	--	--
8	1.50	1.00, 0.500	0.001005	0.000565	0.00	-172.73	7.57	173.53	--	--
9	1.72	1.00, 0.500	0.001005	0.000565	0.00	-172.73	6.80	173.53	--	--
10	1.93	1.00, 0.500	0.001005	0.000565	0.00	-172.73	6.45	173.53	--	--
11	2.15	1.00, 0.500	0.001005	0.000565	0.00	-172.73	6.51	173.53	--	--

COMBINAZIONE n° 3

Valore della spinta statica	138.7773	[kN]		
Componente orizzontale della spinta statica	117.9786	[kN]		
Componente verticale della spinta statica	73.0766	[kN]		
Punto d'applicazione della spinta	X = 2.15	[m]	Y = -2.73	[m]
Inclinaz. della spinta rispetto alla normale alla superficie	31.77	[°]		
Inclinazione linea di rottura in condizioni statiche	46.51	[°]		
Peso terrapieno gravante sulla fondazione a monte	141.7854	[kN]		
Baricentro terrapieno gravante sulla fondazione a monte	X = 1.09	[m]	Y = -1.95	[m]
Numero contrafforti	8			
Peso del singolo contrafforte	7.4700	[kN]		
Peso del contrafforte riferito ad un metro di muro	6.2250	[kN]		
Baricentro contrafforte	X = 0.23	[m]	Y = -2.35	[m]

Risultanti

Risultante dei carichi applicati in dir. orizzontale	117.9786	[kN]
Risultante dei carichi applicati in dir. verticale	271.0820	[kN]
Resistenza passiva a valle del muro	-16.3966	[kN]
Momento ribaltante rispetto allo spigolo a valle	208.8527	[kNm]
Momento stabilizzante rispetto allo spigolo a valle	510.2659	[kNm]
Sforzo normale sul piano di posa della fondazione	271.0820	[kN]
Sforzo tangenziale sul piano di posa della fondazione	117.9786	[kN]
Eccentricità rispetto al baricentro della fondazione	0.29	[m]
PV_D_SR_AP_MU_3_C_016-_001_N_001_R_A_0		

Muro prefabbricato – MU.3C.016.N – Relazione di Calcolo

Lunghezza fondazione reagente	2.80	[m]
Risultante in fondazione	295.6424	[kN]
Inclinazione della risultante (rispetto alla normale)	23.52	[°]
Momento rispetto al baricentro della fondazione	78.1017	[kNm]

COEFFICIENTI DI SICUREZZA

Coefficiente di sicurezza a ribaltamento 2.44

Stabilità globale muro + terrenoCombinazione n° 4

Le ascisse X sono considerate positive verso monte

Le ordinate Y sono considerate positive verso l'alto

Origine in testa al muro (spigolo contro terra)

W peso della striscia espresso in [kN]

 α angolo fra la base della striscia e l'orizzontale espresso in [°] (positivo antiorario) ϕ angolo d'attrito del terreno lungo la base della strisciac coesione del terreno lungo la base della striscia espressa in [N/mm²]

b larghezza della striscia espressa in [m]

u pressione neutra lungo la base della striscia espressa in [N/mm²]

Metodo di Bishop

Numero di cerchi analizzati 36

Numero di strisce 25

Cerchio critico

Coordinate del centro X[m]= 0.00 Y[m]= 3.41

Raggio del cerchio R[m]= 8.20

Ascissa a valle del cerchio Xi[m]= -4.58

Ascissa a monte del cerchio Xs[m]= 8.18

Larghezza della striscia dx[m]= 0.51

Coefficiente di sicurezza C= 1.62

Le strisce sono numerate da monte verso valle

Caratteristiche delle strisce

Striscia	W	α (°)	Wsin α	b/cos α	ϕ	c	u
1	2190.16	77.64	2139.38	2.38	32.01	0.000	0.000
2	3543.37	65.05	3212.67	1.21	32.01	0.000	0.000
3	4161.49	57.50	3509.70	0.95	32.01	0.000	0.000
4	4558.57	51.32	3558.83	0.82	32.01	0.000	0.000
5	4823.67	45.91	3464.35	0.73	32.01	0.000	0.000
6	4995.30	40.98	3275.91	0.68	32.01	0.000	0.000
7	5094.53	36.40	3023.32	0.63	32.01	0.000	0.000
8	5134.37	32.08	2726.96	0.60	32.01	0.000	0.000
9	5123.48	27.96	2401.95	0.58	32.01	0.000	0.000
10	5067.92	23.99	2060.19	0.56	32.01	0.000	0.000
11	4972.06	20.13	1711.53	0.54	32.01	0.000	0.000
12	4870.54	16.38	1373.24	0.53	32.01	0.000	0.000
13	4840.50	12.69	1063.32	0.52	32.01	0.000	0.000
14	4696.16	9.06	739.17	0.52	32.01	0.000	0.000
15	4737.24	5.46	450.64	0.51	32.01	0.000	0.000
16	4768.78	1.88	156.68	0.51	32.01	0.000	0.000
17	2947.13	-1.69	-86.69	0.51	32.01	0.000	0.000
18	1348.94	-5.26	-123.68	0.51	32.01	0.000	0.000
19	1237.08	-8.86	-190.46	0.52	32.01	0.000	0.000
20	1144.43	-12.49	-247.46	0.52	32.01	0.000	0.000
21	1018.83	-16.17	-283.75	0.53	32.01	0.000	0.000
22	858.59	-19.92	-292.60	0.54	32.01	0.000	0.000
23	661.41	-23.77	-266.60	0.56	32.01	0.000	0.000
24	424.14	-27.73	-197.38	0.58	32.01	0.000	0.000
25	142.47	-31.85	-75.18	0.60	32.01	0.000	0.000

 $\Sigma W_i = 817.5067$ [kN] $\Sigma W_i \sin \alpha_i = 324.6452$ [kN]

PV_D_SR_AP_MU_3_C_016-_001_N_001_R_A_0

Muro prefabbricato – MU.3C.016.N – Relazione di Calcolo

$\Sigma W_i \tan \phi_i = 510.9650 \text{ [kN]}$

$\Sigma \tan \alpha_i \tan \phi_i = 7.63$

COMBINAZIONE n° 5**Peso muro favorevole e Peso terrapieno favorevole**

Valore della spinta statica	116.6495	[kN]		
Componente orizzontale della spinta statica	92.1990	[kN]		
Componente verticale della spinta statica	71.4594	[kN]		
Punto d'applicazione della spinta	X = 2.15	[m]	Y = -2.83	[m]
Inclinaz. della spinta rispetto alla normale alla superficie	37.78	[°]		
Inclinazione linea di rottura in condizioni statiche	50.47	[°]		
Peso terrapieno gravante sulla fondazione a monte	157.5394	[kN]		
Baricentro terrapieno gravante sulla fondazione a monte	X = 1.09	[m]	Y = -1.95	[m]
Numero contrafforti	8			
Peso del singolo contrafforte	8.3000	[kN]		
Peso del contrafforte riferito ad un metro di muro	6.9167	[kN]		
Baricentro contrafforte	X = 0.23	[m]	Y = -2.35	[m]

Risultanti carichi esterni

Componente dir. X	4.50	[kN]
-------------------	------	------

Risultanti

Risultante dei carichi applicati in dir. orizzontale	96.6990	[kN]
Risultante dei carichi applicati in dir. verticale	291.4655	[kN]
Resistenza passiva a valle del muro	-23.5252	[kN]
Sforzo normale sul piano di posa della fondazione	291.4655	[kN]
Sforzo tangenziale sul piano di posa della fondazione	96.6990	[kN]
Eccentricità rispetto al baricentro della fondazione	0.18	[m]
Lunghezza fondazione reagente	2.80	[m]
Risultante in fondazione	307.0876	[kN]
Inclinazione della risultante (rispetto alla normale)	18.35	[°]
Momento rispetto al baricentro della fondazione	51.3412	[kNm]
Carico ultimo della fondazione	2916.7987	[kN]

Tensioni sul terreno

Lunghezza fondazione reagente	2.80	[m]
Tensione terreno allo spigolo di valle	0.14339	[N/mm ²]
Tensione terreno allo spigolo di monte	0.06480	[N/mm ²]

Fattori per il calcolo della capacità portante

Coeff. capacità portante	$N_c = 61.35$	$N_q = 48.93$	$N_\gamma = 78.02$
Fattori forma	$s_c = 1.00$	$s_q = 1.00$	$s_\gamma = 1.00$
Fattori inclinazione	$i_c = 0.48$	$i_q = 0.49$	$i_\gamma = 0.33$
Fattori profondità	$d_c = 1.16$	$d_q = 1.09$	$d_\gamma = 1.00$
Fattori inclinazione piano posa	$b_c = 1.00$	$b_q = 1.00$	$b_\gamma = 1.00$
Fattori inclinazione pendio	$g_c = 1.00$	$g_q = 1.00$	$g_\gamma = 1.00$

I coefficienti N' tengono conto dei fattori di forma, profondità, inclinazione carico, inclinazione piano di posa, inclinazione pendio.

$$N'_c = 35.43 \qquad N'_q = 27.18 \qquad N'_\gamma = 27.17$$

COEFFICIENTI DI SICUREZZA

Coefficiente di sicurezza a scorrimento	2.60
Coefficiente di sicurezza a carico ultimo	10.01

Sollecitazioni fondazione di valleCombinazione n° 5

L'ascissa X (espressa in m) è considerata positiva verso monte con origine in corrispondenza dell'estremo libero della fondazione di valle

Momento positivo se tende le fibre inferiori, espresso in kNm

Taglio positivo se diretto verso l'alto, espresso in kN

Nr.	X	M	T
1	0.00	0.0000	0.0000
2	0.05	0.1450	5.7877

PV_D_SR_AP_MU_3_C_016-_001_N_001_R_A_0

Muro prefabbricato – MU.3C.016.N – Relazione di Calcolo

3	0.10	0.5776	11.5053
4	0.15	1.2943	17.1527
5	0.20	2.2917	22.7300
6	0.25	3.5662	28.2371
7	0.30	5.1142	33.6740
8	0.35	6.9324	39.0408
9	0.40	9.0172	44.3374
10	0.45	11.3650	49.5638
11	0.50	13.9724	54.7201

Sollecitazioni fondazione di monteCombinazione n° 5

L'ascissa X (espressa in m) è considerata positiva verso valle con origine in corrispondenza dell'estremo libero della fondazione di monte

Momento positivo se tende le fibre inferiori, espresso in kNm

Taglio positivo se diretto verso l'alto, espresso in kN

Nr.	X	M	T
1	0.00	0.0000	0.0000
2	0.21	-1.2114	-10.9411
3	0.43	-4.5638	-19.9167
4	0.65	-9.6347	-26.9269
5	0.86	-16.0020	-31.9977
6	1.07	-23.2918	-35.5976
7	1.29	-31.2160	-37.9001
8	1.50	-39.4958	-38.9053
9	1.72	-47.8523	-38.6132
10	1.93	-56.0065	-37.0237
11	2.15	-63.6795	-34.1369

Armature e tensioni nei materiali della fondazioneCombinazione n° 5

Simbologia adottata

B	base della sezione espressa in [m]
H	altezza della sezione espressa in [m]
A _{fi}	area di armatura in corrispondenza del lembo inferiore in [mq]
A _{fs}	area di armatura in corrispondenza del lembo superiore in [mq]
N _u	sforzo normale ultimo espresso in [kN]
M _u	momento ultimo espresso in [kNm]
CS	coefficiente sicurezza sezione
V _{Rcd}	Aliquota di taglio assorbito dal cls, espresso in [kN]
V _{Rsd}	Aliquota di taglio assorbito dall'armatura, espresso in [kN]
V _{Rd}	Resistenza al taglio, espresso in [kN]

Fondazione di valle

(L'ascissa X, espressa in [m], è positiva verso monte con origine in corrispondenza dell'estremo libero della fondazione di valle)

Nr.	Y	B, H	A _{fs}	A _{fi}	N _u	M _u	CS	V _{Rd}	V _{Rcd}	V _{Rsd}
1	0.00	1.00, 0.500	0.000000	0.000565	0.00	0.00	1000.00	173.53	--	--
2	0.05	1.00, 0.500	0.000000	0.000565	0.00	98.61	680.13	173.53	--	--
3	0.10	1.00, 0.500	0.001005	0.000565	0.00	98.55	170.63	173.53	--	--
4	0.15	1.00, 0.500	0.001005	0.000565	0.00	98.55	76.14	173.53	--	--
5	0.20	1.00, 0.500	0.001005	0.000565	0.00	98.55	43.00	173.53	--	--
6	0.25	1.00, 0.500	0.001005	0.000565	0.00	98.55	27.64	173.53	--	--
7	0.30	1.00, 0.500	0.001005	0.000565	0.00	98.55	19.27	173.53	--	--
8	0.35	1.00, 0.500	0.001005	0.000565	0.00	98.55	14.22	173.53	--	--
9	0.40	1.00, 0.500	0.001005	0.000565	0.00	98.55	10.93	173.53	--	--
10	0.45	1.00, 0.500	0.001005	0.000565	0.00	98.55	8.67	173.53	--	--
11	0.50	1.00, 0.500	0.001005	0.000565	0.00	98.55	7.05	173.53	--	--

Fondazione di monte

(L'ascissa X, espressa in [m], è positiva verso valle con origine in corrispondenza dell'estremo libero della fondazione di monte)

Nr.	Y	B, H	A _{fs}	A _{fi}	N _u	M _u	CS	V _{Rd}	V _{Rcd}	V _{Rsd}
1	0.00	1.00, 0.500	0.000000	0.000565	0.00	0.00	1000.00	173.53	--	--
2	0.21	1.00, 0.500	0.001005	0.000565	0.00	-172.73	142.59	173.53	--	--
3	0.43	1.00, 0.500	0.001005	0.000565	0.00	-172.73	37.85	173.53	--	--

PV_D_SR_AP_MU_3_C_016-_001_N_001_R_A_0

Muro prefabbricato – MU.3C.016.N – Relazione di Calcolo

4	0.65	1.00, 0.500.0010050.000565	0.00	-172.73	17.93	173.53	--	--
5	0.86	1.00, 0.500.0010050.000565	0.00	-172.73	10.79	173.53	--	--
6	1.07	1.00, 0.500.0010050.000565	0.00	-172.73	7.42	173.53	--	--
7	1.29	1.00, 0.500.0010050.000565	0.00	-172.73	5.53	173.53	--	--
8	1.50	1.00, 0.500.0010050.000565	0.00	-172.73	4.37	173.53	--	--
9	1.72	1.00, 0.500.0010050.000565	0.00	-172.73	3.61	173.53	--	--
10	1.93	1.00, 0.500.0010050.000565	0.00	-172.73	3.08	173.53	--	--
11	2.15	1.00, 0.500.0010050.000565	0.00	-172.73	2.71	173.53	--	--

COMBINAZIONE n° 6

Valore della spinta statica	126.1612	[kN]						
Componente orizzontale della spinta statica	107.2533	[kN]						
Componente verticale della spinta statica	66.4333	[kN]						
Punto d'applicazione della spinta	X = 2.15	[m]				Y = -2.73	[m]	
Inclinaz. della spinta rispetto alla normale alla superficie	31.77	[°]						
Inclinazione linea di rottura in condizioni statiche	46.51	[°]						
Peso terrapieno gravante sulla fondazione a monte	157.5394	[kN]						
Baricentro terrapieno gravante sulla fondazione a monte	X = 1.09	[m]				Y = -1.95	[m]	
Numero contrafforti	8							
Peso del singolo contrafforte	8.3000	[kN]						
Peso del contrafforte riferito ad un metro di muro	6.9167	[kN]						
Baricentro contrafforte	X = 0.23	[m]				Y = -2.35	[m]	

Risultanti carichi esterni

Componente dir. X	3.90	[kN]
-------------------	------	------

Risultanti

Risultante dei carichi applicati in dir. orizzontale	111.1533	[kN]
Risultante dei carichi applicati in dir. verticale	286.4393	[kN]
Resistenza passiva a valle del muro	-18.2184	[kN]
Sforzo normale sul piano di posa della fondazione	286.4393	[kN]
Sforzo tangenziale sul piano di posa della fondazione	111.1533	[kN]
Eccentricità rispetto al baricentro della fondazione	0.32	[m]
Lunghezza fondazione reagente	2.80	[m]
Risultante in fondazione	307.2499	[kN]
Inclinazione della risultante (rispetto alla normale)	21.21	[°]
Momento rispetto al baricentro della fondazione	90.6053	[kNm]
Carico ultimo della fondazione	909.1580	[kN]

Tensioni sul terreno

Lunghezza fondazione reagente	2.80	[m]
Tensione terreno allo spigolo di valle	0.17164	[N/mm ²]
Tensione terreno allo spigolo di monte	0.03296	[N/mm ²]

Fattori per il calcolo della capacità portante

Coeff. capacità portante	$N_c = 61.35$	$N_q = 48.93$	$N_\gamma = 78.02$
Fattori forma	$s_c = 1.00$	$s_q = 1.00$	$s_\gamma = 1.00$
Fattori inclinazione	$i_c = 0.39$	$i_q = 0.42$	$i_\gamma = 0.26$
Fattori profondità	$d_c = 1.16$	$d_q = 1.11$	$d_\gamma = 1.00$
Fattori inclinazione piano posa	$b_c = 1.00$	$b_q = 1.00$	$b_\gamma = 1.00$
Fattori inclinazione pendio	$g_c = 1.00$	$g_q = 1.00$	$g_\gamma = 1.00$

I coefficienti N' tengono conto dei fattori di forma, profondità, inclinazione carico, inclinazione piano di posa, inclinazione pendio.

$$N'_c = 35.43 \quad N'_q = 27.18 \quad N'_\gamma = 27.17$$

COEFFICIENTI DI SICUREZZA

Coefficiente di sicurezza a scorrimento	1.77
Coefficiente di sicurezza a carico ultimo	3.17

Sollecitazioni fondazione di valleCombinazione n° 6

L'ascissa X(espressa in m) è considerata positiva verso monte con origine in corrispondenza dell'estremo libero della fondazione di valle

PV_D_SR_AP_MU_3_C_016-_001_N_001_R_A_0

Muro prefabbricato – MU.3C.016.N – Relazione di Calcolo

Momento positivo se tende le fibre inferiori, espresso in kNm

Taglio positivo se diretto verso l'alto, espresso in kN

Nr.	X	M	T
1	0.00	0.0000	0.0000
2	0.05	0.1840	7.3401
3	0.10	0.7319	14.5564
4	0.15	1.6376	21.6489
5	0.20	2.8948	28.6175
6	0.25	4.4973	35.4624
7	0.30	6.4389	42.1834
8	0.35	8.7136	48.7805
9	0.40	11.3149	55.2539
10	0.45	14.2369	61.6034
11	0.50	17.4732	67.8291

Sollecitazioni fondazione di monteCombinazione n° 6

L'ascissa X(espressa in m) è considerata positiva verso valle con origine in corrispondenza dell'estremo libero della fondazione di monte

Momento positivo se tende le fibre inferiori, espresso in kNm

Taglio positivo se diretto verso l'alto, espresso in kN

Nr.	X	M	T
1	0.00	0.0000	0.0000
2	0.21	-1.3426	-12.0219
3	0.43	-4.9685	-21.2404
4	0.65	-10.2750	-27.6554
5	0.86	-16.6598	-31.2871
6	1.07	-23.5575	-32.4958
7	1.29	-30.4689	-31.4149
8	1.50	-36.9018	-28.0446
9	1.72	-42.3640	-22.3848
10	1.93	-46.3632	-14.4355
11	2.15	-48.4072	-4.1967

Armature e tensioni nei materiali della fondazioneCombinazione n° 6

Simbologia adottata

B	base della sezione espressa in [m]
H	altezza della sezione espressa in [m]
A _{fi}	area di armatura in corrispondenza del lembo inferiore in [mq]
A _{fs}	area di armatura in corrispondenza del lembo superiore in [mq]
N _u	sforzo normale ultimo espresso in [kN]
M _u	momento ultimo espresso in [kNm]
CS	coefficiente sicurezza sezione
VR _{cd}	Aliquota di taglio assorbito dal cls, espresso in [kN]
VR _{sd}	Aliquota di taglio assorbito dall'armatura, espresso in [kN]
VR _d	Resistenza al taglio, espresso in [kN]

Fondazione di valle

(L'ascissa X, espressa in [m], è positiva verso monte con origine in corrispondenza dell'estremo libero della fondazione di valle)

Nr.	Y	B, H	A _{fs}	A _{fi}	N _u	M _u	CS	V _{Rd}	V _{Rcd}	V _{Rsd}
1	0.00	1.00, 0.500	0.0000000	0.000565	0.00	0.00	1000.00	173.53	--	--
2	0.05	1.00, 0.500	0.0000000	0.000565	0.00	98.61	535.86	173.53	--	--
3	0.10	1.00, 0.500	0.0010050	0.000565	0.00	98.55	134.65	173.53	--	--
4	0.15	1.00, 0.500	0.0010050	0.000565	0.00	98.55	60.18	173.53	--	--
5	0.20	1.00, 0.500	0.0010050	0.000565	0.00	98.55	34.05	173.53	--	--
6	0.25	1.00, 0.500	0.0010050	0.000565	0.00	98.55	21.91	173.53	--	--
7	0.30	1.00, 0.500	0.0010050	0.000565	0.00	98.55	15.31	173.53	--	--
8	0.35	1.00, 0.500	0.0010050	0.000565	0.00	98.55	11.31	173.53	--	--
9	0.40	1.00, 0.500	0.0010050	0.000565	0.00	98.55	8.71	173.53	--	--
10	0.45	1.00, 0.500	0.0010050	0.000565	0.00	98.55	6.92	173.53	--	--
11	0.50	1.00, 0.500	0.0010050	0.000565	0.00	98.55	5.64	173.53	--	--

Fondazione di monte

(L'ascissa X, espressa in [m], è positiva verso valle con origine in corrispondenza dell'estremo libero della fondazione di monte)

PV_D_SR_AP_MU_3_C_016-_001_N_001_R_A_0

Muro prefabbricato – MU.3C.016.N – Relazione di Calcolo

Nr.	Y	B, H	A _{fs}	A _{fi}	N _u	M _u	CS	V _{Rd}	V _{Rcd}	V _{Rsd}
1	0.00	1.00, 0.500	0.000000	0.000565	0.00	0.00	1000.00	173.53	--	--
2	0.21	1.00, 0.500	0.010050	0.000565	0.00	-172.73	128.66	173.53	--	--
3	0.43	1.00, 0.500	0.010050	0.000565	0.00	-172.73	34.76	173.53	--	--
4	0.65	1.00, 0.500	0.010050	0.000565	0.00	-172.73	16.81	173.53	--	--
5	0.86	1.00, 0.500	0.010050	0.000565	0.00	-172.73	10.37	173.53	--	--
6	1.07	1.00, 0.500	0.010050	0.000565	0.00	-172.73	7.33	173.53	--	--
7	1.29	1.00, 0.500	0.010050	0.000565	0.00	-172.73	5.67	173.53	--	--
8	1.50	1.00, 0.500	0.010050	0.000565	0.00	-172.73	4.68	173.53	--	--
9	1.72	1.00, 0.500	0.010050	0.000565	0.00	-172.73	4.08	173.53	--	--
10	1.93	1.00, 0.500	0.010050	0.000565	0.00	-172.73	3.73	173.53	--	--
11	2.15	1.00, 0.500	0.010050	0.000565	0.00	-172.73	3.57	173.53	--	--

COMBINAZIONE n° 7

Valore della spinta statica	138.7773	[kN]		
Componente orizzontale della spinta statica	117.9786	[kN]		
Componente verticale della spinta statica	73.0766	[kN]		
Punto d'applicazione della spinta	X = 2.15	[m]	Y = -2.73	[m]
Inclinaz. della spinta rispetto alla normale alla superficie	31.77	[°]		
Inclinazione linea di rottura in condizioni statiche	46.51	[°]		

Peso terrapieno gravante sulla fondazione a monte	141.7854	[kN]		
Baricentro terrapieno gravante sulla fondazione a monte	X = 1.09	[m]	Y = -1.95	[m]
Numero contrafforti	8			
Peso del singolo contrafforte	7.4700	[kN]		
Peso del contrafforte riferito ad un metro di muro	6.2250	[kN]		
Baricentro contrafforte	X = 0.23	[m]	Y = -2.35	[m]

Risultanti carichi esterni

Componente dir. X	4.50	[kN]		
-------------------	------	------	--	--

Risultanti

Risultante dei carichi applicati in dir. orizzontale	122.4786	[kN]		
Risultante dei carichi applicati in dir. verticale	271.0820	[kN]		
Resistenza passiva a valle del muro	-16.3966	[kN]		
Momento ribaltante rispetto allo spigolo a valle	238.1027	[kNm]		
Momento stabilizzante rispetto allo spigolo a valle	510.2659	[kNm]		
Sforzo normale sul piano di posa della fondazione	271.0820	[kN]		
Sforzo tangenziale sul piano di posa della fondazione	122.4786	[kN]		
Eccentricità rispetto al baricentro della fondazione	0.40	[m]		
Lunghezza fondazione reagente	2.80	[m]		
Risultante in fondazione	297.4668	[kN]		
Inclinazione della risultante (rispetto alla normale)	24.31	[°]		
Momento rispetto al baricentro della fondazione	107.3517	[kNm]		

COEFFICIENTI DI SICUREZZA

Coefficiente di sicurezza a ribaltamento	2.14			
--	------	--	--	--

Stabilità globale muro + terrenoCombinazione n° 8

Le ascisse X sono considerate positive verso monte

Le ordinate Y sono considerate positive verso l'alto

Origine in testa al muro (spigolo contro terra)

W	peso della striscia espresso in [kN]
α	angolo fra la base della striscia e l'orizzontale espresso in [°] (positivo antiorario)
ϕ	angolo d'attrito del terreno lungo la base della striscia
c	coesione del terreno lungo la base della striscia espressa in [N/mm ²]
b	larghezza della striscia espressa in [m]
u	pressione neutra lungo la base della striscia espressa in [N/mm ²]

Metodo di Bishop

Numero di cerchi analizzati 36

PV_D_SR_AP_MU_3_C_016-_001_N_001_R_A_0

Muro prefabbricato – MU.3C.016.N – Relazione di Calcolo

Numero di strisce 25

Cerchio critico

Coordinate del centro X[m]= 0.00 Y[m]= 3.41

Raggio del cerchio R[m]= 8.20

Ascissa a valle del cerchio Xi[m]= -4.58

Ascissa a monte del cerchio Xs[m]= 8.18

Larghezza della striscia dx[m]= 0.51

Coefficiente di sicurezza C= 1.62

Le strisce sono numerate da monte verso valle

Caratteristiche delle strisce

Striscia	W	$\alpha(^{\circ})$	$W\sin\alpha$	$b/\cos\alpha$	ϕ	c	u
1	2190.16	77.64	2139.38	2.38	32.01	0.000	0.000
2	3543.37	65.05	3212.67	1.21	32.01	0.000	0.000
3	4161.49	57.50	3509.70	0.95	32.01	0.000	0.000
4	4558.57	51.32	3558.83	0.82	32.01	0.000	0.000
5	4823.67	45.91	3464.35	0.73	32.01	0.000	0.000
6	4995.30	40.98	3275.91	0.68	32.01	0.000	0.000
7	5094.53	36.40	3023.32	0.63	32.01	0.000	0.000
8	5134.37	32.08	2726.96	0.60	32.01	0.000	0.000
9	5123.48	27.96	2401.95	0.58	32.01	0.000	0.000
10	5067.92	23.99	2060.19	0.56	32.01	0.000	0.000
11	4972.06	20.13	1711.53	0.54	32.01	0.000	0.000
12	4870.54	16.38	1373.24	0.53	32.01	0.000	0.000
13	4840.50	12.69	1063.32	0.52	32.01	0.000	0.000
14	4696.16	9.06	739.17	0.52	32.01	0.000	0.000
15	4737.24	5.46	450.64	0.51	32.01	0.000	0.000
16	4768.78	1.88	156.68	0.51	32.01	0.000	0.000
17	2947.13	-1.69	-86.69	0.51	32.01	0.000	0.000
18	1348.94	-5.26	-123.68	0.51	32.01	0.000	0.000
19	1237.08	-8.86	-190.46	0.52	32.01	0.000	0.000
20	1144.43	-12.49	-247.46	0.52	32.01	0.000	0.000
21	1018.83	-16.17	-283.75	0.53	32.01	0.000	0.000
22	858.59	-19.92	-292.60	0.54	32.01	0.000	0.000
23	661.41	-23.77	-266.60	0.56	32.01	0.000	0.000
24	424.14	-27.73	-197.38	0.58	32.01	0.000	0.000
25	142.47	-31.85	-75.18	0.60	32.01	0.000	0.000

 $\Sigma W_i = 817.5067$ [kN] $\Sigma W_i \sin\alpha_i = 324.6452$ [kN] $\Sigma W_i \tan\phi_i = 510.9650$ [kN] $\Sigma \tan\alpha_i \tan\phi_i = 7.63$ COMBINAZIONE n° 9

Valore della spinta statica	89.7304	[kN]		
Componente orizzontale della spinta statica	70.9223	[kN]		
Componente verticale della spinta statica	54.9688	[kN]		
Punto d'applicazione della spinta	X = 2.15	[m]	Y = -2.83	[m]
Inclinaz. della spinta rispetto alla normale alla superficie	37.78	[°]		
Inclinazione linea di rottura in condizioni statiche	50.47	[°]		
Incremento sismico della spinta	56.9059	[kN]		
Punto d'applicazione dell'incremento sismico di spinta	X = 2.15	[m]	Y = -2.83	[m]
Inclinazione linea di rottura in condizioni sismiche	45.84	[°]		
Peso terrapieno gravante sulla fondazione a monte	157.5394	[kN]		
Baricentro terrapieno gravante sulla fondazione a monte	X = 1.09	[m]	Y = -1.95	[m]
Numero contrafforti	8			
Peso del singolo contrafforte	8.3000	[kN]		

PV_D_SR_AP_MU_3_C_016-_001_N_001_R_A_0

Muro prefabbricato – MU.3C.016.N – Relazione di Calcolo

Peso del contrafforte riferito ad un metro di muro	6.9167	[kN]	
Baricentro contrafforte	X = 0.23	[m]	Y = -2.35 [m]
Inerzia del muro	5.5628	[kN]	
Inerzia verticale del muro	2.7814	[kN]	
Inerzia del terrapieno fondazione di monte	17.5272	[kN]	
Inerzia verticale del terrapieno fondazione di monte	8.7636	[kN]	
Inerzia del singolo contrafforte	0.9234	[kN]	
Inerzia del contrafforte riferita ad un metro di muro	0.7695	[kN]	
Inerzia verticale del singolo contrafforte	0.4617	[kN]	
Inerzia verticale del contrafforte riferita ad un metro di muro	0.3848	[kN]	

Risultanti

Risultante dei carichi applicati in dir. orizzontale	140.3773	[kN]
Risultante dei carichi applicati in dir. verticale	321.7651	[kN]
Resistenza passiva a valle del muro	-23.5252	[kN]
Sforzo normale sul piano di posa della fondazione	321.7651	[kN]
Sforzo tangenziale sul piano di posa della fondazione	140.3773	[kN]
Eccentricità rispetto al baricentro della fondazione	0.27	[m]
Lunghezza fondazione reagente	2.80	[m]
Risultante in fondazione	351.0535	[kN]
Inclinazione della risultante (rispetto alla normale)	23.57	[°]
Momento rispetto al baricentro della fondazione	85.7251	[kNm]
Carico ultimo della fondazione	1824.8007	[kN]

Tensioni sul terreno

Lunghezza fondazione reagente	2.80	[m]
Tensione terreno allo spigolo di valle	0.18052	[N/mm ²]
Tensione terreno allo spigolo di monte	0.04931	[N/mm ²]

Fattori per il calcolo della capacità portante

Coeff. capacità portante	$N_c = 61.35$	$N_q = 48.93$	$N_\gamma = 78.02$
Fattori forma	$s_c = 1.00$	$s_q = 1.00$	$s_\gamma = 1.00$
Fattori inclinazione	$i_c = 0.35$	$i_q = 0.36$	$i_\gamma = 0.20$
Fattori profondità	$d_c = 1.16$	$d_q = 1.09$	$d_\gamma = 1.00$
Fattori inclinazione piano posa	$b_c = 1.00$	$b_q = 1.00$	$b_\gamma = 1.00$
Fattori inclinazione pendio	$g_c = 1.00$	$g_q = 1.00$	$g_\gamma = 1.00$

I coefficienti N' tengono conto dei fattori di forma, profondità, inclinazione carico, inclinazione piano di posa, inclinazione pendio.

$$N'_c = 35.43 \quad N'_q = 27.18 \quad N'_\gamma = 27.17$$

COEFFICIENTI DI SICUREZZA

Coefficiente di sicurezza a scorrimento	1.96
Coefficiente di sicurezza a carico ultimo	5.67

Sollecitazioni fondazione di valleCombinazione n° 9

L'ascissa X(espressa in m) è considerata positiva verso monte con origine in corrispondenza dell'estremo libero della fondazione di valle

Momento positivo se tende le fibre inferiori, espresso in kNm

Taglio positivo se diretto verso l'alto, espresso in kN

Nr.	X	M	T
1	0.00	0.0000	0.0000
2	0.05	0.1952	7.7875
3	0.10	0.7768	15.4579
4	0.15	1.7390	23.0111
5	0.20	3.0760	30.4472
6	0.25	4.7818	37.7661
7	0.30	6.8506	44.9679
8	0.35	9.2766	52.0525
9	0.40	12.0539	59.0199
10	0.45	15.1766	65.8702
11	0.50	18.6390	72.6033

Sollecitazioni fondazione di monteCombinazione n° 9

PV_D_SR_AP_MU_3_C_016-_001_N_001_R_A_0

Muro prefabbricato – MU.3C.016.N – Relazione di Calcolo

L'ascissa X(espressa in m) è considerata positiva verso valle con origine in corrispondenza dell'estremo libero della fondazione di monte

Momento positivo se tende le fibre inferiori, espresso in kNm

Taglio positivo se diretto verso l'alto, espresso in kN

Nr.	X	M	T
1	0.00	0.0000	0.0000
2	0.21	-0.9691	-8.5680
3	0.43	-3.4922	-14.4560
4	0.65	-6.9931	-17.6638
5	0.86	-10.8960	-18.2116
6	1.07	-14.6619	-16.4597
7	1.29	-17.8184	-12.5416
8	1.50	-19.8996	-6.4573
9	1.72	-20.4398	1.7931
10	1.93	-18.9733	12.2098
11	2.15	-15.0343	24.7925

Armature e tensioni nei materiali della fondazioneCombinazione n° 9

Simbologia adottata

B	base della sezione espressa in [m]
H	altezza della sezione espressa in [m]
A _{fi}	area di armatura in corrispondenza del lembo inferiore in [mq]
A _{fs}	area di armatura in corrispondenza del lembo superiore in [mq]
N _u	sforzo normale ultimo espresso in [kN]
M _u	momento ultimo espresso in [kNm]
CS	coefficiente sicurezza sezione
V _{Rcd}	Aliquota di taglio assorbito dal cls, espresso in [kN]
V _{Rsd}	Aliquota di taglio assorbito dall'armatura, espresso in [kN]
V _{Rd}	Resistenza al taglio, espresso in [kN]

Fondazione di valle

(L'ascissa X, espressa in [m], è positiva verso monte con origine in corrispondenza dell'estremo libero della fondazione di valle)

Nr.	Y	B, H	A _{fs}	A _{fi}	N _u	M _u	CS	V _{Rd}	V _{Rcd}	V _{Rsd}
1	0.00	1.00, 0.500	0.000000	0.000565	0.00	0.00	1000.00	173.53	--	--
2	0.05	1.00, 0.500	0.000000	0.000565	0.00	98.61	505.23	173.53	--	--
3	0.10	1.00, 0.500	0.010050	0.000565	0.00	98.55	126.87	173.53	--	--
4	0.15	1.00, 0.500	0.010050	0.000565	0.00	98.55	56.67	173.53	--	--
5	0.20	1.00, 0.500	0.010050	0.000565	0.00	98.55	32.04	173.53	--	--
6	0.25	1.00, 0.500	0.010050	0.000565	0.00	98.55	20.61	173.53	--	--
7	0.30	1.00, 0.500	0.010050	0.000565	0.00	98.55	14.39	173.53	--	--
8	0.35	1.00, 0.500	0.010050	0.000565	0.00	98.55	10.62	173.53	--	--
9	0.40	1.00, 0.500	0.010050	0.000565	0.00	98.55	8.18	173.53	--	--
10	0.45	1.00, 0.500	0.010050	0.000565	0.00	98.55	6.49	173.53	--	--
11	0.50	1.00, 0.500	0.010050	0.000565	0.00	98.55	5.29	173.53	--	--

Fondazione di monte

(L'ascissa X, espressa in [m], è positiva verso valle con origine in corrispondenza dell'estremo libero della fondazione di monte)

Nr.	Y	B, H	A _{fs}	A _{fi}	N _u	M _u	CS	V _{Rd}	V _{Rcd}	V _{Rsd}
1	0.00	1.00, 0.500	0.000000	0.000565	0.00	0.00	1000.00	173.53	--	--
2	0.21	1.00, 0.500	0.010050	0.000565	0.00	-172.73	178.24	173.53	--	--
3	0.43	1.00, 0.500	0.010050	0.000565	0.00	-172.73	49.46	173.53	--	--
4	0.65	1.00, 0.500	0.010050	0.000565	0.00	-172.73	24.70	173.53	--	--
5	0.86	1.00, 0.500	0.010050	0.000565	0.00	-172.73	15.85	173.53	--	--
6	1.07	1.00, 0.500	0.010050	0.000565	0.00	-172.73	11.78	173.53	--	--
7	1.29	1.00, 0.500	0.010050	0.000565	0.00	-172.73	9.69	173.53	--	--
8	1.50	1.00, 0.500	0.010050	0.000565	0.00	-172.73	8.68	173.53	--	--
9	1.72	1.00, 0.500	0.010050	0.000565	0.00	-172.73	8.45	173.53	--	--
10	1.93	1.00, 0.500	0.010050	0.000565	0.00	-172.73	9.10	173.53	--	--
11	2.15	1.00, 0.500	0.010050	0.000565	0.00	-172.73	11.49	173.53	--	--

COMBINAZIONE n° 10

Valore della spinta statica

89.7304 [kN]

PV_D_SR_AP_MU_3_C_016-_001_N_001_R_A_0

Muro prefabbricato – MU.3C.016.N – Relazione di Calcolo

Componente orizzontale della spinta statica	70.9223	[kN]		
Componente verticale della spinta statica	54.9688	[kN]		
Punto d'applicazione della spinta	X = 2.15	[m]	Y = -2.83	[m]
Inclinaz. della spinta rispetto alla normale alla superficie	37.78	[°]		
Inclinazione linea di rottura in condizioni statiche	50.47	[°]		
Incremento sismico della spinta	48.0064	[kN]		
Punto d'applicazione dell'incremento sismico di spinta	X = 2.15	[m]	Y = -2.83	[m]
Inclinazione linea di rottura in condizioni sismiche	45.28	[°]		
Peso terrapieno gravante sulla fondazione a monte	157.5394	[kN]		
Baricentro terrapieno gravante sulla fondazione a monte	X = 1.09	[m]	Y = -1.95	[m]
Numero contrafforti	8			
Peso del singolo contrafforte	8.3000	[kN]		
Peso del contrafforte riferito ad un metro di muro	6.9167	[kN]		
Baricentro contrafforte	X = 0.23	[m]	Y = -2.35	[m]
Inerzia del muro	5.5628	[kN]		
Inerzia verticale del muro	-2.7814	[kN]		
Inerzia del terrapieno fondazione di monte	17.5272	[kN]		
Inerzia verticale del terrapieno fondazione di monte	-8.7636	[kN]		
Inerzia del singolo contrafforte	0.9234	[kN]		
Inerzia del contrafforte riferita ad un metro di muro	0.7695	[kN]		
Inerzia verticale del singolo contrafforte	-0.4617	[kN]		
Inerzia verticale del contrafforte riferita ad un metro di muro	-0.3848	[kN]		

Risultanti

Risultante dei carichi applicati in dir. orizzontale	133.3432	[kN]
Risultante dei carichi applicati in dir. verticale	292.4537	[kN]
Resistenza passiva a valle del muro	-23.5252	[kN]
Sforzo normale sul piano di posa della fondazione	292.4537	[kN]
Sforzo tangenziale sul piano di posa della fondazione	133.3432	[kN]
Eccentricità rispetto al baricentro della fondazione	0.29	[m]
Lunghezza fondazione reagente	2.80	[m]
Risultante in fondazione	321.4181	[kN]
Inclinazione della risultante (rispetto alla normale)	24.51	[°]
Momento rispetto al baricentro della fondazione	85.8548	[kNm]
Carico ultimo della fondazione	1642.4362	[kN]

Tensioni sul terreno

Lunghezza fondazione reagente	2.80	[m]
Tensione terreno allo spigolo di valle	0.17015	[N/mmq]
Tensione terreno allo spigolo di monte	0.03874	[N/mmq]

Fattori per il calcolo della capacità portante

Coeff. capacità portante	$N_c = 61.35$	$N_q = 48.93$	$N_\gamma = 78.02$
Fattori forma	$s_c = 1.00$	$s_q = 1.00$	$s_\gamma = 1.00$
Fattori inclinazione	$i_c = 0.33$	$i_q = 0.34$	$i_\gamma = 0.18$
Fattori profondità	$d_c = 1.16$	$d_q = 1.09$	$d_\gamma = 1.00$
Fattori inclinazione piano posa	$b_c = 1.00$	$b_q = 1.00$	$b_\gamma = 1.00$
Fattori inclinazione pendio	$g_c = 1.00$	$g_q = 1.00$	$g_\gamma = 1.00$

I coefficienti N' tengono conto dei fattori di forma, profondità, inclinazione carico, inclinazione piano di posa, inclinazione pendio.

$$N'_c = 35.43 \quad N'_q = 27.18 \quad N'_\gamma = 27.17$$

COEFFICIENTI DI SICUREZZA

Coefficiente di sicurezza a scorrimento	1.89
Coefficiente di sicurezza a carico ultimo	5.62

Sollecitazioni fondazione di valleCombinazione n° 10

L'ascissa X(espressa in m) è considerata positiva verso monte con origine in corrispondenza dell'estremo libero della fondazione di valle

Momento positivo se tende le fibre inferiori, espresso in kNm

Taglio positivo se diretto verso l'alto, espresso in kN

PV_D_SR_AP_MU_3_C_016-_001_N_001_R_A_0

Muro prefabbricato – MU.3C.016.N – Relazione di Calcolo

Nr.	X	M	T
1	0.00	0.0000	0.0000
2	0.05	0.1822	7.2690
3	0.10	0.7249	14.4206
4	0.15	1.6223	21.4550
5	0.20	2.8685	28.3719
6	0.25	4.4576	35.1716
7	0.30	6.3837	41.8539
8	0.35	8.6410	48.4189
9	0.40	11.2236	54.8666
10	0.45	14.1257	61.1969
11	0.50	17.3414	67.4099

Sollecitazioni fondazione di monteCombinazione n° 10

L'ascissa X(espressa in m) è considerata positiva verso valle con origine in corrispondenza dell'estremo libero della fondazione di monte

Momento positivo se tende le fibre inferiori, espresso in kNm

Taglio positivo se diretto verso l'alto, espresso in kN

Nr.	X	M	T
1	0.00	0.0000	0.0000
2	0.21	-1.2132	-10.8384
3	0.43	-4.4682	-18.9935
4	0.65	-9.1881	-24.4652
5	0.86	-14.7963	-27.2735
6	1.07	-20.7533	-27.7789
7	1.29	-26.5858	-26.1148
8	1.50	-31.8272	-22.2812
9	1.72	-36.0112	-16.2782
10	1.93	-38.6714	-8.1058
11	2.15	-39.3412	2.2361

Armature e tensioni nei materiali della fondazioneCombinazione n° 10

Simbologia adottata

B	base della sezione espressa in [m]
H	altezza della sezione espressa in [m]
A _{fi}	area di armatura in corrispondenza del lembo inferiore in [mq]
A _{fs}	area di armatura in corrispondenza del lembo superiore in [mq]
N _u	sfuerzo normale ultimo espresso in [kN]
M _u	momento ultimo espresso in [kNm]
CS	coefficiente sicurezza sezione
V _{Rcd}	Aliquota di taglio assorbito dal cls, espresso in [kN]
V _{Rs}	Aliquota di taglio assorbito dall'armatura, espresso in [kN]
V _{Rd}	Resistenza al taglio, espresso in [kN]

Fondazione di valle

(L'ascissa X, espressa in [m], è positiva verso monte con origine in corrispondenza dell'estremo libero della fondazione di valle)

Nr.	Y	B, H	A _{fs}	A _{fi}	N _u	M _u	CS	V _{Rd}	V _{Rcd}	V _{Rs}
1	0.00	1.00, 0.500	0.000000	0.000565	0.00	0.00	1000.00	173.53	--	--
2	0.05	1.00, 0.500	0.000000	0.000565	0.00	98.61	541.17	173.53	--	--
3	0.10	1.00, 0.500	0.010050	0.000565	0.00	98.55	135.95	173.53	--	--
4	0.15	1.00, 0.500	0.010050	0.000565	0.00	98.55	60.75	173.53	--	--
5	0.20	1.00, 0.500	0.010050	0.000565	0.00	98.55	34.36	173.53	--	--
6	0.25	1.00, 0.500	0.010050	0.000565	0.00	98.55	22.11	173.53	--	--
7	0.30	1.00, 0.500	0.010050	0.000565	0.00	98.55	15.44	173.53	--	--
8	0.35	1.00, 0.500	0.010050	0.000565	0.00	98.55	11.41	173.53	--	--
9	0.40	1.00, 0.500	0.010050	0.000565	0.00	98.55	8.78	173.53	--	--
10	0.45	1.00, 0.500	0.010050	0.000565	0.00	98.55	6.98	173.53	--	--
11	0.50	1.00, 0.500	0.010050	0.000565	0.00	98.55	5.68	173.53	--	--

Fondazione di monte

(L'ascissa X, espressa in [m], è positiva verso valle con origine in corrispondenza dell'estremo libero della fondazione di monte)

Nr.	Y	B, H	A _{fs}	A _{fi}	N _u	M _u	CS	V _{Rd}	V _{Rcd}	V _{Rs}
PV_D_SR_AP_MU_3_C_016-_001_N_001_R_A_0										

Muro prefabbricato – MU.3C.016.N – Relazione di Calcolo

1	0.00	1.00, 0.500.0000000.000565	0.00	0.00	1000.00	173.53	--	--
2	0.21	1.00, 0.500.0010050.000565	0.00	-172.73	142.37	173.53	--	--
3	0.43	1.00, 0.500.0010050.000565	0.00	-172.73	38.66	173.53	--	--
4	0.65	1.00, 0.500.0010050.000565	0.00	-172.73	18.80	173.53	--	--
5	0.86	1.00, 0.500.0010050.000565	0.00	-172.73	11.67	173.53	--	--
6	1.07	1.00, 0.500.0010050.000565	0.00	-172.73	8.32	173.53	--	--
7	1.29	1.00, 0.500.0010050.000565	0.00	-172.73	6.50	173.53	--	--
8	1.50	1.00, 0.500.0010050.000565	0.00	-172.73	5.43	173.53	--	--
9	1.72	1.00, 0.500.0010050.000565	0.00	-172.73	4.80	173.53	--	--
10	1.93	1.00, 0.500.0010050.000565	0.00	-172.73	4.47	173.53	--	--
11	2.15	1.00, 0.500.0010050.000565	0.00	-172.73	4.39	173.53	--	--

COMBINAZIONE n° 11

Valore della spinta statica	126.1612	[kN]						
Componente orizzontale della spinta statica	107.2533	[kN]						
Componente verticale della spinta statica	66.4333	[kN]						
Punto d'applicazione della spinta	X = 2.15	[m]	Y = -2.73	[m]				
Inclinaz. della spinta rispetto alla normale alla superficie	31.77	[°]						
Inclinazione linea di rottura in condizioni statiche	46.51	[°]						
Incremento sismico della spinta	66.5143	[kN]						
Punto d'applicazione dell'incremento sismico di spinta	X = 2.15	[m]	Y = -2.73	[m]				
Inclinazione linea di rottura in condizioni sismiche	41.51	[°]						
Peso terrapieno gravante sulla fondazione a monte	157.5394	[kN]						
Baricentro terrapieno gravante sulla fondazione a monte	X = 1.09	[m]	Y = -1.95	[m]				
Numero contrafforti	8							
Peso del singolo contrafforte	8.3000	[kN]						
Peso del contrafforte riferito ad un metro di muro	6.9167	[kN]						
Baricentro contrafforte	X = 0.23	[m]	Y = -2.35	[m]				
Inerzia del muro	5.5628	[kN]						
Inerzia verticale del muro	2.7814	[kN]						
Inerzia del terrapieno fondazione di monte	17.5272	[kN]						
Inerzia verticale del terrapieno fondazione di monte	8.7636	[kN]						
Inerzia del singolo contrafforte	0.9234	[kN]						
Inerzia del contrafforte riferito ad un metro di muro	0.7695	[kN]						
Inerzia verticale del singolo contrafforte	0.4617	[kN]						
Inerzia verticale del contrafforte riferita ad un metro di muro	0.3848	[kN]						

Risultanti

Risultante dei carichi applicati in dir. orizzontale	188.2761	[kN]						
Risultante dei carichi applicati in dir. verticale	333.3938	[kN]						
Resistenza passiva a valle del muro	-18.2184	[kN]						
Sforzo normale sul piano di posa della fondazione	333.3938	[kN]						
Sforzo tangenziale sul piano di posa della fondazione	188.2761	[kN]						
Eccentricità rispetto al baricentro della fondazione	0.50	[m]						
Lunghezza fondazione reagente	2.70	[m]						
Risultante in fondazione	382.8829	[kN]						
Inclinazione della risultante (rispetto alla normale)	29.45	[°]						
Momento rispetto al baricentro della fondazione	166.1519	[kNm]						
Carico ultimo della fondazione	356.2540	[kN]						

Tensioni sul terreno

Lunghezza fondazione reagente	2.70	[m]						
Tensione terreno allo spigolo di valle	0.24651	[N/mmq]						
Tensione terreno allo spigolo di monte	0.00000	[N/mmq]						

Fattori per il calcolo della capacità portante

Coeff. capacità portante	$N_c = 61.35$	$N_q = 48.93$	$N_\gamma = 78.02$
Fattori forma	$s_c = 1.00$	$s_q = 1.00$	$s_\gamma = 1.00$
Fattori inclinazione	$i_c = 0.19$	$i_q = 0.23$	$i_\gamma = 0.10$
Fattori profondità	$d_c = 1.16$	$d_q = 1.11$	$d_\gamma = 1.00$

PV_D_SR_AP_MU_3_C_016-_001_N_001_R_A_0

Muro prefabbricato – MU.3C.016.N – Relazione di Calcolo

Fattori inclinazione piano posa $b_c = 1.00$ $b_q = 1.00$ $b_\gamma = 1.00$
Fattori inclinazione pendio $g_c = 1.00$ $g_q = 1.00$ $g_\gamma = 1.00$

I coefficienti N' tengono conto dei fattori di forma, profondità, inclinazione carico, inclinazione piano di posa, inclinazione pendio.

$N'_c = 35.43$ $N'_q = 27.18$ $N'_\gamma = 27.17$

COEFFICIENTI DI SICUREZZA

Coefficiente di sicurezza a scorrimento 1.20

Coefficiente di sicurezza a carico ultimo 1.07

Sollecitazioni fondazione di valleCombinazione n° 11

L'ascissa X(espressa in m) è considerata positiva verso monte con origine in corrispondenza dell'estremo libero della fondazione di valle

Momento positivo se tende le fibre inferiori, espresso in kNm

Taglio positivo se diretto verso l'alto, espresso in kN

Nr.	X	M	T
1	0.00	0.0000	0.0000
2	0.05	0.2767	11.0316
3	0.10	1.0994	21.8354
4	0.15	2.4565	32.4113
5	0.20	4.3367	42.7594
6	0.25	6.7286	52.8797
7	0.30	9.6209	62.7721
8	0.35	13.0020	72.4367
9	0.40	16.8607	81.8735
10	0.45	21.1856	91.0824
11	0.50	25.9652	100.0635

Sollecitazioni fondazione di monteCombinazione n° 11

L'ascissa X(espressa in m) è considerata positiva verso valle con origine in corrispondenza dell'estremo libero della fondazione di monte

Momento positivo se tende le fibre inferiori, espresso in kNm

Taglio positivo se diretto verso l'alto, espresso in kN

Nr.	X	M	T
1	0.00	0.0000	0.0000
2	0.21	-2.1602	-19.5977
3	0.43	-8.1013	-34.8808
4	0.65	-16.8202	-45.4373
5	0.86	-27.3010	-51.2872
6	1.07	-38.5649	-52.7909
7	1.29	-49.6992	-50.0818
8	1.50	-59.7982	-43.1601
9	1.72	-67.9561	-32.0256
10	1.93	-73.2673	-16.6784
11	2.15	-74.8259	2.8814

Armature e tensioni nei materiali della fondazioneCombinazione n° 11

Simbologia adottata

B base della sezione espressa in [m]
H altezza della sezione espressa in [m]
 A_{fi} area di armatura in corrispondenza del lembo inferiore in [mq]
 A_{fs} area di armatura in corrispondenza del lembo superiore in [mq]
 N_u sforzo normale ultimo espresso in [kN]
 M_u momento ultimo espresso in [kNm]
CS coefficiente sicurezza sezione
 V_{Rcd} Aliquota di taglio assorbito dal cls, espresso in [kN]
 V_{Rsd} Aliquota di taglio assorbito dall'armatura, espresso in [kN]
 V_{Rd} Resistenza al taglio, espresso in [kN]

Fondazione di valle

(L'ascissa X, espressa in [m], è positiva verso monte con origine in corrispondenza dell'estremo libero della fondazione di valle)

Nr.	Y	B, H	A_{fs}	A_{fi}	N_u	M_u	CS	V_{Rd}	V_{Rcd}	V_{Rsd}
1	0.00	1.00, 0.500	0.0000000	0.000565	0.00	0.00	1000.00	173.53	--	--
2	0.05	1.00, 0.500	0.0000000	0.000565	0.00	98.61	356.32	173.53	--	--

PV_D_SR_AP_MU_3_C_016-_001_N_001_R_A_0

Muro prefabbricato – MU.3C.016.N – Relazione di Calcolo

3	0.10	1.00, 0.500.0010050.000565	0.00	98.55	89.65	173.53	--	--
4	0.15	1.00, 0.500.0010050.000565	0.00	98.55	40.12	173.53	--	--
5	0.20	1.00, 0.500.0010050.000565	0.00	98.55	22.73	173.53	--	--
6	0.25	1.00, 0.500.0010050.000565	0.00	98.55	14.65	173.53	--	--
7	0.30	1.00, 0.500.0010050.000565	0.00	98.55	10.24	173.53	--	--
8	0.35	1.00, 0.500.0010050.000565	0.00	98.55	7.58	173.53	--	--
9	0.40	1.00, 0.500.0010050.000565	0.00	98.55	5.85	173.53	--	--
10	0.45	1.00, 0.500.0010050.000565	0.00	98.55	4.65	173.53	--	--
11	0.50	1.00, 0.500.0010050.000565	0.00	98.55	3.80	173.53	--	--

Fondazione di monte

(L'ascissa X, espressa in [m], è positiva verso valle con origine in corrispondenza dell'estremo libero della fondazione di monte)

Nr.	Y	B, H	A _{fs}	A _{fi}	N _u	M _u	CS	V _{Rd}	V _{Rcd}	V _{Rsd}
1	0.00	1.00, 0.500.0000000.000565	0.00	0.00	1000.00	173.53	--	--		
2	0.21	1.00, 0.500.0010050.000565	0.00	-172.73	79.96	173.53	--	--		
3	0.43	1.00, 0.500.0010050.000565	0.00	-172.73	21.32	173.53	--	--		
4	0.65	1.00, 0.500.0010050.000565	0.00	-172.73	10.27	173.53	--	--		
5	0.86	1.00, 0.500.0010050.000565	0.00	-172.73	6.33	173.53	--	--		
6	1.07	1.00, 0.500.0010050.000565	0.00	-172.73	4.48	173.53	--	--		
7	1.29	1.00, 0.500.0010050.000565	0.00	-172.73	3.48	173.53	--	--		
8	1.50	1.00, 0.500.0010050.000565	0.00	-172.73	2.89	173.53	--	--		
9	1.72	1.00, 0.500.0010050.000565	0.00	-172.73	2.54	173.53	--	--		
10	1.93	1.00, 0.500.0010050.000565	0.00	-172.73	2.36	173.53	--	--		
11	2.15	1.00, 0.500.0010050.000565	0.00	-172.73	2.31	173.53	--	--		

COMBINAZIONE n° 12

Valore della spinta statica	126.1612	[kN]						
Componente orizzontale della spinta statica	107.2533	[kN]						
Componente verticale della spinta statica	66.4333	[kN]						
Punto d'applicazione della spinta	X = 2.15	[m]	Y = -2.73	[m]				
Inclinaz. della spinta rispetto alla normale alla superficie	31.77	[°]						
Inclinazione linea di rottura in condizioni statiche	46.51	[°]						
Incremento sismico della spinta	53.5234	[kN]						
Punto d'applicazione dell'incremento sismico di spinta	X = 2.15	[m]	Y = -2.73	[m]				
Inclinazione linea di rottura in condizioni sismiche	40.88	[°]						
Peso terrapieno gravante sulla fondazione a monte	157.5394	[kN]						
Baricentro terrapieno gravante sulla fondazione a monte	X = 1.09	[m]	Y = -1.95	[m]				
Numero contrafforti	8							
Peso del singolo contrafforte	8.3000	[kN]						
Peso del contrafforte riferito ad un metro di muro	6.9167	[kN]						
Baricentro contrafforte	X = 0.23	[m]	Y = -2.35	[m]				
Inerzia del muro	5.5628	[kN]						
Inerzia verticale del muro	-2.7814	[kN]						
Inerzia del terrapieno fondazione di monte	17.5272	[kN]						
Inerzia verticale del terrapieno fondazione di monte	-8.7636	[kN]						
Inerzia del singolo contrafforte	0.9234	[kN]						
Inerzia del contrafforte riferita ad un metro di muro	0.7695	[kN]						
Inerzia verticale del singolo contrafforte	-0.4617	[kN]						
Inerzia verticale del contrafforte riferita ad un metro di muro	-0.3848	[kN]						

Risultanti

Risultante dei carichi applicati in dir. orizzontale	177.2321	[kN]
Risultante dei carichi applicati in dir. verticale	302.6936	[kN]
Resistenza passiva a valle del muro	-18.2184	[kN]
Sforzo normale sul piano di posa della fondazione	302.6936	[kN]
Sforzo tangenziale sul piano di posa della fondazione	177.2321	[kN]
Eccentricità rispetto al baricentro della fondazione	0.53	[m]
Lunghezza fondazione reagente	2.61	[m]

PV_D_SR_AP_MU_3_C_016-_001_N_001_R_A_0

Muro prefabbricato – MU.3C.016.N – Relazione di Calcolo

Risultante in fondazione	350.7629	[kN]
Inclinazione della risultante (rispetto alla normale)	30.35	[°]
Momento rispetto al baricentro della fondazione	160.4044	[kNm]
Carico ultimo della fondazione	309.2518	[kN]

Tensioni sul terreno

Lunghezza fondazione reagente	2.61	[m]
Tensione terreno allo spigolo di valle	0.23193	[N/mm ²]
Tensione terreno allo spigolo di monte	0.00000	[N/mm ²]

Fattori per il calcolo della capacità portante

Coeff. capacità portante	$N_c = 61.35$	$N_q = 48.93$	$N_\gamma = 78.02$
Fattori forma	$s_c = 1.00$	$s_q = 1.00$	$s_\gamma = 1.00$
Fattori inclinazione	$i_c = 0.17$	$i_q = 0.21$	$i_\gamma = 0.09$
Fattori profondità	$d_c = 1.16$	$d_q = 1.11$	$d_\gamma = 1.00$
Fattori inclinazione piano posa	$b_c = 1.00$	$b_q = 1.00$	$b_\gamma = 1.00$
Fattori inclinazione pendio	$g_c = 1.00$	$g_q = 1.00$	$g_\gamma = 1.00$

I coefficienti N' tengono conto dei fattori di forma, profondità, inclinazione carico, inclinazione piano di posa, inclinazione pendio.

$N'_c = 35.43$	$N'_q = 27.18$	$N'_\gamma = 27.17$
----------------	----------------	---------------------

COEFFICIENTI DI SICUREZZA

Coefficiente di sicurezza a scorrimento	1.17
Coefficiente di sicurezza a carico ultimo	1.02

Sollecitazioni fondazione di valleCombinazione n° 12

L'ascissa X(espressa in m) è considerata positiva verso monte con origine in corrispondenza dell'estremo libero della fondazione di valle

Momento positivo se tende le fibre inferiori, espresso in kNm

Taglio positivo se diretto verso l'alto, espresso in kN

Nr.	X	M	T
1	0.00	0.0000	0.0000
2	0.05	0.2586	10.3054
3	0.10	1.0268	20.3886
4	0.15	2.2937	30.2497
5	0.20	4.0481	39.8887
6	0.25	6.2789	49.3055
7	0.30	8.9749	58.5002
8	0.35	12.1252	67.4727
9	0.40	15.7185	76.2232
10	0.45	19.7438	84.7515
11	0.50	24.1900	93.0576

Sollecitazioni fondazione di monteCombinazione n° 12

L'ascissa X(espressa in m) è considerata positiva verso valle con origine in corrispondenza dell'estremo libero della fondazione di monte

Momento positivo se tende le fibre inferiori, espresso in kNm

Taglio positivo se diretto verso l'alto, espresso in kN

Nr.	X	M	T
1	0.00	0.0000	0.0000
2	0.21	-2.1861	-20.2245
3	0.43	-8.4666	-37.4278
4	0.65	-17.9489	-50.0099
5	0.86	-29.6400	-57.9908
6	1.07	-42.5837	-61.7309
7	1.29	-55.8900	-61.3637
8	1.50	-68.6757	-56.8893
9	1.72	-80.0580	-48.3076
10	1.93	-89.1537	-35.6186
11	2.15	-95.0797	-18.8224

Armature e tensioni nei materiali della fondazioneCombinazione n° 12

Simbologia adottata

B base della sezione espressa in [m]

PV_D_SR_AP_MU_3_C_016-_001_N_001_R_A_0

Muro prefabbricato – MU.3C.016.N – Relazione di Calcolo

H	altezza della sezione espressa in [m]
A _{fi}	area di armatura in corrispondenza del lembo inferiore in [mq]
A _{fs}	area di armatura in corrispondenza del lembo superiore in [mq]
N _u	sforzo normale ultimo espresso in [kN]
M _u	momento ultimo espresso in [kNm]
CS	coefficiente sicurezza sezione
VRcd	Aliquota di taglio assorbito dal cls, espresso in [kN]
VRsd	Aliquota di taglio assorbito dall'armatura, espresso in [kN]
VRd	Resistenza al taglio, espresso in [kN]

Fondazione di valle

(L'ascissa X, espressa in [m], è positiva verso monte con origine in corrispondenza dell'estremo libero della fondazione di valle)

Nr.	Y	B, H	A _{fs}	A _{fi}	N _u	M _u	CS	V _{Rd}	V _{Rcd}	V _{Rsd}
1	0.00	1.00, 0.500	0.000000	0.000565	0.00	0.00	1000.00	173.53	--	--
2	0.05	1.00, 0.500	0.000000	0.000565	0.00	98.61	381.38	173.53	--	--
3	0.10	1.00, 0.500	0.0010050	0.000565	0.00	98.55	95.98	173.53	--	--
4	0.15	1.00, 0.500	0.0010050	0.000565	0.00	98.55	42.97	173.53	--	--
5	0.20	1.00, 0.500	0.0010050	0.000565	0.00	98.55	24.35	173.53	--	--
6	0.25	1.00, 0.500	0.0010050	0.000565	0.00	98.55	15.70	173.53	--	--
7	0.30	1.00, 0.500	0.0010050	0.000565	0.00	98.55	10.98	173.53	--	--
8	0.35	1.00, 0.500	0.0010050	0.000565	0.00	98.55	8.13	173.53	--	--
9	0.40	1.00, 0.500	0.0010050	0.000565	0.00	98.55	6.27	173.53	--	--
10	0.45	1.00, 0.500	0.0010050	0.000565	0.00	98.55	4.99	173.53	--	--
11	0.50	1.00, 0.500	0.0010050	0.000565	0.00	98.55	4.07	173.53	--	--

Fondazione di monte

(L'ascissa X, espressa in [m], è positiva verso valle con origine in corrispondenza dell'estremo libero della fondazione di monte)

Nr.	Y	B, H	A _{fs}	A _{fi}	N _u	M _u	CS	V _{Rd}	V _{Rcd}	V _{Rsd}
1	0.00	1.00, 0.500	0.000000	0.000565	0.00	0.00	1000.00	173.53	--	--
2	0.21	1.00, 0.500	0.0010050	0.000565	0.00	-172.73	79.01	173.53	--	--
3	0.43	1.00, 0.500	0.0010050	0.000565	0.00	-172.73	20.40	173.53	--	--
4	0.65	1.00, 0.500	0.0010050	0.000565	0.00	-172.73	9.62	173.53	--	--
5	0.86	1.00, 0.500	0.0010050	0.000565	0.00	-172.73	5.83	173.53	--	--
6	1.07	1.00, 0.500	0.0010050	0.000565	0.00	-172.73	4.06	173.53	--	--
7	1.29	1.00, 0.500	0.0010050	0.000565	0.00	-172.73	3.09	173.53	--	--
8	1.50	1.00, 0.500	0.0010050	0.000565	0.00	-172.73	2.52	173.53	--	--
9	1.72	1.00, 0.500	0.0010050	0.000565	0.00	-172.73	2.16	173.53	--	--
10	1.93	1.00, 0.500	0.0010050	0.000565	0.00	-172.73	1.94	173.53	--	--
11	2.15	1.00, 0.500	0.0010050	0.000565	0.00	-172.73	1.82	173.53	--	--

COMBINAZIONE n° 13

Valore della spinta statica	126.1612	[kN]		
Componente orizzontale della spinta statica	107.2533	[kN]		
Componente verticale della spinta statica	66.4333	[kN]		
Punto d'applicazione della spinta	X = 2.15	[m]	Y = -2.73	[m]
Inclinaz. della spinta rispetto alla normale alla superficie	31.77	[°]		
Inclinazione linea di rottura in condizioni statiche	46.51	[°]		
Incremento sismico della spinta	66.5143	[kN]		
Punto d'applicazione dell'incremento sismico di spinta	X = 2.15	[m]	Y = -2.73	[m]
Inclinazione linea di rottura in condizioni sismiche	41.51	[°]		
Peso terrapieno gravante sulla fondazione a monte	157.5394	[kN]		
Baricentro terrapieno gravante sulla fondazione a monte	X = 1.09	[m]	Y = -1.95	[m]
Numero contrafforti	8			
Peso del singolo contrafforte	8.3000	[kN]		
Peso del contrafforte riferito ad un metro di muro	6.9167	[kN]		
Baricentro contrafforte	X = 0.23	[m]	Y = -2.35	[m]
Inerzia del muro	5.5628	[kN]		
Inerzia verticale del muro	2.7814	[kN]		
Inerzia del terrapieno fondazione di monte	17.5272	[kN]		

PV_D_SR_AP_MU_3_C_016-_001_N_001_R_A_0

Muro prefabbricato – MU.3C.016.N – Relazione di Calcolo

Inerzia verticale del terrapieno fondazione di monte	8.7636	[kN]
Inerzia del singolo contrafforte	0.9234	[kN]
Inerzia del contrafforte riferita ad un metro di muro	0.7695	[kN]
Inerzia verticale del singolo contrafforte	0.4617	[kN]
Inerzia verticale del contrafforte riferita ad un metro di muro	0.3848	[kN]

Risultanti

Risultante dei carichi applicati in dir. orizzontale	188.2761	[kN]
Risultante dei carichi applicati in dir. verticale	333.3938	[kN]
Resistenza passiva a valle del muro	-18.2184	[kN]
Momento ribaltante rispetto allo spigolo a valle	341.9105	[kNm]
Momento stabilizzante rispetto allo spigolo a valle	642.5099	[kNm]
Sforzo normale sul piano di posa della fondazione	333.3938	[kN]
Sforzo tangenziale sul piano di posa della fondazione	188.2761	[kN]
Eccentricità rispetto al baricentro della fondazione	0.50	[m]
Lunghezza fondazione reagente	2.70	[m]
Risultante in fondazione	382.8829	[kN]
Inclinazione della risultante (rispetto alla normale)	29.45	[°]
Momento rispetto al baricentro della fondazione	166.1519	[kNm]

COEFFICIENTI DI SICUREZZA

Coefficiente di sicurezza a ribaltamento 1.88

COMBINAZIONE n° 14

Valore della spinta statica	126.1612	[kN]		
Componente orizzontale della spinta statica	107.2533	[kN]		
Componente verticale della spinta statica	66.4333	[kN]		
Punto d'applicazione della spinta	X = 2.15	[m]	Y = -2.73	[m]
Inclinaz. della spinta rispetto alla normale alla superficie	31.77	[°]		
Inclinazione linea di rottura in condizioni statiche	46.51	[°]		
Incremento sismico della spinta	53.5234	[kN]		
Punto d'applicazione dell'incremento sismico di spinta	X = 2.15	[m]	Y = -2.73	[m]
Inclinazione linea di rottura in condizioni sismiche	40.88	[°]		
Peso terrapieno gravante sulla fondazione a monte	157.5394	[kN]		
Baricentro terrapieno gravante sulla fondazione a monte	X = 1.09	[m]	Y = -1.95	[m]
Numero contrafforti	8			
Peso del singolo contrafforte	8.3000	[kN]		
Peso del contrafforte riferito ad un metro di muro	6.9167	[kN]		
Baricentro contrafforte	X = 0.23	[m]	Y = -2.35	[m]
Inerzia del muro	5.5628	[kN]		
Inerzia verticale del muro	-2.7814	[kN]		
Inerzia del terrapieno fondazione di monte	17.5272	[kN]		
Inerzia verticale del terrapieno fondazione di monte	-8.7636	[kN]		
Inerzia del singolo contrafforte	0.9234	[kN]		
Inerzia del contrafforte riferita ad un metro di muro	0.7695	[kN]		
Inerzia verticale del singolo contrafforte	-0.4617	[kN]		
Inerzia verticale del contrafforte riferita ad un metro di muro	-0.3848	[kN]		

Risultanti

Risultante dei carichi applicati in dir. orizzontale	177.2321	[kN]
Risultante dei carichi applicati in dir. verticale	302.6936	[kN]
Resistenza passiva a valle del muro	-18.2184	[kN]
Momento ribaltante rispetto allo spigolo a valle	341.1745	[kNm]
Momento stabilizzante rispetto allo spigolo a valle	604.5411	[kNm]
Sforzo normale sul piano di posa della fondazione	302.6936	[kN]
Sforzo tangenziale sul piano di posa della fondazione	177.2321	[kN]
Eccentricità rispetto al baricentro della fondazione	0.53	[m]
Lunghezza fondazione reagente	2.61	[m]
Risultante in fondazione	350.7629	[kN]

PV_D_SR_AP_MU_3_C_016-_001_N_001_R_A_0

Muro prefabbricato – MU.3C.016.N – Relazione di Calcolo

Inclinazione della risultante (rispetto alla normale)	30.35	[°]
Momento rispetto al baricentro della fondazione	160.4044	[kNm]

COEFFICIENTI DI SICUREZZA

Coefficiente di sicurezza a ribaltamento 1.77

Stabilità globale muro + terrenoCombinazione n° 15

Le ascisse X sono considerate positive verso monte

Le ordinate Y sono considerate positive verso l'alto

Origine in testa al muro (spigolo contro terra)

W	peso della striscia espresso in [kN]
α	angolo fra la base della striscia e l'orizzontale espresso in [°] (positivo antiorario)
ϕ	angolo d'attrito del terreno lungo la base della striscia
c	coesione del terreno lungo la base della striscia espressa in [N/mmq]
b	larghezza della striscia espressa in [m]
u	pressione neutra lungo la base della striscia espressa in [N/mmq]

Metodo di Bishop

Numero di cerchi analizzati 36

Numero di strisce 25

Cerchio critico

Coordinate del centro X[m]= -0.38 Y[m]= 3.41

Raggio del cerchio R[m]= 8.31

Ascissa a valle del cerchio Xi[m]= -5.14

Ascissa a monte del cerchio Xs[m]= 7.92

Larghezza della striscia dx[m]= 0.52

Coefficiente di sicurezza C= 1.37

Le strisce sono numerate da monte verso valle

Caratteristiche delle strisce

Striscia	W	$\alpha(^{\circ})$	$W\sin\alpha$	$b/\cos\alpha$	ϕ	c	u
1	2015.26	78.28	1973.25	2.57	32.01	0.000	0.000
2	3501.32	65.09	3175.60	1.24	32.01	0.000	0.000
3	4149.72	57.46	3498.13	0.97	32.01	0.000	0.000
4	4564.23	51.23	3558.36	0.83	32.01	0.000	0.000
5	4839.70	45.76	3467.45	0.75	32.01	0.000	0.000
6	5016.88	40.80	3277.99	0.69	32.01	0.000	0.000
7	5117.97	36.18	3021.51	0.65	32.01	0.000	0.000
8	5156.65	31.83	2719.53	0.61	32.01	0.000	0.000
9	5142.03	27.67	2388.02	0.59	32.01	0.000	0.000
10	5080.44	23.67	2039.55	0.57	32.01	0.000	0.000
11	4976.46	19.79	1684.54	0.56	32.01	0.000	0.000
12	5000.07	16.00	1377.80	0.54	32.01	0.000	0.000
13	4855.72	12.28	1032.40	0.53	32.01	0.000	0.000
14	4900.65	8.61	733.52	0.53	32.01	0.000	0.000
15	4962.04	4.98	430.42	0.52	32.01	0.000	0.000
16	3511.48	1.36	83.60	0.52	32.01	0.000	0.000
17	1531.26	-2.24	-59.91	0.52	32.01	0.000	0.000
18	1426.03	-5.86	-145.54	0.53	32.01	0.000	0.000
19	1356.55	-9.50	-223.83	0.53	32.01	0.000	0.000
20	1253.21	-13.18	-285.65	0.54	32.01	0.000	0.000
21	1114.66	-16.91	-324.23	0.55	32.01	0.000	0.000
22	938.99	-20.72	-332.24	0.56	32.01	0.000	0.000
23	723.56	-24.63	-301.56	0.57	32.01	0.000	0.000
24	464.74	-28.67	-222.95	0.60	32.01	0.000	0.000
25	157.62	-32.87	-85.54	0.62	32.01	0.000	0.000

$\Sigma W_i = 801.7774$ [kN]

$\Sigma W_i \sin\alpha_i = 318.5274$ [kN]

$\Sigma W_i \tan\phi_i = 501.1337$ [kN]

$\Sigma \tan\alpha_i \tan\phi_i = 7.65$

PV_D_SR_AP_MU_3_C_016-_001_N_001_R_A_0

Stabilità globale muro + terreno**Combinazione n° 16**

Le ascisse X sono considerate positive verso monte

Le ordinate Y sono considerate positive verso l'alto

Origine in testa al muro (spigolo contro terra)

W peso della striscia espresso in [kN]

 α angolo fra la base della striscia e l'orizzontale espresso in [°] (positivo antiorario) ϕ angolo d'attrito del terreno lungo la base della strisciac coesione del terreno lungo la base della striscia espressa in [N/mm²]

b larghezza della striscia espressa in [m]

u pressione neutra lungo la base della striscia espressa in [N/mm²]

Metodo di Bishop

Numero di cerchi analizzati 36

Numero di strisce 25

Cerchio critico

Coordinate del centro X[m]= -0.38 Y[m]= 3.41

Raggio del cerchio R[m]= 8.31

Ascissa a valle del cerchio Xi[m]= -5.14

Ascissa a monte del cerchio Xs[m]= 7.92

Larghezza della striscia dx[m]= 0.52

Coefficiente di sicurezza C= 1.34

Le strisce sono numerate da monte verso valle

Caratteristiche delle strisce

Striscia	W	α (°)	Wsin α	b/cos α	ϕ	c	u
1	2015.26	78.28	1973.25	2.57	32.01	0.000	0.000
2	3501.32	65.09	3175.60	1.24	32.01	0.000	0.000
3	4149.72	57.46	3498.13	0.97	32.01	0.000	0.000
4	4564.23	51.23	3558.36	0.83	32.01	0.000	0.000
5	4839.70	45.76	3467.45	0.75	32.01	0.000	0.000
6	5016.88	40.80	3277.99	0.69	32.01	0.000	0.000
7	5117.97	36.18	3021.51	0.65	32.01	0.000	0.000
8	5156.65	31.83	2719.53	0.61	32.01	0.000	0.000
9	5142.03	27.67	2388.02	0.59	32.01	0.000	0.000
10	5080.44	23.67	2039.55	0.57	32.01	0.000	0.000
11	4976.46	19.79	1684.54	0.56	32.01	0.000	0.000
12	5000.07	16.00	1377.80	0.54	32.01	0.000	0.000
13	4855.72	12.28	1032.40	0.53	32.01	0.000	0.000
14	4900.65	8.61	733.52	0.53	32.01	0.000	0.000
15	4962.04	4.98	430.42	0.52	32.01	0.000	0.000
16	3511.48	1.36	83.60	0.52	32.01	0.000	0.000
17	1531.26	-2.24	-59.91	0.52	32.01	0.000	0.000
18	1426.03	-5.86	-145.54	0.53	32.01	0.000	0.000
19	1356.55	-9.50	-223.83	0.53	32.01	0.000	0.000
20	1253.21	-13.18	-285.65	0.54	32.01	0.000	0.000
21	1114.66	-16.91	-324.23	0.55	32.01	0.000	0.000
22	938.99	-20.72	-332.24	0.56	32.01	0.000	0.000
23	723.56	-24.63	-301.56	0.57	32.01	0.000	0.000
24	464.74	-28.67	-222.95	0.60	32.01	0.000	0.000
25	157.62	-32.87	-85.54	0.62	32.01	0.000	0.000

 $\Sigma W_i = 801.7774$ [kN] $\Sigma W_i \sin \alpha_i = 318.5274$ [kN] $\Sigma W_i \tan \phi_i = 501.1337$ [kN] $\Sigma \tan \alpha_i \tan \phi_i = 7.65$ **Sollecitazioni fondazione di valle****Combinazione n° 17**

L'ascissa X(espressa in m) è considerata positiva verso monte con origine in corrispondenza dell'estremo libero della fondazione di valle

Momento positivo se tende le fibre inferiori, espresso in kNm

Taglio positivo se diretto verso l'alto, espresso in kN

PV_D_SR_AP_MU_3_C_016-_001_N_001_R_A_0

Muro prefabbricato – MU.3C.016.N – Relazione di Calcolo

Nr.	X	M	T
1	0.00	0.0000	0.0000
2	0.05	0.1209	4.8277
3	0.10	0.4821	9.6154
4	0.15	1.0817	14.3633
5	0.20	1.9178	19.0712
6	0.25	2.9882	23.7392
7	0.30	4.2910	28.3674
8	0.35	5.8243	32.9556
9	0.40	7.5859	37.5039
10	0.45	9.5740	42.0123
11	0.50	11.7865	46.4808

Sollecitazioni fondazione di monteCombinazione n° 17

L'ascissa X(espressa in m) è considerata positiva verso valle con origine in corrispondenza dell'estremo libero della fondazione di monte

Momento positivo se tende le fibre inferiori, espresso in kNm

Taglio positivo se diretto verso l'alto, espresso in kN

Nr.	X	M	T
1	0.00	0.0000	0.0000
2	0.21	-0.4067	-3.5743
3	0.43	-1.4472	-5.8969
4	0.65	-2.8526	-6.9677
5	0.86	-4.3540	-6.8067
6	1.07	-5.7197	-5.7743
7	1.29	-6.7841	-4.0041
8	1.50	-7.3886	-1.4961
9	1.72	-7.3745	1.7499
10	1.93	-6.5833	5.7336
11	2.15	-4.8562	10.4552

Armature e tensioni nei materiali della fondazioneCombinazione n° 17

Simbologia adottata

B base della sezione espressa in [m]

H altezza della sezione espressa in [m]

A_{fi} area di armatura in corrispondenza del lembo inferiore in [mq]

A_{fs} area di armatura in corrispondenza del lembo superiore in [mq]

σ_c tensione nel calcestruzzo espressa in [N/mmq]

τ_c tensione tangenziale nel calcestruzzo espressa in [N/mmq]

σ_{fi} tensione nell'armatura disposta in corrispondenza del lembo inferiore in [N/mmq]

σ_{fs} tensione nell'armatura disposta in corrispondenza del lembo superiore in [N/mmq]

Fondazione di valle

(L'ascissa X, espressa in [m], è positiva verso monte con origine in corrispondenza dell'estremo libero della fondazione di valle)

Nr.	X	B, H	A_{fs}	A_{fi}	σ_c	τ_c	σ_{fi}	σ_{fs}
1	0.00	1.00, 0.500	0.000000	0.000565	0.000	0.000	0.000	0.000
2	0.05	1.00, 0.500	0.000000	0.000565	0.007	0.012	0.493	0.000
3	0.10	1.00, 0.500	0.001005	0.000565	0.025	0.025	1.970	-0.175
4	0.15	1.00, 0.500	0.001005	0.000565	0.057	0.037	4.419	-0.392
5	0.20	1.00, 0.500	0.001005	0.000565	0.101	0.049	7.835	-0.695
6	0.25	1.00, 0.500	0.001005	0.000565	0.157	0.061	12.208	-1.084
7	0.30	1.00, 0.500	0.001005	0.000565	0.225	0.073	17.531	-1.556
8	0.35	1.00, 0.500	0.001005	0.000565	0.305	0.084	23.795	-2.112
9	0.40	1.00, 0.500	0.001005	0.000565	0.398	0.096	30.992	-2.751
10	0.45	1.00, 0.500	0.001005	0.000565	0.502	0.107	39.114	-3.472
11	0.50	1.00, 0.500	0.001005	0.000565	0.618	0.119	48.154	-4.274

Fondazione di monte

(L'ascissa X, espressa in [m], è positiva verso valle con origine in corrispondenza dell'estremo libero della fondazione di monte)

Nr.	X	B, H	A_{fs}	A_{fi}	σ_c	τ_c	σ_{fi}	σ_{fs}
1	0.00	1.00, 0.500	0.000000	0.000565	0.000	0.000	0.000	0.000

PV_D_SR_AP_MU_3_C_016-_001_N_001_R_A_0

Muro prefabbricato – MU.3C.016.N – Relazione di Calcolo

2	0.21	1.00, 0.500.0010050.000565	0.017	-0.009	-0.156	0.949
3	0.43	1.00, 0.500.0010050.000565	0.062	-0.015	-0.556	3.377
4	0.65	1.00, 0.500.0010050.000565	0.122	-0.018	-1.095	6.657
5	0.86	1.00, 0.500.0010050.000565	0.187	-0.017	-1.672	10.161
6	1.07	1.00, 0.500.0010050.000565	0.245	-0.015	-2.197	13.348
7	1.29	1.00, 0.500.0010050.000565	0.291	-0.010	-2.605	15.832
8	1.50	1.00, 0.500.0010050.000565	0.317	-0.004	-2.837	17.243
9	1.72	1.00, 0.500.0010050.000565	0.316	0.004	-2.832	17.210
10	1.93	1.00, 0.500.0010050.000565	0.282	0.015	-2.528	15.363
11	2.15	1.00, 0.500.0010050.000565	0.208	0.027	-1.865	11.333

Verifiche a fessurazioneCombinazione n° 17

L'ordinata Y (espressa in [m]) è considerata positiva verso il basso con origine in testa al muro

A_{fs} area di armatura in corrispondenza del lembo di monte in [mq]A_{fi} area di armatura in corrispondenza del lembo di valle in [mq]M_{pf} Momento di prima fessurazione espressa in [kNm]

M Momento agente nella sezione espressa in [kNm]

ε_m deformazione media espressa in [%]S_m Distanza media tra le fessure espressa in [mm]

w Apertura media della fessura espressa in [mm]

Verifica fessurazione fondazione

N°	Y	A _{fs}	A _{fi}	M _{pf}	M	ε _m	S _m	w
1	-0.65	0.000000	0.000565	-55.61	0.00	0.0000	0.00	0.000
2	-0.60	0.000000	0.000565	57.47	0.12	0.0000	0.00	0.000
3	-0.55	0.001005	0.000565	58.31	0.48	0.0000	0.00	0.000
4	-0.50	0.001005	0.000565	58.31	1.08	0.0000	0.00	0.000
5	-0.45	0.001005	0.000565	58.31	1.92	0.0000	0.00	0.000
6	-0.40	0.001005	0.000565	58.31	2.99	0.0000	0.00	0.000
7	-0.35	0.001005	0.000565	58.31	4.29	0.0000	0.00	0.000
8	-0.30	0.001005	0.000565	58.31	5.82	0.0000	0.00	0.000
9	-0.25	0.001005	0.000565	58.31	7.59	0.0000	0.00	0.000
10	-0.20	0.001005	0.000565	58.31	9.57	0.0000	0.00	0.000
11	-0.15	0.001005	0.000565	58.31	11.79	0.0000	0.00	0.000
12	0.00	0.001005	0.000565	-59.76	-4.86	0.0000	0.00	0.000
13	0.21	0.001005	0.000565	-59.76	-6.58	0.0000	0.00	0.000
14	0.43	0.001005	0.000565	-59.76	-7.37	0.0000	0.00	0.000
15	0.65	0.001005	0.000565	-59.76	-7.39	0.0000	0.00	0.000
16	0.86	0.001005	0.000565	-59.76	-6.78	0.0000	0.00	0.000
17	1.07	0.001005	0.000565	-59.76	-5.72	0.0000	0.00	0.000
18	1.29	0.001005	0.000565	-59.76	-4.35	0.0000	0.00	0.000
19	1.50	0.001005	0.000565	-59.76	-2.85	0.0000	0.00	0.000
20	1.72	0.001005	0.000565	-59.76	-1.45	0.0000	0.00	0.000
21	1.94	0.001005	0.000565	-59.76	-0.41	0.0000	0.00	0.000
22	2.15	0.000000	0.000565	-55.61	0.00	0.0000	0.00	0.000

Sollecitazioni fondazione di valleCombinazione n° 18

L'ascissa X (espressa in m) è considerata positiva verso monte con origine in corrispondenza dell'estremo libero della fondazione di valle

Momento positivo se tende le fibre inferiori, espresso in kNm

Taglio positivo se diretto verso l'alto, espresso in kN

Nr.	X	M	T
1	0.00	0.0000	0.0000
2	0.05	0.1209	4.8277
3	0.10	0.4821	9.6154
4	0.15	1.0817	14.3633
5	0.20	1.9178	19.0712
6	0.25	2.9882	23.7392
7	0.30	4.2910	28.3674
8	0.35	5.8243	32.9556
9	0.40	7.5859	37.5039
10	0.45	9.5740	42.0123

PV_D_SR_AP_MU_3_C_016-_001_N_001_R_A_0

Muro prefabbricato – MU.3C.016.N – Relazione di Calcolo

11 0.50 11.7865 46.4808

Sollecitazioni fondazione di monteCombinazione n° 18

L'ascissa X(espressa in m) è considerata positiva verso valle con origine in corrispondenza dell'estremo libero della fondazione di monte

Momento positivo se tende le fibre inferiori, espresso in kNm

Taglio positivo se diretto verso l'alto, espresso in kN

Nr.	X	M	T
1	0.00	0.0000	0.0000
2	0.21	-0.4067	-3.5743
3	0.43	-1.4472	-5.8969
4	0.65	-2.8526	-6.9677
5	0.86	-4.3540	-6.8067
6	1.07	-5.7197	-5.7743
7	1.29	-6.7841	-4.0041
8	1.50	-7.3886	-1.4961
9	1.72	-7.3745	1.7499
10	1.93	-6.5833	5.7336
11	2.15	-4.8562	10.4552

Armature e tensioni nei materiali della fondazioneCombinazione n° 18

Simbologia adottata

B base della sezione espressa in [m]

H altezza della sezione espressa in [m]

 A_{fi} area di armatura in corrispondenza del lembo inferiore in [mq] A_{fs} area di armatura in corrispondenza del lembo superiore in [mq] σ_c tensione nel calcestruzzo espressa in [N/mm²] τ_c tensione tangenziale nel calcestruzzo espressa in [N/mm²] σ_{fi} tensione nell'armatura disposta in corrispondenza del lembo inferiore in [N/mm²] σ_{fs} tensione nell'armatura disposta in corrispondenza del lembo superiore in [N/mm²]Fondazione di valle

(L'ascissa X, espressa in [m], è positiva verso monte con origine X in corrispondenza dell'estremo libero della fondazione di valle)

Nr.	X	B, H	A_{fs}	A_{fi}	σ_c	τ_c	σ_{fi}	σ_{fs}
1	0.00	1.00, 0.500	0.0000000	0.000565	0.000	0.000	0.000	0.000
2	0.05	1.00, 0.500	0.0000000	0.000565	0.007	0.012	0.493	0.000
3	0.10	1.00, 0.500	0.0010050	0.000565	0.025	0.025	1.970	-0.175
4	0.15	1.00, 0.500	0.0010050	0.000565	0.057	0.037	4.419	-0.392
5	0.20	1.00, 0.500	0.0010050	0.000565	0.101	0.049	7.835	-0.695
6	0.25	1.00, 0.500	0.0010050	0.000565	0.157	0.061	12.208	-1.084
7	0.30	1.00, 0.500	0.0010050	0.000565	0.225	0.073	17.531	-1.556
8	0.35	1.00, 0.500	0.0010050	0.000565	0.305	0.084	23.795	-2.112
9	0.40	1.00, 0.500	0.0010050	0.000565	0.398	0.096	30.992	-2.751
10	0.45	1.00, 0.500	0.0010050	0.000565	0.502	0.107	39.114	-3.472
11	0.50	1.00, 0.500	0.0010050	0.000565	0.618	0.119	48.154	-4.274

Fondazione di monte

(L'ascissa X, espressa in [m], è positiva verso valle con origine in corrispondenza dell'estremo libero della fondazione di monte)

Nr.	X	B, H	A_{fs}	A_{fi}	σ_c	τ_c	σ_{fi}	σ_{fs}
1	0.00	1.00, 0.500	0.0000000	0.000565	0.000	0.000	0.000	0.000
2	0.21	1.00, 0.500	0.0010050	0.000565	0.017	-0.009	-0.156	0.949
3	0.43	1.00, 0.500	0.0010050	0.000565	0.062	-0.015	-0.556	3.377
4	0.65	1.00, 0.500	0.0010050	0.000565	0.122	-0.018	-1.095	6.657
5	0.86	1.00, 0.500	0.0010050	0.000565	0.187	-0.017	-1.672	10.161
6	1.07	1.00, 0.500	0.0010050	0.000565	0.245	-0.015	-2.197	13.348
7	1.29	1.00, 0.500	0.0010050	0.000565	0.291	-0.010	-2.605	15.832
8	1.50	1.00, 0.500	0.0010050	0.000565	0.317	-0.004	-2.837	17.243
9	1.72	1.00, 0.500	0.0010050	0.000565	0.316	0.004	-2.832	17.210
10	1.93	1.00, 0.500	0.0010050	0.000565	0.282	0.015	-2.528	15.363
11	2.15	1.00, 0.500	0.0010050	0.000565	0.208	0.027	-1.865	11.333

Verifiche a fessurazione**Combinazione n° 18**

L'ordinata Y (espressa in [m]) è considerata positiva verso il basso con origine in testa al muro

A_{fs}	area di armatura in corrispondenza del lembo di monte in [mq]
A_{fi}	area di armatura in corrispondenza del lembo di valle in [mq]
M_{pf}	Momento di prima fessurazione espressa in [kNm]
M	Momento agente nella sezione espressa in [kNm]
ϵ_m	deformazione media espressa in [%]
S_m	Distanza media tra le fessure espressa in [mm]
w	Apertura media della fessura espressa in [mm]

Verifica fessurazione fondazione

N°	Y	A_{fs}	A_{fi}	M_{pf}	M	ϵ_m	S_m	w
1	-0.65	0.000000	0.000565	-55.61	0.00	0.0000	0.00	0.000
2	-0.60	0.000000	0.000565	57.47	0.12	0.0000	0.00	0.000
3	-0.55	0.001005	0.000565	58.31	0.48	0.0000	0.00	0.000
4	-0.50	0.001005	0.000565	58.31	1.08	0.0000	0.00	0.000
5	-0.45	0.001005	0.000565	58.31	1.92	0.0000	0.00	0.000
6	-0.40	0.001005	0.000565	58.31	2.99	0.0000	0.00	0.000
7	-0.35	0.001005	0.000565	58.31	4.29	0.0000	0.00	0.000
8	-0.30	0.001005	0.000565	58.31	5.82	0.0000	0.00	0.000
9	-0.25	0.001005	0.000565	58.31	7.59	0.0000	0.00	0.000
10	-0.20	0.001005	0.000565	58.31	9.57	0.0000	0.00	0.000
11	-0.15	0.001005	0.000565	58.31	11.79	0.0000	0.00	0.000
12	0.00	0.001005	0.000565	-59.76	-4.86	0.0000	0.00	0.000
13	0.21	0.001005	0.000565	-59.76	-6.58	0.0000	0.00	0.000
14	0.43	0.001005	0.000565	-59.76	-7.37	0.0000	0.00	0.000
15	0.65	0.001005	0.000565	-59.76	-7.39	0.0000	0.00	0.000
16	0.86	0.001005	0.000565	-59.76	-6.78	0.0000	0.00	0.000
17	1.07	0.001005	0.000565	-59.76	-5.72	0.0000	0.00	0.000
18	1.29	0.001005	0.000565	-59.76	-4.35	0.0000	0.00	0.000
19	1.50	0.001005	0.000565	-59.76	-2.85	0.0000	0.00	0.000
20	1.72	0.001005	0.000565	-59.76	-1.45	0.0000	0.00	0.000
21	1.94	0.001005	0.000565	-59.76	-0.41	0.0000	0.00	0.000
22	2.15	0.000000	0.000565	-55.61	0.00	0.0000	0.00	0.000

Sollecitazioni fondazione di valle**Combinazione n° 19**

L'ascissa X(espressa in m) è considerata positiva verso monte con origine in corrispondenza dell'estremo libero della fondazione di valle

Momento positivo se tende le fibre inferiori, espresso in kNm

Taglio positivo se diretto verso l'alto, espresso in kN

Nr.	X	M	T
1	0.00	0.0000	0.0000
2	0.05	0.1209	4.8277
3	0.10	0.4821	9.6154
4	0.15	1.0817	14.3633
5	0.20	1.9178	19.0712
6	0.25	2.9882	23.7392
7	0.30	4.2910	28.3674
8	0.35	5.8243	32.9556
9	0.40	7.5859	37.5039
10	0.45	9.5740	42.0123
11	0.50	11.7865	46.4808

Sollecitazioni fondazione di monte**Combinazione n° 19**

L'ascissa X(espressa in m) è considerata positiva verso valle con origine in corrispondenza dell'estremo libero della fondazione di monte

Momento positivo se tende le fibre inferiori, espresso in kNm

Taglio positivo se diretto verso l'alto, espresso in kN

Nr.	X	M	T
1	0.00	0.0000	0.0000
2	0.21	-0.4067	-3.5743

Muro prefabbricato – MU.3C.016.N – Relazione di Calcolo

3	0.43	-1.4472	-5.8969
4	0.65	-2.8526	-6.9677
5	0.86	-4.3540	-6.8067
6	1.07	-5.7197	-5.7743
7	1.29	-6.7841	-4.0041
8	1.50	-7.3886	-1.4961
9	1.72	-7.3745	1.7499
10	1.93	-6.5833	5.7336
11	2.15	-4.8562	10.4552

Armature e tensioni nei materiali della fondazioneCombinazione n° 19

Simbologia adottata

B	base della sezione espressa in [m]
H	altezza della sezione espressa in [m]
A _{fi}	area di armatura in corrispondenza del lembo inferiore in [mq]
A _{fs}	area di armatura in corrispondenza del lembo superiore in [mq]
σ _c	tensione nel calcestruzzo espressa in [N/mm ²]
τ _c	tensione tangenziale nel calcestruzzo espressa in [N/mm ²]
σ _{fi}	tensione nell'armatura disposta in corrispondenza del lembo inferiore in [N/mm ²]
σ _{fs}	tensione nell'armatura disposta in corrispondenza del lembo superiore in [N/mm ²]

Fondazione di valle

(L'ascissa X, espressa in [m], è positiva verso monte con origine in corrispondenza dell'estremo libero della fondazione di valle)

Nr.	X	B, H	A _{fs}	A _{fi}	σ _c	τ _c	σ _{fi}	σ _{fs}
1	0.00	1.00, 0.500	0.000000	0.000565	0.000	0.000	0.000	0.000
2	0.05	1.00, 0.500	0.000000	0.000565	0.007	0.012	0.493	0.000
3	0.10	1.00, 0.500	0.001005	0.000565	0.025	0.025	1.970	-0.175
4	0.15	1.00, 0.500	0.001005	0.000565	0.057	0.037	4.419	-0.392
5	0.20	1.00, 0.500	0.001005	0.000565	0.101	0.049	7.835	-0.695
6	0.25	1.00, 0.500	0.001005	0.000565	0.157	0.061	12.208	-1.084
7	0.30	1.00, 0.500	0.001005	0.000565	0.225	0.073	17.531	-1.556
8	0.35	1.00, 0.500	0.001005	0.000565	0.305	0.084	23.795	-2.112
9	0.40	1.00, 0.500	0.001005	0.000565	0.398	0.096	30.992	-2.751
10	0.45	1.00, 0.500	0.001005	0.000565	0.502	0.107	39.114	-3.472
11	0.50	1.00, 0.500	0.001005	0.000565	0.618	0.119	48.154	-4.274

Fondazione di monte

(L'ascissa X, espressa in [m], è positiva verso valle con origine in corrispondenza dell'estremo libero della fondazione di monte)

Nr.	X	B, H	A _{fs}	A _{fi}	σ _c	τ _c	σ _{fi}	σ _{fs}
1	0.00	1.00, 0.500	0.000000	0.000565	0.000	0.000	0.000	0.000
2	0.21	1.00, 0.500	0.001005	0.000565	0.017	-0.009	-0.156	0.949
3	0.43	1.00, 0.500	0.001005	0.000565	0.062	-0.015	-0.556	3.377
4	0.65	1.00, 0.500	0.001005	0.000565	0.122	-0.018	-1.095	6.657
5	0.86	1.00, 0.500	0.001005	0.000565	0.187	-0.017	-1.672	10.161
6	1.07	1.00, 0.500	0.001005	0.000565	0.245	-0.015	-2.197	13.348
7	1.29	1.00, 0.500	0.001005	0.000565	0.291	-0.010	-2.605	15.832
8	1.50	1.00, 0.500	0.001005	0.000565	0.317	-0.004	-2.837	17.243
9	1.72	1.00, 0.500	0.001005	0.000565	0.316	0.004	-2.832	17.210
10	1.93	1.00, 0.500	0.001005	0.000565	0.282	0.015	-2.528	15.363
11	2.15	1.00, 0.500	0.001005	0.000565	0.208	0.027	-1.865	11.333

Verifiche a fessurazioneCombinazione n° 19

L'ordinata Y (espressa in [m]) è considerata positiva verso il basso con origine in testa al muro

A _{fs}	area di armatura in corrispondenza del lembo di monte in [mq]
A _{fi}	area di armatura in corrispondenza del lembo di valle in [mq]
M _{pf}	Momento di prima fessurazione espressa in [kNm]
M	Momento agente nella sezione espressa in [kNm]
ε _m	deformazione media espressa in [%]
s _m	Distanza media tra le fessure espressa in [mm]
w	Apertura media della fessura espressa in [mm]

Muro prefabbricato – MU.3C.016.N – Relazione di CalcoloVerifica fessurazione fondazione

N°	Y	A_{fs}	A_{fi}	M_{pf}	M	ε_m	S_m	w
1	-0.65	0.000000	0.000565	-55.61	0.00	0.0000	0.00	0.000
2	-0.60	0.000000	0.000565	57.47	0.12	0.0000	0.00	0.000
3	-0.55	0.001005	0.000565	58.31	0.48	0.0000	0.00	0.000
4	-0.50	0.001005	0.000565	58.31	1.08	0.0000	0.00	0.000
5	-0.45	0.001005	0.000565	58.31	1.92	0.0000	0.00	0.000
6	-0.40	0.001005	0.000565	58.31	2.99	0.0000	0.00	0.000
7	-0.35	0.001005	0.000565	58.31	4.29	0.0000	0.00	0.000
8	-0.30	0.001005	0.000565	58.31	5.82	0.0000	0.00	0.000
9	-0.25	0.001005	0.000565	58.31	7.59	0.0000	0.00	0.000
10	-0.20	0.001005	0.000565	58.31	9.57	0.0000	0.00	0.000
11	-0.15	0.001005	0.000565	58.31	11.79	0.0000	0.00	0.000
12	0.00	0.001005	0.000565	-59.76	-4.86	0.0000	0.00	0.000
13	0.21	0.001005	0.000565	-59.76	-6.58	0.0000	0.00	0.000
14	0.43	0.001005	0.000565	-59.76	-7.37	0.0000	0.00	0.000
15	0.65	0.001005	0.000565	-59.76	-7.39	0.0000	0.00	0.000
16	0.86	0.001005	0.000565	-59.76	-6.78	0.0000	0.00	0.000
17	1.07	0.001005	0.000565	-59.76	-5.72	0.0000	0.00	0.000
18	1.29	0.001005	0.000565	-59.76	-4.35	0.0000	0.00	0.000
19	1.50	0.001005	0.000565	-59.76	-2.85	0.0000	0.00	0.000
20	1.72	0.001005	0.000565	-59.76	-1.45	0.0000	0.00	0.000
21	1.94	0.001005	0.000565	-59.76	-0.41	0.0000	0.00	0.000
22	2.15	0.000000	0.000565	-55.61	0.00	0.0000	0.00	0.000

2.1.3. Tipo F4 - Muro tratto F con altezza fuori terra di 5m

Normativa

N.T.C. 2008 - Approccio 1

Simbologia adottata

γ_{Gsfav}	Coefficiente parziale sfavorevole sulle azioni permanenti
γ_{Gfav}	Coefficiente parziale favorevole sulle azioni permanenti
γ_{Qsfav}	Coefficiente parziale sfavorevole sulle azioni variabili
γ_{Qfav}	Coefficiente parziale favorevole sulle azioni variabili
$\gamma_{tan\phi}$	Coefficiente parziale di riduzione dell'angolo di attrito drenato
$\gamma_{c'}$	Coefficiente parziale di riduzione della coesione drenata
γ_{cu}	Coefficiente parziale di riduzione della coesione non drenata
γ_{qu}	Coefficiente parziale di riduzione del carico ultimo
γ_{γ}	Coefficiente parziale di riduzione della resistenza a compressione uniassiale delle rocce

Coefficienti di partecipazione combinazioni statiche

Coefficienti parziali per le azioni o per l'effetto delle azioni:

Carichi	Effetto		A1	A2	EQU	HYD
Permanenti	Favorevole	γ_{Gfav}	1.00	1.00	0.90	0.90
Permanenti	Sfavorevole	γ_{Gsfav}	1.30	1.00	1.10	1.30
Variabili	Favorevole	γ_{Qfav}	0.00	0.00	0.00	0.00
Variabili	Sfavorevole	γ_{Qsfav}	1.50	1.30	1.50	1.50

Coefficienti parziali per i parametri geotecnici del terreno:

Parametri		M1	M2	M2	M1
Tangente dell'angolo di attrito	$\gamma_{tan\phi}$	1.00	1.25	1.25	1.00
Coesione efficace	$\gamma_{c'}$	1.00	1.25	1.25	1.00
Resistenza non drenata	γ_{cu}	1.00	1.40	1.40	1.00
Resistenza a compressione uniassiale	γ_{qu}	1.00	1.60	1.60	1.00
Peso dell'unità di volume	γ_{γ}	1.00	1.00	1.00	1.00

Coefficienti di partecipazione combinazioni sismiche

Coefficienti parziali per le azioni o per l'effetto delle azioni:

Carichi	Effetto		A1	A2	EQU	HYD
Permanenti	Favorevole	γ_{Gfav}	1.00	1.00	1.00	0.90
Permanenti	Sfavorevole	γ_{Gsfav}	1.00	1.00	1.00	1.30
Variabili	Favorevole	γ_{Qfav}	0.00	0.00	0.00	0.00
Variabili	Sfavorevole	γ_{Qsfav}	1.00	1.00	1.00	1.50

Coefficienti parziali per i parametri geotecnici del terreno:

Parametri		M1	M2	M2	M1
Tangente dell'angolo di attrito	$\gamma_{tan\phi}$	1.00	1.25	1.25	1.00
Coesione efficace	$\gamma_{c'}$	1.00	1.25	1.25	1.00
Resistenza non drenata	γ_{cu}	1.00	1.40	1.40	1.00
Resistenza a compressione uniassiale	γ_{qu}	1.00	1.60	1.60	1.00
Peso dell'unità di volume	γ_{γ}	1.00	1.00	1.00	1.00

FONDAZIONE SUPERFICIALE

Coefficienti parziali γ_R per le verifiche agli stati limite ultimi STR e GEO

Verifica	Coefficienti parziali		
	R1	R2	R3
Capacità portante della fondazione	1.00	1.00	1.40
Scorrimento	1.00	1.00	1.10
Resistenza del terreno a valle	1.00	1.00	1.40
Stabilità globale		1.10	

Geometria muro e fondazione

Muro prefabbricato – MU.3C.016.N – Relazione di Calcolo

Descrizione	Muro a mensola in c.a.
Altezza del paramento	5.00 [m]
Spessore in sommità	0.15 [m]
Spessore all'attacco con la fondazione	0.15 [m]
Inclinazione paramento esterno	0.00 [°]
Inclinazione paramento interno	0.00 [°]
Lunghezza del muro	9.60 [m]

Fondazione

Lunghezza mensola fondazione di valle	0.50 [m]
Lunghezza mensola fondazione di monte	2.85 [m]
Lunghezza totale fondazione	3.50 [m]
Inclinazione piano di posa della fondazione	0.00 [°]
Spessore fondazione	0.60 [m]
Spessore magrone	0.10 [m]
<u>Contrafforti prefabbricati</u>	

Altezza contrafforti	5.00 [m]
Spessore contrafforti	0.20 [m]
Larghezza in sommità	0.20 [m]
Larghezza alla base	0.85 [m]
Larghezza elemento	1.20 [m]
Numero contrafforti	8
Posizione :	Monte

Materiali utilizzati per la struttura*Calcestruzzo*

Peso specifico	25.000 [kN/mc]
Classe di Resistenza	C25/30
Resistenza caratteristica a compressione R_{ck}	30.00 [MPa]
Modulo elastico E	31447.048 [MPa]

Acciaio

Tipo	B450C
Tensione di snervamento σ_{fa}	449.94 [MPa]

Geometria profilo terreno a monte del muro*Simbologia adottata e sistema di riferimento*

(Sistema di riferimento con origine in testa al muro, ascissa X positiva verso monte, ordinata Y positiva verso l'alto)

N numero ordine del punto

X ascissa del punto espressa in [m]

Y ordinata del punto espressa in [m]

A inclinazione del tratto espressa in [°]

N	X	Y	A
1	1.35	0.00	0.00
2	9.67	5.00	31.00
3	30.00	5.00	0.00

Terreno a valle del muro

Inclinazione terreno a valle del muro rispetto all'orizzontale	0.00 [°]
Altezza del rinterro rispetto all'attacco fondaz.valle-paramento	0.60 [m]

Descrizione terreni*Simbologia adottata*

Nr.	Indice del terreno
Descrizione	Descrizione terreno
γ	Peso di volume del terreno espresso in [kN/mc]
γ_s	Peso di volume saturo del terreno espresso in [kN/mc]
ϕ	Angolo d'attrito interno espresso in [°]

PV_D_SR_AP_MU_3_C_016-_001_N_001_R_A_0

Muro prefabbricato – MU.3C.016.N – Relazione di Calcolo

δ	Angolo d'attrito terra-muro espresso in [°]
c	Coesione espressa in [MPa]
c_a	Adesione terra-muro espressa in [MPa]

Descrizione	γ	γ_s	ϕ	δ	c	c_a
AL1	18.50	18.50	38.00	25.33	0.0000	0.0000
AL1 - Paramento	18.50	18.50	38.00	25.33	0.0000	0.0000
AL1 - Fondazione	18.50	18.50	38.00	38.00	0.0000	0.0000

Stratigrafia*Simbologia adottata*

N	Indice dello strato
H	Spessore dello strato espresso in [m]
a	Inclinazione espressa in [°]
Kw	Costante di Winkler orizzontale espressa in Kg/cm ² /cm
Ks	Coefficiente di spinta
Terreno	Terreno dello strato

Nr.	H	a	Kw	Ks	Terreno
1	0.20	0.00	7.52	0.00	AL1
2	20.00	0.00	12.48	0.00	AL1 - Fondazione

Terreno di riempimento

AL1 - Paramento

Condizioni di carico*Simbologia e convenzioni di segno adottate*

Carichi verticali positivi verso il basso.

Carichi orizzontali positivi verso sinistra.

Momento positivo senso antiorario.

X	Ascissa del punto di applicazione del carico concentrato espressa in [m]
F_x	Componente orizzontale del carico concentrato espressa in [kN]
F_y	Componente verticale del carico concentrato espressa in [kN]
M	Momento espresso in [kNm]
X_i	Ascissa del punto iniziale del carico ripartito espressa in [m]
X_f	Ascissa del punto finale del carico ripartito espressa in [m]
Q_i	Intensità del carico per $x=X_i$ espressa in [kN/m]
Q_f	Intensità del carico per $x=X_f$ espressa in [kN/m]
D / C	Tipo carico : D=distribuito C=concentrato

Condizione n° 1 (Vento)

C	Paramento	X=0.00	Y=0.00	$F_x=3.0000$	$F_y=0.0000$	M=6.0000
---	-----------	--------	--------	--------------	--------------	----------

Descrizione combinazioni di carico*Simbologia adottata*

F/S Effetto dell'azione (FAV: Favorevole, SFAV: Sfavorevole)

 γ Coefficiente di partecipazione della condizione Ψ Coefficiente di combinazione della condizioneCombinazione n° 1 - Caso A1-M1 (STR)

	S/F	γ	Ψ	$\gamma * \Psi$
Peso proprio muro	FAV	1.00	1.00	1.00
Peso proprio terrapieno	FAV	1.00	1.00	1.00
Spinta terreno	SFAV	1.30	1.00	1.30

Combinazione n° 2 - Caso A2-M2 (GEO)

	S/F	γ	Ψ	$\gamma * \Psi$
Peso proprio muro	SFAV	1.00	1.00	1.00
Peso proprio terrapieno	SFAV	1.00	1.00	1.00
Spinta terreno	SFAV	1.00	1.00	1.00

Combinazione n° 3 - Caso EQU (SLU)

	S/F	γ	Ψ	$\gamma * \Psi$
Peso proprio muro	FAV	0.90	1.00	0.90
Peso proprio terrapieno	FAV	0.90	1.00	0.90
Spinta terreno	SFAV	1.10	1.00	1.10

Combinazione n° 4 - Caso A2-M2 (GEO-STAB)

	S/F	γ	Ψ	$\gamma * \Psi$
PV_D_SR_AP_MU_3_C_016-_001_N_001_R_A_0				

Muro prefabbricato – MU.3C.016.N – Relazione di Calcolo

Peso proprio muro	SFAV	1.00	1.00	1.00
Peso proprio terrapieno	SFAV	1.00	1.00	1.00
Spinta terreno	SFAV	1.00	1.00	1.00

Combinazione n° 5 - Caso A1-M1 (STR)

	S/F	γ	Ψ	$\gamma * \Psi$
Peso proprio muro	FAV	1.00	1.00	1.00
Peso proprio terrapieno	FAV	1.00	1.00	1.00
Spinta terreno	SFAV	1.30	1.00	1.30
Vento	SFAV	1.50	1.00	1.50

Combinazione n° 6 - Caso A2-M2 (GEO)

	S/F	γ	Ψ	$\gamma * \Psi$
Peso proprio muro	SFAV	1.00	1.00	1.00
Peso proprio terrapieno	SFAV	1.00	1.00	1.00
Spinta terreno	SFAV	1.00	1.00	1.00
Vento	SFAV	1.30	1.00	1.30

Combinazione n° 7 - Caso EQU (SLU)

	S/F	γ	Ψ	$\gamma * \Psi$
Peso proprio muro	FAV	0.90	1.00	0.90
Peso proprio terrapieno	FAV	0.90	1.00	0.90
Spinta terreno	SFAV	1.10	1.00	1.10
Vento	SFAV	1.50	1.00	1.50

Combinazione n° 8 - Caso A2-M2 (GEO-STAB)

	S/F	γ	Ψ	$\gamma * \Psi$
Peso proprio muro	SFAV	1.00	1.00	1.00
Peso proprio terrapieno	SFAV	1.00	1.00	1.00
Spinta terreno	SFAV	1.00	1.00	1.00
Vento	SFAV	1.30	1.00	1.30

Combinazione n° 9 - Caso A1-M1 (STR) - Sisma Vert. positivo

	S/F	γ	Ψ	$\gamma * \Psi$
Peso proprio muro	SFAV	1.00	1.00	1.00
Peso proprio terrapieno	SFAV	1.00	1.00	1.00
Spinta terreno	SFAV	1.00	1.00	1.00

Combinazione n° 10 - Caso A1-M1 (STR) - Sisma Vert. negativo

	S/F	γ	Ψ	$\gamma * \Psi$
Peso proprio muro	SFAV	1.00	1.00	1.00
Peso proprio terrapieno	SFAV	1.00	1.00	1.00
Spinta terreno	SFAV	1.00	1.00	1.00

Combinazione n° 11 - Caso A2-M2 (GEO) - Sisma Vert. positivo

	S/F	γ	Ψ	$\gamma * \Psi$
Peso proprio muro	SFAV	1.00	1.00	1.00
Peso proprio terrapieno	SFAV	1.00	1.00	1.00
Spinta terreno	SFAV	1.00	1.00	1.00

Combinazione n° 12 - Caso A2-M2 (GEO) - Sisma Vert. negativo

	S/F	γ	Ψ	$\gamma * \Psi$
Peso proprio muro	SFAV	1.00	1.00	1.00
Peso proprio terrapieno	SFAV	1.00	1.00	1.00
Spinta terreno	SFAV	1.00	1.00	1.00

Combinazione n° 13 - Caso EQU (SLU) - Sisma Vert. positivo

	S/F	γ	Ψ	$\gamma * \Psi$
Peso proprio muro	FAV	1.00	1.00	1.00
Peso proprio terrapieno	FAV	1.00	1.00	1.00

PV_D_SR_AP_MU_3_C_016-_001_N_001_R_A_0

Muro prefabbricato – MU.3C.016.N – Relazione di Calcolo

Spinta terreno	SFAV	1.00	1.00	1.00
----------------	------	------	------	------

Combinazione n° 14 - Caso EQU (SLU) - Sisma Vert. negativo

	S/F	γ	Ψ	$\gamma * \Psi$
Peso proprio muro	FAV	1.00	1.00	1.00
Peso proprio terrapieno	FAV	1.00	1.00	1.00
Spinta terreno	SFAV	1.00	1.00	1.00

Combinazione n° 15 - Caso A2-M2 (GEO-STAB) - Sisma Vert. positivo

	S/F	γ	Ψ	$\gamma * \Psi$
Peso proprio muro	SFAV	1.00	1.00	1.00
Peso proprio terrapieno	SFAV	1.00	1.00	1.00
Spinta terreno	SFAV	1.00	1.00	1.00

Combinazione n° 16 - Caso A2-M2 (GEO-STAB) - Sisma Vert. negativo

	S/F	γ	Ψ	$\gamma * \Psi$
Peso proprio muro	SFAV	1.00	1.00	1.00
Peso proprio terrapieno	SFAV	1.00	1.00	1.00
Spinta terreno	SFAV	1.00	1.00	1.00

Combinazione n° 17 - Quasi Permanente (SLE)

	S/F	γ	Ψ	$\gamma * \Psi$
Peso proprio muro	--	1.00	1.00	1.00
Peso proprio terrapieno	--	1.00	1.00	1.00
Spinta terreno	--	1.00	1.00	1.00
Vento	SFAV	1.00	1.00	1.00

Combinazione n° 18 - Frequente (SLE)

	S/F	γ	Ψ	$\gamma * \Psi$
Peso proprio muro	--	1.00	1.00	1.00
Peso proprio terrapieno	--	1.00	1.00	1.00
Spinta terreno	--	1.00	1.00	1.00
Vento	SFAV	1.00	1.00	1.00

Combinazione n° 19 - Rara (SLE)

	S/F	γ	Ψ	$\gamma * \Psi$
Peso proprio muro	--	1.00	1.00	1.00
Peso proprio terrapieno	--	1.00	1.00	1.00
Spinta terreno	--	1.00	1.00	1.00
Vento	SFAV	1.00	1.00	1.00

Impostazioni di analisi

Metodo verifica sezioni

Stato limite**Impostazioni verifiche SLU**Coefficienti parziali per resistenze di calcolo dei materiali

Coefficiente di sicurezza calcestruzzo a compressione	1.60
Coefficiente di sicurezza calcestruzzo a trazione	1.60
Coefficiente di sicurezza acciaio	1.15
Fattore riduzione da resistenza cubica a cilindrica	0.83
Fattore di riduzione per carichi di lungo periodo	0.85
Coefficiente di sicurezza per la sezione	1.00

Impostazioni verifiche SLE

Condizioni ambientali

Ordinarie

Armatura ad aderenza migliorata

Verifica fessurazione

Sensibilità delle armature

Sensibile

Valori limite delle aperture delle fessure

 $w_1 = 0.20$

PV_D_SR_AP_MU_3_C_016-_001_N_001_R_A_0

$w_2 = 0.30$

$w_3 = 0.40$

Circ. Min. 252 (15/10/1996)

Metodo di calcolo aperture delle fessure

Verifica delle tensioni

Combinazione di carico

Rara $\sigma_c < 0.60 f_{ck}$ - $\sigma_f < 0.80 f_{yk}$ Quasi permanente $\sigma_c < 0.45 f_{ck}$ Calcolo della portanza metodo di VesicCoefficiente correttivo su N_γ per effetti cinematici (combinazioni sismiche SLU): 1.00Coefficiente correttivo su N_γ per effetti cinematici (combinazioni sismiche SLE): 1.00**Impostazioni avanzate**

Componente verticale della spinta nel calcolo delle sollecitazioni

Influenza del terreno sulla fondazione di valle nelle verifiche e nel calcolo delle sollecitazioni

Diagramma correttivo per eccentricità negativa con aliquota di parzializzazione pari a 0.00

Quadro riassuntivo coeff. di sicurezza calcolati**Simbologia adottata**

C	Identificativo della combinazione
Tipo	Tipo combinazione
Sisma	Combinazione sismica
CS_{SCO}	Coeff. di sicurezza allo scorrimento
CS_{RIB}	Coeff. di sicurezza al ribaltamento
CS_{OLIM}	Coeff. di sicurezza a carico limite
CS_{STAB}	Coeff. di sicurezza a stabilità globale

C	Tipo	Sisma	CS_{SCO}	CS_{RIB}	CS_{qlim}	CS_{STAB}
1	A1-M1 - [1]	--	2.61	--	9.90	--
2	A2-M2 - [1]	--	1.84	--	3.33	--
3	EQU - [1]	--	--	2.33	--	--
4	STAB - [1]	--	--	--	--	1.55
5	A1-M1 - [2]	--	2.54	--	9.15	--
6	A2-M2 - [2]	--	1.80	--	3.09	--
7	EQU - [2]	--	--	2.16	--	--
8	STAB - [2]	--	--	--	--	1.55
9	A1-M1 - [3]	Orizzontale + Verticale positivo	1.97	--	5.31	--
10	A1-M1 - [3]	Orizzontale + Verticale negativo	1.90	--	5.31	--
11	A2-M2 - [3]	Orizzontale + Verticale positivo	1.24	--	1.09	--
12	A2-M2 - [3]	Orizzontale + Verticale negativo	1.20	--	1.05	--
13	EQU - [3]	Orizzontale + Verticale positivo	--	1.83	--	--
14	EQU - [3]	Orizzontale + Verticale negativo	--	1.72	--	--
15	STAB - [3]	Orizzontale + Verticale positivo	--	--	--	1.32
16	STAB - [3]	Orizzontale + Verticale negativo	--	--	--	1.29
17	SLEQ - [1]	--	3.13	--	12.57	--
18	SLEF - [1]	--	3.13	--	12.57	--
19	SLER - [1]	--	3.13	--	12.57	--

Analisi della spinta e verifiche

Sistema di riferimento adottato per le coordinate :

Origine in testa al muro (spigolo di monte)

Ascisse X (espresse in [m]) positive verso monte

Ordinate Y (espresse in [m]) positive verso l'alto

Le forze orizzontali sono considerate positive se agenti da monte verso valle

Le forze verticali sono considerate positive se agenti dall'alto verso il basso

Calcolo riferito ad 1 metro di muro

Tipo di analisi

Calcolo della spinta

metodo di Culmann

Calcolo del carico limite

metodo di Vesic

Calcolo della stabilità globale

metodo di Bishop

Calcolo della spinta in condizioni di

Spinta attiva

Sisma

PV_D_SR_AP_MU_3_C_016-_001_N_001_R_A_0

Combinazioni SLU

Accelerazione al suolo a_g	3.28 [m/s ²]
Coefficiente di amplificazione per tipo di sottosuolo (S)	1.07
Coefficiente di amplificazione topografica (St)	1.00
Coefficiente riduzione (β_m)	0.31
Rapporto intensità sismica verticale/orizzontale	0.50
Coefficiente di intensità sismica orizzontale (percento)	$k_h=(a_g/g*\beta_m*St*S) = 11.13$
Coefficiente di intensità sismica verticale (percento)	$k_v=0.50 * k_h = 5.56$

Combinazioni SLE

Accelerazione al suolo a_g	1.27 [m/s ²]
Coefficiente di amplificazione per tipo di sottosuolo (S)	1.20
Coefficiente di amplificazione topografica (St)	1.00
Coefficiente riduzione (β_m)	0.24
Rapporto intensità sismica verticale/orizzontale	0.50
Coefficiente di intensità sismica orizzontale (percento)	$k_h=(a_g/g*\beta_m*St*S) = 3.74$
Coefficiente di intensità sismica verticale (percento)	$k_v=0.50 * k_h = 1.87$

Forma diagramma incremento sismico	Stessa forma diagramma statico
Partecipazione spinta passiva (percento)	50.0
Lunghezza del muro	9.60 [m]

Peso muro	71.2500 [kN]
Baricentro del muro	X=0.79 Y=-4.56

Superficie di spinta

Punto inferiore superficie di spinta	X = 2.85	Y = -5.60
Punto superiore superficie di spinta	X = 2.85	Y = 0.90
Altezza della superficie di spinta	6.50 [m]	
Inclinazione superficie di spinta (rispetto alla verticale)	0.00 [°]	

COMBINAZIONE n° 1**Peso muro favorevole e Peso terrapieno favorevole**

Valore della spinta statica	192.0320 [kN]		
Componente orizzontale della spinta statica	152.2159 [kN]		
Componente verticale della spinta statica	117.0753 [kN]		
Punto d'applicazione della spinta	X = 2.85 [m]	Y = -3.37 [m]	
Inclinaz. della spinta rispetto alla normale alla superficie	37.57 [°]		
Inclinazione linea di rottura in condizioni statiche	53.15 [°]		

Peso terrapieno gravante sulla fondazione a monte	268.0388 [kN]		
Baricentro terrapieno gravante sulla fondazione a monte	X = 1.47 [m]	Y = -2.37 [m]	
Numero contrafforti	8		
Peso del singolo contrafforte	13.1250 [kN]		
Peso del contrafforte riferito ad un metro di muro	10.9375 [kN]		
Baricentro contrafforte	X = 0.30 [m]	Y = -3.02 [m]	

Risultanti

Risultante dei carichi applicati in dir. orizzontale	152.2159 [kN]
Risultante dei carichi applicati in dir. verticale	472.8515 [kN]
Resistenza passiva a valle del muro	-27.9969 [kN]
Sforzo normale sul piano di posa della fondazione	472.8515 [kN]
Sforzo tangenziale sul piano di posa della fondazione	152.2159 [kN]
Eccentricità rispetto al baricentro della fondazione	0.16 [m]
Lunghezza fondazione reagente	3.50 [m]
Risultante in fondazione	496.7477 [kN]
Inclinazione della risultante (rispetto alla normale)	17.84 [°]
Momento rispetto al baricentro della fondazione	75.1015 [kNm]
Carico ultimo della fondazione	4683.4721 [kN]

Muro prefabbricato – MU.3C.016.N – Relazione di CalcoloTensioni sul terreno

Lunghezza fondazione reagente	3.50	[m]
Tensione terreno allo spigolo di valle	0.17188	[MPa]
Tensione terreno allo spigolo di monte	0.09832	[MPa]

Fattori per il calcolo della capacità portante

Coeff. capacità portante	$N_c = 61.35$	$N_q = 48.93$	$N_\gamma = 78.02$
Fattori forma	$s_c = 1.00$	$s_q = 1.00$	$s_\gamma = 1.00$
Fattori inclinazione	$i_c = 0.50$	$i_q = 0.51$	$i_\gamma = 0.35$
Fattori profondità	$d_c = 1.14$	$d_q = 1.08$	$d_\gamma = 1.00$
Fattori inclinazione piano posa	$b_c = 1.00$	$b_q = 1.00$	$b_\gamma = 1.00$
Fattori inclinazione pendio	$g_c = 1.00$	$g_q = 1.00$	$g_\gamma = 1.00$

I coefficienti N' tengono conto dei fattori di forma, profondità, inclinazione carico, inclinazione piano di posa, inclinazione pendio.

$N'_c = 34.87$	$N'_q = 26.94$	$N'_\gamma = 26.99$
----------------	----------------	---------------------

COEFFICIENTI DI SICUREZZA

Coefficiente di sicurezza a scorrimento	2.61
Coefficiente di sicurezza a carico ultimo	9.90

Sollecitazioni fondazione di valleCombinazione n° 1

L'ascissa X(espressa in m) è considerata positiva verso monte con origine in corrispondenza dell'estremo libero della fondazione di valle

Momento positivo se tende le fibre inferiori, espresso in kNm

Taglio positivo se diretto verso l'alto, espresso in kN

Nr.	X	M	T
1	0.00	0.0000	0.0000
2	0.05	0.1776	7.0965
3	0.10	0.7088	14.1404
4	0.15	1.5908	21.1318
5	0.20	2.8211	28.0706
6	0.25	4.3970	34.9568
7	0.30	6.3159	41.7906
8	0.35	8.5752	48.5717
9	0.40	11.1722	55.3004
10	0.45	14.1043	61.9764
11	0.50	17.3689	68.6000

Sollecitazioni fondazione di monteCombinazione n° 1

L'ascissa X(espressa in m) è considerata positiva verso valle con origine in corrispondenza dell'estremo libero della fondazione di monte

Momento positivo se tende le fibre inferiori, espresso in kNm

Taglio positivo se diretto verso l'alto, espresso in kN

Nr.	X	M	T
1	0.00	0.0000	0.0000
2	0.28	-2.2436	-15.2643
3	0.57	-8.4269	-27.6472
4	0.85	-17.7288	-37.1489
5	1.14	-29.3281	-43.7694
6	1.42	-42.4036	-47.5085
7	1.71	-56.1565	-48.6851
8	2.00	-69.9909	-48.1137
9	2.28	-83.4191	-45.8349
10	2.56	-95.9546	-41.8489
11	2.85	-107.1108	-36.1555

Armature e tensioni nei materiali della fondazioneCombinazione n° 1

Simbologia adottata

B	base della sezione espressa in [m]
H	altezza della sezione espressa in [m]
A_{fi}	area di armatura in corrispondenza del lembo inferiore in [mq]
A_{fs}	area di armatura in corrispondenza del lembo superiore in [mq]
N_u	sforzo normale ultimo espresso in [kN]
M_u	momento ultimo espresso in [kNm]

PV_D_SR_AP_MU_3_C_016-_001_N_001_R_A_0

Muro prefabbricato – MU.3C.016.N – Relazione di Calcolo

CS	coefficiente sicurezza sezione
VRcd	Aliquota di taglio assorbito dal cls, espresso in [kN]
VRsd	Aliquota di taglio assorbito dall'armatura, espresso in [kN]
VRd	Resistenza al taglio, espresso in [kN]

Fondazione di valle

(L'ascissa X, espressa in [m], è positiva verso monte con origine in corrispondenza dell'estremo libero della fondazione di valle)

Nr.	Y	B, H	A _{fs}	A _{fi}	N _u	M _u	CS	V _{Rd}	V _{Rcd}	V _{Rsd}
1	0.00	1.00, 0.600	0.0010050	0.001272	0.00	0.00	1000.00	199.57	--	--
2	0.05	1.00, 0.600	0.0010050	0.000000	0.00	2.03	11.44	199.57	--	--
3	0.10	1.00, 0.600	0.0022780	0.001272	0.00	265.72	374.90	199.57	--	--
4	0.15	1.00, 0.600	0.0022780	0.001272	0.00	265.72	167.04	199.57	--	--
5	0.20	1.00, 0.600	0.0022780	0.001272	0.00	265.72	94.19	199.57	--	--
6	0.25	1.00, 0.600	0.0022780	0.001272	0.00	265.72	60.43	199.57	--	--
7	0.30	1.00, 0.600	0.0022780	0.001272	0.00	265.72	42.07	199.57	--	--
8	0.35	1.00, 0.600	0.0022780	0.001272	0.00	265.72	30.99	199.57	--	--
9	0.40	1.00, 0.600	0.0022780	0.001272	0.00	265.72	23.78	199.57	--	--
10	0.45	1.00, 0.600	0.0022780	0.001272	0.00	265.72	18.84	199.57	--	--
11	0.50	1.00, 0.600	0.0022780	0.001272	0.00	265.72	15.30	199.57	--	--

Fondazione di monte

(L'ascissa X, espressa in [m], è positiva verso valle con origine in corrispondenza dell'estremo libero della fondazione di monte)

Nr.	Y	B, H	A _{fs}	A _{fi}	N _u	M _u	CS	V _{Rd}	V _{Rcd}	V _{Rsd}
1	0.00	1.00, 0.600	0.0010050	0.001272	0.00	0.00	1000.00	219.33	--	--
2	0.28	1.00, 0.600	0.0010050	0.001272	0.00	-211.17	94.12	219.33	--	--
3	0.57	1.00, 0.600	0.0010050	0.001272	0.00	-211.17	25.06	219.33	--	--
4	0.85	1.00, 0.600	0.0010050	0.001272	0.00	-211.17	11.91	219.33	--	--
5	1.14	1.00, 0.600	0.0010050	0.001272	0.00	-211.17	7.20	219.33	--	--
6	1.42	1.00, 0.600	0.0010050	0.001272	0.00	-211.17	4.98	219.33	--	--
7	1.71	1.00, 0.600	0.0010050	0.001272	0.00	-211.17	3.76	219.33	--	--
8	2.00	1.00, 0.600	0.0010050	0.001272	0.00	-211.17	3.02	219.33	--	--
9	2.28	1.00, 0.600	0.0022780	0.001272	0.00	-470.01	5.63	219.33	--	--
10	2.56	1.00, 0.600	0.0022780	0.001272	0.00	-470.01	4.90	199.57	--	--
11	2.85	1.00, 0.600	0.0022780	0.001272	0.00	-470.01	4.39	199.57	--	--

COMBINAZIONE n° 2

Valore della spinta statica	195.9101	[kN]		
Componente orizzontale della spinta statica	166.9967	[kN]		
Componente verticale della spinta statica	102.4347	[kN]		
Punto d'applicazione della spinta	X = 2.85	[m]	Y = -3.25	[m]
Inclinaz. della spinta rispetto alla normale alla superficie	31.52	[°]		
Inclinazione linea di rottura in condizioni statiche	49.26	[°]		
Peso terrapieno gravante sulla fondazione a monte	268.0388	[kN]		
Baricentro terrapieno gravante sulla fondazione a monte	X = 1.47	[m]	Y = -2.37	[m]
Numero contrafforti	8			
Peso del singolo contrafforte	13.1250	[kN]		
Peso del contrafforte riferito ad un metro di muro	10.9375	[kN]		
Baricentro contrafforte	X = 0.30	[m]	Y = -3.02	[m]

Risultanti

Risultante dei carichi applicati in dir. orizzontale	166.9967	[kN]
Risultante dei carichi applicati in dir. verticale	458.2110	[kN]
Resistenza passiva a valle del muro	-21.6814	[kN]
Sforzo normale sul piano di posa della fondazione	458.2110	[kN]
Sforzo tangenziale sul piano di posa della fondazione	166.9967	[kN]
Eccentricità rispetto al baricentro della fondazione	0.34	[m]
Lunghezza fondazione reagente	3.50	[m]
Risultante in fondazione	487.6937	[kN]
Inclinazione della risultante (rispetto alla normale)	20.02	[°]

PV_D_SR_AP_MU_3_C_016-_001_N_001_R_A_0

Muro prefabbricato – MU.3C.016.N – Relazione di Calcolo

Momento rispetto al baricentro della fondazione	154.4839	[kNm]
Carico ultimo della fondazione	1527.8898	[kN]

Tensioni sul terreno

Lunghezza fondazione reagente	3.50	[m]
Tensione terreno allo spigolo di valle	0.20658	[MPa]
Tensione terreno allo spigolo di monte	0.05525	[MPa]

Fattori per il calcolo della capacità portante

Coeff. capacità portante	$N_c = 61.35$	$N_q = 48.93$	$N_\gamma = 78.02$
Fattori forma	$s_c = 1.00$	$s_q = 1.00$	$s_\gamma = 1.00$
Fattori inclinazione	$i_c = 0.43$	$i_q = 0.46$	$i_\gamma = 0.29$
Fattori profondità	$d_c = 1.14$	$d_q = 1.09$	$d_\gamma = 1.00$
Fattori inclinazione piano posa	$b_c = 1.00$	$b_q = 1.00$	$b_\gamma = 1.00$
Fattori inclinazione pendio	$g_c = 1.00$	$g_q = 1.00$	$g_\gamma = 1.00$

I coefficienti N' tengono conto dei fattori di forma, profondità, inclinazione carico, inclinazione piano di posa, inclinazione pendio.

$N'_c = 34.87$	$N'_q = 26.94$	$N'_\gamma = 26.99$
----------------	----------------	---------------------

COEFFICIENTI DI SICUREZZA

Coefficiente di sicurezza a scorrimento	1.84
Coefficiente di sicurezza a carico ultimo	3.33

Sollecitazioni fondazione di valleCombinazione n° 2

L'ascissa X(espressa in m) è considerata positiva verso monte con origine in corrispondenza dell'estremo libero della fondazione di valle

Momento positivo se tende le fibre inferiori, espresso in kNm

Taglio positivo se diretto verso l'alto, espresso in kN

Nr.	X	M	T
1	0.00	0.0000	0.0000
2	0.05	0.2247	8.9701
3	0.10	0.8952	17.8321
4	0.15	2.0061	26.5860
5	0.20	3.5520	35.2319
6	0.25	5.5275	43.7696
7	0.30	7.9272	52.1992
8	0.35	10.7456	60.5208
9	0.40	13.9774	68.7342
10	0.45	17.6172	76.8396
11	0.50	21.6596	84.8368

Sollecitazioni fondazione di monteCombinazione n° 2

L'ascissa X(espressa in m) è considerata positiva verso valle con origine in corrispondenza dell'estremo libero della fondazione di monte

Momento positivo se tende le fibre inferiori, espresso in kNm

Taglio positivo se diretto verso l'alto, espresso in kN

Nr.	X	M	T
1	0.00	0.0000	0.0000
2	0.28	-2.5895	-17.4361
3	0.57	-9.5191	-30.4572
4	0.85	-19.5306	-39.0632
5	1.14	-31.3657	-43.2543
6	1.42	-43.7662	-43.0303
7	1.71	-55.4908	-38.6365
8	2.00	-65.4546	-30.6995
9	2.28	-72.6558	-19.2505
10	2.56	-76.0937	-4.2895
11	2.85	-74.7672	14.1834

Armature e tensioni nei materiali della fondazioneCombinazione n° 2

Simbologia adottata

B base della sezione espressa in [m]

H altezza della sezione espressa in [m]

A_{fi} area di armatura in corrispondenza del lembo inferiore in [mq]

PV_D_SR_AP_MU_3_C_016-_001_N_001_R_A_0

Muro prefabbricato – MU.3C.016.N – Relazione di Calcolo

A_{fs}	area di armatura in corrispondenza del lembo superiore in [mq]
N_u	sforzo normale ultimo espresso in [kN]
M_u	momento ultimo espresso in [kNm]
CS	coefficiente sicurezza sezione
V_{Rcd}	Aliquota di taglio assorbito dal cls, espresso in [kN]
V_{Rsd}	Aliquota di taglio assorbito dall'armatura, espresso in [kN]
V_{Rd}	Resistenza al taglio, espresso in [kN]

Fondazione di valle

(L'ascissa X, espressa in [m], è positiva verso monte con origine in corrispondenza dell'estremo libero della fondazione di valle)

Nr.	Y	B, H	A_{fs}	A_{fi}	N_u	M_u	CS	V_{Rd}	V_{Rcd}	V_{Rsd}
1	0.00	1.00, 0.600	0.0010050	0.001272	0.00	0.00	1000.00	199.57	--	--
2	0.05	1.00, 0.600	0.0010050	0.000000	0.00	2.03	9.04	199.57	--	--
3	0.10	1.00, 0.600	0.0022780	0.001272	0.00	265.72	296.82	199.57	--	--
4	0.15	1.00, 0.600	0.0022780	0.001272	0.00	265.72	132.46	199.57	--	--
5	0.20	1.00, 0.600	0.0022780	0.001272	0.00	265.72	74.81	199.57	--	--
6	0.25	1.00, 0.600	0.0022780	0.001272	0.00	265.72	48.07	199.57	--	--
7	0.30	1.00, 0.600	0.0022780	0.001272	0.00	265.72	33.52	199.57	--	--
8	0.35	1.00, 0.600	0.0022780	0.001272	0.00	265.72	24.73	199.57	--	--
9	0.40	1.00, 0.600	0.0022780	0.001272	0.00	265.72	19.01	199.57	--	--
10	0.45	1.00, 0.600	0.0022780	0.001272	0.00	265.72	15.08	199.57	--	--
11	0.50	1.00, 0.600	0.0022780	0.001272	0.00	265.72	12.27	199.57	--	--

Fondazione di monte

(L'ascissa X, espressa in [m], è positiva verso valle con origine in corrispondenza dell'estremo libero della fondazione di monte)

Nr.	Y	B, H	A_{fs}	A_{fi}	N_u	M_u	CS	V_{Rd}	V_{Rcd}	V_{Rsd}
1	0.00	1.00, 0.600	0.0010050	0.001272	0.00	0.00	1000.00	219.33	--	--
2	0.28	1.00, 0.600	0.0010050	0.001272	0.00	-211.17	81.55	219.33	--	--
3	0.57	1.00, 0.600	0.0010050	0.001272	0.00	-211.17	22.18	219.33	--	--
4	0.85	1.00, 0.600	0.0010050	0.001272	0.00	-211.17	10.81	219.33	--	--
5	1.14	1.00, 0.600	0.0010050	0.001272	0.00	-211.17	6.73	219.33	--	--
6	1.42	1.00, 0.600	0.0010050	0.001272	0.00	-211.17	4.82	219.33	--	--
7	1.71	1.00, 0.600	0.0010050	0.001272	0.00	-211.17	3.81	219.33	--	--
8	2.00	1.00, 0.600	0.0010050	0.001272	0.00	-211.17	3.23	219.33	--	--
9	2.28	1.00, 0.600	0.0022780	0.001272	0.00	-470.01	6.47	219.33	--	--
10	2.56	1.00, 0.600	0.0022780	0.001272	0.00	-470.01	6.18	199.57	--	--
11	2.85	1.00, 0.600	0.0022780	0.001272	0.00	-470.01	6.29	199.57	--	--

COMBINAZIONE n° 3

Valore della spinta statica	215.5011	[kN]		
Componente orizzontale della spinta statica	183.6963	[kN]		
Componente verticale della spinta statica	112.6782	[kN]		
Punto d'applicazione della spinta	X = 2.85	[m]	Y = -3.25	[m]
Inclinaz. della spinta rispetto alla normale alla superficie	31.52	[°]		
Inclinazione linea di rottura in condizioni statiche	49.26	[°]		
Peso terrapieno gravante sulla fondazione a monte	241.2349	[kN]		
Baricentro terrapieno gravante sulla fondazione a monte	X = 1.47	[m]	Y = -2.37	[m]
Numero contrafforti	8			
Peso del singolo contrafforte	11.8125	[kN]		
Peso del contrafforte riferito ad un metro di muro	9.8438	[kN]		
Baricentro contrafforte	X = 0.30	[m]	Y = -3.02	[m]

Risultanti

Risultante dei carichi applicati in dir. orizzontale	183.6963	[kN]
Risultante dei carichi applicati in dir. verticale	432.8768	[kN]
Resistenza passiva a valle del muro	-19.5133	[kN]
Momento ribaltante rispetto allo spigolo a valle	432.2317	[kNm]
Momento stabilizzante rispetto allo spigolo a valle	1007.9952	[kNm]
Sforzo normale sul piano di posa della fondazione	432.8768	[kN]
Sforzo tangenziale sul piano di posa della fondazione	183.6963	[kN]

PV_D_SR_AP_MU_3_C_016-_001_N_001_R_A_0

Muro prefabbricato – MU.3C.016.N – Relazione di Calcolo

Eccentricità rispetto al baricentro della fondazione	0.42	[m]
Lunghezza fondazione reagente	3.50	[m]
Risultante in fondazione	470.2411	[kN]
Inclinazione della risultante (rispetto alla normale)	22.99	[°]
Momento rispetto al baricentro della fondazione	181.7710	[kNm]

COEFFICIENTI DI SICUREZZA

Coefficiente di sicurezza a ribaltamento 2.33

Stabilità globale muro + terreno**Combinazione n° 4**

Le ascisse X sono considerate positive verso monte

Le ordinate Y sono considerate positive verso l'alto

Origine in testa al muro (spigolo contro terra)

W peso della striscia espresso in [kN]

 α angolo fra la base della striscia e l'orizzontale espresso in [°] (positivo antiorario) ϕ angolo d'attrito del terreno lungo la base della striscia

c coesione del terreno lungo la base della striscia espressa in [MPa]

b larghezza della striscia espressa in [m]

u pressione neutra lungo la base della striscia espressa in [MPa]

Metodo di Bishop

Numero di cerchi analizzati 36

Numero di strisce 25

Cerchio critico

Coordinate del centro X[m]= -0.48 Y[m]= 4.29

Raggio del cerchio R[m]= 10.43

Ascissa a valle del cerchio Xi[m]= -6.27

Ascissa a monte del cerchio Xs[m]= 9.94

Larghezza della striscia dx[m]= 0.65

Coefficiente di sicurezza C= 1.55

Le strisce sono numerate da monte verso valle

Caratteristiche delle strisce

Striscia	W	$\alpha(^{\circ})$	$W\sin\alpha$	$b/\cos\alpha$	ϕ	c	u
1	3371.11	78.19	3299.78	3.17	32.01	0.000	0.000
2	5691.75	65.21	5167.14	1.55	32.01	0.000	0.000
3	6699.27	57.63	5658.24	1.21	32.01	0.000	0.000
4	7345.81	51.44	5744.44	1.04	32.01	0.000	0.000
5	7777.70	46.02	5596.81	0.93	32.01	0.000	0.000
6	8057.89	41.09	5296.32	0.86	32.01	0.000	0.000
7	8220.71	36.51	4891.46	0.81	32.01	0.000	0.000
8	8287.33	32.19	4415.31	0.77	32.01	0.000	0.000
9	8271.84	28.07	3892.39	0.73	32.01	0.000	0.000
10	8184.08	24.10	3341.98	0.71	32.01	0.000	0.000
11	8047.59	20.25	2785.69	0.69	32.01	0.000	0.000
12	8076.13	16.50	2293.29	0.68	32.01	0.000	0.000
13	7807.12	12.81	1731.38	0.66	32.01	0.000	0.000
14	7618.98	9.18	1215.87	0.66	32.01	0.000	0.000
15	7707.06	5.59	750.67	0.65	32.01	0.000	0.000
16	5904.23	2.02	207.93	0.65	32.01	0.000	0.000
17	2209.24	-1.55	-59.57	0.65	32.01	0.000	0.000
18	2076.93	-5.11	-185.15	0.65	32.01	0.000	0.000
19	1980.72	-8.70	-299.75	0.66	32.01	0.000	0.000
20	1833.33	-12.33	-391.45	0.66	32.01	0.000	0.000
21	1632.91	-16.00	-450.20	0.67	32.01	0.000	0.000
22	1376.78	-19.75	-465.21	0.69	32.01	0.000	0.000
23	1061.27	-23.58	-424.61	0.71	32.01	0.000	0.000
24	681.38	-27.54	-315.01	0.73	32.01	0.000	0.000
25	230.30	-31.64	-120.80	0.76	32.01	0.000	0.000

 $\Sigma W_i = 1276.3705$ [kN]

PV_D_SR_AP_MU_3_C_016-_001_N_001_R_A_0

Muro prefabbricato – MU.3C.016.N – Relazione di Calcolo

$\Sigma W_i \sin \alpha_i = 525.4186 \text{ [kN]}$

$\Sigma W_i \tan \phi_i = 797.7679 \text{ [kN]}$

$\Sigma \tan \alpha_i \tan \phi_i = 7.82$

COMBINAZIONE n° 5**Peso muro favorevole e Peso terrapieno favorevole**

Valore della spinta statica	192.0320	[kN]		
Componente orizzontale della spinta statica	152.2159	[kN]		
Componente verticale della spinta statica	117.0753	[kN]		
Punto d'applicazione della spinta	X = 2.85	[m]	Y = -3.37	[m]
Inclinaz. della spinta rispetto alla normale alla superficie	37.57	[°]		
Inclinazione linea di rottura in condizioni statiche	53.15	[°]		

Peso terrapieno gravante sulla fondazione a monte	268.0388	[kN]		
Baricentro terrapieno gravante sulla fondazione a monte	X = 1.47	[m]	Y = -2.37	[m]
Numero contrafforti	8			
Peso del singolo contrafforte	13.1250	[kN]		
Peso del contrafforte riferito ad un metro di muro	10.9375	[kN]		
Baricentro contrafforte	X = 0.30	[m]	Y = -3.02	[m]

Risultanti carichi esterni

Componente dir. X	4.50	[kN]
-------------------	------	------

Risultanti

Risultante dei carichi applicati in dir. orizzontale	156.7159	[kN]
Risultante dei carichi applicati in dir. verticale	472.8515	[kN]
Resistenza passiva a valle del muro	-27.9969	[kN]
Sforzo normale sul piano di posa della fondazione	472.8515	[kN]
Sforzo tangenziale sul piano di posa della fondazione	156.7159	[kN]
Eccentricità rispetto al baricentro della fondazione	0.23	[m]
Lunghezza fondazione reagente	3.50	[m]
Risultante in fondazione	498.1450	[kN]
Inclinazione della risultante (rispetto alla normale)	18.34	[°]
Momento rispetto al baricentro della fondazione	109.3015	[kNm]
Carico ultimo della fondazione	4326.0728	[kN]

Tensioni sul terreno

Lunghezza fondazione reagente	3.50	[m]
Tensione terreno allo spigolo di valle	0.18864	[MPa]
Tensione terreno allo spigolo di monte	0.08156	[MPa]

Fattori per il calcolo della capacità portante

Coeff. capacità portante	$N_c = 61.35$	$N_q = 48.93$	$N_\gamma = 78.02$
Fattori forma	$s_c = 1.00$	$s_q = 1.00$	$s_\gamma = 1.00$
Fattori inclinazione	$i_c = 0.49$	$i_q = 0.50$	$i_\gamma = 0.33$
Fattori profondità	$d_c = 1.14$	$d_q = 1.08$	$d_\gamma = 1.00$
Fattori inclinazione piano posa	$b_c = 1.00$	$b_q = 1.00$	$b_\gamma = 1.00$
Fattori inclinazione pendio	$g_c = 1.00$	$g_q = 1.00$	$g_\gamma = 1.00$

I coefficienti N' tengono conto dei fattori di forma, profondità, inclinazione carico, inclinazione piano di posa, inclinazione pendio.

$$N'_c = 34.87 \qquad N'_q = 26.94 \qquad N'_\gamma = 26.99$$

COEFFICIENTI DI SICUREZZA

Coefficiente di sicurezza a scorrimento	2.54
Coefficiente di sicurezza a carico ultimo	9.15

Sollecitazioni fondazione di valleCombinazione n° 5

L'ascissa X(espressa in m) è considerata positiva verso monte con origine in corrispondenza dell'estremo libero della fondazione di valle

Momento positivo se tende le fibre inferiori, espresso in kNm

Taglio positivo se diretto verso l'alto, espresso in kN

Nr.	X	M	T
1	0.00	0.0000	0.0000

PV_D_SR_AP_MU_3_C_016-_001_N_001_R_A_0

Muro prefabbricato – MU.3C.016.N – Relazione di Calcolo

2	0.05	0.1984	7.9221
3	0.10	0.7909	15.7676
4	0.15	1.7739	23.5367
5	0.20	3.1433	31.2293
6	0.25	4.8955	38.8455
7	0.30	7.0266	46.3851
8	0.35	9.5328	53.8483
9	0.40	12.4102	61.2350
10	0.45	15.6550	68.5452
11	0.50	19.2634	75.7790

Sollecitazioni fondazione di monteCombinazione n° 5

L'ascissa X(espressa in m) è considerata positiva verso valle con origine in corrispondenza dell'estremo libero della fondazione di monte

Momento positivo se tende le fibre inferiori, espresso in kNm

Taglio positivo se diretto verso l'alto, espresso in kN

Nr.	X	M	T
1	0.00	0.0000	0.0000
2	0.28	-2.8870	-19.6496
3	0.57	-10.8527	-35.6403
4	0.85	-22.8544	-47.9724
5	1.14	-37.8493	-56.6456
6	1.42	-54.7948	-61.6601
7	1.71	-72.6703	-63.3346
8	2.00	-90.6584	-62.4835
9	2.28	-108.0499	-59.1477
10	2.56	-124.1365	-53.3270
11	2.85	-138.2102	-45.0216

Armature e tensioni nei materiali della fondazioneCombinazione n° 5

Simbologia adottata

B	base della sezione espressa in [m]
H	altezza della sezione espressa in [m]
A _{fi}	area di armatura in corrispondenza del lembo inferiore in [mq]
A _{fs}	area di armatura in corrispondenza del lembo superiore in [mq]
N _u	sfuerzo normale ultimo espresso in [kN]
M _u	momento ultimo espresso in [kNm]
CS	coefficiente sicurezza sezione
V _{Rcd}	Aliquota di taglio assorbito dal cls, espresso in [kN]
V _{Rsd}	Aliquota di taglio assorbito dall'armatura, espresso in [kN]
V _{Rd}	Resistenza al taglio, espresso in [kN]

Fondazione di valle

(L'ascissa X, espressa in [m], è positiva verso monte con origine in corrispondenza dell'estremo libero della fondazione di valle)

Nr.	Y	B, H	A _{fs}	A _{fi}	N _u	M _u	CS	V _{Rd}	V _{Rcd}	V _{Rsd}
1	0.00	1.00, 0.600	0.0010050	0.001272	0.00	0.00	1000.00	199.57	--	--
2	0.05	1.00, 0.600	0.0010050	0.000000	0.00	2.03	10.24	199.57	--	--
3	0.10	1.00, 0.600	0.0022780	0.001272	0.00	265.72	335.96	199.57	--	--
4	0.15	1.00, 0.600	0.0022780	0.001272	0.00	265.72	149.80	199.57	--	--
5	0.20	1.00, 0.600	0.0022780	0.001272	0.00	265.72	84.53	199.57	--	--
6	0.25	1.00, 0.600	0.0022780	0.001272	0.00	265.72	54.28	199.57	--	--
7	0.30	1.00, 0.600	0.0022780	0.001272	0.00	265.72	37.82	199.57	--	--
8	0.35	1.00, 0.600	0.0022780	0.001272	0.00	265.72	27.87	199.57	--	--
9	0.40	1.00, 0.600	0.0022780	0.001272	0.00	265.72	21.41	199.57	--	--
10	0.45	1.00, 0.600	0.0022780	0.001272	0.00	265.72	16.97	199.57	--	--
11	0.50	1.00, 0.600	0.0022780	0.001272	0.00	265.72	13.79	199.57	--	--

Fondazione di monte

(L'ascissa X, espressa in [m], è positiva verso valle con origine in corrispondenza dell'estremo libero della fondazione di monte)

Nr.	Y	B, H	A _{fs}	A _{fi}	N _u	M _u	CS	V _{Rd}	V _{Rcd}	V _{Rsd}
1	0.00	1.00, 0.600	0.0010050	0.001272	0.00	0.00	1000.00	219.33	--	--

PV_D_SR_AP_MU_3_C_016-_001_N_001_R_A_0

Muro prefabbricato – MU.3C.016.N – Relazione di Calcolo

2	0.28	1.00, 0.600.0010050.001272	0.00	-211.17	73.15	219.33	--	--
3	0.57	1.00, 0.600.0010050.001272	0.00	-211.17	19.46	219.33	--	--
4	0.85	1.00, 0.600.0010050.001272	0.00	-211.17	9.24	219.33	--	--
5	1.14	1.00, 0.600.0010050.001272	0.00	-211.17	5.58	219.33	--	--
6	1.42	1.00, 0.600.0010050.001272	0.00	-211.17	3.85	219.33	--	--
7	1.71	1.00, 0.600.0010050.001272	0.00	-211.17	2.91	219.33	--	--
8	2.00	1.00, 0.600.0010050.001272	0.00	-211.17	2.33	219.33	--	--
9	2.28	1.00, 0.600.0022780.001272	0.00	-470.01	4.35	219.33	--	--
10	2.56	1.00, 0.600.0022780.001272	0.00	-470.01	3.79	199.57	--	--
11	2.85	1.00, 0.600.0022780.001272	0.00	-470.01	3.40	199.57	--	--

COMBINAZIONE n° 6

Valore della spinta statica	195.9101	[kN]		
Componente orizzontale della spinta statica	166.9967	[kN]		
Componente verticale della spinta statica	102.4347	[kN]		
Punto d'applicazione della spinta	X = 2.85	[m]	Y = -3.25	[m]
Inclinaz. della spinta rispetto alla normale alla superficie	31.52	[°]		
Inclinazione linea di rottura in condizioni statiche	49.26	[°]		
Peso terrapieno gravante sulla fondazione a monte	268.0388	[kN]		
Baricentro terrapieno gravante sulla fondazione a monte	X = 1.47	[m]	Y = -2.37	[m]
Numero contrafforti	8			
Peso del singolo contrafforte	13.1250	[kN]		
Peso del contrafforte riferito ad un metro di muro	10.9375	[kN]		
Baricentro contrafforte	X = 0.30	[m]	Y = -3.02	[m]

Risultanti carichi esterni

Componente dir. X	3.90	[kN]
-------------------	------	------

Risultanti

Risultante dei carichi applicati in dir. orizzontale	170.8967	[kN]
Risultante dei carichi applicati in dir. verticale	458.2110	[kN]
Resistenza passiva a valle del muro	-21.6814	[kN]
Sforzo normale sul piano di posa della fondazione	458.2110	[kN]
Sforzo tangenziale sul piano di posa della fondazione	170.8967	[kN]
Eccentricità rispetto al baricentro della fondazione	0.40	[m]
Lunghezza fondazione reagente	3.50	[m]
Risultante in fondazione	489.0429	[kN]
Inclinazione della risultante (rispetto alla normale)	20.45	[°]
Momento rispetto al baricentro della fondazione	184.1239	[kNm]
Carico ultimo della fondazione	1414.2608	[kN]

Tensioni sul terreno

Lunghezza fondazione reagente	3.50	[m]
Tensione terreno allo spigolo di valle	0.22110	[MPa]
Tensione terreno allo spigolo di monte	0.04073	[MPa]

Fattori per il calcolo della capacità portante

Coeff. capacità portante	$N_c = 61.35$	$N_q = 48.93$	$N_\gamma = 78.02$
Fattori forma	$s_c = 1.00$	$s_q = 1.00$	$s_\gamma = 1.00$
Fattori inclinazione	$i_c = 0.42$	$i_q = 0.45$	$i_\gamma = 0.28$
Fattori profondità	$d_c = 1.14$	$d_q = 1.09$	$d_\gamma = 1.00$
Fattori inclinazione piano posa	$b_c = 1.00$	$b_q = 1.00$	$b_\gamma = 1.00$
Fattori inclinazione pendio	$g_c = 1.00$	$g_q = 1.00$	$g_\gamma = 1.00$

I coefficienti N' tengono conto dei fattori di forma, profondità, inclinazione carico, inclinazione piano di posa, inclinazione pendio.

$N'_c = 34.87$	$N'_q = 26.94$	$N'_\gamma = 26.99$
----------------	----------------	---------------------

COEFFICIENTI DI SICUREZZA

Coefficiente di sicurezza a scorrimento	1.80
Coefficiente di sicurezza a carico ultimo	3.09

Sollecitazioni fondazione di valle

PV_D_SR_AP_MU_3_C_016-_001_N_001_R_A_0

Muro prefabbricato – MU.3C.016.N – Relazione di Calcolo**Combinazione n° 6**

L'ascissa X(espressa in m) è considerata positiva verso monte con origine in corrispondenza dell'estremo libero della fondazione di valle

Momento positivo se tende le fibre inferiori, espresso in kNm

Taglio positivo se diretto verso l'alto, espresso in kN

Nr.	X	M	T
1	0.00	0.0000	0.0000
2	0.05	0.2427	9.6856
3	0.10	0.9664	19.2424
4	0.15	2.1648	28.6703
5	0.20	3.8313	37.9694
6	0.25	5.9596	47.1397
7	0.30	8.5431	56.1812
8	0.35	11.5755	65.0938
9	0.40	15.0504	73.8776
10	0.45	18.9611	82.5325
11	0.50	23.3015	91.0586

Sollecitazioni fondazione di monte**Combinazione n° 6**

L'ascissa X(espressa in m) è considerata positiva verso valle con origine in corrispondenza dell'estremo libero della fondazione di monte

Momento positivo se tende le fibre inferiori, espresso in kNm

Taglio positivo se diretto verso l'alto, espresso in kN

Nr.	X	M	T
1	0.00	0.0000	0.0000
2	0.28	-3.1471	-21.2367
3	0.57	-11.6215	-37.3845
4	0.85	-23.9728	-48.4435
5	1.14	-38.7508	-54.4137
6	1.42	-54.5052	-55.2951
7	1.71	-69.8027	-51.3327
8	2.00	-83.3664	-43.1534
9	2.28	-94.0025	-30.7882
10	2.56	-100.5181	-14.2373
11	2.85	-101.7201	6.4995

Armature e tensioni nei materiali della fondazione**Combinazione n° 6**

Simbologia adottata

B	base della sezione espressa in [m]
H	altezza della sezione espressa in [m]
A _{fi}	area di armatura in corrispondenza del lembo inferiore in [mq]
A _{fs}	area di armatura in corrispondenza del lembo superiore in [mq]
N _u	sforzo normale ultimo espresso in [kN]
M _u	momento ultimo espresso in [kNm]
CS	coefficiente sicurezza sezione
V _{Rcd}	Aliquota di taglio assorbito dal cls, espresso in [kN]
V _{Rs}	Aliquota di taglio assorbito dall'armatura, espresso in [kN]
V _{Rd}	Resistenza al taglio, espresso in [kN]

Fondazione di valle

(L'ascissa X, espressa in [m], è positiva verso monte con origine in corrispondenza dell'estremo libero della fondazione di valle)

Nr.	Y	B, H	A _{fs}	A _{fi}	N _u	M _u	CS	V _{Rd}	V _{Rcd}	V _{Rs}
1	0.00	1.00, 0.600	0.0010050	0.001272	0.00	0.00	1000.00	199.57	--	--
2	0.05	1.00, 0.600	0.0010050	0.000000	0.00	2.03	8.37	199.57	--	--
3	0.10	1.00, 0.600	0.0022780	0.001272	0.00	265.72	274.95	199.57	--	--
4	0.15	1.00, 0.600	0.0022780	0.001272	0.00	265.72	122.75	199.57	--	--
5	0.20	1.00, 0.600	0.0022780	0.001272	0.00	265.72	69.36	199.57	--	--
6	0.25	1.00, 0.600	0.0022780	0.001272	0.00	265.72	44.59	199.57	--	--
7	0.30	1.00, 0.600	0.0022780	0.001272	0.00	265.72	31.10	199.57	--	--
8	0.35	1.00, 0.600	0.0022780	0.001272	0.00	265.72	22.96	199.57	--	--
9	0.40	1.00, 0.600	0.0022780	0.001272	0.00	265.72	17.66	199.57	--	--
10	0.45	1.00, 0.600	0.0022780	0.001272	0.00	265.72	14.01	199.57	--	--
11	0.50	1.00, 0.600	0.0022780	0.001272	0.00	265.72	11.40	199.57	--	--

Fondazione di monte

PV_D_SR_AP_MU_3_C_016-_001_N_001_R_A_0

Muro prefabbricato – MU.3C.016.N – Relazione di Calcolo

(L'ascissa X, espressa in [m], è positiva verso valle con origine in corrispondenza dell'estremo libero della fondazione di monte)

Nr.	Y	B, H	A _{fs}	A _{fi}	N _u	M _u	CS	V _{Rd}	V _{Rcd}	V _{Rsd}
1	0.00	1.00, 0.600	0.0010050	0.001272	0.00	0.00	1000.00	219.33	--	--
2	0.28	1.00, 0.600	0.0010050	0.001272	0.00	-211.17	67.10	219.33	--	--
3	0.57	1.00, 0.600	0.0010050	0.001272	0.00	-211.17	18.17	219.33	--	--
4	0.85	1.00, 0.600	0.0010050	0.001272	0.00	-211.17	8.81	219.33	--	--
5	1.14	1.00, 0.600	0.0010050	0.001272	0.00	-211.17	5.45	219.33	--	--
6	1.42	1.00, 0.600	0.0010050	0.001272	0.00	-211.17	3.87	219.33	--	--
7	1.71	1.00, 0.600	0.0010050	0.001272	0.00	-211.17	3.03	219.33	--	--
8	2.00	1.00, 0.600	0.0010050	0.001272	0.00	-211.17	2.53	219.33	--	--
9	2.28	1.00, 0.600	0.0022780	0.001272	0.00	-470.01	5.00	219.33	--	--
10	2.56	1.00, 0.600	0.0022780	0.001272	0.00	-470.01	4.68	199.57	--	--
11	2.85	1.00, 0.600	0.0022780	0.001272	0.00	-470.01	4.62	199.57	--	--

COMBINAZIONE n° 7

Valore della spinta statica	215.5011	[kN]		
Componente orizzontale della spinta statica	183.6963	[kN]		
Componente verticale della spinta statica	112.6782	[kN]		
Punto d'applicazione della spinta	X = 2.85	[m]	Y = -3.25	[m]
Inclinaz. della spinta rispetto alla normale alla superficie	31.52	[°]		
Inclinazione linea di rottura in condizioni statiche	49.26	[°]		

Peso terrapieno gravante sulla fondazione a monte	241.2349	[kN]		
Baricentro terrapieno gravante sulla fondazione a monte	X = 1.47	[m]	Y = -2.37	[m]
Numero contrafforti	8			
Peso del singolo contrafforte	11.8125	[kN]		
Peso del contrafforte riferito ad un metro di muro	9.8438	[kN]		
Baricentro contrafforte	X = 0.30	[m]	Y = -3.02	[m]

Risultanti carichi esterni

Componente dir. X	4.50	[kN]		
-------------------	------	------	--	--

Risultanti

Risultante dei carichi applicati in dir. orizzontale	188.1963	[kN]		
Risultante dei carichi applicati in dir. verticale	432.8768	[kN]		
Resistenza passiva a valle del muro	-19.5133	[kN]		
Momento ribaltante rispetto allo spigolo a valle	466.4317	[kNm]		
Momento stabilizzante rispetto allo spigolo a valle	1007.9952	[kNm]		
Sforzo normale sul piano di posa della fondazione	432.8768	[kN]		
Sforzo tangenziale sul piano di posa della fondazione	188.1963	[kN]		
Eccentricità rispetto al baricentro della fondazione	0.50	[m]		
Lunghezza fondazione reagente	3.50	[m]		
Risultante in fondazione	472.0172	[kN]		
Inclinazione della risultante (rispetto alla normale)	23.50	[°]		
Momento rispetto al baricentro della fondazione	215.9710	[kNm]		

COEFFICIENTI DI SICUREZZA

Coefficiente di sicurezza a ribaltamento	2.16			
--	------	--	--	--

Stabilità globale muro + terrenoCombinazione n° 8

Le ascisse X sono considerate positive verso monte

Le ordinate Y sono considerate positive verso l'alto

Origine in testa al muro (spigolo contro terra)

W	peso della striscia espresso in [kN]
α	angolo fra la base della striscia e l'orizzontale espresso in [°] (positivo antiorario)
ϕ	angolo d'attrito del terreno lungo la base della striscia
c	coesione del terreno lungo la base della striscia espressa in [MPa]
b	larghezza della striscia espressa in [m]
u	pressione neutra lungo la base della striscia espressa in [MPa]

Metodo di Bishop

PV_D_SR_AP_MU_3_C_016-_001_N_001_R_A_0

Muro prefabbricato – MU.3C.016.N – Relazione di Calcolo

Numero di cerchi analizzati 36
 Numero di strisce 25

Cerchio critico

Coordinate del centro X[m]= -0.48 Y[m]= 4.29
 Raggio del cerchio R[m]= 10.43
 Ascissa a valle del cerchio Xi[m]= -6.27
 Ascissa a monte del cerchio Xs[m]= 9.94
 Larghezza della striscia dx[m]= 0.65
 Coefficiente di sicurezza C= 1.55
 Le strisce sono numerate da monte verso valle

Caratteristiche delle strisce

Striscia	W	$\alpha(^{\circ})$	$W\sin\alpha$	$b/\cos\alpha$	ϕ	c	u
1	3371.11	78.19	3299.78	3.17	32.01	0.000	0.000
2	5691.75	65.21	5167.14	1.55	32.01	0.000	0.000
3	6699.27	57.63	5658.24	1.21	32.01	0.000	0.000
4	7345.81	51.44	5744.44	1.04	32.01	0.000	0.000
5	7777.70	46.02	5596.81	0.93	32.01	0.000	0.000
6	8057.89	41.09	5296.32	0.86	32.01	0.000	0.000
7	8220.71	36.51	4891.46	0.81	32.01	0.000	0.000
8	8287.33	32.19	4415.31	0.77	32.01	0.000	0.000
9	8271.84	28.07	3892.39	0.73	32.01	0.000	0.000
10	8184.08	24.10	3341.98	0.71	32.01	0.000	0.000
11	8047.59	20.25	2785.69	0.69	32.01	0.000	0.000
12	8076.13	16.50	2293.29	0.68	32.01	0.000	0.000
13	7807.12	12.81	1731.38	0.66	32.01	0.000	0.000
14	7618.98	9.18	1215.87	0.66	32.01	0.000	0.000
15	7707.06	5.59	750.67	0.65	32.01	0.000	0.000
16	5904.23	2.02	207.93	0.65	32.01	0.000	0.000
17	2209.24	-1.55	-59.57	0.65	32.01	0.000	0.000
18	2076.93	-5.11	-185.15	0.65	32.01	0.000	0.000
19	1980.72	-8.70	-299.75	0.66	32.01	0.000	0.000
20	1833.33	-12.33	-391.45	0.66	32.01	0.000	0.000
21	1632.91	-16.00	-450.20	0.67	32.01	0.000	0.000
22	1376.78	-19.75	-465.21	0.69	32.01	0.000	0.000
23	1061.27	-23.58	-424.61	0.71	32.01	0.000	0.000
24	681.38	-27.54	-315.01	0.73	32.01	0.000	0.000
25	230.30	-31.64	-120.80	0.76	32.01	0.000	0.000

$\Sigma W_i = 1276.3705$ [kN]

$\Sigma W_i \sin\alpha_i = 525.4186$ [kN]

$\Sigma W_i \tan\phi_i = 797.7679$ [kN]

$\Sigma \tan\alpha_i \tan\phi_i = 7.82$

COMBINAZIONE n° 9

Valore della spinta statica	147.7169	[kN]		
Componente orizzontale della spinta statica	117.0892	[kN]		
Componente verticale della spinta statica	90.0579	[kN]		
Punto d'applicazione della spinta	X = 2.85	[m]	Y = -3.37	[m]
Inclinaz. della spinta rispetto alla normale alla superficie	37.57	[°]		
Inclinazione linea di rottura in condizioni statiche	53.15	[°]		
Incremento sismico della spinta	77.2900	[kN]		
Punto d'applicazione dell'incremento sismico di spinta	X = 2.85	[m]	Y = -3.37	[m]
Inclinazione linea di rottura in condizioni sismiche	48.28	[°]		
Peso terrapieno gravante sulla fondazione a monte	268.0388	[kN]		
Baricentro terrapieno gravante sulla fondazione a monte	X = 1.47	[m]	Y = -2.37	[m]
Numero contrafforti	8			

PV_D_SR_AP_MU_3_C_016-_001_N_001_R_A_0

Muro prefabbricato – MU.3C.016.N – Relazione di Calcolo

Peso del singolo contrafforte	13.1250	[kN]	
Peso del contrafforte riferito ad un metro di muro	10.9375	[kN]	
Baricentro contrafforte	X = 0.30	[m]	Y = -3.02 [m]
Inerzia del muro	7.9270	[kN]	
Inerzia verticale del muro	3.9635	[kN]	
Inerzia del terrapieno fondazione di monte	29.8209	[kN]	
Inerzia verticale del terrapieno fondazione di monte	14.9105	[kN]	
Inerzia del singolo contrafforte	1.4602	[kN]	
Inerzia del contrafforte riferita ad un metro di muro	1.2169	[kN]	
Inerzia verticale del singolo contrafforte	0.7301	[kN]	
Inerzia verticale del contrafforte riferita ad un metro di muro	0.6084	[kN]	

Risultanti

Risultante dei carichi applicati in dir. orizzontale	217.9360	[kN]
Risultante dei carichi applicati in dir. verticale	512.4376	[kN]
Resistenza passiva a valle del muro	-27.9969	[kN]
Sforzo normale sul piano di posa della fondazione	512.4376	[kN]
Sforzo tangenziale sul piano di posa della fondazione	217.9360	[kN]
Eccentricità rispetto al baricentro della fondazione	0.40	[m]
Lunghezza fondazione reagente	3.50	[m]
Risultante in fondazione	556.8558	[kN]
Inclinazione della risultante (rispetto alla normale)	23.04	[°]
Momento rispetto al baricentro della fondazione	202.5530	[kNm]
Carico ultimo della fondazione	2722.7739	[kN]

Tensioni sul terreno

Lunghezza fondazione reagente	3.50	[m]
Tensione terreno allo spigolo di valle	0.24562	[MPa]
Tensione terreno allo spigolo di monte	0.04720	[MPa]

Fattori per il calcolo della capacità portante

Coeff. capacità portante	$N_c = 61.35$	$N_q = 48.93$	$N_\gamma = 78.02$
Fattori forma	$s_c = 1.00$	$s_q = 1.00$	$s_\gamma = 1.00$
Fattori inclinazione	$i_c = 0.37$	$i_q = 0.38$	$i_\gamma = 0.22$
Fattori profondità	$d_c = 1.14$	$d_q = 1.08$	$d_\gamma = 1.00$
Fattori inclinazione piano posa	$b_c = 1.00$	$b_q = 1.00$	$b_\gamma = 1.00$
Fattori inclinazione pendio	$g_c = 1.00$	$g_q = 1.00$	$g_\gamma = 1.00$

I coefficienti N' tengono conto dei fattori di forma, profondità, inclinazione carico, inclinazione piano di posa, inclinazione pendio.

$$N'_c = 34.87$$

$$N'_q = 26.94$$

$$N'_\gamma = 26.99$$

COEFFICIENTI DI SICUREZZA

Coefficiente di sicurezza a scorrimento	1.97
Coefficiente di sicurezza a carico ultimo	5.31

Sollecitazioni fondazione di valleCombinazione n° 9

L'ascissa X(espressa in m) è considerata positiva verso monte con origine in corrispondenza dell'estremo libero della fondazione di valle

Momento positivo se tende le fibre inferiori, espresso in kNm

Taglio positivo se diretto verso l'alto, espresso in kN

Nr.	X	M	T
1	0.00	0.0000	0.0000
2	0.05	0.2732	10.9052
3	0.10	1.0882	21.6686
4	0.15	2.4377	32.2903
5	0.20	4.3148	42.7703
6	0.25	6.7124	53.1085
7	0.30	9.6233	63.3050
8	0.35	13.0405	73.3598
9	0.40	16.9569	83.2729
10	0.45	21.3654	93.0442
11	0.50	26.2590	102.6738

Sollecitazioni fondazione di monte

PV_D_SR_AP_MU_3_C_016-_001_N_001_R_A_0

Muro prefabbricato – MU.3C.016.N – Relazione di CalcoloCombinazione n° 9

L'ascissa X(espressa in m) è considerata positiva verso valle con origine in corrispondenza dell'estremo libero della fondazione di monte

Momento positivo se tende le fibre inferiori, espresso in kNm

Taglio positivo se diretto verso l'alto, espresso in kN

Nr.	X	M	T
1	0.00	0.0000	0.0000
2	0.28	-2.8646	-19.1841
3	0.57	-10.4117	-32.8605
4	0.85	-21.0718	-41.0291
5	1.14	-33.2751	-43.6899
6	1.42	-45.4518	-40.8429
7	1.71	-56.0494	-32.7332
8	2.00	-63.6715	-19.9876
9	2.28	-67.0049	-2.6372
10	2.56	-64.7373	19.3179
11	2.85	-55.5562	45.8778

Armature e tensioni nei materiali della fondazioneCombinazione n° 9

Simbologia adottata

B	base della sezione espressa in [m]
H	altezza della sezione espressa in [m]
A _{fi}	area di armatura in corrispondenza del lembo inferiore in [mq]
A _{fs}	area di armatura in corrispondenza del lembo superiore in [mq]
N _u	sfuerzo normale ultimo espresso in [kN]
M _u	momento ultimo espresso in [kNm]
CS	coefficiente sicurezza sezione
VRcd	Aliquota di taglio assorbito dal cls, espresso in [kN]
VRsd	Aliquota di taglio assorbito dall'armatura, espresso in [kN]
VRd	Resistenza al taglio, espresso in [kN]

Fondazione di valle

(L'ascissa X, espressa in [m], è positiva verso monte con origine in corrispondenza dell'estremo libero della fondazione di valle)

Nr.	Y	B, H	A _{fs}	A _{fi}	N _u	M _u	CS	V _{Rd}	V _{Rcd}	V _{Rsd}
1	0.00	1.00, 0.600	0.0010050	0.001272	0.00	0.00	1000.00	199.57	--	--
2	0.05	1.00, 0.600	0.0010050	0.000000	0.00	2.03	7.44	199.57	--	--
3	0.10	1.00, 0.600	0.0022780	0.001272	0.00	265.72	244.19	199.57	--	--
4	0.15	1.00, 0.600	0.0022780	0.001272	0.00	265.72	109.00	199.57	--	--
5	0.20	1.00, 0.600	0.0022780	0.001272	0.00	265.72	61.58	199.57	--	--
6	0.25	1.00, 0.600	0.0022780	0.001272	0.00	265.72	39.59	199.57	--	--
7	0.30	1.00, 0.600	0.0022780	0.001272	0.00	265.72	27.61	199.57	--	--
8	0.35	1.00, 0.600	0.0022780	0.001272	0.00	265.72	20.38	199.57	--	--
9	0.40	1.00, 0.600	0.0022780	0.001272	0.00	265.72	15.67	199.57	--	--
10	0.45	1.00, 0.600	0.0022780	0.001272	0.00	265.72	12.44	199.57	--	--
11	0.50	1.00, 0.600	0.0022780	0.001272	0.00	265.72	10.12	199.57	--	--

Fondazione di monte

(L'ascissa X, espressa in [m], è positiva verso valle con origine in corrispondenza dell'estremo libero della fondazione di monte)

Nr.	Y	B, H	A _{fs}	A _{fi}	N _u	M _u	CS	V _{Rd}	V _{Rcd}	V _{Rsd}
1	0.00	1.00, 0.600	0.0010050	0.001272	0.00	0.00	1000.00	219.33	--	--
2	0.28	1.00, 0.600	0.0010050	0.001272	0.00	-211.17	73.72	219.33	--	--
3	0.57	1.00, 0.600	0.0010050	0.001272	0.00	-211.17	20.28	219.33	--	--
4	0.85	1.00, 0.600	0.0010050	0.001272	0.00	-211.17	10.02	219.33	--	--
5	1.14	1.00, 0.600	0.0010050	0.001272	0.00	-211.17	6.35	219.33	--	--
6	1.42	1.00, 0.600	0.0010050	0.001272	0.00	-211.17	4.65	219.33	--	--
7	1.71	1.00, 0.600	0.0010050	0.001272	0.00	-211.17	3.77	219.33	--	--
8	2.00	1.00, 0.600	0.0010050	0.001272	0.00	-211.17	3.32	219.33	--	--
9	2.28	1.00, 0.600	0.0022780	0.001272	0.00	-470.01	7.01	219.33	--	--
10	2.56	1.00, 0.600	0.0022780	0.001272	0.00	-470.01	7.26	199.57	--	--
11	2.85	1.00, 0.600	0.0022780	0.001272	0.00	-470.01	8.46	199.57	--	--

COMBINAZIONE n° 10

PV_D_SR_AP_MU_3_C_016-_001_N_001_R_A_0

Muro prefabbricato – MU.3C.016.N – Relazione di Calcolo

Valore della spinta statica	147.7169	[kN]		
Componente orizzontale della spinta statica	117.0892	[kN]		
Componente verticale della spinta statica	90.0579	[kN]		
Punto d'applicazione della spinta	X = 2.85	[m]	Y = -3.37	[m]
Inclinaz. della spinta rispetto alla normale alla superficie	37.57	[°]		
Inclinazione linea di rottura in condizioni statiche	53.15	[°]		
Incremento sismico della spinta	62.1413	[kN]		
Punto d'applicazione dell'incremento sismico di spinta	X = 2.85	[m]	Y = -3.37	[m]
Inclinazione linea di rottura in condizioni sismiche	47.65	[°]		
Peso terrapieno gravante sulla fondazione a monte	268.0388	[kN]		
Baricentro terrapieno gravante sulla fondazione a monte	X = 1.47	[m]	Y = -2.37	[m]
Numero contrafforti	8			
Peso del singolo contrafforte	13.1250	[kN]		
Peso del contrafforte riferito ad un metro di muro	10.9375	[kN]		
Baricentro contrafforte	X = 0.30	[m]	Y = -3.02	[m]
Inerzia del muro	7.9270	[kN]		
Inerzia verticale del muro	-3.9635	[kN]		
Inerzia del terrapieno fondazione di monte	29.8209	[kN]		
Inerzia verticale del terrapieno fondazione di monte	-14.9105	[kN]		
Inerzia del singolo contrafforte	1.4602	[kN]		
Inerzia del contrafforte riferita ad un metro di muro	1.2169	[kN]		
Inerzia verticale del singolo contrafforte	-0.7301	[kN]		
Inerzia verticale del contrafforte riferita ad un metro di muro	-0.6084	[kN]		

Risultanti

Risultante dei carichi applicati in dir. orizzontale	205.9283	[kN]
Risultante dei carichi applicati in dir. verticale	464.2372	[kN]
Resistenza passiva a valle del muro	-27.9969	[kN]
Sforzo normale sul piano di posa della fondazione	464.2372	[kN]
Sforzo tangenziale sul piano di posa della fondazione	205.9283	[kN]
Eccentricità rispetto al baricentro della fondazione	0.43	[m]
Lunghezza fondazione reagente	3.50	[m]
Risultante in fondazione	507.8608	[kN]
Inclinazione della risultante (rispetto alla normale)	23.92	[°]
Momento rispetto al baricentro della fondazione	199.4708	[kNm]
Carico ultimo della fondazione	2464.8147	[kN]

Tensioni sul terreno

Lunghezza fondazione reagente	3.50	[m]
Tensione terreno allo spigolo di valle	0.23034	[MPa]
Tensione terreno allo spigolo di monte	0.03494	[MPa]

Fattori per il calcolo della capacità portante

Coeff. capacità portante	$N_c = 61.35$	$N_q = 48.93$	$N_\gamma = 78.02$
Fattori forma	$s_c = 1.00$	$s_q = 1.00$	$s_\gamma = 1.00$
Fattori inclinazione	$i_c = 0.35$	$i_q = 0.36$	$i_\gamma = 0.20$
Fattori profondità	$d_c = 1.14$	$d_q = 1.08$	$d_\gamma = 1.00$
Fattori inclinazione piano posa	$b_c = 1.00$	$b_q = 1.00$	$b_\gamma = 1.00$
Fattori inclinazione pendio	$g_c = 1.00$	$g_q = 1.00$	$g_\gamma = 1.00$

I coefficienti N' tengono conto dei fattori di forma, profondità, inclinazione carico, inclinazione piano di posa, inclinazione pendio.

$$N'_c = 34.87 \quad N'_q = 26.94 \quad N'_\gamma = 26.99$$

COEFFICIENTI DI SICUREZZA

Coefficiente di sicurezza a scorrimento	1.90
Coefficiente di sicurezza a carico ultimo	5.31

Sollecitazioni fondazione di valleCombinazione n° 10

L'ascissa X(espressa in m) è considerata positiva verso monte con origine in corrispondenza dell'estremo libero della fondazione di valle

PV_D_SR_AP_MU_3_C_016-_001_N_001_R_A_0

Muro prefabbricato – MU.3C.016.N – Relazione di Calcolo

Momento positivo se tende le fibre inferiori, espresso in kNm

Taglio positivo se diretto verso l'alto, espresso in kN

Nr.	X	M	T
1	0.00	0.0000	0.0000
2	0.05	0.2541	10.1422
3	0.10	1.0119	20.1448
4	0.15	2.2663	30.0078
5	0.20	4.0103	39.7313
6	0.25	6.2371	49.3152
7	0.30	8.9395	58.7595
8	0.35	12.1107	68.0642
9	0.40	15.7436	77.2294
10	0.45	19.8313	86.2550
11	0.50	24.3668	95.1410

Sollecitazioni fondazione di monteCombinazione n° 10

L'ascissa X(espressa in m) è considerata positiva verso valle con origine in corrispondenza dell'estremo libero della fondazione di monte

Momento positivo se tende le fibre inferiori, espresso in kNm

Taglio positivo se diretto verso l'alto, espresso in kN

Nr.	X	M	T
1	0.00	0.0000	0.0000
2	0.28	-3.3659	-22.7138
3	0.57	-12.4303	-39.9899
4	0.85	-25.6435	-51.8283
5	1.14	-41.4559	-58.2290
6	1.42	-58.3175	-59.1919
7	1.71	-74.6958	-54.9623
8	2.00	-89.2144	-46.1668
9	2.28	-100.5801	-32.8365
10	2.56	-107.5005	-14.9716
11	2.85	-108.6831	7.4280

Armature e tensioni nei materiali della fondazioneCombinazione n° 10

Simbologia adottata

B	base della sezione espressa in [m]
H	altezza della sezione espressa in [m]
A _{fi}	area di armatura in corrispondenza del lembo inferiore in [mq]
A _{fs}	area di armatura in corrispondenza del lembo superiore in [mq]
N _u	sforzo normale ultimo espresso in [kN]
M _u	momento ultimo espresso in [kNm]
CS	coefficiente sicurezza sezione
VR _{cd}	Aliquota di taglio assorbito dal cls, espresso in [kN]
VR _{sd}	Aliquota di taglio assorbito dall'armatura, espresso in [kN]
VR _d	Resistenza al taglio, espresso in [kN]

Fondazione di valle

(L'ascissa X, espressa in [m], è positiva verso monte con origine in corrispondenza dell'estremo libero della fondazione di valle)

Nr.	Y	B, H	A _{fs}	A _{fi}	N _u	M _u	CS	V _{Rd}	V _{Rcd}	V _{Rsd}
1	0.00	1.00, 0.600	0.0010050	0.001272	0.00	0.00	1000.00	199.57	--	--
2	0.05	1.00, 0.600	0.0010050	0.000000	0.00	2.03	7.99	199.57	--	--
3	0.10	1.00, 0.600	0.0022780	0.001272	0.00	265.72	262.60	199.57	--	--
4	0.15	1.00, 0.600	0.0022780	0.001272	0.00	265.72	117.25	199.57	--	--
5	0.20	1.00, 0.600	0.0022780	0.001272	0.00	265.72	66.26	199.57	--	--
6	0.25	1.00, 0.600	0.0022780	0.001272	0.00	265.72	42.60	199.57	--	--
7	0.30	1.00, 0.600	0.0022780	0.001272	0.00	265.72	29.72	199.57	--	--
8	0.35	1.00, 0.600	0.0022780	0.001272	0.00	265.72	21.94	199.57	--	--
9	0.40	1.00, 0.600	0.0022780	0.001272	0.00	265.72	16.88	199.57	--	--
10	0.45	1.00, 0.600	0.0022780	0.001272	0.00	265.72	13.40	199.57	--	--
11	0.50	1.00, 0.600	0.0022780	0.001272	0.00	265.72	10.91	199.57	--	--

Fondazione di monte

(L'ascissa X, espressa in [m], è positiva verso valle con origine in corrispondenza dell'estremo libero della fondazione di monte)

PV_D_SR_AP_MU_3_C_016-_001_N_001_R_A_0

Muro prefabbricato – MU.3C.016.N – Relazione di Calcolo

Nr.	Y	B, H	A _{fs}	A _{fi}	N _u	M _u	CS	V _{Rd}	V _{Rcd}	V _{Rsd}
1	0.00	1.00, 0.600	0.0010050	0.001272	0.00	0.00	1000.00	219.33	--	--
2	0.28	1.00, 0.600	0.0010050	0.001272	0.00	-211.17	62.74	219.33	--	--
3	0.57	1.00, 0.600	0.0010050	0.001272	0.00	-211.17	16.99	219.33	--	--
4	0.85	1.00, 0.600	0.0010050	0.001272	0.00	-211.17	8.23	219.33	--	--
5	1.14	1.00, 0.600	0.0010050	0.001272	0.00	-211.17	5.09	219.33	--	--
6	1.42	1.00, 0.600	0.0010050	0.001272	0.00	-211.17	3.62	219.33	--	--
7	1.71	1.00, 0.600	0.0010050	0.001272	0.00	-211.17	2.83	219.33	--	--
8	2.00	1.00, 0.600	0.0010050	0.001272	0.00	-211.17	2.37	219.33	--	--
9	2.28	1.00, 0.600	0.0022780	0.001272	0.00	-470.01	4.67	219.33	--	--
10	2.56	1.00, 0.600	0.0022780	0.001272	0.00	-470.01	4.37	199.57	--	--
11	2.85	1.00, 0.600	0.0022780	0.001272	0.00	-470.01	4.32	199.57	--	--

COMBINAZIONE n° 11

Valore della spinta statica	195.9101	[kN]		
Componente orizzontale della spinta statica	166.9967	[kN]		
Componente verticale della spinta statica	102.4347	[kN]		
Punto d'applicazione della spinta	X = 2.85	[m]	Y = -3.25	[m]
Inclinaz. della spinta rispetto alla normale alla superficie	31.52	[°]		
Inclinazione linea di rottura in condizioni statiche	49.26	[°]		
Incremento sismico della spinta	88.7109	[kN]		
Punto d'applicazione dell'incremento sismico di spinta	X = 2.85	[m]	Y = -3.25	[m]
Inclinazione linea di rottura in condizioni sismiche	44.01	[°]		
Peso terrapieno gravante sulla fondazione a monte	268.0388	[kN]		
Baricentro terrapieno gravante sulla fondazione a monte	X = 1.47	[m]	Y = -2.37	[m]
Numero contrafforti	8			
Peso del singolo contrafforte	13.1250	[kN]		
Peso del contrafforte riferito ad un metro di muro	10.9375	[kN]		
Baricentro contrafforte	X = 0.30	[m]	Y = -3.02	[m]
Inerzia del muro	7.9270	[kN]		
Inerzia verticale del muro	3.9635	[kN]		
Inerzia del terrapieno fondazione di monte	29.8209	[kN]		
Inerzia verticale del terrapieno fondazione di monte	14.9105	[kN]		
Inerzia del singolo contrafforte	1.4602	[kN]		
Inerzia del contrafforte riferita ad un metro di muro	1.2169	[kN]		
Inerzia verticale del singolo contrafforte	0.7301	[kN]		
Inerzia verticale del contrafforte riferita ad un metro di muro	0.6084	[kN]		

Risultanti

Risultante dei carichi applicati in dir. orizzontale	282.1974	[kN]
Risultante dei carichi applicati in dir. verticale	524.0772	[kN]
Resistenza passiva a valle del muro	-21.6814	[kN]
Sforzo normale sul piano di posa della fondazione	524.0772	[kN]
Sforzo tangenziale sul piano di posa della fondazione	282.1974	[kN]
Eccentricità rispetto al baricentro della fondazione	0.68	[m]
Lunghezza fondazione reagente	3.21	[m]
Risultante in fondazione	595.2246	[kN]
Inclinazione della risultante (rispetto alla normale)	28.30	[°]
Momento rispetto al baricentro della fondazione	355.6310	[kNm]
Carico ultimo della fondazione	569.9424	[kN]

Tensioni sul terreno

Lunghezza fondazione reagente	3.21	[m]
Tensione terreno allo spigolo di valle	0.32610	[MPa]
Tensione terreno allo spigolo di monte	0.00000	[MPa]

Fattori per il calcolo della capacità portante

Coeff. capacità portante	N _c = 61.35	N _q = 48.93	N _γ = 78.02
Fattori forma	s _c = 1.00	s _q = 1.00	s _γ = 1.00
Fattori inclinazione	i _c = 0.23	i _q = 0.26	i _γ = 0.12
PV_D_SR_AP_MU_3_C_016-_001_N_001_R_A_0			

Muro prefabbricato – MU.3C.016.N – Relazione di Calcolo

Fattori profondità	$d_c = 1.14$	$d_q = 1.09$	$d_\gamma = 1.00$
Fattori inclinazione piano posa	$b_c = 1.00$	$b_q = 1.00$	$b_\gamma = 1.00$
Fattori inclinazione pendio	$g_c = 1.00$	$g_q = 1.00$	$g_\gamma = 1.00$

I coefficienti N' tengono conto dei fattori di forma, profondità, inclinazione carico, inclinazione piano di posa, inclinazione pendio.

$$N'_c = 34.87 \qquad N'_q = 26.94 \qquad N'_\gamma = 26.99$$

COEFFICIENTI DI SICUREZZA

Coefficiente di sicurezza a scorrimento 1.24

Coefficiente di sicurezza a carico ultimo 1.09

Sollecitazioni fondazione di valleCombinazione n° 11

L'ascissa X(espressa in m) è considerata positiva verso monte con origine in corrispondenza dell'estremo libero della fondazione di valle

Momento positivo se tende le fibre inferiori, espresso in kNm

Taglio positivo se diretto verso l'alto, espresso in kN

Nr.	X	M	T
1	0.00	0.0000	0.0000
2	0.05	0.3729	14.8730
3	0.10	1.4831	29.4924
4	0.15	3.3179	43.8581
5	0.20	5.8647	57.9703
6	0.25	9.1107	71.8287
7	0.30	13.0433	85.4336
8	0.35	17.6498	98.7848
9	0.40	22.9176	111.8824
10	0.45	28.8338	124.7263
11	0.50	35.3860	137.3166

Sollecitazioni fondazione di monteCombinazione n° 11

L'ascissa X(espressa in m) è considerata positiva verso valle con origine in corrispondenza dell'estremo libero della fondazione di monte

Momento positivo se tende le fibre inferiori, espresso in kNm

Taglio positivo se diretto verso l'alto, espresso in kN

Nr.	X	M	T
1	0.00	0.0000	0.0000
2	0.28	-5.0002	-34.9388
3	0.57	-19.4410	-64.8761
4	0.85	-41.1110	-85.6699
5	1.14	-67.4042	-97.3200
6	1.42	-95.7147	-99.8265
7	1.71	-123.4538	-93.4346
8	2.00	-148.1888	-78.7708
9	2.28	-167.5703	-55.8664
10	2.56	-179.2498	-24.7215
11	2.85	-180.8787	14.6640

Armature e tensioni nei materiali della fondazioneCombinazione n° 11

Simbologia adottata

B	base della sezione espressa in [m]
H	altezza della sezione espressa in [m]
A_{fi}	area di armatura in corrispondenza del lembo inferiore in [mq]
A_{fs}	area di armatura in corrispondenza del lembo superiore in [mq]
N_u	sfuerzo normale ultimo espresso in [kN]
M_u	momento ultimo espresso in [kNm]
CS	coefficiente sicurezza sezione
V_{Rcd}	Aliquota di taglio assorbito dal cls, espresso in [kN]
V_{Rsd}	Aliquota di taglio assorbito dall'armatura, espresso in [kN]
V_{Rd}	Resistenza al taglio, espresso in [kN]

Fondazione di valle

(L'ascissa X, espressa in [m], è positiva verso monte con origine in corrispondenza dell'estremo libero della fondazione di valle)

Nr.	Y	B, H	A_{fs}	A_{fi}	N_u	M_u	CS	V_{Rd}	V_{Rcd}	V_{Rsd}
1	0.00	1.00, 0.600	0.0010050	0.001272	0.00	0.00	1000.00	199.57	--	--

PV_D_SR_AP_MU_3_C_016-_001_N_001_R_A_0

Muro prefabbricato – MU.3C.016.N – Relazione di Calcolo

2	0.05	1.00, 0.600.0010050.000000	0.00	2.03	5.45	199.57	--	--
3	0.10	1.00, 0.600.0022780.001272	0.00	265.72	179.17	199.57	--	--
4	0.15	1.00, 0.600.0022780.001272	0.00	265.72	80.09	199.57	--	--
5	0.20	1.00, 0.600.0022780.001272	0.00	265.72	45.31	199.57	--	--
6	0.25	1.00, 0.600.0022780.001272	0.00	265.72	29.17	199.57	--	--
7	0.30	1.00, 0.600.0022780.001272	0.00	265.72	20.37	199.57	--	--
8	0.35	1.00, 0.600.0022780.001272	0.00	265.72	15.06	199.57	--	--
9	0.40	1.00, 0.600.0022780.001272	0.00	265.72	11.59	199.57	--	--
10	0.45	1.00, 0.600.0022780.001272	0.00	265.72	9.22	199.57	--	--
11	0.50	1.00, 0.600.0022780.001272	0.00	265.72	7.51	199.57	--	--

Fondazione di monte

(L'ascissa X, espressa in [m], è positiva verso valle con origine in corrispondenza dell'estremo libero della fondazione di monte)

Nr.	Y	B, H	A _{fs}	A _{fi}	N _u	M _u	CS	V _{Rd}	V _{Rcd}	V _{Rsd}
1	0.00	1.00, 0.600.0010050.001272	0.00	0.00	1000.00	219.33	--	--	--	--
2	0.28	1.00, 0.600.0010050.001272	0.00	-211.17	42.23	219.33	--	--	--	--
3	0.57	1.00, 0.600.0010050.001272	0.00	-211.17	10.86	219.33	--	--	--	--
4	0.85	1.00, 0.600.0010050.001272	0.00	-211.17	5.14	219.33	--	--	--	--
5	1.14	1.00, 0.600.0010050.001272	0.00	-211.17	3.13	219.33	--	--	--	--
6	1.42	1.00, 0.600.0010050.001272	0.00	-211.17	2.21	219.33	--	--	--	--
7	1.71	1.00, 0.600.0010050.001272	0.00	-211.17	1.71	219.33	--	--	--	--
8	2.00	1.00, 0.600.0010050.001272	0.00	-211.17	1.42	219.33	--	--	--	--
9	2.28	1.00, 0.600.0022780.001272	0.00	-470.01	2.80	219.33	--	--	--	--
10	2.56	1.00, 0.600.0022780.001272	0.00	-470.01	2.62	199.57	--	--	--	--
11	2.85	1.00, 0.600.0022780.001272	0.00	-470.01	2.60	199.57	--	--	--	--

COMBINAZIONE n° 12

Valore della spinta statica	195.9101	[kN]								
Componente orizzontale della spinta statica	166.9967	[kN]								
Componente verticale della spinta statica	102.4347	[kN]								
Punto d'applicazione della spinta	X = 2.85	[m]	Y = -3.25	[m]						
Inclinaz. della spinta rispetto alla normale alla superficie	31.52	[°]								
Inclinazione linea di rottura in condizioni statiche	49.26	[°]								
Incremento sismico della spinta	68.2519	[kN]								
Punto d'applicazione dell'incremento sismico di spinta	X = 2.85	[m]	Y = -3.25	[m]						
Inclinazione linea di rottura in condizioni sismiche	43.32	[°]								
Peso terrapieno gravante sulla fondazione a monte	268.0388	[kN]								
Baricentro terrapieno gravante sulla fondazione a monte	X = 1.47	[m]	Y = -2.37	[m]						
Numero contrafforti	8									
Peso del singolo contrafforte	13.1250	[kN]								
Peso del contrafforte riferito ad un metro di muro	10.9375	[kN]								
Baricentro contrafforte	X = 0.30	[m]	Y = -3.02	[m]						
Inerzia del muro	7.9270	[kN]								
Inerzia verticale del muro	-3.9635	[kN]								
Inerzia del terrapieno fondazione di monte	29.8209	[kN]								
Inerzia verticale del terrapieno fondazione di monte	-14.9105	[kN]								
Inerzia del singolo contrafforte	1.4602	[kN]								
Inerzia del contrafforte riferita ad un metro di muro	1.2169	[kN]								
Inerzia verticale del singolo contrafforte	-0.7301	[kN]								
Inerzia verticale del contrafforte riferita ad un metro di muro	-0.6084	[kN]								

Risultanti

Risultante dei carichi applicati in dir. orizzontale	264.7579	[kN]								
Risultante dei carichi applicati in dir. verticale	474.4152	[kN]								
Resistenza passiva a valle del muro	-21.6814	[kN]								
Sforzo normale sul piano di posa della fondazione	474.4152	[kN]								
Sforzo tangenziale sul piano di posa della fondazione	264.7579	[kN]								
Eccentricità rispetto al baricentro della fondazione	0.72	[m]								

PV_D_SR_AP_MU_3_C_016-_001_N_001_R_A_0

Muro prefabbricato – MU.3C.016.N – Relazione di Calcolo

Lunghezza fondazione reagente	3.09	[m]
Risultante in fondazione	543.2923	[kN]
Inclinazione della risultante (rispetto alla normale)	29.16	[°]
Momento rispetto al baricentro della fondazione	340.8284	[kNm]
Carico ultimo della fondazione	499.3668	[kN]

Tensioni sul terreno

Lunghezza fondazione reagente	3.09	[m]
Tensione terreno allo spigolo di valle	0.30659	[MPa]
Tensione terreno allo spigolo di monte	0.00000	[MPa]

Fattori per il calcolo della capacità portante

Coeff. capacità portante	$N_c = 61.35$	$N_q = 48.93$	$N_\gamma = 78.02$
Fattori forma	$s_c = 1.00$	$s_q = 1.00$	$s_\gamma = 1.00$
Fattori inclinazione	$i_c = 0.21$	$i_q = 0.24$	$i_\gamma = 0.11$
Fattori profondità	$d_c = 1.14$	$d_q = 1.09$	$d_\gamma = 1.00$
Fattori inclinazione piano posa	$b_c = 1.00$	$b_q = 1.00$	$b_\gamma = 1.00$
Fattori inclinazione pendio	$g_c = 1.00$	$g_q = 1.00$	$g_\gamma = 1.00$

I coefficienti N' tengono conto dei fattori di forma, profondità, inclinazione carico, inclinazione piano di posa, inclinazione pendio.

$$N'_c = 34.87 \qquad N'_q = 26.94 \qquad N'_\gamma = 26.99$$

COEFFICIENTI DI SICUREZZA

Coefficiente di sicurezza a scorrimento	1.20
Coefficiente di sicurezza a carico ultimo	1.05

Sollecitazioni fondazione di valleCombinazione n° 12

L'ascissa X(espressa in m) è considerata positiva verso monte con origine in corrispondenza dell'estremo libero della fondazione di valle

Momento positivo se tende le fibre inferiori, espresso in kNm

Taglio positivo se diretto verso l'alto, espresso in kN

Nr.	X	M	T
1	0.00	0.0000	0.0000
2	0.05	0.3486	13.9009
3	0.10	1.3860	27.5540
4	0.15	3.0998	40.9596
5	0.20	5.4778	54.1174
6	0.25	8.5074	67.0276
7	0.30	12.1764	79.6901
8	0.35	16.4723	92.1049
9	0.40	21.3828	104.2720
10	0.45	26.8954	116.1915
11	0.50	32.9978	127.8633

Sollecitazioni fondazione di monteCombinazione n° 12

L'ascissa X(espressa in m) è considerata positiva verso valle con origine in corrispondenza dell'estremo libero della fondazione di monte

Momento positivo se tende le fibre inferiori, espresso in kNm

Taglio positivo se diretto verso l'alto, espresso in kN

Nr.	X	M	T
1	0.00	0.0000	0.0000
2	0.28	-5.0002	-34.9388
3	0.57	-19.7555	-67.6302
4	0.85	-42.7279	-92.0879
5	1.14	-71.3954	-107.5957
6	1.42	-103.2072	-114.1536
7	1.71	-135.6299	-112.0067
8	2.00	-166.2858	-101.7816
9	2.28	-192.8809	-83.5097
10	2.56	-213.1219	-57.1908
11	2.85	-224.7152	-22.8250

Armature e tensioni nei materiali della fondazione

PV_D_SR_AP_MU_3_C_016-_001_N_001_R_A_0

Muro prefabbricato – MU.3C.016.N – Relazione di CalcoloCombinazione n° 12

Simbologia adottata

B	base della sezione espressa in [m]
H	altezza della sezione espressa in [m]
A _{fi}	area di armatura in corrispondenza del lembo inferiore in [mq]
A _{fs}	area di armatura in corrispondenza del lembo superiore in [mq]
N _u	sforzo normale ultimo espresso in [kN]
M _u	momento ultimo espresso in [kNm]
CS	coefficiente sicurezza sezione
VRcd	Aliquota di taglio assorbito dal cls, espresso in [kN]
VRsd	Aliquota di taglio assorbito dall'armatura, espresso in [kN]
VRd	Resistenza al taglio, espresso in [kN]

Fondazione di valle

(L'ascissa X, espressa in [m], è positiva verso monte con origine in corrispondenza dell'estremo libero della fondazione di valle)

Nr.	Y	B, H	A _{fs}	A _{fi}	N _u	M _u	CS	V _{Rd}	V _{Rcd}	V _{Rsd}
1	0.00	1.00, 0.600	0.0010050	0.001272	0.00	0.00	1000.00	199.57	--	--
2	0.05	1.00, 0.600	0.0010050	0.000000	0.00	2.03	5.83	199.57	--	--
3	0.10	1.00, 0.600	0.0022780	0.001272	0.00	265.72	191.72	199.57	--	--
4	0.15	1.00, 0.600	0.0022780	0.001272	0.00	265.72	85.72	199.57	--	--
5	0.20	1.00, 0.600	0.0022780	0.001272	0.00	265.72	48.51	199.57	--	--
6	0.25	1.00, 0.600	0.0022780	0.001272	0.00	265.72	31.23	199.57	--	--
7	0.30	1.00, 0.600	0.0022780	0.001272	0.00	265.72	21.82	199.57	--	--
8	0.35	1.00, 0.600	0.0022780	0.001272	0.00	265.72	16.13	199.57	--	--
9	0.40	1.00, 0.600	0.0022780	0.001272	0.00	265.72	12.43	199.57	--	--
10	0.45	1.00, 0.600	0.0022780	0.001272	0.00	265.72	9.88	199.57	--	--
11	0.50	1.00, 0.600	0.0022780	0.001272	0.00	265.72	8.05	199.57	--	--

Fondazione di monte

(L'ascissa X, espressa in [m], è positiva verso valle con origine in corrispondenza dell'estremo libero della fondazione di monte)

Nr.	Y	B, H	A _{fs}	A _{fi}	N _u	M _u	CS	V _{Rd}	V _{Rcd}	V _{Rsd}
1	0.00	1.00, 0.600	0.0010050	0.001272	0.00	0.00	1000.00	219.33	--	--
2	0.28	1.00, 0.600	0.0010050	0.001272	0.00	-211.17	42.23	219.33	--	--
3	0.57	1.00, 0.600	0.0010050	0.001272	0.00	-211.17	10.69	219.33	--	--
4	0.85	1.00, 0.600	0.0010050	0.001272	0.00	-211.17	4.94	219.33	--	--
5	1.14	1.00, 0.600	0.0010050	0.001272	0.00	-211.17	2.96	219.33	--	--
6	1.42	1.00, 0.600	0.0010050	0.001272	0.00	-211.17	2.05	219.33	--	--
7	1.71	1.00, 0.600	0.0010050	0.001272	0.00	-211.17	1.56	219.33	--	--
8	2.00	1.00, 0.600	0.0010050	0.001272	0.00	-211.17	1.27	219.33	--	--
9	2.28	1.00, 0.600	0.0022780	0.001272	0.00	-470.01	2.44	219.33	--	--
10	2.56	1.00, 0.600	0.0022780	0.001272	0.00	-470.01	2.21	199.57	--	--
11	2.85	1.00, 0.600	0.0022780	0.001272	0.00	-470.01	2.09	199.57	--	--

COMBINAZIONE n° 13

Valore della spinta statica	195.9101	[kN]		
Componente orizzontale della spinta statica	166.9967	[kN]		
Componente verticale della spinta statica	102.4347	[kN]		
Punto d'applicazione della spinta	X = 2.85	[m]	Y = -3.25	[m]
Inclinaz. della spinta rispetto alla normale alla superficie	31.52	[°]		
Inclinazione linea di rottura in condizioni statiche	49.26	[°]		
Incremento sismico della spinta	88.7109	[kN]		
Punto d'applicazione dell'incremento sismico di spinta	X = 2.85	[m]	Y = -3.25	[m]
Inclinazione linea di rottura in condizioni sismiche	44.01	[°]		
Peso terrapieno gravante sulla fondazione a monte	268.0388	[kN]		
Baricentro terrapieno gravante sulla fondazione a monte	X = 1.47	[m]	Y = -2.37	[m]
Numero contrafforti	8			
Peso del singolo contrafforte	13.1250	[kN]		
Peso del contrafforte riferito ad un metro di muro	10.9375	[kN]		
Baricentro contrafforte	X = 0.30	[m]	Y = -3.02	[m]

PV_D_SR_AP_MU_3_C_016-_001_N_001_R_A_0

Muro prefabbricato – MU.3C.016.N – Relazione di Calcolo

Inerzia del muro	7.9270	[kN]
Inerzia verticale del muro	3.9635	[kN]
Inerzia del terrapieno fondazione di monte	29.8209	[kN]
Inerzia verticale del terrapieno fondazione di monte	14.9105	[kN]
Inerzia del singolo contrafforte	1.4602	[kN]
Inerzia del contrafforte riferita ad un metro di muro	1.2169	[kN]
Inerzia verticale del singolo contrafforte	0.7301	[kN]
Inerzia verticale del contrafforte riferita ad un metro di muro	0.6084	[kN]

Risultanti

Risultante dei carichi applicati in dir. orizzontale	282.1974	[kN]
Risultante dei carichi applicati in dir. verticale	524.0772	[kN]
Resistenza passiva a valle del muro	-21.6814	[kN]
Momento ribaltante rispetto allo spigolo a valle	679.0127	[kNm]
Momento stabilizzante rispetto allo spigolo a valle	1240.5169	[kNm]
Sforzo normale sul piano di posa della fondazione	524.0772	[kN]
Sforzo tangenziale sul piano di posa della fondazione	282.1974	[kN]
Eccentricità rispetto al baricentro della fondazione	0.68	[m]
Lunghezza fondazione reagente	3.21	[m]
Risultante in fondazione	595.2246	[kN]
Inclinazione della risultante (rispetto alla normale)	28.30	[°]
Momento rispetto al baricentro della fondazione	355.6310	[kNm]

COEFFICIENTI DI SICUREZZA

Coefficiente di sicurezza a ribaltamento 1.83

COMBINAZIONE n° 14

Valore della spinta statica	195.9101	[kN]		
Componente orizzontale della spinta statica	166.9967	[kN]		
Componente verticale della spinta statica	102.4347	[kN]		
Punto d'applicazione della spinta	X = 2.85	[m]	Y = -3.25	[m]
Inclinaz. della spinta rispetto alla normale alla superficie	31.52	[°]		
Inclinazione linea di rottura in condizioni statiche	49.26	[°]		
Incremento sismico della spinta	68.2519	[kN]		
Punto d'applicazione dell'incremento sismico di spinta	X = 2.85	[m]	Y = -3.25	[m]
Inclinazione linea di rottura in condizioni sismiche	43.32	[°]		
Peso terrapieno gravante sulla fondazione a monte	268.0388	[kN]		
Baricentro terrapieno gravante sulla fondazione a monte	X = 1.47	[m]	Y = -2.37	[m]
Numero contrafforti	8			
Peso del singolo contrafforte	13.1250	[kN]		
Peso del contrafforte riferito ad un metro di muro	10.9375	[kN]		
Baricentro contrafforte	X = 0.30	[m]	Y = -3.02	[m]
Inerzia del muro	7.9270	[kN]		
Inerzia verticale del muro	-3.9635	[kN]		
Inerzia del terrapieno fondazione di monte	29.8209	[kN]		
Inerzia verticale del terrapieno fondazione di monte	-14.9105	[kN]		
Inerzia del singolo contrafforte	1.4602	[kN]		
Inerzia del contrafforte riferita ad un metro di muro	1.2169	[kN]		
Inerzia verticale del singolo contrafforte	-0.7301	[kN]		
Inerzia verticale del contrafforte riferita ad un metro di muro	-0.6084	[kN]		

Risultanti

Risultante dei carichi applicati in dir. orizzontale	264.7579	[kN]
Risultante dei carichi applicati in dir. verticale	474.4152	[kN]
Resistenza passiva a valle del muro	-21.6814	[kN]
Momento ribaltante rispetto allo spigolo a valle	675.8282	[kNm]
Momento stabilizzante rispetto allo spigolo a valle	1165.2263	[kNm]
Sforzo normale sul piano di posa della fondazione	474.4152	[kN]
Sforzo tangenziale sul piano di posa della fondazione	264.7579	[kN]

PV_D_SR_AP_MU_3_C_016-_001_N_001_R_A_0

Muro prefabbricato – MU.3C.016.N – Relazione di Calcolo

Eccentricità rispetto al baricentro della fondazione	0.72	[m]
Lunghezza fondazione reagente	3.09	[m]
Risultante in fondazione	543.2923	[kN]
Inclinazione della risultante (rispetto alla normale)	29.16	[°]
Momento rispetto al baricentro della fondazione	340.8284	[kNm]

COEFFICIENTI DI SICUREZZA

Coefficiente di sicurezza a ribaltamento 1.72

Stabilità globale muro + terrenoCombinazione n° 15

Le ascisse X sono considerate positive verso monte

Le ordinate Y sono considerate positive verso l'alto

Origine in testa al muro (spigolo contro terra)

W peso della striscia espresso in [kN]

 α angolo fra la base della striscia e l'orizzontale espresso in [°] (positivo antiorario) ϕ angolo d'attrito del terreno lungo la base della striscia

c coesione del terreno lungo la base della striscia espressa in [MPa]

b larghezza della striscia espressa in [m]

u pressione neutra lungo la base della striscia espressa in [MPa]

Metodo di Bishop

Numero di cerchi analizzati 36

Numero di strisce 25

Cerchio critico

Coordinate del centro X[m]= -0.48 Y[m]= 4.29

Raggio del cerchio R[m]= 10.43

Ascissa a valle del cerchio Xi[m]= -6.27

Ascissa a monte del cerchio Xs[m]= 9.94

Larghezza della striscia dx[m]= 0.65

Coefficiente di sicurezza C= 1.32

Le strisce sono numerate da monte verso valle

Caratteristiche delle strisce

Striscia	W	$\alpha(^{\circ})$	$W\sin\alpha$	$b/\cos\alpha$	ϕ	c	u
1	3371.11	78.19	3299.78	3.17	32.01	0.000	0.000
2	5691.75	65.21	5167.14	1.55	32.01	0.000	0.000
3	6699.27	57.63	5658.24	1.21	32.01	0.000	0.000
4	7345.81	51.44	5744.44	1.04	32.01	0.000	0.000
5	7777.70	46.02	5596.81	0.93	32.01	0.000	0.000
6	8057.89	41.09	5296.32	0.86	32.01	0.000	0.000
7	8220.71	36.51	4891.46	0.81	32.01	0.000	0.000
8	8287.33	32.19	4415.31	0.77	32.01	0.000	0.000
9	8271.84	28.07	3892.39	0.73	32.01	0.000	0.000
10	8184.08	24.10	3341.98	0.71	32.01	0.000	0.000
11	8047.59	20.25	2785.69	0.69	32.01	0.000	0.000
12	8076.13	16.50	2293.29	0.68	32.01	0.000	0.000
13	7807.12	12.81	1731.38	0.66	32.01	0.000	0.000
14	7618.98	9.18	1215.87	0.66	32.01	0.000	0.000
15	7707.06	5.59	750.67	0.65	32.01	0.000	0.000
16	5904.23	2.02	207.93	0.65	32.01	0.000	0.000
17	2209.24	-1.55	-59.57	0.65	32.01	0.000	0.000
18	2076.93	-5.11	-185.15	0.65	32.01	0.000	0.000
19	1980.72	-8.70	-299.75	0.66	32.01	0.000	0.000
20	1833.33	-12.33	-391.45	0.66	32.01	0.000	0.000
21	1632.91	-16.00	-450.20	0.67	32.01	0.000	0.000
22	1376.78	-19.75	-465.21	0.69	32.01	0.000	0.000
23	1061.27	-23.58	-424.61	0.71	32.01	0.000	0.000
24	681.38	-27.54	-315.01	0.73	32.01	0.000	0.000
25	230.30	-31.64	-120.80	0.76	32.01	0.000	0.000

 $\Sigma W_i = 1276.3705$ [kN]

PV_D_SR_AP_MU_3_C_016-_001_N_001_R_A_0

Muro prefabbricato – MU.3C.016.N – Relazione di Calcolo

$$\Sigma W_i \sin \alpha_i = 525.4186 \text{ [kN]}$$

$$\Sigma W_i \tan \phi_i = 797.7679 \text{ [kN]}$$

$$\Sigma \tan \alpha_i \tan \phi_i = 7.82$$

Stabilità globale muro + terrenoCombinazione n° 16

Le ascisse X sono considerate positive verso monte

Le ordinate Y sono considerate positive verso l'alto

Origine in testa al muro (spigolo contro terra)

W peso della striscia espresso in [kN]

 α angolo fra la base della striscia e l'orizzontale espresso in [°] (positivo antiorario) ϕ angolo d'attrito del terreno lungo la base della striscia

c coesione del terreno lungo la base della striscia espressa in [MPa]

b larghezza della striscia espressa in [m]

u pressione neutra lungo la base della striscia espressa in [MPa]

Metodo di Bishop

Numero di cerchi analizzati 36

Numero di strisce 25

Cerchio critico

Coordinate del centro X[m]= -0.48 Y[m]= 4.29

Raggio del cerchio R[m]= 10.43

Ascissa a valle del cerchio Xi[m]= -6.27

Ascissa a monte del cerchio Xs[m]= 9.94

Larghezza della striscia dx[m]= 0.65

Coefficiente di sicurezza C= 1.29

Le strisce sono numerate da monte verso valle

Caratteristiche delle strisce

Striscia	W	α (°)	$W \sin \alpha$	$b / \cos \alpha$	ϕ	c	u
1	3371.11	78.19	3299.78	3.17	32.01	0.000	0.000
2	5691.75	65.21	5167.14	1.55	32.01	0.000	0.000
3	6699.27	57.63	5658.24	1.21	32.01	0.000	0.000
4	7345.81	51.44	5744.44	1.04	32.01	0.000	0.000
5	7777.70	46.02	5596.81	0.93	32.01	0.000	0.000
6	8057.89	41.09	5296.32	0.86	32.01	0.000	0.000
7	8220.71	36.51	4891.46	0.81	32.01	0.000	0.000
8	8287.33	32.19	4415.31	0.77	32.01	0.000	0.000
9	8271.84	28.07	3892.39	0.73	32.01	0.000	0.000
10	8184.08	24.10	3341.98	0.71	32.01	0.000	0.000
11	8047.59	20.25	2785.69	0.69	32.01	0.000	0.000
12	8076.13	16.50	2293.29	0.68	32.01	0.000	0.000
13	7807.12	12.81	1731.38	0.66	32.01	0.000	0.000
14	7618.98	9.18	1215.87	0.66	32.01	0.000	0.000
15	7707.06	5.59	750.67	0.65	32.01	0.000	0.000
16	5904.23	2.02	207.93	0.65	32.01	0.000	0.000
17	2209.24	-1.55	-59.57	0.65	32.01	0.000	0.000
18	2076.93	-5.11	-185.15	0.65	32.01	0.000	0.000
19	1980.72	-8.70	-299.75	0.66	32.01	0.000	0.000
20	1833.33	-12.33	-391.45	0.66	32.01	0.000	0.000
21	1632.91	-16.00	-450.20	0.67	32.01	0.000	0.000
22	1376.78	-19.75	-465.21	0.69	32.01	0.000	0.000
23	1061.27	-23.58	-424.61	0.71	32.01	0.000	0.000
24	681.38	-27.54	-315.01	0.73	32.01	0.000	0.000
25	230.30	-31.64	-120.80	0.76	32.01	0.000	0.000

$$\Sigma W_i = 1276.3705 \text{ [kN]}$$

$$\Sigma W_i \sin \alpha_i = 525.4186 \text{ [kN]}$$

$$\Sigma W_i \tan \phi_i = 797.7679 \text{ [kN]}$$

$$\Sigma \tan \alpha_i \tan \phi_i = 7.82$$

Sollecitazioni fondazione di valleCombinazione n° 17

PV_D_SR_AP_MU_3_C_016-_001_N_001_R_A_0

Muro prefabbricato – MU.3C.016.N – Relazione di Calcolo

L'ascissa X(espressa in m) è considerata positiva verso monte con origine in corrispondenza dell'estremo libero della fondazione di valle

Momento positivo se tende le fibre inferiori, espresso in kNm

Taglio positivo se diretto verso l'alto, espresso in kN

Nr.	X	M	T
1	0.00	0.0000	0.0000
2	0.05	0.1672	6.6793
3	0.10	0.6671	13.3117
4	0.15	1.4976	19.8974
5	0.20	2.6561	26.4362
6	0.25	4.1404	32.9282
7	0.30	5.9481	39.3734
8	0.35	8.0770	45.7717
9	0.40	10.5245	52.1233
10	0.45	13.2885	58.4280
11	0.50	16.3666	64.6859

Sollecitazioni fondazione di monteCombinazione n° 17

L'ascissa X(espressa in m) è considerata positiva verso valle con origine in corrispondenza dell'estremo libero della fondazione di monte

Momento positivo se tende le fibre inferiori, espresso in kNm

Taglio positivo se diretto verso l'alto, espresso in kN

Nr.	X	M	T
1	0.00	0.0000	0.0000
2	0.28	-1.0857	-7.2148
3	0.57	-3.8821	-12.0054
4	0.85	-7.6985	-14.3719
5	1.14	-11.8438	-14.3142
6	1.42	-15.6273	-11.8324
7	1.71	-18.3752	-7.1716
8	2.00	-19.5698	-0.9584
9	2.28	-18.7769	6.7759
10	2.56	-15.5630	16.0314
11	2.85	-9.4946	26.8079

Armature e tensioni nei materiali della fondazioneCombinazione n° 17

Simbologia adottata

B base della sezione espressa in [m]

H altezza della sezione espressa in [m]

A_{fi} area di armatura in corrispondenza del lembo inferiore in [mq]

A_{fs} area di armatura in corrispondenza del lembo superiore in [mq]

σ_c tensione nel calcestruzzo espressa in [MPa]

τ_c tensione tangenziale nel calcestruzzo espressa in [MPa]

σ_{fi} tensione nell'armatura disposta in corrispondenza del lembo inferiore in [MPa]

σ_{fs} tensione nell'armatura disposta in corrispondenza del lembo superiore in [MPa]

Fondazione di valle

(L'ascissa X, espressa in [m], è positiva verso monte con origine in corrispondenza dell'estremo libero della fondazione di valle)

Nr.	X	B, H	A _{fs}	A _{fi}	σ _c	τ _c	σ _{fi}	σ _{fs}
1	0.00	1.00, 0.600	0.0010050	0.001272	0.000	0.000	0.000	0.000
2	0.05	1.00, 0.600	0.0010050	0.000000	0.453	0.014	0.000	5.132
3	0.10	1.00, 0.600	0.0022780	0.001272	0.017	0.028	1.004	-0.159
4	0.15	1.00, 0.600	0.0022780	0.001272	0.037	0.042	2.254	-0.356
5	0.20	1.00, 0.600	0.0022780	0.001272	0.066	0.056	3.998	-0.631
6	0.25	1.00, 0.600	0.0022780	0.001272	0.103	0.069	6.232	-0.984
7	0.30	1.00, 0.600	0.0022780	0.001272	0.147	0.083	8.953	-1.413
8	0.35	1.00, 0.600	0.0022780	0.001272	0.200	0.096	12.157	-1.919
9	0.40	1.00, 0.600	0.0022780	0.001272	0.261	0.110	15.841	-2.501
10	0.45	1.00, 0.600	0.0022780	0.001272	0.329	0.123	20.001	-3.157
11	0.50	1.00, 0.600	0.0022780	0.001272	0.406	0.136	24.634	-3.889

Fondazione di monte

(L'ascissa X, espressa in [m], è positiva verso valle con origine in corrispondenza dell'estremo libero della fondazione di monte)

PV_D_SR_AP_MU_3_C_016-_001_N_001_R_A_0

Muro prefabbricato – MU.3C.016.N – Relazione di Calcolo

Nr.	X	B, H	A _{fs}	A _{fi}	σ _c	τ _c	σ _{fi}	σ _{fs}
1	0.00	1.00, 0.600	0.0010050	0.001272	0.000	0.000	0.000	0.000
2	0.28	1.00, 0.600	0.0010050	0.001272	0.032	-0.015	-0.299	2.061
3	0.57	1.00, 0.600	0.0010050	0.001272	0.114	-0.025	-1.067	7.371
4	0.85	1.00, 0.600	0.0010050	0.001272	0.227	-0.030	-2.117	14.618
5	1.14	1.00, 0.600	0.0010050	0.001272	0.349	-0.030	-3.257	22.489
6	1.42	1.00, 0.600	0.0010050	0.001272	0.461	-0.025	-4.297	29.673
7	1.71	1.00, 0.600	0.0010050	0.001272	0.542	-0.015	-5.052	34.890
8	2.00	1.00, 0.600	0.0010050	0.001272	0.577	-0.002	-5.381	37.159
9	2.28	1.00, 0.600	0.0022780	0.001272	0.405	0.014	-4.493	16.144
10	2.56	1.00, 0.600	0.0022780	0.001272	0.336	0.034	-3.724	13.381
11	2.85	1.00, 0.600	0.0022780	0.001272	0.205	0.056	-2.272	8.163

Verifiche a fessurazioneCombinazione n° 17

L'ordinata Y (espressa in [m]) è considerata positiva verso il basso con origine in testa al muro

A_{fs} area di armatura in corrispondenza del lembo di monte in [mq]A_{fi} area di armatura in corrispondenza del lembo di valle in [mq]M_{pf} Momento di prima fessurazione espressa in [kNm]

M Momento agente nella sezione espressa in [kNm]

ε_m deformazione media espressa in [%]S_m Distanza media tra le fessure espressa in [mm]

w Apertura media della fessura espressa in [mm]

Verifica fessurazione fondazione

N°	Y	A _{fs}	A _{fi}	M _{pf}	M	ε _m	S _m	w
1	-0.65	0.001005	0.001272	-86.03	0.00	0.0000	0.00	0.000
2	-0.60	0.001005	0.000000	80.50	0.17	0.0000	0.00	0.000
3	-0.55	0.002278	0.001272	88.49	0.67	0.0000	0.00	0.000
4	-0.50	0.002278	0.001272	88.49	1.50	0.0000	0.00	0.000
5	-0.45	0.002278	0.001272	88.49	2.66	0.0000	0.00	0.000
6	-0.40	0.002278	0.001272	88.49	4.14	0.0000	0.00	0.000
7	-0.35	0.002278	0.001272	88.49	5.95	0.0000	0.00	0.000
8	-0.30	0.002278	0.001272	88.49	8.08	0.0000	0.00	0.000
9	-0.25	0.002278	0.001272	88.49	10.52	0.0000	0.00	0.000
10	-0.20	0.002278	0.001272	88.49	13.29	0.0000	0.00	0.000
11	-0.15	0.002278	0.001272	88.49	16.37	0.0000	0.00	0.000
12	0.00	0.002278	0.001272	-92.64	-9.49	0.0000	0.00	0.000
13	0.29	0.002278	0.001272	-92.64	-15.56	0.0000	0.00	0.000
14	0.57	0.002278	0.001272	-92.64	-18.78	0.0000	0.00	0.000
15	0.86	0.001005	0.001272	-86.03	-19.57	0.0000	0.00	0.000
16	1.14	0.001005	0.001272	-86.03	-18.38	0.0000	0.00	0.000
17	1.43	0.001005	0.001272	-86.03	-15.63	0.0000	0.00	0.000
18	1.71	0.001005	0.001272	-86.03	-11.84	0.0000	0.00	0.000
19	2.00	0.001005	0.001272	-86.03	-7.70	0.0000	0.00	0.000
20	2.28	0.001005	0.001272	-86.03	-3.88	0.0000	0.00	0.000
21	2.57	0.001005	0.001272	-86.03	-1.09	0.0000	0.00	0.000
22	2.85	0.001005	0.001272	-86.03	0.00	0.0000	0.00	0.000

Sollecitazioni fondazione di valleCombinazione n° 18

L'ascissa X (espressa in m) è considerata positiva verso monte con origine in corrispondenza dell'estremo libero della fondazione di valle

Momento positivo se tende le fibre inferiori, espresso in kNm

Taglio positivo se diretto verso l'alto, espresso in kN

Nr.	X	M	T
1	0.00	0.0000	0.0000
2	0.05	0.1672	6.6793
3	0.10	0.6671	13.3117
4	0.15	1.4976	19.8974
5	0.20	2.6561	26.4362
6	0.25	4.1404	32.9282
7	0.30	5.9481	39.3734

PV_D_SR_AP_MU_3_C_016-_001_N_001_R_A_0

Muro prefabbricato – MU.3C.016.N – Relazione di Calcolo

8	0.35	8.0770	45.7717
9	0.40	10.5245	52.1233
10	0.45	13.2885	58.4280
11	0.50	16.3666	64.6859

Sollecitazioni fondazione di monteCombinazione n° 18

L'ascissa X(espressa in m) è considerata positiva verso valle con origine in corrispondenza dell'estremo libero della fondazione di monte

Momento positivo se tende le fibre inferiori, espresso in kNm

Taglio positivo se diretto verso l'alto, espresso in kN

Nr.	X	M	T
1	0.00	0.0000	0.0000
2	0.28	-1.0857	-7.2148
3	0.57	-3.8821	-12.0054
4	0.85	-7.6985	-14.3719
5	1.14	-11.8438	-14.3142
6	1.42	-15.6273	-11.8324
7	1.71	-18.3752	-7.1716
8	2.00	-19.5698	-0.9584
9	2.28	-18.7769	6.7759
10	2.56	-15.5630	16.0314
11	2.85	-9.4946	26.8079

Armature e tensioni nei materiali della fondazioneCombinazione n° 18

Simbologia adottata

B base della sezione espressa in [m]

H altezza della sezione espressa in [m]

A_{fi} area di armatura in corrispondenza del lembo inferiore in [mq]

A_{fs} area di armatura in corrispondenza del lembo superiore in [mq]

σ_c tensione nel calcestruzzo espressa in [MPa]

τ_c tensione tangenziale nel calcestruzzo espressa in [MPa]

σ_{fi} tensione nell'armatura disposta in corrispondenza del lembo inferiore in [MPa]

σ_{fs} tensione nell'armatura disposta in corrispondenza del lembo superiore in [MPa]

Fondazione di valle

(L'ascissa X, espressa in [m], è positiva verso monte con origine in corrispondenza dell'estremo libero della fondazione di valle)

Nr.	X	B, H	A _{fs}	A _{fi}	σ _c	τ _c	σ _{fi}	σ _{fs}
1	0.00	1.00, 0.600	0.0010050	0.001272	0.000	0.000	0.000	0.000
2	0.05	1.00, 0.600	0.0010050	0.000000	0.453	0.014	0.000	5.132
3	0.10	1.00, 0.600	0.0022780	0.001272	0.017	0.028	1.004	-0.159
4	0.15	1.00, 0.600	0.0022780	0.001272	0.037	0.042	2.254	-0.356
5	0.20	1.00, 0.600	0.0022780	0.001272	0.066	0.056	3.998	-0.631
6	0.25	1.00, 0.600	0.0022780	0.001272	0.103	0.069	6.232	-0.984
7	0.30	1.00, 0.600	0.0022780	0.001272	0.147	0.083	8.953	-1.413
8	0.35	1.00, 0.600	0.0022780	0.001272	0.200	0.096	12.157	-1.919
9	0.40	1.00, 0.600	0.0022780	0.001272	0.261	0.110	15.841	-2.501
10	0.45	1.00, 0.600	0.0022780	0.001272	0.329	0.123	20.001	-3.157
11	0.50	1.00, 0.600	0.0022780	0.001272	0.406	0.136	24.634	-3.889

Fondazione di monte

(L'ascissa X, espressa in [m], è positiva verso valle con origine in corrispondenza dell'estremo libero della fondazione di monte)

Nr.	X	B, H	A _{fs}	A _{fi}	σ _c	τ _c	σ _{fi}	σ _{fs}
1	0.00	1.00, 0.600	0.0010050	0.001272	0.000	0.000	0.000	0.000
2	0.28	1.00, 0.600	0.0010050	0.001272	0.032	-0.015	-0.299	2.061
3	0.57	1.00, 0.600	0.0010050	0.001272	0.114	-0.025	-1.067	7.371
4	0.85	1.00, 0.600	0.0010050	0.001272	0.227	-0.030	-2.117	14.618
5	1.14	1.00, 0.600	0.0010050	0.001272	0.349	-0.030	-3.257	22.489
6	1.42	1.00, 0.600	0.0010050	0.001272	0.461	-0.025	-4.297	29.673
7	1.71	1.00, 0.600	0.0010050	0.001272	0.542	-0.015	-5.052	34.890
8	2.00	1.00, 0.600	0.0010050	0.001272	0.577	-0.002	-5.381	37.159
9	2.28	1.00, 0.600	0.0022780	0.001272	0.405	0.014	-4.493	16.144

Muro prefabbricato – MU.3C.016.N – Relazione di Calcolo

10	2.56	1.00, 0.600.0022780.001272	0.336	0.034	-3.724	13.381
11	2.85	1.00, 0.600.0022780.001272	0.205	0.056	-2.272	8.163

Verifiche a fessurazioneCombinazione n° 18

L'ordinata Y (espressa in [m]) è considerata positiva verso il basso con origine in testa al muro

A_{fs}	area di armatura in corrispondenza del lembo di monte in [mq]
A_{fi}	area di armatura in corrispondenza del lembo di valle in [mq]
M_{pf}	Momento di prima fessurazione espressa in [kNm]
M	Momento agente nella sezione espressa in [kNm]
ϵ_m	deformazione media espressa in [%]
s_m	Distanza media tra le fessure espressa in [mm]
w	Apertura media della fessura espressa in [mm]

Verifica fessurazione fondazione

N°	Y	A_{fs}	A_{fi}	M_{pf}	M	ϵ_m	s_m	w
1	-0.65	0.001005	0.001272	-86.03	0.00	0.0000	0.00	0.000
2	-0.60	0.001005	0.000000	80.50	0.17	0.0000	0.00	0.000
3	-0.55	0.002278	0.001272	88.49	0.67	0.0000	0.00	0.000
4	-0.50	0.002278	0.001272	88.49	1.50	0.0000	0.00	0.000
5	-0.45	0.002278	0.001272	88.49	2.66	0.0000	0.00	0.000
6	-0.40	0.002278	0.001272	88.49	4.14	0.0000	0.00	0.000
7	-0.35	0.002278	0.001272	88.49	5.95	0.0000	0.00	0.000
8	-0.30	0.002278	0.001272	88.49	8.08	0.0000	0.00	0.000
9	-0.25	0.002278	0.001272	88.49	10.52	0.0000	0.00	0.000
10	-0.20	0.002278	0.001272	88.49	13.29	0.0000	0.00	0.000
11	-0.15	0.002278	0.001272	88.49	16.37	0.0000	0.00	0.000
12	0.00	0.002278	0.001272	-92.64	-9.49	0.0000	0.00	0.000
13	0.29	0.002278	0.001272	-92.64	-15.56	0.0000	0.00	0.000
14	0.57	0.002278	0.001272	-92.64	-18.78	0.0000	0.00	0.000
15	0.86	0.001005	0.001272	-86.03	-19.57	0.0000	0.00	0.000
16	1.14	0.001005	0.001272	-86.03	-18.38	0.0000	0.00	0.000
17	1.43	0.001005	0.001272	-86.03	-15.63	0.0000	0.00	0.000
18	1.71	0.001005	0.001272	-86.03	-11.84	0.0000	0.00	0.000
19	2.00	0.001005	0.001272	-86.03	-7.70	0.0000	0.00	0.000
20	2.28	0.001005	0.001272	-86.03	-3.88	0.0000	0.00	0.000
21	2.57	0.001005	0.001272	-86.03	-1.09	0.0000	0.00	0.000
22	2.85	0.001005	0.001272	-86.03	0.00	0.0000	0.00	0.000

Sollecitazioni fondazione di valleCombinazione n° 19

L'ascissa X(espressa in m) è considerata positiva verso monte con origine in corrispondenza dell'estremo libero della fondazione di valle

Momento positivo se tende le fibre inferiori, espresso in kNm

Taglio positivo se diretto verso l'alto, espresso in kN

Nr.	X	M	T
1	0.00	0.0000	0.0000
2	0.05	0.1672	6.6793
3	0.10	0.6671	13.3117
4	0.15	1.4976	19.8974
5	0.20	2.6561	26.4362
6	0.25	4.1404	32.9282
7	0.30	5.9481	39.3734
8	0.35	8.0770	45.7717
9	0.40	10.5245	52.1233
10	0.45	13.2885	58.4280
11	0.50	16.3666	64.6859

Sollecitazioni fondazione di monteCombinazione n° 19

L'ascissa X(espressa in m) è considerata positiva verso valle con origine in corrispondenza dell'estremo libero della fondazione di monte

Momento positivo se tende le fibre inferiori, espresso in kNm

Taglio positivo se diretto verso l'alto, espresso in kN

Nr.	X	M	T
-----	---	---	---

PV_D_SR_AP_MU_3_C_016-_001_N_001_R_A_0

Muro prefabbricato – MU.3C.016.N – Relazione di Calcolo

1	0.00	0.0000	0.0000
2	0.28	-1.0857	-7.2148
3	0.57	-3.8821	-12.0054
4	0.85	-7.6985	-14.3719
5	1.14	-11.8438	-14.3142
6	1.42	-15.6273	-11.8324
7	1.71	-18.3752	-7.1716
8	2.00	-19.5698	-0.9584
9	2.28	-18.7769	6.7759
10	2.56	-15.5630	16.0314
11	2.85	-9.4946	26.8079

Armature e tensioni nei materiali della fondazioneCombinazione n° 19

Simbologia adottata

B	base della sezione espressa in [m]
H	altezza della sezione espressa in [m]
A _{fi}	area di armatura in corrispondenza del lembo inferiore in [mq]
A _{fs}	area di armatura in corrispondenza del lembo superiore in [mq]
σ _c	tensione nel calcestruzzo espressa in [MPa]
τ _c	tensione tangenziale nel calcestruzzo espressa in [MPa]
σ _{fi}	tensione nell'armatura disposta in corrispondenza del lembo inferiore in [MPa]
σ _{fs}	tensione nell'armatura disposta in corrispondenza del lembo superiore in [MPa]

Fondazione di valle

(L'ascissa X, espressa in [m], è positiva verso monte con origine in corrispondenza dell'estremo libero della fondazione di valle)

Nr.	X	B, H	A _{fs}	A _{fi}	σ _c	τ _c	σ _{fi}	σ _{fs}
1	0.00	1.00, 0.600	0.0010050	0.001272	0.000	0.000	0.000	0.000
2	0.05	1.00, 0.600	0.0010050	0.000000	0.453	0.014	0.000	5.132
3	0.10	1.00, 0.600	0.0022780	0.001272	0.017	0.028	1.004	-0.159
4	0.15	1.00, 0.600	0.0022780	0.001272	0.037	0.042	2.254	-0.356
5	0.20	1.00, 0.600	0.0022780	0.001272	0.066	0.056	3.998	-0.631
6	0.25	1.00, 0.600	0.0022780	0.001272	0.103	0.069	6.232	-0.984
7	0.30	1.00, 0.600	0.0022780	0.001272	0.147	0.083	8.953	-1.413
8	0.35	1.00, 0.600	0.0022780	0.001272	0.200	0.096	12.157	-1.919
9	0.40	1.00, 0.600	0.0022780	0.001272	0.261	0.110	15.841	-2.501
10	0.45	1.00, 0.600	0.0022780	0.001272	0.329	0.123	20.001	-3.157
11	0.50	1.00, 0.600	0.0022780	0.001272	0.406	0.136	24.634	-3.889

Fondazione di monte

(L'ascissa X, espressa in [m], è positiva verso valle con origine in corrispondenza dell'estremo libero della fondazione di monte)

Nr.	X	B, H	A _{fs}	A _{fi}	σ _c	τ _c	σ _{fi}	σ _{fs}
1	0.00	1.00, 0.600	0.0010050	0.001272	0.000	0.000	0.000	0.000
2	0.28	1.00, 0.600	0.0010050	0.001272	0.032	-0.015	-0.299	2.061
3	0.57	1.00, 0.600	0.0010050	0.001272	0.114	-0.025	-1.067	7.371
4	0.85	1.00, 0.600	0.0010050	0.001272	0.227	-0.030	-2.117	14.618
5	1.14	1.00, 0.600	0.0010050	0.001272	0.349	-0.030	-3.257	22.489
6	1.42	1.00, 0.600	0.0010050	0.001272	0.461	-0.025	-4.297	29.673
7	1.71	1.00, 0.600	0.0010050	0.001272	0.542	-0.015	-5.052	34.890
8	2.00	1.00, 0.600	0.0010050	0.001272	0.577	-0.002	-5.381	37.159
9	2.28	1.00, 0.600	0.0022780	0.001272	0.405	0.014	-4.493	16.144
10	2.56	1.00, 0.600	0.0022780	0.001272	0.336	0.034	-3.724	13.381
11	2.85	1.00, 0.600	0.0022780	0.001272	0.205	0.056	-2.272	8.163

Verifiche a fessurazioneCombinazione n° 19

L'ordinata Y (espressa in [m]) è considerata positiva verso il basso con origine in testa al muro

A _{fs}	area di armatura in corrispondenza del lembo di monte in [mq]
A _{fi}	area di armatura in corrispondenza del lembo di valle in [mq]
M _{pf}	Momento di prima fessurazione espressa in [kNm]
M	Momento agente nella sezione espressa in [kNm]
ε _m	deformazione media espressa in [%]
s _m	Distanza media tra le fessure espressa in [mm]
w	Apertura media della fessura espressa in [mm]

PV_D_SR_AP_MU_3_C_016-_001_N_001_R_A_0

Verifica fessurazione fondazione

N°	Y	A _{fs}	A _{fi}	M _{pf}	M	ε _m	S _m	w
1	-0.65	0.001005	0.001272	-86.03	0.00	0.0000	0.00	0.000
2	-0.60	0.001005	0.000000	80.50	0.17	0.0000	0.00	0.000
3	-0.55	0.002278	0.001272	88.49	0.67	0.0000	0.00	0.000
4	-0.50	0.002278	0.001272	88.49	1.50	0.0000	0.00	0.000
5	-0.45	0.002278	0.001272	88.49	2.66	0.0000	0.00	0.000
6	-0.40	0.002278	0.001272	88.49	4.14	0.0000	0.00	0.000
7	-0.35	0.002278	0.001272	88.49	5.95	0.0000	0.00	0.000
8	-0.30	0.002278	0.001272	88.49	8.08	0.0000	0.00	0.000
9	-0.25	0.002278	0.001272	88.49	10.52	0.0000	0.00	0.000
10	-0.20	0.002278	0.001272	88.49	13.29	0.0000	0.00	0.000
11	-0.15	0.002278	0.001272	88.49	16.37	0.0000	0.00	0.000
12	0.00	0.002278	0.001272	-92.64	-9.49	0.0000	0.00	0.000
13	0.29	0.002278	0.001272	-92.64	-15.56	0.0000	0.00	0.000
14	0.57	0.002278	0.001272	-92.64	-18.78	0.0000	0.00	0.000
15	0.86	0.001005	0.001272	-86.03	-19.57	0.0000	0.00	0.000
16	1.14	0.001005	0.001272	-86.03	-18.38	0.0000	0.00	0.000
17	1.43	0.001005	0.001272	-86.03	-15.63	0.0000	0.00	0.000
18	1.71	0.001005	0.001272	-86.03	-11.84	0.0000	0.00	0.000
19	2.00	0.001005	0.001272	-86.03	-7.70	0.0000	0.00	0.000
20	2.28	0.001005	0.001272	-86.03	-3.88	0.0000	0.00	0.000
21	2.57	0.001005	0.001272	-86.03	-1.09	0.0000	0.00	0.000
22	2.85	0.001005	0.001272	-86.03	0.00	0.0000	0.00	0.000

2.1.4. Tipo F5 - Muro tratto F con altezza fuori terra di 6m

Normativa

N.T.C. 2008 - Approccio 1

Simbologia adottata

γ_{Gsfav}	Coefficiente parziale sfavorevole sulle azioni permanenti
γ_{Gfav}	Coefficiente parziale favorevole sulle azioni permanenti
γ_{Qsfav}	Coefficiente parziale sfavorevole sulle azioni variabili
γ_{Qfav}	Coefficiente parziale favorevole sulle azioni variabili
$\gamma_{tan\phi}$	Coefficiente parziale di riduzione dell'angolo di attrito drenato
$\gamma_{c'}$	Coefficiente parziale di riduzione della coesione drenata
γ_{cu}	Coefficiente parziale di riduzione della coesione non drenata
γ_{qu}	Coefficiente parziale di riduzione del carico ultimo
γ_{γ}	Coefficiente parziale di riduzione della resistenza a compressione uniassiale delle rocce

Coefficienti di partecipazione combinazioni statiche

Coefficienti parziali per le azioni o per l'effetto delle azioni:

Carichi	Effetto		A1	A2	EQU	HYD
Permanenti	Favorevole	γ_{Gfav}	1.00	1.00	0.90	0.90
Permanenti	Sfavorevole	γ_{Gsfav}	1.30	1.00	1.10	1.30
Variabili	Favorevole	γ_{Qfav}	0.00	0.00	0.00	0.00
Variabili	Sfavorevole	γ_{Qsfav}	1.50	1.30	1.50	1.50

Coefficienti parziali per i parametri geotecnici del terreno:

Parametri		M1	M2	M2	M1
Tangente dell'angolo di attrito	$\gamma_{tan\phi}$	1.00	1.25	1.25	1.00
Coesione efficace	$\gamma_{c'}$	1.00	1.25	1.25	1.00
Resistenza non drenata	γ_{cu}	1.00	1.40	1.40	1.00
Resistenza a compressione uniassiale	γ_{qu}	1.00	1.60	1.60	1.00
Peso dell'unità di volume	γ_{γ}	1.00	1.00	1.00	1.00

Coefficienti di partecipazione combinazioni sismiche

Coefficienti parziali per le azioni o per l'effetto delle azioni:

Carichi	Effetto		A1	A2	EQU	HYD
Permanenti	Favorevole	γ_{Gfav}	1.00	1.00	1.00	0.90
Permanenti	Sfavorevole	γ_{Gsfav}	1.00	1.00	1.00	1.30
Variabili	Favorevole	γ_{Qfav}	0.00	0.00	0.00	0.00
Variabili	Sfavorevole	γ_{Qsfav}	1.00	1.00	1.00	1.50

Coefficienti parziali per i parametri geotecnici del terreno:

Parametri		M1	M2	M2	M1
Tangente dell'angolo di attrito	$\gamma_{tan\phi}$	1.00	1.25	1.25	1.00
Coesione efficace	$\gamma_{c'}$	1.00	1.25	1.25	1.00
Resistenza non drenata	γ_{cu}	1.00	1.40	1.40	1.00
Resistenza a compressione uniassiale	γ_{qu}	1.00	1.60	1.60	1.00
Peso dell'unità di volume	γ_{γ}	1.00	1.00	1.00	1.00

FONDAZIONE SUPERFICIALE

Coefficienti parziali γ_R per le verifiche agli stati limite ultimi STR e GEO

Verifica	Coefficienti parziali		
	R1	R2	R3
Capacità portante della fondazione	1.00	1.00	1.40
Scorrimento	1.00	1.00	1.10
Resistenza del terreno a valle	1.00	1.00	1.40
Stabilità globale		1.10	

Geometria muro e fondazione

Muro prefabbricato – MU.3C.016.N – Relazione di Calcolo

Descrizione	Muro a mensola in c.a.
Altezza del paramento	6.00 [m]
Spessore in sommità	0.15 [m]
Spessore all'attacco con la fondazione	0.15 [m]
Inclinazione paramento esterno	0.00 [°]
Inclinazione paramento interno	0.00 [°]
Lunghezza del muro	9.60 [m]

Fondazione

Lunghezza mensola fondazione di valle	0.50 [m]
Lunghezza mensola fondazione di monte	3.55 [m]
Lunghezza totale fondazione	4.20 [m]
Inclinazione piano di posa della fondazione	0.00 [°]
Spessore fondazione	0.80 [m]
Spessore magrone	0.10 [m]
<u>Contrafforti prefabbricati</u>	

Altezza contrafforti	6.00 [m]
Spessore contrafforti	0.20 [m]
Larghezza in sommità	0.20 [m]
Larghezza alla base	1.06 [m]
Larghezza elemento	1.20 [m]
Numero contrafforti	8
Posizione :	Monte

Materiali utilizzati per la struttura*Calcestruzzo*

Peso specifico	25.000 [kN/mc]
Classe di Resistenza	C25/30
Resistenza caratteristica a compressione R_{ck}	30.00 [MPa]
Modulo elastico E	31447.048 [MPa]

Acciaio

Tipo	B450C
Tensione di snervamento σ_{fa}	449.94 [MPa]

Geometria profilo terreno a monte del muro*Simbologia adottata e sistema di riferimento*

(Sistema di riferimento con origine in testa al muro, ascissa X positiva verso monte, ordinata Y positiva verso l'alto)

N numero ordine del punto

X ascissa del punto espressa in [m]

Y ordinata del punto espressa in [m]

A inclinazione del tratto espressa in [°]

N	X	Y	A
1	1.35	0.00	0.00
2	9.67	5.00	31.00
3	30.00	5.00	0.00

Terreno a valle del muro

Inclinazione terreno a valle del muro rispetto all'orizzontale	0.00 [°]
Altezza del rinterro rispetto all'attacco fondaz.valle-paramento	0.60 [m]

Descrizione terreni*Simbologia adottata*

Nr.	Indice del terreno
Descrizione	Descrizione terreno
γ	Peso di volume del terreno espresso in [kN/mc]
γ_s	Peso di volume saturo del terreno espresso in [kN/mc]
ϕ	Angolo d'attrito interno espresso in [°]

PV_D_SR_AP_MU_3_C_016-_001_N_001_R_A_0

Muro prefabbricato – MU.3C.016.N – Relazione di Calcolo

δ	Angolo d'attrito terra-muro espresso in [°]
c	Coesione espressa in [MPa]
c_a	Adesione terra-muro espressa in [MPa]

Descrizione	γ	γ_s	ϕ	δ	c	c_a
AL1	18.50	18.50	38.00	25.33	0.0000	0.0000
AL1 - Paramento	18.50	18.50	38.00	25.33	0.0000	0.0000
AL1 - Fondazione	18.50	18.50	38.00	38.00	0.0000	0.0000

Stratigrafia*Simbologia adottata*

N	Indice dello strato
H	Spessore dello strato espresso in [m]
a	Inclinazione espressa in [°]
Kw	Costante di Winkler orizzontale espressa in Kg/cm ² /cm
Ks	Coefficiente di spinta
Terreno	Terreno dello strato

Nr.	H	a	Kw	Ks	Terreno
1	0.10	0.00	0.00	0.00	AL1
2	20.00	0.00	14.81	0.00	AL1 - Fondazione

Terreno di riempimento

AL1 - Paramento

Condizioni di carico*Simbologia e convenzioni di segno adottate*

Carichi verticali positivi verso il basso.

Carichi orizzontali positivi verso sinistra.

Momento positivo senso antiorario.

X	Ascissa del punto di applicazione del carico concentrato espressa in [m]
F_x	Componente orizzontale del carico concentrato espressa in [kN]
F_y	Componente verticale del carico concentrato espressa in [kN]
M	Momento espresso in [kNm]
X_i	Ascissa del punto iniziale del carico ripartito espressa in [m]
X_f	Ascissa del punto finale del carico ripartito espressa in [m]
Q_i	Intensità del carico per $x=X_i$ espressa in [kN/m]
Q_f	Intensità del carico per $x=X_f$ espressa in [kN/m]
D/C	Tipo carico : D=distribuito C=concentrato

Condizione n° 1 (Vento)

C	Paramento	X=0.00	Y=0.00	$F_x=3.0000$	$F_y=0.0000$	M=6.0000
---	-----------	--------	--------	--------------	--------------	----------

Descrizione combinazioni di carico*Simbologia adottata*

F/S	Effetto dell'azione (FAV: Favorevole, SFAV: Sfavorevole)
γ	Coefficiente di partecipazione della condizione
Ψ	Coefficiente di combinazione della condizione

Combinazione n° 1 - Caso A1-M1 (STR)

	S/F	γ	Ψ	$\gamma * \Psi$
Peso proprio muro	FAV	1.00	1.00	1.00
Peso proprio terrapieno	FAV	1.00	1.00	1.00
Spinta terreno	SFAV	1.30	1.00	1.30

Combinazione n° 2 - Caso A2-M2 (GEO)

	S/F	γ	Ψ	$\gamma * \Psi$
Peso proprio muro	SFAV	1.00	1.00	1.00
Peso proprio terrapieno	SFAV	1.00	1.00	1.00
Spinta terreno	SFAV	1.00	1.00	1.00

Combinazione n° 3 - Caso EQU (SLU)

	S/F	γ	Ψ	$\gamma * \Psi$
Peso proprio muro	FAV	0.90	1.00	0.90
Peso proprio terrapieno	FAV	0.90	1.00	0.90
Spinta terreno	SFAV	1.10	1.00	1.10

Combinazione n° 4 - Caso A2-M2 (GEO-STAB)

	S/F	γ	Ψ	$\gamma * \Psi$
--	-----	----------	--------	-----------------

PV_D_SR_AP_MU_3_C_016-_001_N_001_R_A_0

Muro prefabbricato – MU.3C.016.N – Relazione di Calcolo

Peso proprio muro	SFAV	1.00	1.00	1.00
Peso proprio terrapieno	SFAV	1.00	1.00	1.00
Spinta terreno	SFAV	1.00	1.00	1.00

Combinazione n° 5 - Caso A1-M1 (STR)

	S/F	γ	Ψ	$\gamma * \Psi$
Peso proprio muro	FAV	1.00	1.00	1.00
Peso proprio terrapieno	FAV	1.00	1.00	1.00
Spinta terreno	SFAV	1.30	1.00	1.30
Vento	SFAV	1.50	1.00	1.50

Combinazione n° 6 - Caso A2-M2 (GEO)

	S/F	γ	Ψ	$\gamma * \Psi$
Peso proprio muro	SFAV	1.00	1.00	1.00
Peso proprio terrapieno	SFAV	1.00	1.00	1.00
Spinta terreno	SFAV	1.00	1.00	1.00
Vento	SFAV	1.30	1.00	1.30

Combinazione n° 7 - Caso EQU (SLU)

	S/F	γ	Ψ	$\gamma * \Psi$
Peso proprio muro	FAV	0.90	1.00	0.90
Peso proprio terrapieno	FAV	0.90	1.00	0.90
Spinta terreno	SFAV	1.10	1.00	1.10
Vento	SFAV	1.50	1.00	1.50

Combinazione n° 8 - Caso A2-M2 (GEO-STAB)

	S/F	γ	Ψ	$\gamma * \Psi$
Peso proprio muro	SFAV	1.00	1.00	1.00
Peso proprio terrapieno	SFAV	1.00	1.00	1.00
Spinta terreno	SFAV	1.00	1.00	1.00
Vento	SFAV	1.30	1.00	1.30

Combinazione n° 9 - Caso A1-M1 (STR) - Sisma Vert. positivo

	S/F	γ	Ψ	$\gamma * \Psi$
Peso proprio muro	SFAV	1.00	1.00	1.00
Peso proprio terrapieno	SFAV	1.00	1.00	1.00
Spinta terreno	SFAV	1.00	1.00	1.00

Combinazione n° 10 - Caso A1-M1 (STR) - Sisma Vert. negativo

	S/F	γ	Ψ	$\gamma * \Psi$
Peso proprio muro	SFAV	1.00	1.00	1.00
Peso proprio terrapieno	SFAV	1.00	1.00	1.00
Spinta terreno	SFAV	1.00	1.00	1.00

Combinazione n° 11 - Caso A2-M2 (GEO) - Sisma Vert. positivo

	S/F	γ	Ψ	$\gamma * \Psi$
Peso proprio muro	SFAV	1.00	1.00	1.00
Peso proprio terrapieno	SFAV	1.00	1.00	1.00
Spinta terreno	SFAV	1.00	1.00	1.00

Combinazione n° 12 - Caso A2-M2 (GEO) - Sisma Vert. negativo

	S/F	γ	Ψ	$\gamma * \Psi$
Peso proprio muro	SFAV	1.00	1.00	1.00
Peso proprio terrapieno	SFAV	1.00	1.00	1.00
Spinta terreno	SFAV	1.00	1.00	1.00

Combinazione n° 13 - Caso EQU (SLU) - Sisma Vert. positivo

	S/F	γ	Ψ	$\gamma * \Psi$
Peso proprio muro	FAV	1.00	1.00	1.00
Peso proprio terrapieno	FAV	1.00	1.00	1.00

PV_D_SR_AP_MU_3_C_016-_001_N_001_R_A_0

Muro prefabbricato – MU.3C.016.N – Relazione di Calcolo

Spinta terreno	SFAV	1.00	1.00	1.00
----------------	------	------	------	------

Combinazione n° 14 - Caso EQU (SLU) - Sisma Vert. negativo

	S/F	γ	Ψ	$\gamma * \Psi$
Peso proprio muro	FAV	1.00	1.00	1.00
Peso proprio terrapieno	FAV	1.00	1.00	1.00
Spinta terreno	SFAV	1.00	1.00	1.00

Combinazione n° 15 - Caso A2-M2 (GEO-STAB) - Sisma Vert. positivo

	S/F	γ	Ψ	$\gamma * \Psi$
Peso proprio muro	SFAV	1.00	1.00	1.00
Peso proprio terrapieno	SFAV	1.00	1.00	1.00
Spinta terreno	SFAV	1.00	1.00	1.00

Combinazione n° 16 - Caso A2-M2 (GEO-STAB) - Sisma Vert. negativo

	S/F	γ	Ψ	$\gamma * \Psi$
Peso proprio muro	SFAV	1.00	1.00	1.00
Peso proprio terrapieno	SFAV	1.00	1.00	1.00
Spinta terreno	SFAV	1.00	1.00	1.00

Combinazione n° 17 - Quasi Permanente (SLE)

	S/F	γ	Ψ	$\gamma * \Psi$
Peso proprio muro	--	1.00	1.00	1.00
Peso proprio terrapieno	--	1.00	1.00	1.00
Spinta terreno	--	1.00	1.00	1.00
Vento	SFAV	1.00	1.00	1.00

Combinazione n° 18 - Frequente (SLE)

	S/F	γ	Ψ	$\gamma * \Psi$
Peso proprio muro	--	1.00	1.00	1.00
Peso proprio terrapieno	--	1.00	1.00	1.00
Spinta terreno	--	1.00	1.00	1.00
Vento	SFAV	1.00	1.00	1.00

Combinazione n° 19 - Rara (SLE)

	S/F	γ	Ψ	$\gamma * \Psi$
Peso proprio muro	--	1.00	1.00	1.00
Peso proprio terrapieno	--	1.00	1.00	1.00
Spinta terreno	--	1.00	1.00	1.00
Vento	SFAV	1.00	1.00	1.00

Impostazioni di analisi

Metodo verifica sezioni

Stato limite**Impostazioni verifiche SLU**Coefficienti parziali per resistenze di calcolo dei materiali

Coefficiente di sicurezza calcestruzzo a compressione	1.60
Coefficiente di sicurezza calcestruzzo a trazione	1.60
Coefficiente di sicurezza acciaio	1.15
Fattore riduzione da resistenza cubica a cilindrica	0.83
Fattore di riduzione per carichi di lungo periodo	0.85
Coefficiente di sicurezza per la sezione	1.00

Impostazioni verifiche SLE

Condizioni ambientali Ordinarie

Armatura ad aderenza migliorata

Verifica fessurazione

Sensibilità delle armature

Sensibile

Valori limite delle aperture delle fessure

 $w_1 = 0.20$

PV_D_SR_AP_MU_3_C_016-_001_N_001_R_A_0

$w_2 = 0.30$
 $w_3 = 0.40$
 Circ. Min. 252 (15/10/1996)

Metodo di calcolo aperture delle fessure

Verifica delle tensioni

Combinazione di carico

Rara $\sigma_c < 0.60 f_{ck}$ - $\sigma_f < 0.80 f_{yk}$
 Quasi permanente $\sigma_c < 0.45 f_{ck}$

Calcolo della portanza metodo di VesicCoefficiente correttivo su N_γ per effetti cinematici (combinazioni sismiche SLU): 1.00Coefficiente correttivo su N_γ per effetti cinematici (combinazioni sismiche SLE): 1.00**Impostazioni avanzate**

Componente verticale della spinta nel calcolo delle sollecitazioni

Influenza del terreno sulla fondazione di valle nelle verifiche e nel calcolo delle sollecitazioni

Diagramma correttivo per eccentricità negativa con aliquota di parzializzazione pari a 0.00

Quadro riassuntivo coeff. di sicurezza calcolati*Simbologia adottata*

C	Identificativo della combinazione
Tipo	Tipo combinazione
Sisma	Combinazione sismica
CS _{SCO}	Coeff. di sicurezza allo scorrimento
CS _{RIB}	Coeff. di sicurezza al ribaltamento
CS _{QLIM}	Coeff. di sicurezza a carico limite
CS _{STAB}	Coeff. di sicurezza a stabilità globale

C	Tipo	Sisma	CS _{SCO}	CS _{RIB}	CS _{qlim}	CS _{stab}
1	A1-M1 - [1]	--	2.64	--	9.40	--
2	A2-M2 - [1]	--	1.91	--	3.33	--
3	EQU - [1]	--	--	2.28	--	--
4	STAB - [1]	--	--	--	--	1.56
5	A1-M1 - [2]	--	2.59	--	8.93	--
6	A2-M2 - [2]	--	1.88	--	3.16	--
7	EQU - [2]	--	--	2.17	--	--
8	STAB - [2]	--	--	--	--	1.56
9	A1-M1 - [3]	Orizzontale + Verticale positivo	2.03	--	5.28	--
10	A1-M1 - [3]	Orizzontale + Verticale negativo	1.96	--	5.30	--
11	A2-M2 - [3]	Orizzontale + Verticale positivo	1.29	--	1.17	--
12	A2-M2 - [3]	Orizzontale + Verticale negativo	1.26	--	1.14	--
13	EQU - [3]	Orizzontale + Verticale positivo	--	1.80	--	--
14	EQU - [3]	Orizzontale + Verticale negativo	--	1.70	--	--
15	STAB - [3]	Orizzontale + Verticale positivo	--	--	--	1.32
16	STAB - [3]	Orizzontale + Verticale negativo	--	--	--	1.29
17	SLEQ - [1]	--	3.20	--	12.14	--
18	SLEF - [1]	--	3.20	--	12.14	--
19	SLER - [1]	--	3.20	--	12.14	--

Analisi della spinta e verifiche

Sistema di riferimento adottato per le coordinate :

Origine in testa al muro (spigolo di monte)

Ascisse X (espresse in [m]) positive verso monte

Ordinate Y (espresse in [m]) positive verso l'alto

Le forze orizzontali sono considerate positive se agenti da monte verso valle

Le forze verticali sono considerate positive se agenti dall'alto verso il basso

Calcolo riferito ad 1 metro di muro

Tipo di analisi

Calcolo della spinta

metodo di Culmann

Calcolo del carico limite

metodo di Vesic

Calcolo della stabilità globale

metodo di Bishop

Calcolo della spinta in condizioni di

Spinta attiva

Sisma

PV_D_SR_AP_MU_3_C_016-_001_N_001_R_A_0

Combinazioni SLU

Accelerazione al suolo a_g	3.28 [m/s ²]
Coefficiente di amplificazione per tipo di sottosuolo (S)	1.07
Coefficiente di amplificazione topografica (St)	1.00
Coefficiente riduzione (β_m)	0.31
Rapporto intensità sismica verticale/orizzontale	0.50
Coefficiente di intensità sismica orizzontale (percento)	$k_h=(a_g/g*\beta_m*St*S) = 11.13$
Coefficiente di intensità sismica verticale (percento)	$k_v=0.50 * k_h = 5.56$

Combinazioni SLE

Accelerazione al suolo a_g	1.27 [m/s ²]
Coefficiente di amplificazione per tipo di sottosuolo (S)	1.20
Coefficiente di amplificazione topografica (St)	1.00
Coefficiente riduzione (β_m)	0.24
Rapporto intensità sismica verticale/orizzontale	0.50
Coefficiente di intensità sismica orizzontale (percento)	$k_h=(a_g/g*\beta_m*St*S) = 3.74$
Coefficiente di intensità sismica verticale (percento)	$k_v=0.50 * k_h = 1.87$

Forma diagramma incremento sismico	Stessa forma diagramma statico
Partecipazione spinta passiva (percento)	50.0
Lunghezza del muro	9.60 [m]
Peso muro	106.5000 [kN]
Baricentro del muro	X=1.13 Y=-5.68

Superficie di spinta

Punto inferiore superficie di spinta	X = 3.55	Y = -6.80
Punto superiore superficie di spinta	X = 3.55	Y = 1.32
Altezza della superficie di spinta	8.12 [m]	
Inclinazione superficie di spinta (rispetto alla verticale)	0.00 [°]	

COMBINAZIONE n° 1**Peso muro favorevole e Peso terrapieno favorevole**

Valore della spinta statica	282.4981 [kN]		
Componente orizzontale della spinta statica	224.1033 [kN]		
Componente verticale della spinta statica	171.9967 [kN]		
Punto d'applicazione della spinta	X = 3.55 [m]	Y = -3.95 [m]	
Inclinaz. della spinta rispetto alla normale alla superficie	37.51 [°]		
Inclinazione linea di rottura in condizioni statiche	55.15 [°]		
Peso terrapieno gravante sulla fondazione a monte	409.3000 [kN]		
Baricentro terrapieno gravante sulla fondazione a monte	X = 1.84 [m]	Y = -2.78 [m]	
Numero contrafforti	8		
Peso del singolo contrafforte	18.9000 [kN]		
Peso del contrafforte riferito ad un metro di muro	15.7500 [kN]		
Baricentro contrafforte	X = 0.36 [m]	Y = -3.68 [m]	

Risultanti

Risultante dei carichi applicati in dir. orizzontale	224.1033 [kN]
Risultante dei carichi applicati in dir. verticale	709.0968 [kN]
Resistenza passiva a valle del muro	-38.1070 [kN]
Sforzo normale sul piano di posa della fondazione	709.0968 [kN]
Sforzo tangenziale sul piano di posa della fondazione	224.1033 [kN]
Eccentricità rispetto al baricentro della fondazione	0.25 [m]
Lunghezza fondazione reagente	4.20 [m]
Risultante in fondazione	743.6670 [kN]
Inclinazione della risultante (rispetto alla normale)	17.54 [°]
Momento rispetto al baricentro della fondazione	179.5839 [kNm]
Carico ultimo della fondazione	6668.4892 [kN]

Muro prefabbricato – MU.3C.016.N – Relazione di CalcoloTensioni sul terreno

Lunghezza fondazione reagente	4.20	[m]
Tensione terreno allo spigolo di valle	0.22992	[MPa]
Tensione terreno allo spigolo di monte	0.10775	[MPa]

Fattori per il calcolo della capacità portante

Coeff. capacità portante	$N_c = 61.35$	$N_q = 48.93$	$N_\gamma = 78.02$
Fattori forma	$s_c = 1.00$	$s_q = 1.00$	$s_\gamma = 1.00$
Fattori inclinazione	$i_c = 0.52$	$i_q = 0.53$	$i_\gamma = 0.36$
Fattori profondità	$d_c = 1.13$	$d_q = 1.08$	$d_\gamma = 1.00$
Fattori inclinazione piano posa	$b_c = 1.00$	$b_q = 1.00$	$b_\gamma = 1.00$
Fattori inclinazione pendio	$g_c = 1.00$	$g_q = 1.00$	$g_\gamma = 1.00$

I coefficienti N' tengono conto dei fattori di forma, profondità, inclinazione carico, inclinazione piano di posa, inclinazione pendio.

$N'_c = 35.82$	$N'_q = 27.67$	$N'_\gamma = 28.02$
----------------	----------------	---------------------

COEFFICIENTI DI SICUREZZA

Coefficiente di sicurezza a scorrimento	2.64
Coefficiente di sicurezza a carico ultimo	9.40

Sollecitazioni fondazione di valleCombinazione n° 1

L'ascissa X(espressa in m) è considerata positiva verso monte con origine in corrispondenza dell'estremo libero della fondazione di valle

Momento positivo se tende le fibre inferiori, espresso in kNm

Taglio positivo se diretto verso l'alto, espresso in kN

Nr.	X	M	T
1	0.00	0.0000	0.0000
2	0.05	0.2438	9.7379
3	0.10	0.9726	19.4031
4	0.15	2.1829	28.9956
5	0.20	3.8709	38.5154
6	0.25	6.0332	47.9624
7	0.30	8.6660	57.3367
8	0.35	11.7656	66.6383
9	0.40	15.3286	75.8672
10	0.45	19.3511	85.0234
11	0.50	23.8297	94.1069

Sollecitazioni fondazione di monteCombinazione n° 1

L'ascissa X(espressa in m) è considerata positiva verso valle con origine in corrispondenza dell'estremo libero della fondazione di monte

Momento positivo se tende le fibre inferiori, espresso in kNm

Taglio positivo se diretto verso l'alto, espresso in kN

Nr.	X	M	T
1	0.00	0.0000	0.0000
2	0.35	-5.2423	-28.6197
3	0.71	-19.6707	-51.7522
4	1.06	-41.3371	-69.3976
5	1.42	-68.2937	-81.5558
6	1.77	-98.5924	-88.2269
7	2.13	-130.2854	-89.4108
8	2.48	-161.4805	-85.6945
9	2.84	-190.6939	-78.2771
10	3.19	-216.6235	-67.1940
11	3.55	-237.9679	-52.4452

Armature e tensioni nei materiali della fondazioneCombinazione n° 1

Simbologia adottata

B	base della sezione espressa in [m]
H	altezza della sezione espressa in [m]
A_{fi}	area di armatura in corrispondenza del lembo inferiore in [mq]
A_{fs}	area di armatura in corrispondenza del lembo superiore in [mq]
N_u	sforzo normale ultimo espresso in [kN]
M_u	momento ultimo espresso in [kNm]

PV_D_SR_AP_MU_3_C_016-_001_N_001_R_A_0

Muro prefabbricato – MU.3C.016.N – Relazione di Calcolo

CS	coefficiente sicurezza sezione
VRcd	Aliquota di taglio assorbito dal cls, espresso in [kN]
VRsd	Aliquota di taglio assorbito dall'armatura, espresso in [kN]
VRd	Resistenza al taglio, espresso in [kN]

Fondazione di valle

(L'ascissa X, espressa in [m], è positiva verso monte con origine in corrispondenza dell'estremo libero della fondazione di valle)

Nr.	Y	B, H	A _{fs}	A _{fi}	N _u	M _u	CS	V _{Rd}	V _{Rcd}	V _{Rsd}
1	0.00	1.00, 0.800	0.0025760	0.000770	0.00	0.00	1000.00	265.28	--	--
2	0.05	1.00, 0.800	0.0025760	0.000770	0.00	221.65	909.31	249.62	--	--
3	0.10	1.00, 0.800	0.0025760	0.000770	0.00	221.65	227.89	249.62	--	--
4	0.15	1.00, 0.800	0.0025760	0.000770	0.00	221.65	101.54	249.62	--	--
5	0.20	1.00, 0.800	0.0025760	0.000770	0.00	221.65	57.26	249.62	--	--
6	0.25	1.00, 0.800	0.0025760	0.000770	0.00	221.65	36.74	249.62	--	--
7	0.30	1.00, 0.800	0.0025760	0.000770	0.00	221.65	25.58	249.62	--	--
8	0.35	1.00, 0.800	0.0025760	0.000770	0.00	221.65	18.84	249.62	--	--
9	0.40	1.00, 0.800	0.0025760	0.000770	0.00	221.65	14.46	249.62	--	--
10	0.45	1.00, 0.800	0.0025760	0.000770	0.00	221.65	11.45	249.62	--	--
11	0.50	1.00, 0.800	0.0025760	0.000770	0.00	221.65	9.30	249.62	--	--

Fondazione di monte

(L'ascissa X, espressa in [m], è positiva verso valle con origine in corrispondenza dell'estremo libero della fondazione di monte)

Nr.	Y	B, H	A _{fs}	A _{fi}	N _u	M _u	CS	V _{Rd}	V _{Rcd}	V _{Rsd}
1	0.00	1.00, 0.800	0.0010050	0.000770	0.00	0.00	1000.00	265.28	--	--
2	0.35	1.00, 0.800	0.0010050	0.000770	0.00	-289.07	55.14	265.28	--	--
3	0.71	1.00, 0.800	0.0010050	0.000770	0.00	-289.07	14.70	265.28	--	--
4	1.06	1.00, 0.800	0.0010050	0.000770	0.00	-289.07	6.99	265.28	--	--
5	1.42	1.00, 0.800	0.0010050	0.000770	0.00	-289.07	4.23	265.28	--	--
6	1.77	1.00, 0.800	0.0010050	0.000770	0.00	-289.07	2.93	265.28	--	--
7	2.13	1.00, 0.800	0.0010050	0.000770	0.00	-289.07	2.22	265.28	--	--
8	2.48	1.00, 0.800	0.0025760	0.000770	0.00	-726.47	4.50	265.28	--	--
9	2.84	1.00, 0.800	0.0025760	0.000770	0.00	-726.47	3.81	265.28	--	--
10	3.19	1.00, 0.800	0.0025760	0.000770	0.00	-726.47	3.35	265.28	--	--
11	3.55	1.00, 0.800	0.0025760	0.000770	0.00	-726.47	3.05	265.28	--	--

COMBINAZIONE n° 2

Valore della spinta statica	279.2907	[kN]		
Componente orizzontale della spinta statica	238.2694	[kN]		
Componente verticale della spinta statica	145.7086	[kN]		
Punto d'applicazione della spinta	X = 3.55	[m]	Y = -3.83	[m]
Inclinaz. della spinta rispetto alla normale alla superficie	31.45	[°]		
Inclinazione linea di rottura in condizioni statiche	51.32	[°]		
Peso terrapieno gravante sulla fondazione a monte	409.3000	[kN]		
Baricentro terrapieno gravante sulla fondazione a monte	X = 1.84	[m]	Y = -2.78	[m]
Numero contrafforti	8			
Peso del singolo contrafforte	18.9000	[kN]		
Peso del contrafforte riferito ad un metro di muro	15.7500	[kN]		
Baricentro contrafforte	X = 0.36	[m]	Y = -3.68	[m]

Risultanti

Risultante dei carichi applicati in dir. orizzontale	238.2694	[kN]
Risultante dei carichi applicati in dir. verticale	682.8086	[kN]
Resistenza passiva a valle del muro	-29.5108	[kN]
Sforzo normale sul piano di posa della fondazione	682.8086	[kN]
Sforzo tangenziale sul piano di posa della fondazione	238.2694	[kN]
Eccentricità rispetto al baricentro della fondazione	0.44	[m]
Lunghezza fondazione reagente	4.20	[m]
Risultante in fondazione	723.1874	[kN]
Inclinazione della risultante (rispetto alla normale)	19.24	[°]

PV_D_SR_AP_MU_3_C_016-_001_N_001_R_A_0

Muro prefabbricato – MU.3C.016.N – Relazione di Calcolo

Momento rispetto al baricentro della fondazione	303.2784	[kNm]
Carico ultimo della fondazione	2272.9776	[kN]

Tensioni sul terreno

Lunghezza fondazione reagente	4.20	[m]
Tensione terreno allo spigolo di valle	0.26573	[MPa]
Tensione terreno allo spigolo di monte	0.05942	[MPa]

Fattori per il calcolo della capacità portante

Coeff. capacità portante	$N_c = 61.35$	$N_q = 48.93$	$N_\gamma = 78.02$
Fattori forma	$s_c = 1.00$	$s_q = 1.00$	$s_\gamma = 1.00$
Fattori inclinazione	$i_c = 0.46$	$i_q = 0.48$	$i_\gamma = 0.31$
Fattori profondità	$d_c = 1.13$	$d_q = 1.09$	$d_\gamma = 1.00$
Fattori inclinazione piano posa	$b_c = 1.00$	$b_q = 1.00$	$b_\gamma = 1.00$
Fattori inclinazione pendio	$g_c = 1.00$	$g_q = 1.00$	$g_\gamma = 1.00$

I coefficienti N' tengono conto dei fattori di forma, profondità, inclinazione carico, inclinazione piano di posa, inclinazione pendio.

$N'_c = 35.82$	$N'_q = 27.67$	$N'_\gamma = 28.02$
----------------	----------------	---------------------

COEFFICIENTI DI SICUREZZA

Coefficiente di sicurezza a scorrimento	1.91
Coefficiente di sicurezza a carico ultimo	3.33

Sollecitazioni fondazione di valleCombinazione n° 2

L'ascissa X(espressa in m) è considerata positiva verso monte con origine in corrispondenza dell'estremo libero della fondazione di valle

Momento positivo se tende le fibre inferiori, espresso in kNm

Taglio positivo se diretto verso l'alto, espresso in kN

Nr.	X	M	T
1	0.00	0.0000	0.0000
2	0.05	0.2923	11.6701
3	0.10	1.1650	23.2173
4	0.15	2.6119	34.6418
5	0.20	4.6271	45.9434
6	0.25	7.2042	57.1223
7	0.30	10.3373	68.1783
8	0.35	14.0200	79.1116
9	0.40	18.2464	89.9220
10	0.45	23.0102	100.6096
11	0.50	28.3053	111.1745

Sollecitazioni fondazione di monteCombinazione n° 2

L'ascissa X(espressa in m) è considerata positiva verso valle con origine in corrispondenza dell'estremo libero della fondazione di monte

Momento positivo se tende le fibre inferiori, espresso in kNm

Taglio positivo se diretto verso l'alto, espresso in kN

Nr.	X	M	T
1	0.00	0.0000	0.0000
2	0.35	-5.6026	-30.2989
3	0.71	-20.6139	-53.0061
4	1.06	-42.3386	-68.1216
5	1.42	-68.0819	-75.6454
6	1.77	-95.1485	-75.5775
7	2.13	-120.8435	-67.9179
8	2.48	-142.5147	-53.1181
9	2.84	-157.8242	-32.1005
10	3.19	-164.5735	-4.8923
11	3.55	-160.5651	28.5065

Armature e tensioni nei materiali della fondazioneCombinazione n° 2

Simbologia adottata

B	base della sezione espressa in [m]
H	altezza della sezione espressa in [m]
A_{fi}	area di armatura in corrispondenza del lembo inferiore in [mq]
A_{fs}	area di armatura in corrispondenza del lembo superiore in [mq]

PV_D_SR_AP_MU_3_C_016-_001_N_001_R_A_0

Muro prefabbricato – MU.3C.016.N – Relazione di Calcolo

N_u	sforzo normale ultimo espresso in [kN]
M_u	momento ultimo espresso in [kNm]
CS	coefficiente sicurezza sezione
V_{Rcd}	Aliquota di taglio assorbito dal cls, espresso in [kN]
V_{Rsd}	Aliquota di taglio assorbito dall'armatura, espresso in [kN]
V_{Rd}	Resistenza al taglio, espresso in [kN]

Fondazione di valle

(L'ascissa X, espressa in [m], è positiva verso monte con origine in corrispondenza dell'estremo libero della fondazione di valle)

Nr.	Y	B, H	A_{fs}	A_{fi}	N_u	M_u	CS	V_{Rd}	V_{Rcd}	V_{Rsd}
1	0.00	1.00, 0.800	0.0025760	0.000770	0.00	0.00	1000.00	265.28	--	--
2	0.05	1.00, 0.800	0.0025760	0.000770	0.00	221.65	758.38	249.62	--	--
3	0.10	1.00, 0.800	0.0025760	0.000770	0.00	221.65	190.26	249.62	--	--
4	0.15	1.00, 0.800	0.0025760	0.000770	0.00	221.65	84.86	249.62	--	--
5	0.20	1.00, 0.800	0.0025760	0.000770	0.00	221.65	47.90	249.62	--	--
6	0.25	1.00, 0.800	0.0025760	0.000770	0.00	221.65	30.77	249.62	--	--
7	0.30	1.00, 0.800	0.0025760	0.000770	0.00	221.65	21.44	249.62	--	--
8	0.35	1.00, 0.800	0.0025760	0.000770	0.00	221.65	15.81	249.62	--	--
9	0.40	1.00, 0.800	0.0025760	0.000770	0.00	221.65	12.15	249.62	--	--
10	0.45	1.00, 0.800	0.0025760	0.000770	0.00	221.65	9.63	249.62	--	--
11	0.50	1.00, 0.800	0.0025760	0.000770	0.00	221.65	7.83	249.62	--	--

Fondazione di monte

(L'ascissa X, espressa in [m], è positiva verso valle con origine in corrispondenza dell'estremo libero della fondazione di monte)

Nr.	Y	B, H	A_{fs}	A_{fi}	N_u	M_u	CS	V_{Rd}	V_{Rcd}	V_{Rsd}
1	0.00	1.00, 0.800	0.010050	0.000770	0.00	0.00	1000.00	265.28	--	--
2	0.35	1.00, 0.800	0.010050	0.000770	0.00	-289.07	51.59	265.28	--	--
3	0.71	1.00, 0.800	0.010050	0.000770	0.00	-289.07	14.02	265.28	--	--
4	1.06	1.00, 0.800	0.010050	0.000770	0.00	-289.07	6.83	265.28	--	--
5	1.42	1.00, 0.800	0.010050	0.000770	0.00	-289.07	4.25	265.28	--	--
6	1.77	1.00, 0.800	0.010050	0.000770	0.00	-289.07	3.04	265.28	--	--
7	2.13	1.00, 0.800	0.010050	0.000770	0.00	-289.07	2.39	265.28	--	--
8	2.48	1.00, 0.800	0.0025760	0.000770	0.00	-726.47	5.10	265.28	--	--
9	2.84	1.00, 0.800	0.0025760	0.000770	0.00	-726.47	4.60	265.28	--	--
10	3.19	1.00, 0.800	0.0025760	0.000770	0.00	-726.47	4.41	265.28	--	--
11	3.55	1.00, 0.800	0.0025760	0.000770	0.00	-726.47	4.52	265.28	--	--

COMBINAZIONE n° 3

Valore della spinta statica	307.2198	[kN]		
Componente orizzontale della spinta statica	262.0964	[kN]		
Componente verticale della spinta statica	160.2795	[kN]		
Punto d'applicazione della spinta	X = 3.55	[m]	Y = -3.83	[m]
Inclinaz. della spinta rispetto alla normale alla superficie	31.45	[°]		
Inclinazione linea di rottura in condizioni statiche	51.32	[°]		
Peso terrapieno gravante sulla fondazione a monte	368.3700	[kN]		
Baricentro terrapieno gravante sulla fondazione a monte	X = 1.84	[m]	Y = -2.78	[m]
Numero contrafforti	8			
Peso del singolo contrafforte	17.0100	[kN]		
Peso del contrafforte riferito ad un metro di muro	14.1750	[kN]		
Baricentro contrafforte	X = 0.36	[m]	Y = -3.68	[m]

Risultanti

Risultante dei carichi applicati in dir. orizzontale	262.0964	[kN]
Risultante dei carichi applicati in dir. verticale	643.6695	[kN]
Resistenza passiva a valle del muro	-26.5597	[kN]
Momento ribaltante rispetto allo spigolo a valle	778.6385	[kNm]
Momento stabilizzante rispetto allo spigolo a valle	1777.0209	[kNm]
Sforzo normale sul piano di posa della fondazione	643.6695	[kN]
Sforzo tangenziale sul piano di posa della fondazione	262.0964	[kN]

PV_D_SR_AP_MU_3_C_016-_001_N_001_R_A_0

Muro prefabbricato – MU.3C.016.N – Relazione di Calcolo

Eccentricità rispetto al baricentro della fondazione	0.55	[m]
Lunghezza fondazione reagente	4.20	[m]
Risultante in fondazione	694.9856	[kN]
Inclinazione della risultante (rispetto alla normale)	22.16	[°]
Momento rispetto al baricentro della fondazione	353.3236	[kNm]

COEFFICIENTI DI SICUREZZA

Coefficiente di sicurezza a ribaltamento 2.28

Stabilità globale muro + terreno**Combinazione n° 4**

Le ascisse X sono considerate positive verso monte

Le ordinate Y sono considerate positive verso l'alto

Origine in testa al muro (spigolo contro terra)

W peso della striscia espresso in [kN]

 α angolo fra la base della striscia e l'orizzontale espresso in [°] (positivo antiorario) ϕ angolo d'attrito del terreno lungo la base della striscia

c coesione del terreno lungo la base della striscia espressa in [MPa]

b larghezza della striscia espressa in [m]

u pressione neutra lungo la base della striscia espressa in [MPa]

Metodo di Bishop

Numero di cerchi analizzati 36

Numero di strisce 25

Cerchio critico

Coordinate del centro X[m]= -0.58 Y[m]= 5.23

Raggio del cerchio R[m]= 12.72

Ascissa a valle del cerchio Xi[m]= -7.58

Ascissa a monte del cerchio Xs[m]= 12.13

Larghezza della striscia dx[m]= 0.79

Coefficiente di sicurezza C= 1.56

Le strisce sono numerate da monte verso valle

Caratteristiche delle strisce

Striscia	W	$\alpha(^{\circ})$	$W\sin\alpha$	$b/\cos\alpha$	ϕ	c	u
1	3111.28	79.32	3057.41	4.26	32.01	0.000	0.000
2	7505.96	65.44	6826.69	1.90	32.01	0.000	0.000
3	9721.59	57.82	8228.18	1.48	32.01	0.000	0.000
4	11124.61	51.62	8720.62	1.27	32.01	0.000	0.000
5	11777.16	46.19	8498.73	1.14	32.01	0.000	0.000
6	12198.14	41.26	8043.99	1.05	32.01	0.000	0.000
7	12444.54	36.68	7433.22	0.98	32.01	0.000	0.000
8	12548.03	32.36	6715.71	0.93	32.01	0.000	0.000
9	12529.65	28.24	5927.92	0.90	32.01	0.000	0.000
10	12404.10	24.27	5098.52	0.87	32.01	0.000	0.000
11	12229.81	20.42	4267.79	0.84	32.01	0.000	0.000
12	12289.21	16.67	3525.83	0.82	32.01	0.000	0.000
13	11895.21	12.99	2674.60	0.81	32.01	0.000	0.000
14	11459.47	9.37	1865.51	0.80	32.01	0.000	0.000
15	11454.86	5.78	1153.95	0.79	32.01	0.000	0.000
16	8738.85	2.22	338.08	0.79	32.01	0.000	0.000
17	3182.84	-1.34	-74.36	0.79	32.01	0.000	0.000
18	3030.42	-4.90	-258.85	0.79	32.01	0.000	0.000
19	2892.67	-8.48	-426.58	0.80	32.01	0.000	0.000
20	2679.51	-12.09	-561.42	0.81	32.01	0.000	0.000
21	2388.29	-15.76	-648.61	0.82	32.01	0.000	0.000
22	2015.16	-19.49	-672.34	0.84	32.01	0.000	0.000
23	1554.80	-23.31	-615.25	0.86	32.01	0.000	0.000
24	1000.01	-27.24	-457.79	0.89	32.01	0.000	0.000
25	340.99	-31.32	-177.27	0.92	32.01	0.000	0.000

 $\Sigma W_i = 1887.9786$ [kN]

PV_D_SR_AP_MU_3_C_016-_001_N_001_R_A_0

Muro prefabbricato – MU.3C.016.N – Relazione di Calcolo

$\Sigma W_i \sin \alpha_i = 769.6802 \text{ [kN]}$

$\Sigma W_i \tan \phi_i = 1180.0404 \text{ [kN]}$

$\Sigma \tan \alpha_i \tan \phi_i = 8.23$

COMBINAZIONE n° 5**Peso muro favorevole e Peso terrapieno favorevole**

Valore della spinta statica	282.4981	[kN]		
Componente orizzontale della spinta statica	224.1033	[kN]		
Componente verticale della spinta statica	171.9967	[kN]		
Punto d'applicazione della spinta	X = 3.55	[m]	Y = -3.95	[m]
Inclinaz. della spinta rispetto alla normale alla superficie	37.51	[°]		
Inclinazione linea di rottura in condizioni statiche	55.15	[°]		

Peso terrapieno gravante sulla fondazione a monte	409.3000	[kN]		
Baricentro terrapieno gravante sulla fondazione a monte	X = 1.84	[m]	Y = -2.78	[m]
Numero contrafforti	8			
Peso del singolo contrafforte	18.9000	[kN]		
Peso del contrafforte riferito ad un metro di muro	15.7500	[kN]		
Baricentro contrafforte	X = 0.36	[m]	Y = -3.68	[m]

Risultanti carichi esterni

Componente dir. X	4.50	[kN]
-------------------	------	------

Risultanti

Risultante dei carichi applicati in dir. orizzontale	228.6033	[kN]
Risultante dei carichi applicati in dir. verticale	709.0968	[kN]
Resistenza passiva a valle del muro	-38.1070	[kN]
Sforzo normale sul piano di posa della fondazione	709.0968	[kN]
Sforzo tangenziale sul piano di posa della fondazione	228.6033	[kN]
Eccentricità rispetto al baricentro della fondazione	0.31	[m]
Lunghezza fondazione reagente	4.20	[m]
Risultante in fondazione	745.0354	[kN]
Inclinazione della risultante (rispetto alla normale)	17.87	[°]
Momento rispetto al baricentro della fondazione	219.1839	[kNm]
Carico ultimo della fondazione	6329.8040	[kN]

Tensioni sul terreno

Lunghezza fondazione reagente	4.20	[m]
Tensione terreno allo spigolo di valle	0.24338	[MPa]
Tensione terreno allo spigolo di monte	0.09428	[MPa]

Fattori per il calcolo della capacità portante

Coeff. capacità portante	$N_c = 61.35$	$N_q = 48.93$	$N_\gamma = 78.02$
Fattori forma	$s_c = 1.00$	$s_q = 1.00$	$s_\gamma = 1.00$
Fattori inclinazione	$i_c = 0.51$	$i_q = 0.52$	$i_\gamma = 0.35$
Fattori profondità	$d_c = 1.13$	$d_q = 1.08$	$d_\gamma = 1.00$
Fattori inclinazione piano posa	$b_c = 1.00$	$b_q = 1.00$	$b_\gamma = 1.00$
Fattori inclinazione pendio	$g_c = 1.00$	$g_q = 1.00$	$g_\gamma = 1.00$

I coefficienti N' tengono conto dei fattori di forma, profondità, inclinazione carico, inclinazione piano di posa, inclinazione pendio.

$$N'_c = 35.82 \qquad N'_q = 27.67 \qquad N'_\gamma = 28.02$$

COEFFICIENTI DI SICUREZZA

Coefficiente di sicurezza a scorrimento	2.59
Coefficiente di sicurezza a carico ultimo	8.93

Sollecitazioni fondazione di valleCombinazione n° 5

L'ascissa X (espressa in m) è considerata positiva verso monte con origine in corrispondenza dell'estremo libero della fondazione di valle

Momento positivo se tende le fibre inferiori, espresso in kNm

Taglio positivo se diretto verso l'alto, espresso in kN

Nr.	X	M	T
1	0.00	0.0000	0.0000

PV_D_SR_AP_MU_3_C_016-_001_N_001_R_A_0

Muro prefabbricato – MU.3C.016.N – Relazione di Calcolo

2	0.05	0.2605	10.4034
3	0.10	1.0389	20.7180
4	0.15	2.3308	30.9438
5	0.20	4.1318	41.0810
6	0.25	6.4374	51.1293
7	0.30	9.2432	61.0889
8	0.35	12.5448	70.9598
9	0.40	16.3377	80.7419
10	0.45	20.6175	90.4352
11	0.50	25.3798	100.0398

Sollecitazioni fondazione di monteCombinazione n° 5

L'ascissa X(espressa in m) è considerata positiva verso valle con origine in corrispondenza dell'estremo libero della fondazione di monte

Momento positivo se tende le fibre inferiori, espresso in kNm

Taglio positivo se diretto verso l'alto, espresso in kN

Nr.	X	M	T
1	0.00	0.0000	0.0000
2	0.35	-6.0432	-32.9972
3	0.71	-22.6830	-59.6989
4	1.06	-47.6845	-80.1051
5	1.42	-78.8126	-94.2158
6	1.77	-113.8327	-102.0310
7	2.13	-150.5097	-103.5508
8	2.48	-186.6645	-99.3620
9	2.84	-220.5265	-90.6638
10	3.19	-250.5064	-77.4916
11	3.55	-275.0161	-59.8454

Armature e tensioni nei materiali della fondazioneCombinazione n° 5

Simbologia adottata

B	base della sezione espressa in [m]
H	altezza della sezione espressa in [m]
A _{fi}	area di armatura in corrispondenza del lembo inferiore in [mq]
A _{fs}	area di armatura in corrispondenza del lembo superiore in [mq]
N _u	sfuerzo normale ultimo espresso in [kN]
M _u	momento ultimo espresso in [kNm]
CS	coefficiente sicurezza sezione
V _{Rcd}	Aliquota di taglio assorbito dal cls, espresso in [kN]
V _{Rsd}	Aliquota di taglio assorbito dall'armatura, espresso in [kN]
V _{Rd}	Resistenza al taglio, espresso in [kN]

Fondazione di valle

(L'ascissa X, espressa in [m], è positiva verso monte con origine in corrispondenza dell'estremo libero della fondazione di valle)

Nr.	Y	B, H	A _{fs}	A _{fi}	N _u	M _u	CS	V _{Rd}	V _{Rcd}	V _{Rsd}
1	0.00	1.00, 0.800	0.0025760	0.000770	0.00	0.00	1000.00	265.28	--	--
2	0.05	1.00, 0.800	0.0025760	0.000770	0.00	221.65	851.00	249.62	--	--
3	0.10	1.00, 0.800	0.0025760	0.000770	0.00	221.65	213.36	249.62	--	--
4	0.15	1.00, 0.800	0.0025760	0.000770	0.00	221.65	95.10	249.62	--	--
5	0.20	1.00, 0.800	0.0025760	0.000770	0.00	221.65	53.64	249.62	--	--
6	0.25	1.00, 0.800	0.0025760	0.000770	0.00	221.65	34.43	249.62	--	--
7	0.30	1.00, 0.800	0.0025760	0.000770	0.00	221.65	23.98	249.62	--	--
8	0.35	1.00, 0.800	0.0025760	0.000770	0.00	221.65	17.67	249.62	--	--
9	0.40	1.00, 0.800	0.0025760	0.000770	0.00	221.65	13.57	249.62	--	--
10	0.45	1.00, 0.800	0.0025760	0.000770	0.00	221.65	10.75	249.62	--	--
11	0.50	1.00, 0.800	0.0025760	0.000770	0.00	221.65	8.73	249.62	--	--

Fondazione di monte

(L'ascissa X, espressa in [m], è positiva verso valle con origine in corrispondenza dell'estremo libero della fondazione di monte)

Nr.	Y	B, H	A _{fs}	A _{fi}	N _u	M _u	CS	V _{Rd}	V _{Rcd}	V _{Rsd}
1	0.00	1.00, 0.800	0.010050	0.000770	0.00	0.00	1000.00	265.28	--	--

PV_D_SR_AP_MU_3_C_016-_001_N_001_R_A_0

Muro prefabbricato – MU.3C.016.N – Relazione di Calcolo

2	0.35	1.00, 0.800.0010050.000770	0.00	-289.07	47.83	265.28	--	--
3	0.71	1.00, 0.800.0010050.000770	0.00	-289.07	12.74	265.28	--	--
4	1.06	1.00, 0.800.0010050.000770	0.00	-289.07	6.06	265.28	--	--
5	1.42	1.00, 0.800.0010050.000770	0.00	-289.07	3.67	265.28	--	--
6	1.77	1.00, 0.800.0010050.000770	0.00	-289.07	2.54	265.28	--	--
7	2.13	1.00, 0.800.0010050.000770	0.00	-289.07	1.92	265.28	--	--
8	2.48	1.00, 0.800.0025760.000770	0.00	-726.47	3.89	265.28	--	--
9	2.84	1.00, 0.800.0025760.000770	0.00	-726.47	3.29	265.28	--	--
10	3.19	1.00, 0.800.0025760.000770	0.00	-726.47	2.90	265.28	--	--
11	3.55	1.00, 0.800.0025760.000770	0.00	-726.47	2.64	265.28	--	--

COMBINAZIONE n° 6

Valore della spinta statica	279.2907	[kN]		
Componente orizzontale della spinta statica	238.2694	[kN]		
Componente verticale della spinta statica	145.7086	[kN]		
Punto d'applicazione della spinta	X = 3.55	[m]	Y = -3.83	[m]
Inclinaz. della spinta rispetto alla normale alla superficie	31.45	[°]		
Inclinazione linea di rottura in condizioni statiche	51.32	[°]		
Peso terrapieno gravante sulla fondazione a monte	409.3000	[kN]		
Baricentro terrapieno gravante sulla fondazione a monte	X = 1.84	[m]	Y = -2.78	[m]
Numero contrafforti	8			
Peso del singolo contrafforte	18.9000	[kN]		
Peso del contrafforte riferito ad un metro di muro	15.7500	[kN]		
Baricentro contrafforte	X = 0.36	[m]	Y = -3.68	[m]

Risultanti carichi esterni

Componente dir. X	3.90	[kN]
-------------------	------	------

Risultanti

Risultante dei carichi applicati in dir. orizzontale	242.1694	[kN]
Risultante dei carichi applicati in dir. verticale	682.8086	[kN]
Resistenza passiva a valle del muro	-29.5108	[kN]
Sforzo normale sul piano di posa della fondazione	682.8086	[kN]
Sforzo tangenziale sul piano di posa della fondazione	242.1694	[kN]
Eccentricità rispetto al baricentro della fondazione	0.49	[m]
Lunghezza fondazione reagente	4.20	[m]
Risultante in fondazione	724.4817	[kN]
Inclinazione della risultante (rispetto alla normale)	19.53	[°]
Momento rispetto al baricentro della fondazione	337.5984	[kNm]
Carico ultimo della fondazione	2161.0398	[kN]

Tensioni sul terreno

Lunghezza fondazione reagente	4.20	[m]
Tensione terreno allo spigolo di valle	0.27740	[MPa]
Tensione terreno allo spigolo di monte	0.04774	[MPa]

Fattori per il calcolo della capacità portante

Coeff. capacità portante	$N_c = 61.35$	$N_q = 48.93$	$N_\gamma = 78.02$
Fattori forma	$s_c = 1.00$	$s_q = 1.00$	$s_\gamma = 1.00$
Fattori inclinazione	$i_c = 0.45$	$i_q = 0.48$	$i_\gamma = 0.31$
Fattori profondità	$d_c = 1.13$	$d_q = 1.09$	$d_\gamma = 1.00$
Fattori inclinazione piano posa	$b_c = 1.00$	$b_q = 1.00$	$b_\gamma = 1.00$
Fattori inclinazione pendio	$g_c = 1.00$	$g_q = 1.00$	$g_\gamma = 1.00$

I coefficienti N' tengono conto dei fattori di forma, profondità, inclinazione carico, inclinazione piano di posa, inclinazione pendio.

$N'_c = 35.82$	$N'_q = 27.67$	$N'_\gamma = 28.02$
----------------	----------------	---------------------

COEFFICIENTI DI SICUREZZA

Coefficiente di sicurezza a scorrimento	1.88
Coefficiente di sicurezza a carico ultimo	3.16

PV_D_SR_AP_MU_3_C_016-_001_N_001_R_A_0

Muro prefabbricato – MU.3C.016.N – Relazione di Calcolo**Sollecitazioni fondazione di valle**Combinazione n° 6

L'ascissa X(espressa in m) è considerata positiva verso monte con origine in corrispondenza dell'estremo libero della fondazione di valle

Momento positivo se tende le fibre inferiori, espresso in kNm

Taglio positivo se diretto verso l'alto, espresso in kN

Nr.	X	M	T
1	0.00	0.0000	0.0000
2	0.05	0.3067	12.2468
3	0.10	1.2224	24.3569
4	0.15	2.7401	36.3303
5	0.20	4.8531	48.1670
6	0.25	7.5546	59.8669
7	0.30	10.8376	71.4302
8	0.35	14.6953	82.8568
9	0.40	19.1210	94.1467
10	0.45	24.1077	105.2999
11	0.50	29.6487	116.3163

Sollecitazioni fondazione di monteCombinazione n° 6

L'ascissa X(espressa in m) è considerata positiva verso valle con origine in corrispondenza dell'estremo libero della fondazione di monte

Momento positivo se tende le fibre inferiori, espresso in kNm

Taglio positivo se diretto verso l'alto, espresso in kN

Nr.	X	M	T
1	0.00	0.0000	0.0000
2	0.35	-6.2968	-34.0927
3	0.71	-23.2246	-59.8932
4	1.06	-47.8397	-77.4014
5	1.42	-77.1983	-86.6173
6	1.77	-108.3567	-87.5411
7	2.13	-138.3712	-80.1725
8	2.48	-164.3409	-64.9633
9	2.84	-183.6790	-42.8356
10	3.19	-193.9387	-13.8169
11	3.55	-192.6736	22.0930

Armature e tensioni nei materiali della fondazioneCombinazione n° 6

Simbologia adottata

B	base della sezione espressa in [m]
H	altezza della sezione espressa in [m]
A _{fi}	area di armatura in corrispondenza del lembo inferiore in [mq]
A _{fs}	area di armatura in corrispondenza del lembo superiore in [mq]
N _u	sforzo normale ultimo espresso in [kN]
M _u	momento ultimo espresso in [kNm]
CS	coefficiente sicurezza sezione
V _{Rcd}	Aliquota di taglio assorbito dal cls, espresso in [kN]
V _{Rsd}	Aliquota di taglio assorbito dall'armatura, espresso in [kN]
V _{Rd}	Resistenza al taglio, espresso in [kN]

Fondazione di valle

(L'ascissa X, espressa in [m], è positiva verso monte con origine in corrispondenza dell'estremo libero della fondazione di valle)

Nr.	Y	B, H	A _{fs}	A _{fi}	N _u	M _u	CS	V _{Rd}	V _{Rcd}	V _{Rsd}
1	0.00	1.00, 0.800	0.0025760	0.000770	0.00	0.00	1000.00	265.28	--	--
2	0.05	1.00, 0.800	0.0025760	0.000770	0.00	221.65	722.59	249.62	--	--
3	0.10	1.00, 0.800	0.0025760	0.000770	0.00	221.65	181.32	249.62	--	--
4	0.15	1.00, 0.800	0.0025760	0.000770	0.00	221.65	80.89	249.62	--	--
5	0.20	1.00, 0.800	0.0025760	0.000770	0.00	221.65	45.67	249.62	--	--
6	0.25	1.00, 0.800	0.0025760	0.000770	0.00	221.65	29.34	249.62	--	--
7	0.30	1.00, 0.800	0.0025760	0.000770	0.00	221.65	20.45	249.62	--	--
8	0.35	1.00, 0.800	0.0025760	0.000770	0.00	221.65	15.08	249.62	--	--
9	0.40	1.00, 0.800	0.0025760	0.000770	0.00	221.65	11.59	249.62	--	--
10	0.45	1.00, 0.800	0.0025760	0.000770	0.00	221.65	9.19	249.62	--	--

PV_D_SR_AP_MU_3_C_016-_001_N_001_R_A_0

Muro prefabbricato – MU.3C.016.N – Relazione di Calcolo

11	0.50	1.00, 0.800.0025760.000770	0.00	221.65	7.48	249.62	--	--
----	------	----------------------------	------	--------	------	--------	----	----

Fondazione di monte

(L'ascissa X, espressa in [m], è positiva verso valle con origine in corrispondenza dell'estremo libero della fondazione di monte)

Nr.	Y	B, H	A _{fs}	A _{fi}	N _u	M _u	CS	V _{Rd}	V _{Rcd}	V _{Rsd}
1	0.00	1.00, 0.800.0010050.000770			0.00	0.00	1000.00	265.28	--	--
2	0.35	1.00, 0.800.0010050.000770			0.00	-289.07	45.91	265.28	--	--
3	0.71	1.00, 0.800.0010050.000770			0.00	-289.07	12.45	265.28	--	--
4	1.06	1.00, 0.800.0010050.000770			0.00	-289.07	6.04	265.28	--	--
5	1.42	1.00, 0.800.0010050.000770			0.00	-289.07	3.74	265.28	--	--
6	1.77	1.00, 0.800.0010050.000770			0.00	-289.07	2.67	265.28	--	--
7	2.13	1.00, 0.800.0010050.000770			0.00	-289.07	2.09	265.28	--	--
8	2.48	1.00, 0.800.0025760.000770			0.00	-726.47	4.42	265.28	--	--
9	2.84	1.00, 0.800.0025760.000770			0.00	-726.47	3.96	265.28	--	--
10	3.19	1.00, 0.800.0025760.000770			0.00	-726.47	3.75	265.28	--	--
11	3.55	1.00, 0.800.0025760.000770			0.00	-726.47	3.77	265.28	--	--

COMBINAZIONE n° 7

Valore della spinta statica	307.2198	[kN]		
Componente orizzontale della spinta statica	262.0964	[kN]		
Componente verticale della spinta statica	160.2795	[kN]		
Punto d'applicazione della spinta	X = 3.55	[m]	Y = -3.83	[m]
Inclinaz. della spinta rispetto alla normale alla superficie	31.45	[°]		
Inclinazione linea di rottura in condizioni statiche	51.32	[°]		

Peso terrapieno gravante sulla fondazione a monte	368.3700	[kN]		
Baricentro terrapieno gravante sulla fondazione a monte	X = 1.84	[m]	Y = -2.78	[m]
Numero contrafforti	8			
Peso del singolo contrafforte	17.0100	[kN]		
Peso del contrafforte riferito ad un metro di muro	14.1750	[kN]		
Baricentro contrafforte	X = 0.36	[m]	Y = -3.68	[m]

Risultanti carichi esterni

Componente dir. X	4.50	[kN]
-------------------	------	------

Risultanti

Risultante dei carichi applicati in dir. orizzontale	266.5964	[kN]
Risultante dei carichi applicati in dir. verticale	643.6695	[kN]
Resistenza passiva a valle del muro	-26.5597	[kN]
Momento ribaltante rispetto allo spigolo a valle	818.2385	[kNm]
Momento stabilizzante rispetto allo spigolo a valle	1777.0209	[kNm]
Sforzo normale sul piano di posa della fondazione	643.6695	[kN]
Sforzo tangenziale sul piano di posa della fondazione	266.5964	[kN]
Eccentricità rispetto al baricentro della fondazione	0.61	[m]
Lunghezza fondazione reagente	4.20	[m]
Risultante in fondazione	696.6951	[kN]
Inclinazione della risultante (rispetto alla normale)	22.50	[°]
Momento rispetto al baricentro della fondazione	392.9236	[kNm]

COEFFICIENTI DI SICUREZZA

Coefficiente di sicurezza a ribaltamento	2.17
--	------

Stabilità globale muro + terrenoCombinazione n° 8

Le ascisse X sono considerate positive verso monte

Le ordinate Y sono considerate positive verso l'alto

Origine in testa al muro (spigolo contro terra)

W	peso della striscia espresso in [kN]
α	angolo fra la base della striscia e l'orizzontale espresso in [°] (positivo antiorario)
ϕ	angolo d'attrito del terreno lungo la base della striscia
c	coesione del terreno lungo la base della striscia espressa in [MPa]
b	larghezza della striscia espressa in [m]

PV_D_SR_AP_MU_3_C_016-_001_N_001_R_A_0

Muro prefabbricato – MU.3C.016.N – Relazione di Calcolo

u pressione neutra lungo la base della striscia espressa in [MPa]

Metodo di Bishop

Numero di cerchi analizzati 36

Numero di strisce 25

Cerchio critico

Coordinate del centro X[m]= -0.58 Y[m]= 5.23

Raggio del cerchio R[m]= 12.72

Ascissa a valle del cerchio Xi[m]= -7.58

Ascissa a monte del cerchio Xs[m]= 12.13

Larghezza della striscia dx[m]= 0.79

Coefficiente di sicurezza C= 1.56

Le strisce sono numerate da monte verso valle

Caratteristiche delle strisce

Striscia	W	$\alpha(^{\circ})$	$W\sin\alpha$	$b/\cos\alpha$	ϕ	c	u
1	3111.28	79.32	3057.41	4.26	32.01	0.000	0.000
2	7505.96	65.44	6826.69	1.90	32.01	0.000	0.000
3	9721.59	57.82	8228.18	1.48	32.01	0.000	0.000
4	11124.61	51.62	8720.62	1.27	32.01	0.000	0.000
5	11777.16	46.19	8498.73	1.14	32.01	0.000	0.000
6	12198.14	41.26	8043.99	1.05	32.01	0.000	0.000
7	12444.54	36.68	7433.22	0.98	32.01	0.000	0.000
8	12548.03	32.36	6715.71	0.93	32.01	0.000	0.000
9	12529.65	28.24	5927.92	0.90	32.01	0.000	0.000
10	12404.10	24.27	5098.52	0.87	32.01	0.000	0.000
11	12229.81	20.42	4267.79	0.84	32.01	0.000	0.000
12	12289.21	16.67	3525.83	0.82	32.01	0.000	0.000
13	11895.21	12.99	2674.60	0.81	32.01	0.000	0.000
14	11459.47	9.37	1865.51	0.80	32.01	0.000	0.000
15	11454.86	5.78	1153.95	0.79	32.01	0.000	0.000
16	8738.85	2.22	338.08	0.79	32.01	0.000	0.000
17	3182.84	-1.34	-74.36	0.79	32.01	0.000	0.000
18	3030.42	-4.90	-258.85	0.79	32.01	0.000	0.000
19	2892.67	-8.48	-426.58	0.80	32.01	0.000	0.000
20	2679.51	-12.09	-561.42	0.81	32.01	0.000	0.000
21	2388.29	-15.76	-648.61	0.82	32.01	0.000	0.000
22	2015.16	-19.49	-672.34	0.84	32.01	0.000	0.000
23	1554.80	-23.31	-615.25	0.86	32.01	0.000	0.000
24	1000.01	-27.24	-457.79	0.89	32.01	0.000	0.000
25	340.99	-31.32	-177.27	0.92	32.01	0.000	0.000

$\Sigma W_i = 1887.9786$ [kN]

$\Sigma W_i \sin\alpha_i = 769.6802$ [kN]

$\Sigma W_i \tan\phi_i = 1180.0404$ [kN]

$\Sigma \tan\alpha_i \tan\phi_i = 8.23$

COMBINAZIONE n° 9

Valore della spinta statica	217.3062	[kN]		
Componente orizzontale della spinta statica	172.3872	[kN]		
Componente verticale della spinta statica	132.3052	[kN]		
Punto d'applicazione della spinta	X = 3.55	[m]	Y = -3.95	[m]
Inclinaz. della spinta rispetto alla normale alla superficie	37.51	[°]		
Inclinazione linea di rottura in condizioni statiche	55.15	[°]		
Incremento sismico della spinta	100.8132	[kN]		
Punto d'applicazione dell'incremento sismico di spinta	X = 3.55	[m]	Y = -3.95	[m]
Inclinazione linea di rottura in condizioni sismiche	50.09	[°]		
Peso terrapieno gravante sulla fondazione a monte	409.3000	[kN]		
PV_D_SR_AP_MU_3_C_016-_001_N_001_R_A_0				

Muro prefabbricato – MU.3C.016.N – Relazione di Calcolo

Baricentro terrapieno gravante sulla fondazione a monte	X = 1.84	[m]	Y = -2.78	[m]
Numero contrafforti	8			
Peso del singolo contrafforte	18.9000	[kN]		
Peso del contrafforte riferito ad un metro di muro	15.7500	[kN]		
Baricentro contrafforte	X = 0.36	[m]	Y = -3.68	[m]
Inerzia del muro	11.8488	[kN]		
Inerzia verticale del muro	5.9244	[kN]		
Inerzia del terrapieno fondazione di monte	45.5371	[kN]		
Inerzia verticale del terrapieno fondazione di monte	22.7685	[kN]		
Inerzia del singolo contrafforte	2.1027	[kN]		
Inerzia del contrafforte riferita ad un metro di muro	1.7523	[kN]		
Inerzia verticale del singolo contrafforte	1.0514	[kN]		
Inerzia verticale del contrafforte riferita ad un metro di muro	0.8761	[kN]		

Risultanti

Risultante dei carichi applicati in dir. orizzontale	312.1170	[kN]		
Risultante dei carichi applicati in dir. verticale	760.3536	[kN]		
Resistenza passiva a valle del muro	-38.1070	[kN]		
Sforzo normale sul piano di posa della fondazione	760.3536	[kN]		
Sforzo tangenziale sul piano di posa della fondazione	312.1170	[kN]		
Eccentricità rispetto al baricentro della fondazione	0.54	[m]		
Lunghezza fondazione reagente	4.20	[m]		
Risultante in fondazione	821.9213	[kN]		
Inclinazione della risultante (rispetto alla normale)	22.32	[°]		
Momento rispetto al baricentro della fondazione	411.0517	[kNm]		
Carico ultimo della fondazione	4012.2007	[kN]		

Tensioni sul terreno

Lunghezza fondazione reagente	4.20	[m]		
Tensione terreno allo spigolo di valle	0.32085	[MPa]		
Tensione terreno allo spigolo di monte	0.04122	[MPa]		

Fattori per il calcolo della capacità portante

Coeff. capacità portante	$N_c = 61.35$	$N_q = 48.93$	$N_\gamma = 78.02$
Fattori forma	$s_c = 1.00$	$s_q = 1.00$	$s_\gamma = 1.00$
Fattori inclinazione	$i_c = 0.40$	$i_q = 0.41$	$i_\gamma = 0.24$
Fattori profondità	$d_c = 1.13$	$d_q = 1.08$	$d_\gamma = 1.00$
Fattori inclinazione piano posa	$b_c = 1.00$	$b_q = 1.00$	$b_\gamma = 1.00$
Fattori inclinazione pendio	$g_c = 1.00$	$g_q = 1.00$	$g_\gamma = 1.00$

I coefficienti N' tengono conto dei fattori di forma, profondità, inclinazione carico, inclinazione piano di posa, inclinazione pendio.

$$N'_c = 35.82 \quad N'_q = 27.67 \quad N'_\gamma = 28.02$$

COEFFICIENTI DI SICUREZZA

Coefficiente di sicurezza a scorrimento	2.03
Coefficiente di sicurezza a carico ultimo	5.28

Sollecitazioni fondazione di valleCombinazione n° 9

L'ascissa X(espressa in m) è considerata positiva verso monte con origine in corrispondenza dell'estremo libero della fondazione di valle

Momento positivo se tende le fibre inferiori, espresso in kNm

Taglio positivo se diretto verso l'alto, espresso in kN

Nr.	X	M	T
1	0.00	0.0000	0.0000
2	0.05	0.3608	14.4043
3	0.10	1.4377	28.6421
4	0.15	3.2222	42.7135
5	0.20	5.7062	56.6185
6	0.25	8.8813	70.3570
7	0.30	12.7392	83.9290
8	0.35	17.2714	97.3346
9	0.40	22.4698	110.5738
10	0.45	28.3260	123.6465

PV_D_SR_AP_MU_3_C_016-_001_N_001_R_A_0

Muro prefabbricato – MU.3C.016.N – Relazione di Calcolo

11 0.50 34.8317 136.5528

Sollecitazioni fondazione di monteCombinazione n° 9

L'ascissa X(espressa in m) è considerata positiva verso valle con origine in corrispondenza dell'estremo libero della fondazione di monte

Momento positivo se tende le fibre inferiori, espresso in kNm

Taglio positivo se diretto verso l'alto, espresso in kN

Nr.	X	M	T
1	0.00	0.0000	0.0000
2	0.35	-6.6190	-35.6580
3	0.71	-24.1585	-61.5244
4	1.06	-49.1426	-77.5992
5	1.42	-78.0953	-83.8825
6	1.77	-107.5405	-80.3741
7	2.13	-134.0022	-67.0741
8	2.48	-154.0473	-44.4341
9	2.84	-164.5569	-13.3763
10	3.19	-162.5517	26.0719
11	3.55	-145.0530	73.9106

Armature e tensioni nei materiali della fondazioneCombinazione n° 9

Simbologia adottata

B	base della sezione espressa in [m]
H	altezza della sezione espressa in [m]
A _{fi}	area di armatura in corrispondenza del lembo inferiore in [mq]
A _{fs}	area di armatura in corrispondenza del lembo superiore in [mq]
N _u	sforzo normale ultimo espresso in [kN]
M _u	momento ultimo espresso in [kNm]
CS	coefficiente sicurezza sezione
V _{Rcd}	Aliquota di taglio assorbito dal cls, espresso in [kN]
V _{Rsd}	Aliquota di taglio assorbito dall'armatura, espresso in [kN]
V _{Rd}	Resistenza al taglio, espresso in [kN]

Fondazione di valle

(L'ascissa X, espressa in [m], è positiva verso monte con origine in corrispondenza dell'estremo libero della fondazione di valle)

Nr.	Y	B, H	A _{fs}	A _{fi}	N _u	M _u	CS	V _{Rd}	V _{Rcd}	V _{Rsd}
1	0.00	1.00, 0.800	0.0025760	0.000770	0.00	0.00	1000.00	265.28	--	--
2	0.05	1.00, 0.800	0.0025760	0.000770	0.00	221.65	614.32	249.62	--	--
3	0.10	1.00, 0.800	0.0025760	0.000770	0.00	221.65	154.17	249.62	--	--
4	0.15	1.00, 0.800	0.0025760	0.000770	0.00	221.65	68.79	249.62	--	--
5	0.20	1.00, 0.800	0.0025760	0.000770	0.00	221.65	38.84	249.62	--	--
6	0.25	1.00, 0.800	0.0025760	0.000770	0.00	221.65	24.96	249.62	--	--
7	0.30	1.00, 0.800	0.0025760	0.000770	0.00	221.65	17.40	249.62	--	--
8	0.35	1.00, 0.800	0.0025760	0.000770	0.00	221.65	12.83	249.62	--	--
9	0.40	1.00, 0.800	0.0025760	0.000770	0.00	221.65	9.86	249.62	--	--
10	0.45	1.00, 0.800	0.0025760	0.000770	0.00	221.65	7.82	249.62	--	--
11	0.50	1.00, 0.800	0.0025760	0.000770	0.00	221.65	6.36	249.62	--	--

Fondazione di monte

(L'ascissa X, espressa in [m], è positiva verso valle con origine in corrispondenza dell'estremo libero della fondazione di monte)

Nr.	Y	B, H	A _{fs}	A _{fi}	N _u	M _u	CS	V _{Rd}	V _{Rcd}	V _{Rsd}
1	0.00	1.00, 0.800	0.0010050	0.000770	0.00	0.00	1000.00	265.28	--	--
2	0.35	1.00, 0.800	0.0010050	0.000770	0.00	-289.07	43.67	265.28	--	--
3	0.71	1.00, 0.800	0.0010050	0.000770	0.00	-289.07	11.97	265.28	--	--
4	1.06	1.00, 0.800	0.0010050	0.000770	0.00	-289.07	5.88	265.28	--	--
5	1.42	1.00, 0.800	0.0010050	0.000770	0.00	-289.07	3.70	265.28	--	--
6	1.77	1.00, 0.800	0.0010050	0.000770	0.00	-289.07	2.69	265.28	--	--
7	2.13	1.00, 0.800	0.0010050	0.000770	0.00	-289.07	2.16	265.28	--	--
8	2.48	1.00, 0.800	0.0025760	0.000770	0.00	-726.47	4.72	265.28	--	--
9	2.84	1.00, 0.800	0.0025760	0.000770	0.00	-726.47	4.41	265.28	--	--
10	3.19	1.00, 0.800	0.0025760	0.000770	0.00	-726.47	4.47	265.28	--	--

PV_D_SR_AP_MU_3_C_016-_001_N_001_R_A_0

Muro prefabbricato – MU.3C.016.N – Relazione di Calcolo

11 3.55 1.00, 0.800.0025760.000770 0.00 -726.47 5.01 265.28 -- --

COMBINAZIONE n° 10

Valore della spinta statica	217.3062	[kN]		
Componente orizzontale della spinta statica	172.3872	[kN]		
Componente verticale della spinta statica	132.3052	[kN]		
Punto d'applicazione della spinta	X = 3.55	[m]	Y = -3.95	[m]
Inclinaz. della spinta rispetto alla normale alla superficie	37.51	[°]		
Inclinazione linea di rottura in condizioni statiche	55.15	[°]		
Incremento sismico della spinta	78.2469	[kN]		
Punto d'applicazione dell'incremento sismico di spinta	X = 3.55	[m]	Y = -3.95	[m]
Inclinazione linea di rottura in condizioni sismiche	49.47	[°]		
Peso terrapieno gravante sulla fondazione a monte	409.3000	[kN]		
Baricentro terrapieno gravante sulla fondazione a monte	X = 1.84	[m]	Y = -2.78	[m]
Numero contrafforti	8			
Peso del singolo contrafforte	18.9000	[kN]		
Peso del contrafforte riferito ad un metro di muro	15.7500	[kN]		
Baricentro contrafforte	X = 0.36	[m]	Y = -3.68	[m]
Inerzia del muro	11.8488	[kN]		
Inerzia verticale del muro	-5.9244	[kN]		
Inerzia del terrapieno fondazione di monte	45.5371	[kN]		
Inerzia verticale del terrapieno fondazione di monte	-22.7685	[kN]		
Inerzia del singolo contrafforte	2.1027	[kN]		
Inerzia del contrafforte riferita ad un metro di muro	1.7523	[kN]		
Inerzia verticale del singolo contrafforte	-1.0514	[kN]		
Inerzia verticale del contrafforte riferita ad un metro di muro	-0.8761	[kN]		

Risultanti

Risultante dei carichi applicati in dir. orizzontale	294.2154	[kN]		
Risultante dei carichi applicati in dir. verticale	687.4762	[kN]		
Resistenza passiva a valle del muro	-38.1070	[kN]		
Sforzo normale sul piano di posa della fondazione	687.4762	[kN]		
Sforzo tangenziale sul piano di posa della fondazione	294.2154	[kN]		
Eccentricità rispetto al baricentro della fondazione	0.58	[m]		
Lunghezza fondazione reagente	4.20	[m]		
Risultante in fondazione	747.7875	[kN]		
Inclinazione della risultante (rispetto alla normale)	23.17	[°]		
Momento rispetto al baricentro della fondazione	400.9418	[kNm]		
Carico ultimo della fondazione	3646.1265	[kN]		

Tensioni sul terreno

Lunghezza fondazione reagente	4.20	[m]		
Tensione terreno allo spigolo di valle	0.30006	[MPa]		
Tensione terreno allo spigolo di monte	0.02731	[MPa]		

Fattori per il calcolo della capacità portante

Coeff. capacità portante	$N_c = 61.35$	$N_q = 48.93$	$N_\gamma = 78.02$
Fattori forma	$s_c = 1.00$	$s_q = 1.00$	$s_\gamma = 1.00$
Fattori inclinazione	$i_c = 0.38$	$i_q = 0.39$	$i_\gamma = 0.22$
Fattori profondità	$d_c = 1.13$	$d_q = 1.08$	$d_\gamma = 1.00$
Fattori inclinazione piano posa	$b_c = 1.00$	$b_q = 1.00$	$b_\gamma = 1.00$
Fattori inclinazione pendio	$g_c = 1.00$	$g_q = 1.00$	$g_\gamma = 1.00$

I coefficienti N' tengono conto dei fattori di forma, profondità, inclinazione carico, inclinazione piano di posa, inclinazione pendio.

$N'_c = 35.82$ $N'_q = 27.67$ $N'_\gamma = 28.02$

COEFFICIENTI DI SICUREZZA

Coefficiente di sicurezza a scorrimento	1.96
Coefficiente di sicurezza a carico ultimo	5.30

PV_D_SR_AP_MU_3_C_016-_001_N_001_R_A_0

Muro prefabbricato – MU.3C.016.N – Relazione di Calcolo**Sollecitazioni fondazione di valle**Combinazione n° 10

L'ascissa X(espressa in m) è considerata positiva verso monte con origine in corrispondenza dell'estremo libero della fondazione di valle

Momento positivo se tende le fibre inferiori, espresso in kNm

Taglio positivo se diretto verso l'alto, espresso in kN

Nr.	X	M	T
1	0.00	0.0000	0.0000
2	0.05	0.3348	13.3668
3	0.10	1.3340	26.5713
4	0.15	2.9893	39.6134
5	0.20	5.2926	52.4931
6	0.25	8.2359	65.2105
7	0.30	11.8109	77.7656
8	0.35	16.0097	90.1583
9	0.40	20.8241	102.3886
10	0.45	26.2459	114.4566
11	0.50	32.2670	126.3622

Sollecitazioni fondazione di monteCombinazione n° 10

L'ascissa X(espressa in m) è considerata positiva verso valle con origine in corrispondenza dell'estremo libero della fondazione di monte

Momento positivo se tende le fibre inferiori, espresso in kNm

Taglio positivo se diretto verso l'alto, espresso in kN

Nr.	X	M	T
1	0.00	0.0000	0.0000
2	0.35	-7.5079	-40.7003
3	0.71	-27.7630	-71.8154
4	1.06	-57.3625	-93.3452
5	1.42	-92.9038	-105.2899
6	1.77	-130.9841	-107.6493
7	2.13	-168.2006	-100.4234
8	2.48	-201.1934	-84.0639
9	2.84	-226.9169	-59.4930
10	3.19	-242.4650	-26.7380
11	3.55	-244.9324	14.2011

Armature e tensioni nei materiali della fondazioneCombinazione n° 10

Simbologia adottata

B	base della sezione espressa in [m]
H	altezza della sezione espressa in [m]
A _{fi}	area di armatura in corrispondenza del lembo inferiore in [mq]
A _{fs}	area di armatura in corrispondenza del lembo superiore in [mq]
N _u	sforzo normale ultimo espresso in [kN]
M _u	momento ultimo espresso in [kNm]
CS	coefficiente sicurezza sezione
V _{Rcd}	Aliquota di taglio assorbito dal cls, espresso in [kN]
V _{Rsd}	Aliquota di taglio assorbito dall'armatura, espresso in [kN]
V _{Rd}	Resistenza al taglio, espresso in [kN]

Fondazione di valle

(L'ascissa X, espressa in [m], è positiva verso monte con origine in corrispondenza dell'estremo libero della fondazione di valle)

Nr.	Y	B, H	A _{fs}	A _{fi}	N _u	M _u	CS	V _{Rd}	V _{Rcd}	V _{Rsd}
1	0.00	1.00, 0.800	0.0025760	0.000770	0.00	0.00	1000.00	265.28	--	--
2	0.05	1.00, 0.800	0.0025760	0.000770	0.00	221.65	661.93	249.62	--	--
3	0.10	1.00, 0.800	0.0025760	0.000770	0.00	221.65	166.15	249.62	--	--
4	0.15	1.00, 0.800	0.0025760	0.000770	0.00	221.65	74.15	249.62	--	--
5	0.20	1.00, 0.800	0.0025760	0.000770	0.00	221.65	41.88	249.62	--	--
6	0.25	1.00, 0.800	0.0025760	0.000770	0.00	221.65	26.91	249.62	--	--
7	0.30	1.00, 0.800	0.0025760	0.000770	0.00	221.65	18.77	249.62	--	--
8	0.35	1.00, 0.800	0.0025760	0.000770	0.00	221.65	13.84	249.62	--	--
9	0.40	1.00, 0.800	0.0025760	0.000770	0.00	221.65	10.64	249.62	--	--
10	0.45	1.00, 0.800	0.0025760	0.000770	0.00	221.65	8.44	249.62	--	--

PV_D_SR_AP_MU_3_C_016-_001_N_001_R_A_0

Muro prefabbricato – MU.3C.016.N – Relazione di Calcolo

11 0.50 1.00, 0.800.0025760.000770 0.00 221.65 6.87 249.62 -- --
Fondazione di monte

(L'ascissa X, espressa in [m], è positiva verso valle con origine in corrispondenza dell'estremo libero della fondazione di monte)

Nr.	Y	B, H	A _{fs}	A _{fi}	N _u	M _u	CS	V _{Rd}	V _{Rcd}	V _{Rsd}
1	0.00	1.00, 0.800.0010050.000770			0.00	0.00	1000.00	265.28	--	--
2	0.35	1.00, 0.800.0010050.000770			0.00	-289.07	38.50	265.28	--	--
3	0.71	1.00, 0.800.0010050.000770			0.00	-289.07	10.41	265.28	--	--
4	1.06	1.00, 0.800.0010050.000770			0.00	-289.07	5.04	265.28	--	--
5	1.42	1.00, 0.800.0010050.000770			0.00	-289.07	3.11	265.28	--	--
6	1.77	1.00, 0.800.0010050.000770			0.00	-289.07	2.21	265.28	--	--
7	2.13	1.00, 0.800.0010050.000770			0.00	-289.07	1.72	265.28	--	--
8	2.48	1.00, 0.800.0025760.000770			0.00	-726.47	3.61	265.28	--	--
9	2.84	1.00, 0.800.0025760.000770			0.00	-726.47	3.20	265.28	--	--
10	3.19	1.00, 0.800.0025760.000770			0.00	-726.47	3.00	265.28	--	--
11	3.55	1.00, 0.800.0025760.000770			0.00	-726.47	2.97	265.28	--	--

COMBINAZIONE n° 11

Valore della spinta statica	279.2907	[kN]		
Componente orizzontale della spinta statica	238.2694	[kN]		
Componente verticale della spinta statica	145.7086	[kN]		
Punto d'applicazione della spinta	X = 3.55	[m]	Y = -3.83	[m]
Inclinaz. della spinta rispetto alla normale alla superficie	31.45	[°]		
Inclinazione linea di rottura in condizioni statiche	51.32	[°]		
Incremento sismico della spinta	114.5343	[kN]		
Punto d'applicazione dell'incremento sismico di spinta	X = 3.55	[m]	Y = -3.83	[m]
Inclinazione linea di rottura in condizioni sismiche	45.88	[°]		
Peso terrapieno gravante sulla fondazione a monte	409.3000	[kN]		
Baricentro terrapieno gravante sulla fondazione a monte	X = 1.84	[m]	Y = -2.78	[m]
Numero contrafforti	8			
Peso del singolo contrafforte	18.9000	[kN]		
Peso del contrafforte riferito ad un metro di muro	15.7500	[kN]		
Baricentro contrafforte	X = 0.36	[m]	Y = -3.68	[m]
Inerzia del muro	11.8488	[kN]		
Inerzia verticale del muro	5.9244	[kN]		
Inerzia del terrapieno fondazione di monte	45.5371	[kN]		
Inerzia verticale del terrapieno fondazione di monte	22.7685	[kN]		
Inerzia del singolo contrafforte	2.1027	[kN]		
Inerzia del contrafforte riferita ad un metro di muro	1.7523	[kN]		
Inerzia verticale del singolo contrafforte	1.0514	[kN]		
Inerzia verticale del contrafforte riferita ad un metro di muro	0.8761	[kN]		

Risultanti

Risultante dei carichi applicati in dir. orizzontale	395.7369	[kN]		
Risultante dei carichi applicati in dir. verticale	772.1313	[kN]		
Resistenza passiva a valle del muro	-29.5108	[kN]		
Sforzo normale sul piano di posa della fondazione	772.1313	[kN]		
Sforzo tangenziale sul piano di posa della fondazione	395.7369	[kN]		
Eccentricità rispetto al baricentro della fondazione	0.86	[m]		
Lunghezza fondazione reagente	3.72	[m]		
Risultante in fondazione	867.6373	[kN]		
Inclinazione della risultante (rispetto alla normale)	27.14	[°]		
Momento rispetto al baricentro della fondazione	664.4714	[kNm]		
Carico ultimo della fondazione	900.7731	[kN]		

Tensioni sul terreno

Lunghezza fondazione reagente	3.72	[m]		
Tensione terreno allo spigolo di valle	0.41531	[MPa]		

PV_D_SR_AP_MU_3_C_016-_001_N_001_R_A_0

Muro prefabbricato – MU.3C.016.N – Relazione di Calcolo

Tensione terreno allo spigolo di monte

0.00000 [MPa]

Fattori per il calcolo della capacità portante

Coeff. capacità portante	$N_c = 61.35$	$N_q = 48.93$	$N_\gamma = 78.02$
Fattori forma	$s_c = 1.00$	$s_q = 1.00$	$s_\gamma = 1.00$
Fattori inclinazione	$i_c = 0.26$	$i_q = 0.30$	$i_\gamma = 0.14$
Fattori profondità	$d_c = 1.13$	$d_q = 1.09$	$d_\gamma = 1.00$
Fattori inclinazione piano posa	$b_c = 1.00$	$b_q = 1.00$	$b_\gamma = 1.00$
Fattori inclinazione pendio	$g_c = 1.00$	$g_q = 1.00$	$g_\gamma = 1.00$

I coefficienti N' tengono conto dei fattori di forma, profondità, inclinazione carico, inclinazione piano di posa, inclinazione pendio.

$N'_c = 35.82$ $N'_q = 27.67$ $N'_\gamma = 28.02$

COEFFICIENTI DI SICUREZZA

Coefficiente di sicurezza a scorrimento

1.29

Coefficiente di sicurezza a carico ultimo

1.17

Sollecitazioni fondazione di valleCombinazione n° 11

L'ascissa X(espressa in m) è considerata positiva verso monte con origine in corrispondenza dell'estremo libero della fondazione di valle

Momento positivo se tende le fibre inferiori, espresso in kNm

Taglio positivo se diretto verso l'alto, espresso in kN

Nr.	X	M	T
1	0.00	0.0000	0.0000
2	0.05	0.4779	19.0711
3	0.10	1.9025	37.8630
4	0.15	4.2596	56.3756
5	0.20	7.5354	74.6090
6	0.25	11.7158	92.5632
7	0.30	16.7870	110.2381
8	0.35	22.7350	127.6338
9	0.40	29.5458	144.7502
10	0.45	37.2054	161.5874
11	0.50	45.6998	178.1454

Sollecitazioni fondazione di monteCombinazione n° 11

L'ascissa X(espressa in m) è considerata positiva verso valle con origine in corrispondenza dell'estremo libero della fondazione di monte

Momento positivo se tende le fibre inferiori, espresso in kNm

Taglio positivo se diretto verso l'alto, espresso in kN

Nr.	X	M	T
1	0.00	0.0000	0.0000
2	0.35	-9.7130	-54.4874
3	0.71	-38.2988	-104.6630
4	1.06	-82.2301	-140.2577
5	1.42	-136.0502	-160.3749
6	1.77	-194.2648	-165.0147
7	2.13	-251.3792	-154.1770
8	2.48	-301.9418	-128.3133
9	2.84	-340.8153	-88.3461
10	3.19	-363.0019	-34.3025
11	3.55	-363.5044	33.8174

Armature e tensioni nei materiali della fondazioneCombinazione n° 11

Simbologia adottata

B	base della sezione espressa in [m]
H	altezza della sezione espressa in [m]
A_{fi}	area di armatura in corrispondenza del lembo inferiore in [mq]
A_{fs}	area di armatura in corrispondenza del lembo superiore in [mq]
N_u	sforzo normale ultimo espresso in [kN]
M_u	momento ultimo espresso in [kNm]
CS	coefficiente sicurezza sezione
VRcd	Aliquota di taglio assorbito dal cls, espresso in [kN]
VRsd	Aliquota di taglio assorbito dall'armatura, espresso in [kN]
VRd	Resistenza al taglio, espresso in [kN]

Fondazione di valle

PV_D_SR_AP_MU_3_C_016-_001_N_001_R_A_0

Muro prefabbricato – MU.3C.016.N – Relazione di Calcolo

(L'ascissa X, espressa in [m], è positiva verso monte con origine in corrispondenza dell'estremo libero della fondazione di valle)

Nr.	Y	B, H	A _{fs}	A _{fi}	N _u	M _u	CS	V _{Rd}	V _{Rcd}	V _{Rsd}
1	0.00	1.00, 0.800	0.0025760	0.000770	0.00	0.00	1000.00	265.28	--	--
2	0.05	1.00, 0.800	0.0025760	0.000770	0.00	221.65	463.75	249.62	--	--
3	0.10	1.00, 0.800	0.0025760	0.000770	0.00	221.65	116.51	249.62	--	--
4	0.15	1.00, 0.800	0.0025760	0.000770	0.00	221.65	52.03	249.62	--	--
5	0.20	1.00, 0.800	0.0025760	0.000770	0.00	221.65	29.41	249.62	--	--
6	0.25	1.00, 0.800	0.0025760	0.000770	0.00	221.65	18.92	249.62	--	--
7	0.30	1.00, 0.800	0.0025760	0.000770	0.00	221.65	13.20	249.62	--	--
8	0.35	1.00, 0.800	0.0025760	0.000770	0.00	221.65	9.75	249.62	--	--
9	0.40	1.00, 0.800	0.0025760	0.000770	0.00	221.65	7.50	249.62	--	--
10	0.45	1.00, 0.800	0.0025760	0.000770	0.00	221.65	5.96	249.62	--	--
11	0.50	1.00, 0.800	0.0025760	0.000770	0.00	221.65	4.85	249.62	--	--

Fondazione di monte

(L'ascissa X, espressa in [m], è positiva verso valle con origine in corrispondenza dell'estremo libero della fondazione di monte)

Nr.	Y	B, H	A _{fs}	A _{fi}	N _u	M _u	CS	V _{Rd}	V _{Rcd}	V _{Rsd}
1	0.00	1.00, 0.800	0.010050	0.000770	0.00	0.00	1000.00	265.28	--	--
2	0.35	1.00, 0.800	0.010050	0.000770	0.00	-289.07	29.76	265.28	--	--
3	0.71	1.00, 0.800	0.010050	0.000770	0.00	-289.07	7.55	265.28	--	--
4	1.06	1.00, 0.800	0.010050	0.000770	0.00	-289.07	3.52	265.28	--	--
5	1.42	1.00, 0.800	0.010050	0.000770	0.00	-289.07	2.12	265.28	--	--
6	1.77	1.00, 0.800	0.010050	0.000770	0.00	-289.07	1.49	265.28	--	--
7	2.13	1.00, 0.800	0.010050	0.000770	0.00	-289.07	1.15	265.28	--	--
8	2.48	1.00, 0.800	0.0025760	0.000770	0.00	-726.47	2.41	265.28	--	--
9	2.84	1.00, 0.800	0.0025760	0.000770	0.00	-726.47	2.13	265.28	--	--
10	3.19	1.00, 0.800	0.0025760	0.000770	0.00	-726.47	2.00	265.28	--	--
11	3.55	1.00, 0.800	0.0025760	0.000770	0.00	-726.47	2.00	265.28	--	--

COMBINAZIONE n° 12

Valore della spinta statica	279.2907	[kN]		
Componente orizzontale della spinta statica	238.2694	[kN]		
Componente verticale della spinta statica	145.7086	[kN]		
Punto d'applicazione della spinta	X = 3.55	[m]	Y = -3.83	[m]
Inclinaz. della spinta rispetto alla normale alla superficie	31.45	[°]		
Inclinazione linea di rottura in condizioni statiche	51.32	[°]		
Incremento sismico della spinta	85.1635	[kN]		
Punto d'applicazione dell'incremento sismico di spinta	X = 3.55	[m]	Y = -3.83	[m]
Inclinazione linea di rottura in condizioni sismiche	45.20	[°]		
Peso terrapieno gravante sulla fondazione a monte	409.3000	[kN]		
Baricentro terrapieno gravante sulla fondazione a monte	X = 1.84	[m]	Y = -2.78	[m]
Numero contrafforti	8			
Peso del singolo contrafforte	18.9000	[kN]		
Peso del contrafforte riferito ad un metro di muro	15.7500	[kN]		
Baricentro contrafforte	X = 0.36	[m]	Y = -3.68	[m]
Inerzia del muro	11.8488	[kN]		
Inerzia verticale del muro	-5.9244	[kN]		
Inerzia del terrapieno fondazione di monte	45.5371	[kN]		
Inerzia verticale del terrapieno fondazione di monte	-22.7685	[kN]		
Inerzia del singolo contrafforte	2.1027	[kN]		
Inerzia del contrafforte riferita ad un metro di muro	1.7523	[kN]		
Inerzia verticale del singolo contrafforte	-1.0514	[kN]		
Inerzia verticale del contrafforte riferita ad un metro di muro	-0.8761	[kN]		

Risultanti

Risultante dei carichi applicati in dir. orizzontale	370.6800	[kN]
PV_D_SR_AP_MU_3_C_016-_001_N_001_R_A_0		

Muro prefabbricato – MU.3C.016.N – Relazione di Calcolo

Risultante dei carichi applicati in dir. verticale	697.6702	[kN]
Resistenza passiva a valle del muro	-29.5108	[kN]
Sforzo normale sul piano di posa della fondazione	697.6702	[kN]
Sforzo tangenziale sul piano di posa della fondazione	370.6800	[kN]
Eccentricità rispetto al baricentro della fondazione	0.91	[m]
Lunghezza fondazione reagente	3.57	[m]
Risultante in fondazione	790.0300	[kN]
Inclinazione della risultante (rispetto alla normale)	27.98	[°]
Momento rispetto al baricentro della fondazione	634.3211	[kNm]
Carico ultimo della fondazione	795.0951	[kN]

Tensioni sul terreno

Lunghezza fondazione reagente	3.57	[m]
Tensione terreno allo spigolo di valle	0.39059	[MPa]
Tensione terreno allo spigolo di monte	0.00000	[MPa]

Fattori per il calcolo della capacità portante

Coeff. capacità portante	$N_c = 61.35$	$N_q = 48.93$	$N_\gamma = 78.02$
Fattori forma	$s_c = 1.00$	$s_q = 1.00$	$s_\gamma = 1.00$
Fattori inclinazione	$i_c = 0.24$	$i_q = 0.28$	$i_\gamma = 0.13$
Fattori profondità	$d_c = 1.13$	$d_q = 1.09$	$d_\gamma = 1.00$
Fattori inclinazione piano posa	$b_c = 1.00$	$b_q = 1.00$	$b_\gamma = 1.00$
Fattori inclinazione pendio	$g_c = 1.00$	$g_q = 1.00$	$g_\gamma = 1.00$

I coefficienti N' tengono conto dei fattori di forma, profondità, inclinazione carico, inclinazione piano di posa, inclinazione pendio.

$N'_c = 35.82$	$N'_q = 27.67$	$N'_\gamma = 28.02$
----------------	----------------	---------------------

COEFFICIENTI DI SICUREZZA

Coefficiente di sicurezza a scorrimento	1.26
Coefficiente di sicurezza a carico ultimo	1.14

Sollecitazioni fondazione di valleCombinazione n° 12

L'ascissa X(espressa in m) è considerata positiva verso monte con origine in corrispondenza dell'estremo libero della fondazione di valle

Momento positivo se tende le fibre inferiori, espresso in kNm

Taglio positivo se diretto verso l'alto, espresso in kN

Nr.	X	M	T
1	0.00	0.0000	0.0000
2	0.05	0.4471	17.8378
3	0.10	1.7792	35.4022
4	0.15	3.9827	52.6933
5	0.20	7.0440	69.7111
6	0.25	10.9493	86.4555
7	0.30	15.6850	102.9266
8	0.35	21.2374	119.1243
9	0.40	27.5929	135.0487
10	0.45	34.7377	150.6998
11	0.50	42.6583	166.0775

Sollecitazioni fondazione di monteCombinazione n° 12

L'ascissa X(espressa in m) è considerata positiva verso valle con origine in corrispondenza dell'estremo libero della fondazione di monte

Momento positivo se tende le fibre inferiori, espresso in kNm

Taglio positivo se diretto verso l'alto, espresso in kN

Nr.	X	M	T
1	0.00	0.0000	0.0000
2	0.35	-9.7130	-54.4874
3	0.71	-38.5101	-107.2025
4	1.06	-84.3996	-148.7999
5	1.42	-142.3617	-175.2172
6	1.77	-207.0075	-186.4544
7	2.13	-272.9480	-182.5115
8	2.48	-334.8372	-163.8401
9	2.84	-387.6433	-131.3625

PV_D_SR_AP_MU_3_C_016-_001_N_001_R_A_0

Muro prefabbricato – MU.3C.016.N – Relazione di Calcolo

10	3.19	-426.4741	-85.1060
11	3.55	-446.4381	-25.0705

Armature e tensioni nei materiali della fondazioneCombinazione n° 12

Simbologia adottata

B	base della sezione espressa in [m]
H	altezza della sezione espressa in [m]
A _{fi}	area di armatura in corrispondenza del lembo inferiore in [mq]
A _{fs}	area di armatura in corrispondenza del lembo superiore in [mq]
N _u	sforzo normale ultimo espresso in [kN]
M _u	momento ultimo espresso in [kNm]
CS	coefficiente sicurezza sezione
VRcd	Aliquota di taglio assorbito dal cls, espresso in [kN]
VRsd	Aliquota di taglio assorbito dall'armatura, espresso in [kN]
VRd	Resistenza al taglio, espresso in [kN]

Fondazione di valle

(L'ascissa X, espressa in [m], è positiva verso monte con origine in corrispondenza dell'estremo libero della fondazione di valle)

Nr.	Y	B, H	A _{fs}	A _{fi}	N _u	M _u	CS	V _{Rd}	V _{Rcd}	V _{Rsd}
1	0.00	1.00, 0.800	0.0025760	0.000770	0.00	0.00	1000.00	265.28	--	--
2	0.05	1.00, 0.800	0.0025760	0.000770	0.00	221.65	495.76	249.62	--	--
3	0.10	1.00, 0.800	0.0025760	0.000770	0.00	221.65	124.57	249.62	--	--
4	0.15	1.00, 0.800	0.0025760	0.000770	0.00	221.65	55.65	249.62	--	--
5	0.20	1.00, 0.800	0.0025760	0.000770	0.00	221.65	31.47	249.62	--	--
6	0.25	1.00, 0.800	0.0025760	0.000770	0.00	221.65	20.24	249.62	--	--
7	0.30	1.00, 0.800	0.0025760	0.000770	0.00	221.65	14.13	249.62	--	--
8	0.35	1.00, 0.800	0.0025760	0.000770	0.00	221.65	10.44	249.62	--	--
9	0.40	1.00, 0.800	0.0025760	0.000770	0.00	221.65	8.03	249.62	--	--
10	0.45	1.00, 0.800	0.0025760	0.000770	0.00	221.65	6.38	249.62	--	--
11	0.50	1.00, 0.800	0.0025760	0.000770	0.00	221.65	5.20	249.62	--	--

Fondazione di monte

(L'ascissa X, espressa in [m], è positiva verso valle con origine in corrispondenza dell'estremo libero della fondazione di monte)

Nr.	Y	B, H	A _{fs}	A _{fi}	N _u	M _u	CS	V _{Rd}	V _{Rcd}	V _{Rsd}
1	0.00	1.00, 0.800	0.0010050	0.000770	0.00	0.00	1000.00	265.28	--	--
2	0.35	1.00, 0.800	0.0010050	0.000770	0.00	-289.07	29.76	265.28	--	--
3	0.71	1.00, 0.800	0.0010050	0.000770	0.00	-289.07	7.51	265.28	--	--
4	1.06	1.00, 0.800	0.0010050	0.000770	0.00	-289.07	3.42	265.28	--	--
5	1.42	1.00, 0.800	0.0010050	0.000770	0.00	-289.07	2.03	265.28	--	--
6	1.77	1.00, 0.800	0.0010050	0.000770	0.00	-289.07	1.40	265.28	--	--
7	2.13	1.00, 0.800	0.0010050	0.000770	0.00	-289.07	1.06	265.28	--	--
8	2.48	1.00, 0.800	0.0025760	0.000770	0.00	-726.47	2.17	265.28	--	--
9	2.84	1.00, 0.800	0.0025760	0.000770	0.00	-726.47	1.87	265.28	--	--
10	3.19	1.00, 0.800	0.0025760	0.000770	0.00	-726.47	1.70	265.28	--	--
11	3.55	1.00, 0.800	0.0025760	0.000770	0.00	-726.47	1.63	265.28	--	--

COMBINAZIONE n° 13

Valore della spinta statica	279.2907	[kN]		
Componente orizzontale della spinta statica	238.2694	[kN]		
Componente verticale della spinta statica	145.7086	[kN]		
Punto d'applicazione della spinta	X = 3.55	[m]	Y = -3.83	[m]
Inclinaz. della spinta rispetto alla normale alla superficie	31.45	[°]		
Inclinazione linea di rottura in condizioni statiche	51.32	[°]		
Incremento sismico della spinta	114.5343	[kN]		
Punto d'applicazione dell'incremento sismico di spinta	X = 3.55	[m]	Y = -3.83	[m]
Inclinazione linea di rottura in condizioni sismiche	45.88	[°]		
Peso terrapieno gravante sulla fondazione a monte	409.3000	[kN]		
Baricentro terrapieno gravante sulla fondazione a monte	X = 1.84	[m]	Y = -2.78	[m]
Numero contrafforti	8			
Peso del singolo contrafforte	18.9000	[kN]		
PV_D_SR_AP_MU_3_C_016-_001_N_001_R_A_0				

Muro prefabbricato – MU.3C.016.N – Relazione di Calcolo

Peso del contrafforte riferito ad un metro di muro	15.7500	[kN]		
Baricentro contrafforte	X = 0.36	[m]	Y = -3.68	[m]
Inerzia del muro	11.8488	[kN]		
Inerzia verticale del muro	5.9244	[kN]		
Inerzia del terrapieno fondazione di monte	45.5371	[kN]		
Inerzia verticale del terrapieno fondazione di monte	22.7685	[kN]		
Inerzia del singolo contrafforte	2.1027	[kN]		
Inerzia del contrafforte riferita ad un metro di muro	1.7523	[kN]		
Inerzia verticale del singolo contrafforte	1.0514	[kN]		
Inerzia verticale del contrafforte riferita ad un metro di muro	0.8761	[kN]		

Risultanti

Risultante dei carichi applicati in dir. orizzontale	395.7369	[kN]		
Risultante dei carichi applicati in dir. verticale	772.1313	[kN]		
Resistenza passiva a valle del muro	-29.5108	[kN]		
Momento ribaltante rispetto allo spigolo a valle	1200.5842	[kNm]		
Momento stabilizzante rispetto allo spigolo a valle	2157.5886	[kNm]		
Sforzo normale sul piano di posa della fondazione	772.1313	[kN]		
Sforzo tangenziale sul piano di posa della fondazione	395.7369	[kN]		
Eccentricità rispetto al baricentro della fondazione	0.86	[m]		
Lunghezza fondazione reagente	3.72	[m]		
Risultante in fondazione	867.6373	[kN]		
Inclinazione della risultante (rispetto alla normale)	27.14	[°]		
Momento rispetto al baricentro della fondazione	664.4714	[kNm]		

COEFFICIENTI DI SICUREZZA

Coefficiente di sicurezza a ribaltamento 1.80

COMBINAZIONE n° 14

Valore della spinta statica	279.2907	[kN]		
Componente orizzontale della spinta statica	238.2694	[kN]		
Componente verticale della spinta statica	145.7086	[kN]		
Punto d'applicazione della spinta	X = 3.55	[m]	Y = -3.83	[m]
Inclinaz. della spinta rispetto alla normale alla superficie	31.45	[°]		
Inclinazione linea di rottura in condizioni statiche	51.32	[°]		
Incremento sismico della spinta	85.1635	[kN]		
Punto d'applicazione dell'incremento sismico di spinta	X = 3.55	[m]	Y = -3.83	[m]
Inclinazione linea di rottura in condizioni sismiche	45.20	[°]		
Peso terrapieno gravante sulla fondazione a monte	409.3000	[kN]		
Baricentro terrapieno gravante sulla fondazione a monte	X = 1.84	[m]	Y = -2.78	[m]
Numero contrafforti	8			
Peso del singolo contrafforte	18.9000	[kN]		
Peso del contrafforte riferito ad un metro di muro	15.7500	[kN]		
Baricentro contrafforte	X = 0.36	[m]	Y = -3.68	[m]
Inerzia del muro	11.8488	[kN]		
Inerzia verticale del muro	-5.9244	[kN]		
Inerzia del terrapieno fondazione di monte	45.5371	[kN]		
Inerzia verticale del terrapieno fondazione di monte	-22.7685	[kN]		
Inerzia del singolo contrafforte	2.1027	[kN]		
Inerzia del contrafforte riferita ad un metro di muro	1.7523	[kN]		
Inerzia verticale del singolo contrafforte	-1.0514	[kN]		
Inerzia verticale del contrafforte riferita ad un metro di muro	-0.8761	[kN]		

Risultanti

Risultante dei carichi applicati in dir. orizzontale	370.6800	[kN]		
Risultante dei carichi applicati in dir. verticale	697.6702	[kN]		
Resistenza passiva a valle del muro	-29.5108	[kN]		
Momento ribaltante rispetto allo spigolo a valle	1194.2953	[kNm]		
Momento stabilizzante rispetto allo spigolo a valle	2025.0816	[kNm]		

PV_D_SR_AP_MU_3_C_016-_001_N_001_R_A_0

Muro prefabbricato – MU.3C.016.N – Relazione di Calcolo

Sforzo normale sul piano di posa della fondazione	697.6702	[kN]
Sforzo tangenziale sul piano di posa della fondazione	370.6800	[kN]
Eccentricità rispetto al baricentro della fondazione	0.91	[m]
Lunghezza fondazione reagente	3.57	[m]
Risultante in fondazione	790.0300	[kN]
Inclinazione della risultante (rispetto alla normale)	27.98	[°]
Momento rispetto al baricentro della fondazione	634.3211	[kNm]

COEFFICIENTI DI SICUREZZA

Coefficiente di sicurezza a ribaltamento 1.70

Stabilità globale muro + terrenoCombinazione n° 15

Le ascisse X sono considerate positive verso monte

Le ordinate Y sono considerate positive verso l'alto

Origine in testa al muro (spigolo contro terra)

W peso della striscia espresso in [kN]

 α angolo fra la base della striscia e l'orizzontale espresso in [°] (positivo antiorario) ϕ angolo d'attrito del terreno lungo la base della striscia

c coesione del terreno lungo la base della striscia espressa in [MPa]

b larghezza della striscia espressa in [m]

u pressione neutra lungo la base della striscia espressa in [MPa]

Metodo di Bishop

Numero di cerchi analizzati 36

Numero di strisce 25

Cerchio critico

Coordinate del centro X[m]= -0.58 Y[m]= 5.23

Raggio del cerchio R[m]= 12.72

Ascissa a valle del cerchio Xi[m]= -7.58

Ascissa a monte del cerchio Xs[m]= 12.13

Larghezza della striscia dx[m]= 0.79

Coefficiente di sicurezza C= 1.32

Le strisce sono numerate da monte verso valle

Caratteristiche delle strisce

Striscia	W	$\alpha(^{\circ})$	$W\sin\alpha$	$b/\cos\alpha$	ϕ	c	u
1	3111.28	79.32	3057.41	4.26	32.01	0.000	0.000
2	7505.96	65.44	6826.69	1.90	32.01	0.000	0.000
3	9721.59	57.82	8228.18	1.48	32.01	0.000	0.000
4	11124.61	51.62	8720.62	1.27	32.01	0.000	0.000
5	11777.16	46.19	8498.73	1.14	32.01	0.000	0.000
6	12198.14	41.26	8043.99	1.05	32.01	0.000	0.000
7	12444.54	36.68	7433.22	0.98	32.01	0.000	0.000
8	12548.03	32.36	6715.71	0.93	32.01	0.000	0.000
9	12529.65	28.24	5927.92	0.90	32.01	0.000	0.000
10	12404.10	24.27	5098.52	0.87	32.01	0.000	0.000
11	12229.81	20.42	4267.79	0.84	32.01	0.000	0.000
12	12289.21	16.67	3525.83	0.82	32.01	0.000	0.000
13	11895.21	12.99	2674.60	0.81	32.01	0.000	0.000
14	11459.47	9.37	1865.51	0.80	32.01	0.000	0.000
15	11454.86	5.78	1153.95	0.79	32.01	0.000	0.000
16	8738.85	2.22	338.08	0.79	32.01	0.000	0.000
17	3182.84	-1.34	-74.36	0.79	32.01	0.000	0.000
18	3030.42	-4.90	-258.85	0.79	32.01	0.000	0.000
19	2892.67	-8.48	-426.58	0.80	32.01	0.000	0.000
20	2679.51	-12.09	-561.42	0.81	32.01	0.000	0.000
21	2388.29	-15.76	-648.61	0.82	32.01	0.000	0.000
22	2015.16	-19.49	-672.34	0.84	32.01	0.000	0.000
23	1554.80	-23.31	-615.25	0.86	32.01	0.000	0.000
24	1000.01	-27.24	-457.79	0.89	32.01	0.000	0.000

PV_D_SR_AP_MU_3_C_016-_001_N_001_R_A_0

Muro prefabbricato – MU.3C.016.N – Relazione di Calcolo

25 340.99 -31.32 -177.27 0.92 32.01 0.000 0.000
 $\Sigma W_i = 1887.9786$ [kN]
 $\Sigma W_i \sin \alpha_i = 769.6802$ [kN]
 $\Sigma W_i \tan \phi_i = 1180.0404$ [kN]
 $\Sigma \tan \alpha_i \tan \phi_i = 8.23$

Stabilità globale muro + terrenoCombinazione n° 16

Le ascisse X sono considerate positive verso monte

Le ordinate Y sono considerate positive verso l'alto

Origine in testa al muro (spigolo contro terra)

W peso della striscia espresso in [kN]

 α angolo fra la base della striscia e l'orizzontale espresso in [°] (positivo antiorario) ϕ angolo d'attrito del terreno lungo la base della striscia

c coesione del terreno lungo la base della striscia espressa in [MPa]

b larghezza della striscia espressa in [m]

u pressione neutra lungo la base della striscia espressa in [MPa]

Metodo di Bishop

Numero di cerchi analizzati 36

Numero di strisce 25

Cerchio critico

Coordinate del centro X[m]= -0.58 Y[m]= 5.23

Raggio del cerchio R[m]= 12.72

Ascissa a valle del cerchio Xi[m]= -7.58

Ascissa a monte del cerchio Xs[m]= 12.13

Larghezza della striscia dx[m]= 0.79

Coefficiente di sicurezza C= 1.29

Le strisce sono numerate da monte verso valle

Caratteristiche delle strisce

Striscia	W	$\alpha(^{\circ})$	$W \sin \alpha$	$b / \cos \alpha$	ϕ	c	u
1	3111.28	79.32	3057.41	4.26	32.01	0.000	0.000
2	7505.96	65.44	6826.69	1.90	32.01	0.000	0.000
3	9721.59	57.82	8228.18	1.48	32.01	0.000	0.000
4	11124.61	51.62	8720.62	1.27	32.01	0.000	0.000
5	11777.16	46.19	8498.73	1.14	32.01	0.000	0.000
6	12198.14	41.26	8043.99	1.05	32.01	0.000	0.000
7	12444.54	36.68	7433.22	0.98	32.01	0.000	0.000
8	12548.03	32.36	6715.71	0.93	32.01	0.000	0.000
9	12529.65	28.24	5927.92	0.90	32.01	0.000	0.000
10	12404.10	24.27	5098.52	0.87	32.01	0.000	0.000
11	12229.81	20.42	4267.79	0.84	32.01	0.000	0.000
12	12289.21	16.67	3525.83	0.82	32.01	0.000	0.000
13	11895.21	12.99	2674.60	0.81	32.01	0.000	0.000
14	11459.47	9.37	1865.51	0.80	32.01	0.000	0.000
15	11454.86	5.78	1153.95	0.79	32.01	0.000	0.000
16	8738.85	2.22	338.08	0.79	32.01	0.000	0.000
17	3182.84	-1.34	-74.36	0.79	32.01	0.000	0.000
18	3030.42	-4.90	-258.85	0.79	32.01	0.000	0.000
19	2892.67	-8.48	-426.58	0.80	32.01	0.000	0.000
20	2679.51	-12.09	-561.42	0.81	32.01	0.000	0.000
21	2388.29	-15.76	-648.61	0.82	32.01	0.000	0.000
22	2015.16	-19.49	-672.34	0.84	32.01	0.000	0.000
23	1554.80	-23.31	-615.25	0.86	32.01	0.000	0.000
24	1000.01	-27.24	-457.79	0.89	32.01	0.000	0.000
25	340.99	-31.32	-177.27	0.92	32.01	0.000	0.000

 $\Sigma W_i = 1887.9786$ [kN] $\Sigma W_i \sin \alpha_i = 769.6802$ [kN] $\Sigma W_i \tan \phi_i = 1180.0404$ [kN] $\Sigma \tan \alpha_i \tan \phi_i = 8.23$

PV_D_SR_AP_MU_3_C_016-_001_N_001_R_A_0

Muro prefabbricato – MU.3C.016.N – Relazione di Calcolo**Sollecitazioni fondazione di valle**Combinazione n° 17

L'ascissa X(espressa in m) è considerata positiva verso monte con origine in corrispondenza dell'estremo libero della fondazione di valle

Momento positivo se tende le fibre inferiori, espresso in kNm

Taglio positivo se diretto verso l'alto, espresso in kN

Nr.	X	M	T
1	0.00	0.0000	0.0000
2	0.05	0.2202	8.7968
3	0.10	0.8787	17.5362
4	0.15	1.9728	26.2182
5	0.20	3.4996	34.8427
6	0.25	5.4561	43.4099
7	0.30	7.8396	51.9196
8	0.35	10.6471	60.3720
9	0.40	13.8759	68.7669
10	0.45	17.5229	77.1044
11	0.50	21.5853	85.3844

Sollecitazioni fondazione di monteCombinazione n° 17

L'ascissa X(espressa in m) è considerata positiva verso valle con origine in corrispondenza dell'estremo libero della fondazione di monte

Momento positivo se tende le fibre inferiori, espresso in kNm

Taglio positivo se diretto verso l'alto, espresso in kN

Nr.	X	M	T
1	0.00	0.0000	0.0000
2	0.35	-2.5376	-13.5806
3	0.71	-9.1339	-22.8658
4	1.06	-18.2641	-27.8557
5	1.42	-28.4032	-28.5501
6	1.77	-38.0264	-24.9492
7	2.13	-45.6088	-17.0529
8	2.48	-49.6686	-5.3128
9	2.84	-49.0378	9.3489
10	3.19	-42.6883	26.9048
11	3.55	-29.5928	47.3550

Armature e tensioni nei materiali della fondazioneCombinazione n° 17

Simbologia adottata

B base della sezione espressa in [m]

H altezza della sezione espressa in [m]

A_{fi} area di armatura in corrispondenza del lembo inferiore in [mq]

A_{fs} area di armatura in corrispondenza del lembo superiore in [mq]

σ_c tensione nel calcestruzzo espressa in [MPa]

τ_c tensione tangenziale nel calcestruzzo espressa in [MPa]

σ_{fi} tensione nell'armatura disposta in corrispondenza del lembo inferiore in [MPa]

σ_{fs} tensione nell'armatura disposta in corrispondenza del lembo superiore in [MPa]

Fondazione di valle

(L'ascissa X, espressa in [m], è positiva verso monte con origine in corrispondenza dell'estremo libero della fondazione di valle)

Nr.	X	B, H	A_{fs}	A_{fi}	σ_c	τ_c	σ_{fi}	σ_{fs}
1	0.00	1.00, 0.800	0.0025760	0.000770	0.000	0.000	0.000	0.000
2	0.05	1.00, 0.800	0.0025760	0.000770	0.004	0.014	0.395	-0.037
3	0.10	1.00, 0.800	0.0025760	0.000770	0.016	0.027	1.577	-0.149
4	0.15	1.00, 0.800	0.0025760	0.000770	0.037	0.041	3.540	-0.333
5	0.20	1.00, 0.800	0.0025760	0.000770	0.065	0.054	6.279	-0.592
6	0.25	1.00, 0.800	0.0025760	0.000770	0.101	0.067	9.790	-0.922
7	0.30	1.00, 0.800	0.0025760	0.000770	0.145	0.080	14.066	-1.325
8	0.35	1.00, 0.800	0.0025760	0.000770	0.197	0.093	19.104	-1.800
9	0.40	1.00, 0.800	0.0025760	0.000770	0.257	0.106	24.897	-2.346
10	0.45	1.00, 0.800	0.0025760	0.000770	0.325	0.119	31.440	-2.962
11	0.50	1.00, 0.800	0.0025760	0.000770	0.400	0.132	38.729	-3.649

Fondazione di monte

PV_D_SR_AP_MU_3_C_016-_001_N_001_R_A_0

Muro prefabbricato – MU.3C.016.N – Relazione di Calcolo

(L'ascissa X, espressa in [m], è positiva verso valle con origine in corrispondenza dell'estremo libero della fondazione di monte)

Nr.	X	B, H	A _{fs}	A _{fi}	σ _c	τ _c	σ _{fi}	σ _{fs}
1	0.00	1.00, 0.800	0.0010050	0.000770	0.000	0.000	0.000	0.000
2	0.35	1.00, 0.800	0.0010050	0.000770	0.048	-0.021	-0.503	3.520
3	0.71	1.00, 0.800	0.0010050	0.000770	0.174	-0.035	-1.812	12.672
4	1.06	1.00, 0.800	0.0010050	0.000770	0.349	-0.043	-3.623	25.338
5	1.42	1.00, 0.800	0.0010050	0.000770	0.542	-0.044	-5.634	39.404
6	1.77	1.00, 0.800	0.0010050	0.000770	0.726	-0.039	-7.543	52.755
7	2.13	1.00, 0.800	0.0010050	0.000770	0.871	-0.026	-9.047	63.274
8	2.48	1.00, 0.800	0.0025760	0.000770	0.656	-0.008	-7.864	27.708
9	2.84	1.00, 0.800	0.0025760	0.000770	0.648	0.014	-7.764	27.356
10	3.19	1.00, 0.800	0.0025760	0.000770	0.564	0.042	-6.759	23.814
11	3.55	1.00, 0.800	0.0025760	0.000770	0.391	0.073	-4.685	16.509

Verifiche a fessurazioneCombinazione n° 17

L'ordinata Y (espressa in [m]) è considerata positiva verso il basso con origine in testa al muro

A_{fs} area di armatura in corrispondenza del lembo di monte in [mq]

A_{fi} area di armatura in corrispondenza del lembo di valle in [mq]

M_{pf} Momento di prima fessurazione espressa in [kNm]

M Momento agente nella sezione espressa in [kNm]

ε_m deformazione media espressa in [%]

s_m Distanza media tra le fessure espressa in [mm]

w Apertura media della fessura espressa in [mm]

Verifica fessurazione fondazione

N°	Y	A _{fs}	A _{fi}	M _{pf}	M	ε _m	s _m	w
1	-0.65	0.002576	0.000770	-161.28	0.00	0.0000	0.00	0.000
2	-0.60	0.002576	0.000770	150.98	0.22	0.0000	0.00	0.000
3	-0.55	0.002576	0.000770	150.98	0.88	0.0000	0.00	0.000
4	-0.50	0.002576	0.000770	150.98	1.97	0.0000	0.00	0.000
5	-0.45	0.002576	0.000770	150.98	3.50	0.0000	0.00	0.000
6	-0.40	0.002576	0.000770	150.98	5.46	0.0000	0.00	0.000
7	-0.35	0.002576	0.000770	150.98	7.84	0.0000	0.00	0.000
8	-0.30	0.002576	0.000770	150.98	10.65	0.0000	0.00	0.000
9	-0.25	0.002576	0.000770	150.98	13.88	0.0000	0.00	0.000
10	-0.20	0.002576	0.000770	150.98	17.52	0.0000	0.00	0.000
11	-0.15	0.002576	0.000770	150.98	21.59	0.0000	0.00	0.000
12	0.00	0.002576	0.000770	-161.28	-29.59	0.0000	0.00	0.000
13	0.35	0.002576	0.000770	-161.28	-42.69	0.0000	0.00	0.000
14	0.71	0.002576	0.000770	-161.28	-49.04	0.0000	0.00	0.000
15	1.06	0.002576	0.000770	-161.28	-49.67	0.0000	0.00	0.000
16	1.42	0.001005	0.000770	-149.82	-45.61	0.0000	0.00	0.000
17	1.77	0.001005	0.000770	-149.82	-38.03	0.0000	0.00	0.000
18	2.13	0.001005	0.000770	-149.82	-28.40	0.0000	0.00	0.000
19	2.48	0.001005	0.000770	-149.82	-18.26	0.0000	0.00	0.000
20	2.84	0.001005	0.000770	-149.82	-9.13	0.0000	0.00	0.000
21	3.19	0.001005	0.000770	-149.82	-2.54	0.0000	0.00	0.000
22	3.55	0.001005	0.000770	-149.82	0.00	0.0000	0.00	0.000

Sollecitazioni fondazione di valleCombinazione n° 18

L'ascissa X (espressa in m) è considerata positiva verso monte con origine in corrispondenza dell'estremo libero della fondazione di valle

Momento positivo se tende le fibre inferiori, espresso in kNm

Taglio positivo se diretto verso l'alto, espresso in kN

Nr.	X	M	T
1	0.00	0.0000	0.0000
2	0.05	0.2202	8.7968
3	0.10	0.8787	17.5362
4	0.15	1.9728	26.2182

PV_D_SR_AP_MU_3_C_016-_001_N_001_R_A_0

Muro prefabbricato – MU.3C.016.N – Relazione di Calcolo

5	0.20	3.4996	34.8427
6	0.25	5.4561	43.4099
7	0.30	7.8396	51.9196
8	0.35	10.6471	60.3720
9	0.40	13.8759	68.7669
10	0.45	17.5229	77.1044
11	0.50	21.5853	85.3844

Sollecitazioni fondazione di monteCombinazione n° 18

L'ascissa X(espressa in m) è considerata positiva verso valle con origine in corrispondenza dell'estremo libero della fondazione di monte

Momento positivo se tende le fibre inferiori, espresso in kNm

Taglio positivo se diretto verso l'alto, espresso in kN

Nr.	X	M	T
1	0.00	0.0000	0.0000
2	0.35	-2.5376	-13.5806
3	0.71	-9.1339	-22.8658
4	1.06	-18.2641	-27.8557
5	1.42	-28.4032	-28.5501
6	1.77	-38.0264	-24.9492
7	2.13	-45.6088	-17.0529
8	2.48	-49.6686	-5.3128
9	2.84	-49.0378	9.3489
10	3.19	-42.6883	26.9048
11	3.55	-29.5928	47.3550

Armature e tensioni nei materiali della fondazioneCombinazione n° 18

Simbologia adottata

B base della sezione espressa in [m]

H altezza della sezione espressa in [m]

A_{fi} area di armatura in corrispondenza del lembo inferiore in [mq]

A_{fs} area di armatura in corrispondenza del lembo superiore in [mq]

σ_c tensione nel calcestruzzo espressa in [MPa]

τ_c tensione tangenziale nel calcestruzzo espressa in [MPa]

σ_{fi} tensione nell'armatura disposta in corrispondenza del lembo inferiore in [MPa]

σ_{fs} tensione nell'armatura disposta in corrispondenza del lembo superiore in [MPa]

Fondazione di valle

(L'ascissa X, espressa in [m], è positiva verso monte con origine in corrispondenza dell'estremo libero della fondazione di valle)

Nr.	X	B, H	A _{fs}	A _{fi}	σ _c	τ _c	σ _{fi}	σ _{fs}
1	0.00	1.00, 0.800	0.0025760	0.000770	0.000	0.000	0.000	0.000
2	0.05	1.00, 0.800	0.0025760	0.000770	0.004	0.014	0.395	-0.037
3	0.10	1.00, 0.800	0.0025760	0.000770	0.016	0.027	1.577	-0.149
4	0.15	1.00, 0.800	0.0025760	0.000770	0.037	0.041	3.540	-0.333
5	0.20	1.00, 0.800	0.0025760	0.000770	0.065	0.054	6.279	-0.592
6	0.25	1.00, 0.800	0.0025760	0.000770	0.101	0.067	9.790	-0.922
7	0.30	1.00, 0.800	0.0025760	0.000770	0.145	0.080	14.066	-1.325
8	0.35	1.00, 0.800	0.0025760	0.000770	0.197	0.093	19.104	-1.800
9	0.40	1.00, 0.800	0.0025760	0.000770	0.257	0.106	24.897	-2.346
10	0.45	1.00, 0.800	0.0025760	0.000770	0.325	0.119	31.440	-2.962
11	0.50	1.00, 0.800	0.0025760	0.000770	0.400	0.132	38.729	-3.649

Fondazione di monte

(L'ascissa X, espressa in [m], è positiva verso valle con origine in corrispondenza dell'estremo libero della fondazione di monte)

Nr.	X	B, H	A _{fs}	A _{fi}	σ _c	τ _c	σ _{fi}	σ _{fs}
1	0.00	1.00, 0.800	0.0010050	0.000770	0.000	0.000	0.000	0.000
2	0.35	1.00, 0.800	0.0010050	0.000770	0.048	-0.021	-0.503	3.520
3	0.71	1.00, 0.800	0.0010050	0.000770	0.174	-0.035	-1.812	12.672
4	1.06	1.00, 0.800	0.0010050	0.000770	0.349	-0.043	-3.623	25.338
5	1.42	1.00, 0.800	0.0010050	0.000770	0.542	-0.044	-5.634	39.404
6	1.77	1.00, 0.800	0.0010050	0.000770	0.726	-0.039	-7.543	52.755
7	2.13	1.00, 0.800	0.0010050	0.000770	0.871	-0.026	-9.047	63.274

PV_D_SR_AP_MU_3_C_016-_001_N_001_R_A_0

Muro prefabbricato – MU.3C.016.N – Relazione di Calcolo

8	2.48	1.00, 0.800.0025760.000770	0.656	-0.008	-7.864	27.708
9	2.84	1.00, 0.800.0025760.000770	0.648	0.014	-7.764	27.356
10	3.19	1.00, 0.800.0025760.000770	0.564	0.042	-6.759	23.814
11	3.55	1.00, 0.800.0025760.000770	0.391	0.073	-4.685	16.509

Verifiche a fessurazioneCombinazione n° 18

L'ordinata Y (espressa in [m]) è considerata positiva verso il basso con origine in testa al muro

A_{fs} area di armatura in corrispondenza del lembo di monte in [mq]

A_{fi} area di armatura in corrispondenza del lembo di valle in [mq]

M_{pf} Momento di prima fessurazione espressa in [kNm]

M Momento agente nella sezione espressa in [kNm]

ϵ_m deformazione media espressa in [%]

S_m Distanza media tra le fessure espressa in [mm]

w Apertura media della fessura espressa in [mm]

Verifica fessurazione fondazione

N°	Y	A_{fs}	A_{fi}	M_{pf}	M	ϵ_m	S_m	w
1	-0.65	0.002576	0.000770	-161.28	0.00	0.0000	0.00	0.000
2	-0.60	0.002576	0.000770	150.98	0.22	0.0000	0.00	0.000
3	-0.55	0.002576	0.000770	150.98	0.88	0.0000	0.00	0.000
4	-0.50	0.002576	0.000770	150.98	1.97	0.0000	0.00	0.000
5	-0.45	0.002576	0.000770	150.98	3.50	0.0000	0.00	0.000
6	-0.40	0.002576	0.000770	150.98	5.46	0.0000	0.00	0.000
7	-0.35	0.002576	0.000770	150.98	7.84	0.0000	0.00	0.000
8	-0.30	0.002576	0.000770	150.98	10.65	0.0000	0.00	0.000
9	-0.25	0.002576	0.000770	150.98	13.88	0.0000	0.00	0.000
10	-0.20	0.002576	0.000770	150.98	17.52	0.0000	0.00	0.000
11	-0.15	0.002576	0.000770	150.98	21.59	0.0000	0.00	0.000
12	0.00	0.002576	0.000770	-161.28	-29.59	0.0000	0.00	0.000
13	0.35	0.002576	0.000770	-161.28	-42.69	0.0000	0.00	0.000
14	0.71	0.002576	0.000770	-161.28	-49.04	0.0000	0.00	0.000
15	1.06	0.002576	0.000770	-161.28	-49.67	0.0000	0.00	0.000
16	1.42	0.001005	0.000770	-149.82	-45.61	0.0000	0.00	0.000
17	1.77	0.001005	0.000770	-149.82	-38.03	0.0000	0.00	0.000
18	2.13	0.001005	0.000770	-149.82	-28.40	0.0000	0.00	0.000
19	2.48	0.001005	0.000770	-149.82	-18.26	0.0000	0.00	0.000
20	2.84	0.001005	0.000770	-149.82	-9.13	0.0000	0.00	0.000
21	3.19	0.001005	0.000770	-149.82	-2.54	0.0000	0.00	0.000
22	3.55	0.001005	0.000770	-149.82	0.00	0.0000	0.00	0.000

Sollecitazioni fondazione di valleCombinazione n° 19

L'ascissa X(espressa in m) è considerata positiva verso monte con origine in corrispondenza dell'estremo libero della fondazione di valle

Momento positivo se tende le fibre inferiori, espresso in kNm

Taglio positivo se diretto verso l'alto, espresso in kN

Nr.	X	M	T
1	0.00	0.0000	0.0000
2	0.05	0.2202	8.7968
3	0.10	0.8787	17.5362
4	0.15	1.9728	26.2182
5	0.20	3.4996	34.8427
6	0.25	5.4561	43.4099
7	0.30	7.8396	51.9196
8	0.35	10.6471	60.3720
9	0.40	13.8759	68.7669
10	0.45	17.5229	77.1044
11	0.50	21.5853	85.3844

Sollecitazioni fondazione di monteCombinazione n° 19

L'ascissa X(espressa in m) è considerata positiva verso valle con origine in corrispondenza dell'estremo libero della fondazione di monte

Momento positivo se tende le fibre inferiori, espresso in kNm

Taglio positivo se diretto verso l'alto, espresso in kN

PV_D_SR_AP_MU_3_C_016-_001_N_001_R_A_0

Muro prefabbricato – MU.3C.016.N – Relazione di Calcolo

Nr.	X	M	T
1	0.00	0.0000	0.0000
2	0.35	-2.5376	-13.5806
3	0.71	-9.1339	-22.8658
4	1.06	-18.2641	-27.8557
5	1.42	-28.4032	-28.5501
6	1.77	-38.0264	-24.9492
7	2.13	-45.6088	-17.0529
8	2.48	-49.6686	-5.3128
9	2.84	-49.0378	9.3489
10	3.19	-42.6883	26.9048
11	3.55	-29.5928	47.3550

Armature e tensioni nei materiali della fondazioneCombinazione n° 19

Simbologia adottata

B	base della sezione espressa in [m]
H	altezza della sezione espressa in [m]
A _{fi}	area di armatura in corrispondenza del lembo inferiore in [mq]
A _{fs}	area di armatura in corrispondenza del lembo superiore in [mq]
σ _c	tensione nel calcestruzzo espressa in [MPa]
τ _c	tensione tangenziale nel calcestruzzo espressa in [MPa]
σ _{fi}	tensione nell'armatura disposta in corrispondenza del lembo inferiore in [MPa]
σ _{fs}	tensione nell'armatura disposta in corrispondenza del lembo superiore in [MPa]

Fondazione di valle

(L'ascissa X, espressa in [m], è positiva verso monte con origine in corrispondenza dell'estremo libero della fondazione di valle)

Nr.	X	B, H	A _{fs}	A _{fi}	σ _c	τ _c	σ _{fi}	σ _{fs}
1	0.00	1.00, 0.800	0.0025760	0.000770	0.000	0.000	0.000	0.000
2	0.05	1.00, 0.800	0.0025760	0.000770	0.004	0.014	0.395	-0.037
3	0.10	1.00, 0.800	0.0025760	0.000770	0.016	0.027	1.577	-0.149
4	0.15	1.00, 0.800	0.0025760	0.000770	0.037	0.041	3.540	-0.333
5	0.20	1.00, 0.800	0.0025760	0.000770	0.065	0.054	6.279	-0.592
6	0.25	1.00, 0.800	0.0025760	0.000770	0.101	0.067	9.790	-0.922
7	0.30	1.00, 0.800	0.0025760	0.000770	0.145	0.080	14.066	-1.325
8	0.35	1.00, 0.800	0.0025760	0.000770	0.197	0.093	19.104	-1.800
9	0.40	1.00, 0.800	0.0025760	0.000770	0.257	0.106	24.897	-2.346
10	0.45	1.00, 0.800	0.0025760	0.000770	0.325	0.119	31.440	-2.962
11	0.50	1.00, 0.800	0.0025760	0.000770	0.400	0.132	38.729	-3.649

Fondazione di monte

(L'ascissa X, espressa in [m], è positiva verso valle con origine in corrispondenza dell'estremo libero della fondazione di monte)

Nr.	X	B, H	A _{fs}	A _{fi}	σ _c	τ _c	σ _{fi}	σ _{fs}
1	0.00	1.00, 0.800	0.0010050	0.000770	0.000	0.000	0.000	0.000
2	0.35	1.00, 0.800	0.0010050	0.000770	0.048	-0.021	-0.503	3.520
3	0.71	1.00, 0.800	0.0010050	0.000770	0.174	-0.035	-1.812	12.672
4	1.06	1.00, 0.800	0.0010050	0.000770	0.349	-0.043	-3.623	25.338
5	1.42	1.00, 0.800	0.0010050	0.000770	0.542	-0.044	-5.634	39.404
6	1.77	1.00, 0.800	0.0010050	0.000770	0.726	-0.039	-7.543	52.755
7	2.13	1.00, 0.800	0.0010050	0.000770	0.871	-0.026	-9.047	63.274
8	2.48	1.00, 0.800	0.0025760	0.000770	0.656	-0.008	-7.864	27.708
9	2.84	1.00, 0.800	0.0025760	0.000770	0.648	0.014	-7.764	27.356
10	3.19	1.00, 0.800	0.0025760	0.000770	0.564	0.042	-6.759	23.814
11	3.55	1.00, 0.800	0.0025760	0.000770	0.391	0.073	-4.685	16.509

Verifiche a fessurazioneCombinazione n° 19

L'ordinata Y (espressa in [m]) è considerata positiva verso il basso con origine in testa al muro

A _{fs}	area di armatura in corrispondenza del lembo di monte in [mq]
A _{fi}	area di armatura in corrispondenza del lembo di valle in [mq]
M _{pf}	Momento di prima fessurazione espressa in [kNm]
M	Momento agente nella sezione espressa in [kNm]

PV_D_SR_AP_MU_3_C_016-_001_N_001_R_A_0

Muro prefabbricato – MU.3C.016.N – Relazione di Calcolo

ϵ_m deformazione media espressa in [%]
 S_m Distanza media tra le fessure espressa in [mm]
 w Apertura media della fessura espressa in [mm]

Verifica fessurazione fondazione

N°	Y	A_{fs}	A_{fi}	M_{pf}	M	ϵ_m	S_m	w
1	-0.65	0.002576	0.000770	-161.28	0.00	0.0000	0.00	0.000
2	-0.60	0.002576	0.000770	150.98	0.22	0.0000	0.00	0.000
3	-0.55	0.002576	0.000770	150.98	0.88	0.0000	0.00	0.000
4	-0.50	0.002576	0.000770	150.98	1.97	0.0000	0.00	0.000
5	-0.45	0.002576	0.000770	150.98	3.50	0.0000	0.00	0.000
6	-0.40	0.002576	0.000770	150.98	5.46	0.0000	0.00	0.000
7	-0.35	0.002576	0.000770	150.98	7.84	0.0000	0.00	0.000
8	-0.30	0.002576	0.000770	150.98	10.65	0.0000	0.00	0.000
9	-0.25	0.002576	0.000770	150.98	13.88	0.0000	0.00	0.000
10	-0.20	0.002576	0.000770	150.98	17.52	0.0000	0.00	0.000
11	-0.15	0.002576	0.000770	150.98	21.59	0.0000	0.00	0.000
12	0.00	0.002576	0.000770	-161.28	-29.59	0.0000	0.00	0.000
13	0.35	0.002576	0.000770	-161.28	-42.69	0.0000	0.00	0.000
14	0.71	0.002576	0.000770	-161.28	-49.04	0.0000	0.00	0.000
15	1.06	0.002576	0.000770	-161.28	-49.67	0.0000	0.00	0.000
16	1.42	0.001005	0.000770	-149.82	-45.61	0.0000	0.00	0.000
17	1.77	0.001005	0.000770	-149.82	-38.03	0.0000	0.00	0.000
18	2.13	0.001005	0.000770	-149.82	-28.40	0.0000	0.00	0.000
19	2.48	0.001005	0.000770	-149.82	-18.26	0.0000	0.00	0.000
20	2.84	0.001005	0.000770	-149.82	-9.13	0.0000	0.00	0.000
21	3.19	0.001005	0.000770	-149.82	-2.54	0.0000	0.00	0.000
22	3.55	0.001005	0.000770	-149.82	0.00	0.0000	0.00	0.000

2.1.5. Tipo Gettato in opera - Altezza fuori terra 5.50m < H < 11.00m

Normativa

N.T.C. 2008 - Approccio 1

Simbologia adottata

γ_{Gsfav}	Coefficiente parziale sfavorevole sulle azioni permanenti
γ_{Gfav}	Coefficiente parziale favorevole sulle azioni permanenti
γ_{Qsfav}	Coefficiente parziale sfavorevole sulle azioni variabili
γ_{Qfav}	Coefficiente parziale favorevole sulle azioni variabili
$\gamma_{tan\phi}$	Coefficiente parziale di riduzione dell'angolo di attrito drenato
$\gamma_{c'}$	Coefficiente parziale di riduzione della coesione drenata
γ_{cu}	Coefficiente parziale di riduzione della coesione non drenata
γ_{qu}	Coefficiente parziale di riduzione del carico ultimo
γ_{γ}	Coefficiente parziale di riduzione della resistenza a compressione uniassiale delle rocce

Coefficienti di partecipazione combinazioni statiche

Coefficienti parziali per le azioni o per l'effetto delle azioni:

Carichi	Effetto		A1	A2	EQU	HYD
Permanenti	Favorevole	γ_{Gfav}	1.00	1.00	0.90	0.90
Permanenti	Sfavorevole	γ_{Gsfav}	1.30	1.00	1.10	1.30
Variabili	Favorevole	γ_{Qfav}	0.00	0.00	0.00	0.00
Variabili	Sfavorevole	γ_{Qsfav}	1.50	1.30	1.50	1.50

Coefficienti parziali per i parametri geotecnici del terreno:

Parametri		M1	M2	M2	M1
Tangente dell'angolo di attrito	$\gamma_{tan\phi}$	1.00	1.25	1.25	1.00
Coesione efficace	$\gamma_{c'}$	1.00	1.25	1.25	1.00
Resistenza non drenata	γ_{cu}	1.00	1.40	1.40	1.00
Resistenza a compressione uniassiale	γ_{qu}	1.00	1.60	1.60	1.00
Peso dell'unità di volume	γ_{γ}	1.00	1.00	1.00	1.00

Coefficienti di partecipazione combinazioni sismiche

Coefficienti parziali per le azioni o per l'effetto delle azioni:

Carichi	Effetto		A1	A2	EQU	HYD
Permanenti	Favorevole	γ_{Gfav}	1.00	1.00	1.00	0.90
Permanenti	Sfavorevole	γ_{Gsfav}	1.00	1.00	1.00	1.30
Variabili	Favorevole	γ_{Qfav}	0.00	0.00	0.00	0.00
Variabili	Sfavorevole	γ_{Qsfav}	1.00	1.00	1.00	1.50

Coefficienti parziali per i parametri geotecnici del terreno:

Parametri		M1	M2	M2	M1
Tangente dell'angolo di attrito	$\gamma_{tan\phi}$	1.00	1.25	1.25	1.00
Coesione efficace	$\gamma_{c'}$	1.00	1.25	1.25	1.00
Resistenza non drenata	γ_{cu}	1.00	1.40	1.40	1.00
Resistenza a compressione uniassiale	γ_{qu}	1.00	1.60	1.60	1.00
Peso dell'unità di volume	γ_{γ}	1.00	1.00	1.00	1.00

FONDAZIONE SUPERFICIALE

Coefficienti parziali γ_R per le verifiche agli stati limite ultimi STR e GEO

Verifica	Coefficienti parziali		
	R1	R2	R3
Capacità portante della fondazione	1.00	1.00	1.40
Scorrimento	1.00	1.00	1.10
Resistenza del terreno a valle	1.00	1.00	1.40
Stabilità globale		1.10	

Geometria muro e fondazione

Descrizione

Muro a gradoni in c.a.

Descrizione dei gradoni

PV_D_SR_AP_MU_3_C_016-_001_N_001_R_A_0

Muro prefabbricato – MU.3C.016.N – Relazione di Calcolo**Simbologia adottata**

Nr.	numero d'ordine del gradone (a partire dall'alto)
Bs	base superiore del gradone espressa in [m]
Bi	base inferiore del gradone espressa in [m]
Hg	altezza del gradone espressa in [m]
α_e	inclinazione esterna del gradone espressa in [°]
α_i	inclinazione interna del gradone espressa in [°]

Nr.	Bs	Bi	Hg	α_e	α_i
1	0.50	0.50	5.50	0.00	0.00
2	1.00	1.00	5.50	0.00	0.00

Altezza del paramento 11.00 [m]

Fondazione

Lunghezza mensola fondazione di valle	0.50 [m]
Lunghezza mensola fondazione di monte	8.35 [m]
Lunghezza totale fondazione	9.85 [m]
Inclinazione piano di posa della fondazione	0.00 [°]
Spessore fondazione	1.80 [m]
Spessore magrone	0.10 [m]

Materiali utilizzati per la struttura**Calcestruzzo**

Peso specifico	25.000 [kN/mc]
Classe di Resistenza	C28/35
Resistenza caratteristica a compressione R_{ck}	35.00 [MPa]
Modulo elastico E	32587.986 [MPa]

Acciaio

Tipo	B450C
Tensione di snervamento σ_{fa}	449.94 [MPa]

Geometria profilo terreno a monte del muro**Simbologia adottata e sistema di riferimento**

(Sistema di riferimento con origine in testa al muro, ascissa X positiva verso monte, ordinata Y positiva verso l'alto)

N	numero ordine del punto
X	ascissa del punto espressa in [m]
Y	ordinata del punto espressa in [m]
A	inclinazione del tratto espressa in [°]

N	X	Y	A
1	1.35	0.00	0.00
2	9.67	5.00	31.00
3	30.00	5.00	0.00

Terreno a valle del muro

Inclinazione terreno a valle del muro rispetto all'orizzontale	0.00 [°]
Altezza del rinterro rispetto all'attacco fondaz.valle-paramento	0.60 [m]

Descrizione terreni**Simbologia adottata**

Nr.	Indice del terreno
Descrizione	Descrizione terreno
γ	Peso di volume del terreno espresso in [kN/mc]
γ_s	Peso di volume saturo del terreno espresso in [kN/mc]
ϕ	Angolo d'attrito interno espresso in [°]
δ	Angolo d'attrito terra-muro espresso in [°]
c	Coesione espressa in [MPa]
c_a	Adesione terra-muro espressa in [MPa]

Descrizione	γ	γ_s	ϕ	δ	c	c_a
PV_D_SR_AP_MU_3_C_016-_001_N_001_R_A_0						

Muro prefabbricato – MU.3C.016.N – Relazione di Calcolo

AL1	18.50	18.50	38.00	25.33	0.0000	0.0000
AL1 - Paramento	18.50	18.50	38.00	25.33	0.0000	0.0000
AL1 - Fondazione	18.50	18.50	38.00	38.00	0.0000	0.0000

Stratigrafia*Simbologia adottata*

N	Indice dello strato
H	Spessore dello strato espresso in [m]
a	Inclinazione espressa in [°]
Kw	Costante di Winkler orizzontale espressa in Kg/cm ² /cm
Ks	Coefficiente di spinta
Terreno	Terreno dello strato

Nr.	H	a	Kw	Ks	Terreno
1	0.10	0.00	13.68	0.00	AL1
2	20.00	0.00	29.17	0.00	AL1 - Fondazione

Terreno di riempimento

AL1 - Paramento

Condizioni di carico*Simbologia e convenzioni di segno adottate*

Carichi verticali positivi verso il basso.

Carichi orizzontali positivi verso sinistra.

Momento positivo senso antiorario.

X	Ascissa del punto di applicazione del carico concentrato espressa in [m]
F _x	Componente orizzontale del carico concentrato espressa in [kN]
F _y	Componente verticale del carico concentrato espressa in [kN]
M	Momento espresso in [kNm]
X _i	Ascissa del punto iniziale del carico ripartito espressa in [m]
X _f	Ascissa del punto finale del carico ripartito espressa in [m]
Q _i	Intensità del carico per x=X _i espressa in [kN/m]
Q _f	Intensità del carico per x=X _f espressa in [kN/m]
D / C	Tipo carico : D=distribuito C=concentrato

Condizione n° 1 (Vento)

C	Paramento	X=0.00	Y=0.00	F _x =3.0000	F _y =0.0000	M=6.0000
---	-----------	--------	--------	------------------------	------------------------	----------

Descrizione combinazioni di carico*Simbologia adottata*

F/S	Effetto dell'azione (FAV: Favorevole, SFAV: Sfavorevole)
γ	Coefficiente di partecipazione della condizione
ψ	Coefficiente di combinazione della condizione

Combinazione n° 1 - Caso A1-M1 (STR)

	S/F	γ	ψ	γ * ψ
Peso proprio muro	FAV	1.00	1.00	1.00
Peso proprio terrapieno	FAV	1.00	1.00	1.00
Spinta terreno	SFAV	1.30	1.00	1.30

Combinazione n° 2 - Caso A2-M2 (GEO)

	S/F	γ	ψ	γ * ψ
Peso proprio muro	SFAV	1.00	1.00	1.00
Peso proprio terrapieno	SFAV	1.00	1.00	1.00
Spinta terreno	SFAV	1.00	1.00	1.00

Combinazione n° 3 - Caso EQU (SLU)

	S/F	γ	ψ	γ * ψ
Peso proprio muro	FAV	0.90	1.00	0.90
Peso proprio terrapieno	FAV	0.90	1.00	0.90
Spinta terreno	SFAV	1.10	1.00	1.10

Combinazione n° 4 - Caso A2-M2 (GEO-STAB)

	S/F	γ	ψ	γ * ψ
Peso proprio muro	SFAV	1.00	1.00	1.00
Peso proprio terrapieno	SFAV	1.00	1.00	1.00
Spinta terreno	SFAV	1.00	1.00	1.00

Combinazione n° 5 - Caso A1-M1 (STR)

PV_D_SR_AP_MU_3_C_016-_001_N_001_R_A_0

Muro prefabbricato – MU.3C.016.N – Relazione di Calcolo

	S/F	γ	Ψ	$\gamma * \Psi$
Peso proprio muro	FAV	1.00	1.00	1.00
Peso proprio terrapieno	FAV	1.00	1.00	1.00
Spinta terreno	SFAV	1.30	1.00	1.30
Vento	SFAV	1.50	1.00	1.50

Combinazione n° 6 - Caso A2-M2 (GEO)

	S/F	γ	Ψ	$\gamma * \Psi$
Peso proprio muro	SFAV	1.00	1.00	1.00
Peso proprio terrapieno	SFAV	1.00	1.00	1.00
Spinta terreno	SFAV	1.00	1.00	1.00
Vento	SFAV	1.30	1.00	1.30

Combinazione n° 7 - Caso EQU (SLU)

	S/F	γ	Ψ	$\gamma * \Psi$
Peso proprio muro	FAV	0.90	1.00	0.90
Peso proprio terrapieno	FAV	0.90	1.00	0.90
Spinta terreno	SFAV	1.10	1.00	1.10
Vento	SFAV	1.50	1.00	1.50

Combinazione n° 8 - Caso A2-M2 (GEO-STAB)

	S/F	γ	Ψ	$\gamma * \Psi$
Peso proprio muro	SFAV	1.00	1.00	1.00
Peso proprio terrapieno	SFAV	1.00	1.00	1.00
Spinta terreno	SFAV	1.00	1.00	1.00
Vento	SFAV	1.30	1.00	1.30

Combinazione n° 9 - Caso A1-M1 (STR) - Sisma Vert. positivo

	S/F	γ	Ψ	$\gamma * \Psi$
Peso proprio muro	SFAV	1.00	1.00	1.00
Peso proprio terrapieno	SFAV	1.00	1.00	1.00
Spinta terreno	SFAV	1.00	1.00	1.00

Combinazione n° 10 - Caso A1-M1 (STR) - Sisma Vert. negativo

	S/F	γ	Ψ	$\gamma * \Psi$
Peso proprio muro	SFAV	1.00	1.00	1.00
Peso proprio terrapieno	SFAV	1.00	1.00	1.00
Spinta terreno	SFAV	1.00	1.00	1.00

Combinazione n° 11 - Caso A2-M2 (GEO) - Sisma Vert. positivo

	S/F	γ	Ψ	$\gamma * \Psi$
Peso proprio muro	SFAV	1.00	1.00	1.00
Peso proprio terrapieno	SFAV	1.00	1.00	1.00
Spinta terreno	SFAV	1.00	1.00	1.00

Combinazione n° 12 - Caso A2-M2 (GEO) - Sisma Vert. negativo

	S/F	γ	Ψ	$\gamma * \Psi$
Peso proprio muro	SFAV	1.00	1.00	1.00
Peso proprio terrapieno	SFAV	1.00	1.00	1.00
Spinta terreno	SFAV	1.00	1.00	1.00

Combinazione n° 13 - Caso EQU (SLU) - Sisma Vert. positivo

	S/F	γ	Ψ	$\gamma * \Psi$
Peso proprio muro	FAV	1.00	1.00	1.00
Peso proprio terrapieno	FAV	1.00	1.00	1.00
Spinta terreno	SFAV	1.00	1.00	1.00

Combinazione n° 14 - Caso EQU (SLU) - Sisma Vert. negativo

	S/F	γ	Ψ	$\gamma * \Psi$
Peso proprio muro	FAV	1.00	1.00	1.00

PV_D_SR_AP_MU_3_C_016-_001_N_001_R_A_0

Muro prefabbricato – MU.3C.016.N – Relazione di Calcolo

Peso proprio terrapieno	FAV	1.00	1.00	1.00
Spinta terreno	SFAV	1.00	1.00	1.00

Combinazione n° 15 - Caso A2-M2 (GEO-STAB) - Sisma Vert. positivo

	S/F	γ	Ψ	$\gamma * \Psi$
Peso proprio muro	SFAV	1.00	1.00	1.00
Peso proprio terrapieno	SFAV	1.00	1.00	1.00
Spinta terreno	SFAV	1.00	1.00	1.00

Combinazione n° 16 - Caso A2-M2 (GEO-STAB) - Sisma Vert. negativo

	S/F	γ	Ψ	$\gamma * \Psi$
Peso proprio muro	SFAV	1.00	1.00	1.00
Peso proprio terrapieno	SFAV	1.00	1.00	1.00
Spinta terreno	SFAV	1.00	1.00	1.00

Combinazione n° 17 - Quasi Permanente (SLE)

	S/F	γ	Ψ	$\gamma * \Psi$
Peso proprio muro	--	1.00	1.00	1.00
Peso proprio terrapieno	--	1.00	1.00	1.00
Spinta terreno	--	1.00	1.00	1.00
Vento	SFAV	1.00	1.00	1.00

Combinazione n° 18 - Frequente (SLE)

	S/F	γ	Ψ	$\gamma * \Psi$
Peso proprio muro	--	1.00	1.00	1.00
Peso proprio terrapieno	--	1.00	1.00	1.00
Spinta terreno	--	1.00	1.00	1.00
Vento	SFAV	1.00	1.00	1.00

Combinazione n° 19 - Rara (SLE)

	S/F	γ	Ψ	$\gamma * \Psi$
Peso proprio muro	--	1.00	1.00	1.00
Peso proprio terrapieno	--	1.00	1.00	1.00
Spinta terreno	--	1.00	1.00	1.00
Vento	SFAV	1.00	1.00	1.00

Impostazioni di analisi

Metodo verifica sezioni

Stato limite**Impostazioni verifiche SLU**Coefficienti parziali per resistenze di calcolo dei materiali

Coefficiente di sicurezza calcestruzzo a compressione	1.60
Coefficiente di sicurezza calcestruzzo a trazione	1.60
Coefficiente di sicurezza acciaio	1.15
Fattore riduzione da resistenza cubica a cilindrica	0.83
Fattore di riduzione per carichi di lungo periodo	0.85
Coefficiente di sicurezza per la sezione	1.00

Impostazioni verifiche SLE

Condizioni ambientali

Ordinarie

Armatura ad aderenza migliorata

Verifica fessurazione

Sensibilità delle armature

Sensibile

Valori limite delle aperture delle fessure

 $w_1 = 0.20$ $w_2 = 0.30$ $w_3 = 0.40$

Metodo di calcolo aperture delle fessure

Circ. Min. 252 (15/10/1996)

Verifica delle tensioni

Combinazione di carico

Rara $\sigma_c < 0.60 f_{ck}$ - $\sigma_f < 0.80 f_{yk}$

PV_D_SR_AP_MU_3_C_016-_001_N_001_R_A_0

Quasi permanente $\sigma_c < 0.45 f_{ck}$ Calcolo della portanza metodo di VesicCoefficiente correttivo su N_γ per effetti cinematici (combinazioni sismiche SLU): 1.00Coefficiente correttivo su N_γ per effetti cinematici (combinazioni sismiche SLE): 1.00**Impostazioni avanzate**

Componente verticale della spinta nel calcolo delle sollecitazioni

Influenza del terreno sulla fondazione di valle nelle verifiche e nel calcolo delle sollecitazioni

Diagramma correttivo per eccentricità negativa con aliquota di parzializzazione pari a 0.00

Quadro riassuntivo coeff. di sicurezza calcolati**Simbologia adottata**

C	Identificativo della combinazione
Tipo	Tipo combinazione
Sisma	Combinazione sismica
CS_{SCO}	Coeff. di sicurezza allo scorrimento
CS_{RIB}	Coeff. di sicurezza al ribaltamento
CS_{QLIM}	Coeff. di sicurezza a carico limite
CS_{STAB}	Coeff. di sicurezza a stabilità globale

C	Tipo	Sisma	CS_{sco}	CS_{rib}	CS_{qlim}	CS_{stab}
1	A1-M1 - [1]	--	3.87	--	16.32	--
2	A2-M2 - [1]	--	2.95	--	6.52	--
3	EQU - [1]	--	--	3.82	--	--
4	STAB - [1]	--	--	--	--	1.81
5	A1-M1 - [2]	--	3.84	--	16.19	--
6	A2-M2 - [2]	--	2.94	--	6.47	--
7	EQU - [2]	--	--	3.77	--	--
8	STAB - [2]	--	--	--	--	1.81
9	A1-M1 - [3]	Orizzontale + Verticale positivo	2.71	--	10.28	--
10	A1-M1 - [3]	Orizzontale + Verticale negativo	2.58	--	10.66	--
11	A2-M2 - [3]	Orizzontale + Verticale positivo	1.81	--	3.24	--
12	A2-M2 - [3]	Orizzontale + Verticale negativo	1.73	--	3.33	--
13	EQU - [3]	Orizzontale + Verticale positivo	--	2.68	--	--
14	EQU - [3]	Orizzontale + Verticale negativo	--	2.41	--	--
15	STAB - [3]	Orizzontale + Verticale positivo	--	--	--	1.49
16	STAB - [3]	Orizzontale + Verticale negativo	--	--	--	1.46
17	SLEQ - [1]	--	4.83	--	19.35	--
18	SLEF - [1]	--	4.83	--	19.35	--
19	SLER - [1]	--	4.83	--	19.35	--

Analisi della spinta e verifiche

Sistema di riferimento adottato per le coordinate :

Origine in testa al muro (spigolo di monte)

Ascisse X (espresse in [m]) positive verso monte

Ordinate Y (espresse in [m]) positive verso l'alto

Le forze orizzontali sono considerate positive se agenti da monte verso valle

Le forze verticali sono considerate positive se agenti dall'alto verso il basso

Calcolo riferito ad 1 metro di muro

Tipo di analisi

Calcolo della spinta

metodo di Culmann

Calcolo del carico limite

metodo di Vesic

Calcolo della stabilità globale

metodo di Bishop

Calcolo della spinta in condizioni di

Spinta attiva

Sisma**Combinazioni SLU**Accelerazione al suolo a_g 3.28 [m/s²]

Coefficiente di amplificazione per tipo di sottosuolo (S)

1.07

Coefficiente di amplificazione topografica (St)

1.00

Muro prefabbricato – MU.3C.016.N – Relazione di Calcolo

Coefficiente riduzione (β_m)	0.31		
Rapporto intensità sismica verticale/orizzontale	0.50		
Coefficiente di intensità sismica orizzontale (percento)	$k_h=(a_g/g*\beta_m*St*S) = 11.13$		
Coefficiente di intensità sismica verticale (percento)	$k_v=0.50 * k_h = 5.56$		
Combinazioni SLE			
Accelerazione al suolo a_g	1.27 [m/s ²]		
Coefficiente di amplificazione per tipo di sottosuolo (S)	1.20		
Coefficiente di amplificazione topografica (St)	1.00		
Coefficiente riduzione (β_m)	0.24		
Rapporto intensità sismica verticale/orizzontale	0.50		
Coefficiente di intensità sismica orizzontale (percento)	$k_h=(a_g/g*\beta_m*St*S) = 3.74$		
Coefficiente di intensità sismica verticale (percento)	$k_v=0.50 * k_h = 1.87$		
Forma diagramma incremento sismico	Stessa forma diagramma statico		
Partecipazione spinta passiva (percento)	50.0		
Lunghezza del muro	9.60 [m]		
Peso muro	649.5000 [kN]		
Baricentro del muro	X=2.65 Y=-10.16		
<u>Superficie di spinta</u>			
Punto inferiore superficie di spinta	X = 8.85	Y = -12.80	
Punto superiore superficie di spinta	X = 8.85	Y = 4.51	
Altezza della superficie di spinta	17.31 [m]		
Inclinazione superficie di spinta(rispetto alla verticale)	0.00 [°]		
<u>COMBINAZIONE n° 1</u>			
Peso muro favorevole e Peso terrapieno favorevole			
Valore della spinta statica	851.2296 [kN]		
Componente orizzontale della spinta statica	680.8773 [kN]		
Componente verticale della spinta statica	510.8795 [kN]		
Punto d'applicazione della spinta	X = 8.85 [m]	Y = -6.81 [m]	
Inclinaz. della spinta rispetto alla normale alla superficie	36.88 [°]		
Inclinazione linea di rottura in condizioni statiche	59.15 [°]		
Peso terrapieno gravante sulla fondazione a monte	2062.7878 [kN]		
Baricentro terrapieno gravante sulla fondazione a monte	X = 4.82 [m]	Y = -4.37 [m]	
<u>Risultanti</u>			
Risultante dei carichi applicati in dir. orizzontale	680.8773 [kN]		
Risultante dei carichi applicati in dir. verticale	3228.7173 [kN]		
Resistenza passiva a valle del muro	-111.9878 [kN]		
Sforzo normale sul piano di posa della fondazione	3228.7173 [kN]		
Sforzo tangenziale sul piano di posa della fondazione	680.8773 [kN]		
Eccentricità rispetto al baricentro della fondazione	0.18 [m]		
Lunghezza fondazione reagente	9.85 [m]		
Risultante in fondazione	3299.7287 [kN]		
Inclinazione della risultante (rispetto alla normale)	11.91 [°]		
Momento rispetto al baricentro della fondazione	572.3106 [kNm]		
Carico ultimo della fondazione	52695.6104 [kN]		
<u>Tensioni sul terreno</u>			
Lunghezza fondazione reagente	9.85 [m]		
Tensione terreno allo spigolo di valle	0.36318 [MPa]		
Tensione terreno allo spigolo di monte	0.29240 [MPa]		
<u>Fattori per il calcolo della capacità portante</u>			
Coeff. capacità portante	$N_c = 61.35$	$N_q = 48.93$	$N_\gamma = 78.02$
Fattori forma	$s_c = 1.00$	$s_q = 1.00$	$s_\gamma = 1.00$
Fattori inclinazione	$i_c = 0.70$	$i_q = 0.70$	$i_\gamma = 0.55$

Muro prefabbricato – MU.3C.016.N – Relazione di Calcolo

Fattori profondità	$d_c = 1.10$	$d_q = 1.06$	$d_y = 1.00$
Fattori inclinazione piano posa	$b_c = 1.00$	$b_q = 1.00$	$b_y = 1.00$
Fattori inclinazione pendio	$g_c = 1.00$	$g_q = 1.00$	$g_y = 1.00$

I coefficienti N' tengono conto dei fattori di forma, profondità, inclinazione carico, inclinazione piano di posa, inclinazione pendio.

$$N'_c = 46.85 \qquad N'_q = 36.29 \qquad N'_y = 43.23$$

COEFFICIENTI DI SICUREZZA

Coefficiente di sicurezza a scorrimento	3.87
Coefficiente di sicurezza a carico ultimo	16.32

Sollecitazioni fondazione di valleCombinazione n° 1

L'ascissa X(espressa in m) è considerata positiva verso monte con origine in corrispondenza dell'estremo libero della fondazione di valle

Momento positivo se tende le fibre inferiori, espresso in kNm

Taglio positivo se diretto verso l'alto, espresso in kN

Nr.	X	M	T
1	0.00	0.0000	0.0000
2	0.05	0.3795	15.1786
3	0.10	1.5176	30.3392
4	0.15	3.4132	45.4818
5	0.20	6.0654	60.6065
6	0.25	9.4735	75.7132
7	0.30	13.6365	90.8019
8	0.35	18.5534	105.8727
9	0.40	24.2234	120.9255
10	0.45	30.6456	135.9603
11	0.50	37.8192	150.9772

Sollecitazioni fondazione di monteCombinazione n° 1

L'ascissa X(espressa in m) è considerata positiva verso valle con origine in corrispondenza dell'estremo libero della fondazione di monte

Momento positivo se tende le fibre inferiori, espresso in kNm

Taglio positivo se diretto verso l'alto, espresso in kN

Nr.	X	M	T
1	0.00	0.0000	0.0000
2	0.83	-41.6694	-97.2924
3	1.67	-158.2790	-179.4973
4	2.50	-337.2306	-246.6147
5	3.34	-565.9261	-298.6445
6	4.17	-831.7675	-335.5868
7	5.01	-1122.1566	-357.4415
8	5.84	-1424.4954	-364.2087
9	6.68	-1726.1858	-355.8884
10	7.51	-2014.6297	-332.4821
11	8.35	-2278.7082	-299.2063

Armature e tensioni nei materiali della fondazioneCombinazione n° 1

Simbologia adottata

B	base della sezione espressa in [m]
H	altezza della sezione espressa in [m]
A_{fi}	area di armatura in corrispondenza del lembo inferiore in [mq]
A_{fs}	area di armatura in corrispondenza del lembo superiore in [mq]
N_u	sforzo normale ultimo espresso in [kN]
M_u	momento ultimo espresso in [kNm]
CS	coefficiente sicurezza sezione
V_{Rcd}	Aliquota di taglio assorbito dal cls, espresso in [kN]
V_{Rsd}	Aliquota di taglio assorbito dall'armatura, espresso in [kN]
V_{Rd}	Resistenza al taglio, espresso in [kN]

Fondazione di valle

(L'ascissa X, espressa in [m], è positiva verso monte con origine in corrispondenza dell'estremo libero della fondazione di valle)

Nr.	Y	B, H	A_{fs}	A_{fi}	N_u	M_u	CS	V_{Rd}	V_{Rcd}	V_{Rsd}
1	0.00	1.00, 1.800	0.0037170	0.003717	0.00	0.00	1000.00	518.73	--	--

PV_D_SR_AP_MU_3_C_016-_001_N_001_R_A_0

Muro prefabbricato – MU.3C.016.N – Relazione di Calcolo

2	0.05	1.00, 1.800.0037170.003717	0.00	2489.23	6558.55	518.73	--	--
3	0.10	1.00, 1.800.0037170.003717	0.00	2489.23	1640.29	518.73	--	--
4	0.15	1.00, 1.800.0037170.003717	0.00	2489.23	729.30	518.73	--	--
5	0.20	1.00, 1.800.0037170.003717	0.00	2489.23	410.40	518.73	--	--
6	0.25	1.00, 1.800.0037170.003717	0.00	2489.23	262.76	518.73	--	--
7	0.30	1.00, 1.800.0037170.003717	0.00	2489.23	182.54	518.73	--	--
8	0.35	1.00, 1.800.0037170.003717	0.00	2489.23	134.17	518.73	--	--
9	0.40	1.00, 1.800.0037170.003717	0.00	2489.23	102.76	518.73	--	--
10	0.45	1.00, 1.800.0037170.003717	0.00	2489.23	81.23	518.73	--	--
11	0.50	1.00, 1.800.0037170.003717	0.00	2489.23	65.82	518.73	--	--

Fondazione di monte

(L'ascissa X, espressa in [m], è positiva verso valle con origine in corrispondenza dell'estremo libero della fondazione di monte)

Nr.	Y	B, H	A _{fs}	A _{fi}	N _u	M _u	CS	V _{Rd}	V _{Rcd}	V _{Rsd}
1	0.00	1.00, 1.800.0037170.003717			0.00	0.00	1000.00	518.73	--	--
2	0.83	1.00, 1.800.0037170.003717			0.00	-2489.23	59.74	518.73	--	--
3	1.67	1.00, 1.800.0037170.003717			0.00	-2489.23	15.73	518.73	--	--
4	2.50	1.00, 1.800.0037170.003717			0.00	-2489.23	7.38	6021.08	6021.08	97523.99
5	3.34	1.00, 1.800.0037170.003717			0.00	-2489.23	4.40	6021.08	6021.08	97523.99
6	4.17	1.00, 1.800.0042470.003717			0.00	-2839.82	3.41	6021.08	6021.08	97523.99
7	5.01	1.00, 1.800.0042470.003717			0.00	-2839.82	2.53	518.73	--	--
8	5.84	1.00, 1.800.0042470.003717			0.00	-2839.82	1.99	518.73	--	--
9	6.68	1.00, 1.800.0058400.003717			0.00	-3884.58	2.25	518.73	--	--
10	7.51	1.00, 1.800.0058400.003717			0.00	-3884.58	1.93	518.73	--	--
11	8.35	1.00, 1.800.0053090.003717			0.00	-3537.49	1.55	518.73	--	--

COMBINAZIONE n° 2

Valore della spinta statica	808.0639	[kN]		
Componente orizzontale della spinta statica	692.7688	[kN]		
Componente verticale della spinta statica	415.9792	[kN]		
Punto d'applicazione della spinta	X = 8.85	[m]	Y = -6.81	[m]
Inclinaz. della spinta rispetto alla normale alla superficie	30.98	[°]		
Inclinazione linea di rottura in condizioni statiche	55.51	[°]		
Peso terrapieno gravante sulla fondazione a monte	2062.7878	[kN]		
Baricentro terrapieno gravante sulla fondazione a monte	X = 4.82	[m]	Y = -4.37	[m]

Risultanti

Risultante dei carichi applicati in dir. orizzontale	692.7688	[kN]
Risultante dei carichi applicati in dir. verticale	3133.8170	[kN]
Resistenza passiva a valle del muro	-86.7256	[kN]
Sforzo normale sul piano di posa della fondazione	3133.8170	[kN]
Sforzo tangenziale sul piano di posa della fondazione	692.7688	[kN]
Eccentricità rispetto al baricentro della fondazione	0.35	[m]
Lunghezza fondazione reagente	9.85	[m]
Risultante in fondazione	3209.4762	[kN]
Inclinazione della risultante (rispetto alla normale)	12.47	[°]
Momento rispetto al baricentro della fondazione	1106.8796	[kNm]
Carico ultimo della fondazione	20434.5803	[kN]

Tensioni sul terreno

Lunghezza fondazione reagente	9.85	[m]
Tensione terreno allo spigolo di valle	0.38660	[MPa]
Tensione terreno allo spigolo di monte	0.24970	[MPa]

Fattori per il calcolo della capacità portante

Coeff. capacità portante	N _c = 61.35	N _q = 48.93	N _γ = 78.02
Fattori forma	s _c = 1.00	s _q = 1.00	s _γ = 1.00
Fattori inclinazione	i _c = 0.67	i _q = 0.69	i _γ = 0.54
Fattori profondità	d _c = 1.10	d _q = 1.07	d _γ = 1.00
Fattori inclinazione piano posa	b _c = 1.00	b _q = 1.00	b _γ = 1.00

PV_D_SR_AP_MU_3_C_016-_001_N_001_R_A_0

Muro prefabbricato – MU.3C.016.N – Relazione di Calcolo**Fattori inclinazione pendio** $g_c = 1.00$ $g_q = 1.00$ $g_\gamma = 1.00$

I coefficienti N' tengono conto dei fattori di forma, profondità, inclinazione carico, inclinazione piano di posa, inclinazione pendio.

 $N'_c = 46.85$ $N'_q = 36.29$ $N'_\gamma = 43.23$ **COEFFICIENTI DI SICUREZZA**

Coefficiente di sicurezza a scorrimento

2.95

Coefficiente di sicurezza a carico ultimo

6.52

Sollecitazioni fondazione di valle**Combinazione n° 2**

L'ascissa X(espressa in m) è considerata positiva verso monte con origine in corrispondenza dell'estremo libero della fondazione di valle

Momento positivo se tende le fibre inferiori, espresso in kNm

Taglio positivo se diretto verso l'alto, espresso in kN

Nr.	X	M	T
1	0.00	0.0000	0.0000
2	0.05	0.4128	16.5079
3	0.10	1.6502	32.9810
4	0.15	3.7104	49.4194
5	0.20	6.5916	65.8230
6	0.25	10.2921	82.1919
7	0.30	14.8102	98.5260
8	0.35	20.1441	114.8254
9	0.40	26.2921	131.0901
10	0.45	33.2525	147.3200
11	0.50	41.0236	163.5151

Sollecitazioni fondazione di monte**Combinazione n° 2**

L'ascissa X(espressa in m) è considerata positiva verso valle con origine in corrispondenza dell'estremo libero della fondazione di monte

Momento positivo se tende le fibre inferiori, espresso in kNm

Taglio positivo se diretto verso l'alto, espresso in kN

Nr.	X	M	T
1	0.00	0.0000	0.0000
2	0.83	-26.2217	-59.8995
3	1.67	-95.1775	-102.3569
4	2.50	-192.3031	-127.3722
5	3.34	-303.0344	-134.9455
6	4.17	-412.8073	-125.0766
7	5.01	-507.0576	-97.7656
8	5.84	-571.2212	-53.0126
9	6.68	-590.7339	9.1826
10	7.51	-551.0316	88.8186
11	8.35	-438.6880	181.8828

Armature e tensioni nei materiali della fondazione**Combinazione n° 2**

Simbologia adottata

B base della sezione espressa in [m]

H altezza della sezione espressa in [m]

 A_{fi} area di armatura in corrispondenza del lembo inferiore in [mq] A_{fs} area di armatura in corrispondenza del lembo superiore in [mq] N_u sforzo normale ultimo espresso in [kN] M_u momento ultimo espresso in [kNm]

CS coefficiente sicurezza sezione

VRcd Aliquota di taglio assorbito dal cls, espresso in [kN]

VRsd Aliquota di taglio assorbito dall'armatura, espresso in [kN]

VRd Resistenza al taglio, espresso in [kN]

Fondazione di valle

(L'ascissa X, espressa in [m], è positiva verso monte con origine in corrispondenza dell'estremo libero della fondazione di valle)

Nr.	Y	B, H	A_{fs}	A_{fi}	N_u	M_u	CS	V_{Rd}	V_{Rcd}	V_{Rsd}
1	0.00	1.00, 1.800	0.0037170	0.003717	0.00	0.00	1000.00	518.73	--	--
2	0.05	1.00, 1.800	0.0037170	0.003717	0.00	2489.23	6029.50	518.73	--	--
3	0.10	1.00, 1.800	0.0037170	0.003717	0.00	2489.23	1508.43	518.73	--	--
4	0.15	1.00, 1.800	0.0037170	0.003717	0.00	2489.23	670.89	518.73	--	--

PV_D_SR_AP_MU_3_C_016-_001_N_001_R_A_0

Muro prefabbricato – MU.3C.016.N – Relazione di Calcolo

5	0.20	1.00, 1.800.0037170.003717	0.00	2489.23	377.64	518.73	--	--
6	0.25	1.00, 1.800.0037170.003717	0.00	2489.23	241.86	518.73	--	--
7	0.30	1.00, 1.800.0037170.003717	0.00	2489.23	168.08	518.73	--	--
8	0.35	1.00, 1.800.0037170.003717	0.00	2489.23	123.57	518.73	--	--
9	0.40	1.00, 1.800.0037170.003717	0.00	2489.23	94.68	518.73	--	--
10	0.45	1.00, 1.800.0037170.003717	0.00	2489.23	74.86	518.73	--	--
11	0.50	1.00, 1.800.0037170.003717	0.00	2489.23	60.68	518.73	--	--

Fondazione di monte

(L'ascissa X, espressa in [m], è positiva verso valle con origine in corrispondenza dell'estremo libero della fondazione di monte)

Nr.	Y	B, H	A _{fs}	A _{fi}	N _u	M _u	CS	V _{Rd}	V _{Rcd}	V _{Rsd}
1	0.00	1.00, 1.800.0037170.003717			0.00	0.00	1000.00	518.73	--	--
2	0.83	1.00, 1.800.0037170.003717			0.00	-2489.23	94.93	518.73	--	--
3	1.67	1.00, 1.800.0037170.003717			0.00	-2489.23	26.15	518.73	--	--
4	2.50	1.00, 1.800.0037170.003717			0.00	-2489.23	12.94	6021.08	6021.08	97523.99
5	3.34	1.00, 1.800.0037170.003717			0.00	-2489.23	8.21	6021.08	6021.08	97523.99
6	4.17	1.00, 1.800.0042470.003717			0.00	-2839.82	6.88	6021.08	6021.08	97523.99
7	5.01	1.00, 1.800.0042470.003717			0.00	-2839.82	5.60	518.73	--	--
8	5.84	1.00, 1.800.0042470.003717			0.00	-2839.82	4.97	518.73	--	--
9	6.68	1.00, 1.800.0058400.003717			0.00	-3884.58	6.58	518.73	--	--
10	7.51	1.00, 1.800.0058400.003717			0.00	-3884.58	7.05	518.73	--	--
11	8.35	1.00, 1.800.0053090.003717			0.00	-3537.49	8.06	518.73	--	--

COMBINAZIONE n° 3

Valore della spinta statica	888.8703	[kN]		
Componente orizzontale della spinta statica	762.0457	[kN]		
Componente verticale della spinta statica	457.5771	[kN]		
Punto d'applicazione della spinta	X = 8.85	[m]	Y = -6.81	[m]
Inclinaz. della spinta rispetto alla normale alla superficie	30.98	[°]		
Inclinazione linea di rottura in condizioni statiche	55.51	[°]		
Peso terrapieno gravante sulla fondazione a monte	1856.5090	[kN]		
Baricentro terrapieno gravante sulla fondazione a monte	X = 4.82	[m]	Y = -4.37	[m]

Risultanti

Risultante dei carichi applicati in dir. orizzontale	762.0457	[kN]
Risultante dei carichi applicati in dir. verticale	2903.6311	[kN]
Resistenza passiva a valle del muro	-78.0531	[kN]
Momento ribaltante rispetto allo spigolo a valle	4563.4965	[kNm]
Momento stabilizzante rispetto allo spigolo a valle	17447.7012	[kNm]
Sforzo normale sul piano di posa della fondazione	2903.6311	[kN]
Sforzo tangenziale sul piano di posa della fondazione	762.0457	[kN]
Eccentricità rispetto al baricentro della fondazione	0.49	[m]
Lunghezza fondazione reagente	9.85	[m]
Risultante in fondazione	3001.9639	[kN]
Inclinazione della risultante (rispetto alla normale)	14.71	[°]
Momento rispetto al baricentro della fondazione	1416.1787	[kNm]

COEFFICIENTI DI SICUREZZA

Coefficiente di sicurezza a ribaltamento 3.82

Stabilità globale muro + terrenoCombinazione n° 4

Le ascisse X sono considerate positive verso monte

Le ordinate Y sono considerate positive verso l'alto

Origine in testa al muro (spigolo contro terra)

W	peso della striscia espresso in [kN]
α	angolo fra la base della striscia e l'orizzontale espresso in [°] (positivo antiorario)
ϕ	angolo d'attrito del terreno lungo la base della striscia
c	coesione del terreno lungo la base della striscia espressa in [MPa]
b	larghezza della striscia espressa in [m]
u	pressione neutra lungo la base della striscia espressa in [MPa]

Muro prefabbricato – MU.3C.016.N – Relazione di Calcolo

Metodo di Bishop

Numero di cerchi analizzati 36

Numero di strisce 25

Cerchio critico

Coordinate del centro X[m]= -1.19 Y[m]= 8.32

Raggio del cerchio R[m]= 23.39

Ascissa a valle del cerchio Xi[m]= -15.22

Ascissa a monte del cerchio Xs[m]= 21.97

Larghezza della striscia dx[m]= 1.49

Coefficiente di sicurezza C= 1.81

Le strisce sono numerate da monte verso valle

Caratteristiche delle strisce

Striscia	W	$\alpha(^{\circ})$	$W\sin\alpha$	$b/\cos\alpha$	ϕ	c	u
1	7679.58	74.80	7410.93	5.67	32.01	0.000	0.000
2	19595.45	63.78	17578.99	3.37	32.01	0.000	0.000
3	26967.47	56.36	22451.64	2.68	32.01	0.000	0.000
4	32609.37	50.22	25061.11	2.32	32.01	0.000	0.000
5	37187.76	44.80	26205.70	2.10	32.01	0.000	0.000
6	41002.15	39.86	26279.55	1.94	32.01	0.000	0.000
7	44219.15	35.26	25524.24	1.82	32.01	0.000	0.000
8	46942.71	30.90	24106.92	1.73	32.01	0.000	0.000
9	48891.15	26.74	21994.89	1.67	32.01	0.000	0.000
10	49852.56	22.72	19254.14	1.61	32.01	0.000	0.000
11	48929.48	18.82	15783.53	1.57	32.01	0.000	0.000
12	47692.11	15.01	12349.31	1.54	32.01	0.000	0.000
13	46159.19	11.26	9015.05	1.52	32.01	0.000	0.000
14	44367.84	7.57	5841.97	1.50	32.01	0.000	0.000
15	48171.70	3.90	3277.65	1.49	32.01	0.000	0.000
16	18087.22	0.25	79.79	1.49	32.01	0.000	0.000
17	12938.16	-3.39	-766.17	1.49	32.01	0.000	0.000
18	12556.11	-7.06	-1542.49	1.50	32.01	0.000	0.000
19	11901.81	-10.75	-2219.45	1.51	32.01	0.000	0.000
20	10966.80	-14.48	-2742.95	1.54	32.01	0.000	0.000
21	9738.37	-18.29	-3055.44	1.57	32.01	0.000	0.000
22	8198.64	-22.17	-3094.13	1.61	32.01	0.000	0.000
23	6323.00	-26.17	-2788.74	1.66	32.01	0.000	0.000
24	4077.85	-30.31	-2058.13	1.72	32.01	0.000	0.000
25	1416.64	-34.64	-805.20	1.81	32.01	0.000	0.000

 $\Sigma W_i = 6732.1002$ [kN] $\Sigma W_i \sin\alpha_i = 2384.4532$ [kN] $\Sigma W_i \tan\phi_i = 4207.7545$ [kN] $\Sigma \tan\alpha_i \tan\phi_i = 6.47$

COMBINAZIONE n° 5

Peso muro favorevole e Peso terrapieno favorevole

Valore della spinta statica	851.2296	[kN]		
Componente orizzontale della spinta statica	680.8773	[kN]		
Componente verticale della spinta statica	510.8795	[kN]		
Punto d'applicazione della spinta	X = 8.85	[m]	Y = -6.81	[m]
Inclinaz. della spinta rispetto alla normale alla superficie	36.88	[°]		
Inclinazione linea di rottura in condizioni statiche	59.15	[°]		

Peso terrapieno gravante sulla fondazione a monte 2062.7878 [kN]

Baricentro terrapieno gravante sulla fondazione a monte X = 4.82 [m] Y = -4.37 [m]

Risultanti carichi esterni

Componente dir. X 4.50 [kN]

PV_D_SR_AP_MU_3_C_016-_001_N_001_R_A_0

Muro prefabbricato – MU.3C.016.N – Relazione di CalcoloRisultanti

Risultante dei carichi applicati in dir. orizzontale	685.3773	[kN]
Risultante dei carichi applicati in dir. verticale	3228.7173	[kN]
Resistenza passiva a valle del muro	-111.9878	[kN]
Sforzo normale sul piano di posa della fondazione	3228.7173	[kN]
Sforzo tangenziale sul piano di posa della fondazione	685.3773	[kN]
Eccentricità rispetto al baricentro della fondazione	0.20	[m]
Lunghezza fondazione reagente	9.85	[m]
Risultante in fondazione	3300.6601	[kN]
Inclinazione della risultante (rispetto alla normale)	11.98	[°]
Momento rispetto al baricentro della fondazione	638.9106	[kNm]
Carico ultimo della fondazione	52262.7301	[kN]

Tensioni sul terreno

Lunghezza fondazione reagente	9.85	[m]
Tensione terreno allo spigolo di valle	0.36730	[MPa]
Tensione terreno allo spigolo di monte	0.28828	[MPa]

Fattori per il calcolo della capacità portante

Coeff. capacità portante	$N_c = 61.35$	$N_q = 48.93$	$N_\gamma = 78.02$
Fattori forma	$s_c = 1.00$	$s_q = 1.00$	$s_\gamma = 1.00$
Fattori inclinazione	$i_c = 0.69$	$i_q = 0.70$	$i_\gamma = 0.55$
Fattori profondità	$d_c = 1.10$	$d_q = 1.06$	$d_\gamma = 1.00$
Fattori inclinazione piano posa	$b_c = 1.00$	$b_q = 1.00$	$b_\gamma = 1.00$
Fattori inclinazione pendio	$g_c = 1.00$	$g_q = 1.00$	$g_\gamma = 1.00$

I coefficienti N' tengono conto dei fattori di forma, profondità, inclinazione carico, inclinazione piano di posa, inclinazione pendio.

$$N'_c = 46.85 \qquad N'_q = 36.29 \qquad N'_\gamma = 43.23$$

COEFFICIENTI DI SICUREZZA

Coefficiente di sicurezza a scorrimento	3.84
Coefficiente di sicurezza a carico ultimo	16.19

Sollecitazioni fondazione di valleCombinazione n° 5

L'ascissa X(espressa in m) è considerata positiva verso monte con origine in corrispondenza dell'estremo libero della fondazione di valle

Momento positivo se tende le fibre inferiori, espresso in kNm

Taglio positivo se diretto verso l'alto, espresso in kN

Nr.	X	M	T
1	0.00	0.0000	0.0000
2	0.05	0.3847	15.3835
3	0.10	1.5380	30.7469
4	0.15	3.4590	46.0902
5	0.20	6.1467	61.4135
6	0.25	9.6000	76.7167
7	0.30	13.8180	91.9999
8	0.35	18.7997	107.2630
9	0.40	24.5440	122.5061
10	0.45	31.0500	137.7291
11	0.50	38.3166	152.9320

Sollecitazioni fondazione di monteCombinazione n° 5

L'ascissa X(espressa in m) è considerata positiva verso valle con origine in corrispondenza dell'estremo libero della fondazione di monte

Momento positivo se tende le fibre inferiori, espresso in kNm

Taglio positivo se diretto verso l'alto, espresso in kN

Nr.	X	M	T
1	0.00	0.0000	0.0000
2	0.83	-43.0241	-100.4399
3	1.67	-163.3731	-185.2093
4	2.50	-347.9620	-254.3080
5	3.34	-583.7058	-307.7362
6	4.17	-857.5197	-345.4937

PV_D_SR_AP_MU_3_C_016-_001_N_001_R_A_0

Muro prefabbricato – MU.3C.016.N – Relazione di Calcolo

7	5.01	-1156.3186	-367.5806
8	5.84	-1467.0177	-373.9969
9	6.68	-1776.5319	-364.7426
10	7.51	-2071.7762	-339.8194
11	8.35	-2341.1452	-304.4434

Armature e tensioni nei materiali della fondazioneCombinazione n° 5

Simbologia adottata

B	base della sezione espressa in [m]
H	altezza della sezione espressa in [m]
A _{fi}	area di armatura in corrispondenza del lembo inferiore in [mq]
A _{fs}	area di armatura in corrispondenza del lembo superiore in [mq]
N _u	sforzo normale ultimo espresso in [kN]
M _u	momento ultimo espresso in [kNm]
CS	coefficiente sicurezza sezione
V _{Rcd}	Aliquota di taglio assorbito dal cls, espresso in [kN]
V _{Rsd}	Aliquota di taglio assorbito dall'armatura, espresso in [kN]
VRd	Resistenza al taglio, espresso in [kN]

Fondazione di valle

(L'ascissa X, espressa in [m], è positiva verso monte con origine in corrispondenza dell'estremo libero della fondazione di valle)

Nr.	Y	B, H	A _{fs}	A _{fi}	N _u	M _u	CS	V _{Rd}	V _{Rcd}	V _{Rsd}
1	0.00	1.00, 1.800.0037170.003717			0.00	0.00	1000.00	518.73	--	--
2	0.05	1.00, 1.800.0037170.003717			0.00	2489.23	6471.07	518.73	--	--
3	0.10	1.00, 1.800.0037170.003717			0.00	2489.23	1618.47	518.73	--	--
4	0.15	1.00, 1.800.0037170.003717			0.00	2489.23	719.63	518.73	--	--
5	0.20	1.00, 1.800.0037170.003717			0.00	2489.23	404.97	518.73	--	--
6	0.25	1.00, 1.800.0037170.003717			0.00	2489.23	259.29	518.73	--	--
7	0.30	1.00, 1.800.0037170.003717			0.00	2489.23	180.14	518.73	--	--
8	0.35	1.00, 1.800.0037170.003717			0.00	2489.23	132.41	518.73	--	--
9	0.40	1.00, 1.800.0037170.003717			0.00	2489.23	101.42	518.73	--	--
10	0.45	1.00, 1.800.0037170.003717			0.00	2489.23	80.17	518.73	--	--
11	0.50	1.00, 1.800.0037170.003717			0.00	2489.23	64.96	518.73	--	--

Fondazione di monte

(L'ascissa X, espressa in [m], è positiva verso valle con origine in corrispondenza dell'estremo libero della fondazione di monte)

Nr.	Y	B, H	A _{fs}	A _{fi}	N _u	M _u	CS	V _{Rd}	V _{Rcd}	V _{Rsd}
1	0.00	1.00, 1.800.0037170.003717			0.00	0.00	1000.00	518.73	--	--
2	0.83	1.00, 1.800.0037170.003717			0.00	-2489.23	57.86	518.73	--	--
3	1.67	1.00, 1.800.0037170.003717			0.00	-2489.23	15.24	518.73	--	--
4	2.50	1.00, 1.800.0037170.003717			0.00	-2489.23	7.15	6021.08	6021.08	97523.99
5	3.34	1.00, 1.800.0037170.003717			0.00	-2489.23	4.26	6021.08	6021.08	97523.99
6	4.17	1.00, 1.800.0042470.003717			0.00	-2839.82	3.31	6021.08	6021.08	97523.99
7	5.01	1.00, 1.800.0042470.003717			0.00	-2839.82	2.46	518.73	--	--
8	5.84	1.00, 1.800.0042470.003717			0.00	-2839.82	1.94	518.73	--	--
9	6.68	1.00, 1.800.0058400.003717			0.00	-3884.58	2.19	518.73	--	--
10	7.51	1.00, 1.800.0058400.003717			0.00	-3884.58	1.87	518.73	--	--
11	8.35	1.00, 1.800.0053090.003717			0.00	-3537.49	1.51	518.73	--	--

COMBINAZIONE n° 6

Valore della spinta statica	808.0639	[kN]		
Componente orizzontale della spinta statica	692.7688	[kN]		
Componente verticale della spinta statica	415.9792	[kN]		
Punto d'applicazione della spinta	X = 8.85	[m]	Y = -6.81	[m]
Inclinaz. della spinta rispetto alla normale alla superficie	30.98	[°]		
Inclinazione linea di rottura in condizioni statiche	55.51	[°]		
Peso terrapieno gravante sulla fondazione a monte	2062.7878	[kN]		
Baricentro terrapieno gravante sulla fondazione a monte	X = 4.82	[m]	Y = -4.37	[m]

Risultanti carichi esterni

Componente dir. X 3.90 [kN]

PV_D_SR_AP_MU_3_C_016-_001_N_001_R_A_0

Muro prefabbricato – MU.3C.016.N – Relazione di CalcoloRisultanti

Risultante dei carichi applicati in dir. orizzontale	696.6688	[kN]
Risultante dei carichi applicati in dir. verticale	3133.8170	[kN]
Resistenza passiva a valle del muro	-86.7256	[kN]
Sforzo normale sul piano di posa della fondazione	3133.8170	[kN]
Sforzo tangenziale sul piano di posa della fondazione	696.6688	[kN]
Eccentricità rispetto al baricentro della fondazione	0.37	[m]
Lunghezza fondazione reagente	9.85	[m]
Risultante in fondazione	3210.3203	[kN]
Inclinazione della risultante (rispetto alla normale)	12.53	[°]
Momento rispetto al baricentro della fondazione	1164.5996	[kNm]
Carico ultimo della fondazione	20282.2557	[kN]

Tensioni sul terreno

Lunghezza fondazione reagente	9.85	[m]
Tensione terreno allo spigolo di valle	0.39017	[MPa]
Tensione terreno allo spigolo di monte	0.24613	[MPa]

Fattori per il calcolo della capacità portante

Coeff. capacità portante	$N_c = 61.35$	$N_q = 48.93$	$N_\gamma = 78.02$
Fattori forma	$s_c = 1.00$	$s_q = 1.00$	$s_\gamma = 1.00$
Fattori inclinazione	$i_c = 0.67$	$i_q = 0.69$	$i_\gamma = 0.53$
Fattori profondità	$d_c = 1.10$	$d_q = 1.07$	$d_\gamma = 1.00$
Fattori inclinazione piano posa	$b_c = 1.00$	$b_q = 1.00$	$b_\gamma = 1.00$
Fattori inclinazione pendio	$g_c = 1.00$	$g_q = 1.00$	$g_\gamma = 1.00$

I coefficienti N' tengono conto dei fattori di forma, profondità, inclinazione carico, inclinazione piano di posa, inclinazione pendio.

$$N'_c = 46.85 \qquad N'_q = 36.29 \qquad N'_\gamma = 43.23$$

COEFFICIENTI DI SICUREZZA

Coefficiente di sicurezza a scorrimento	2.94
Coefficiente di sicurezza a carico ultimo	6.47

Sollecitazioni fondazione di valleCombinazione n° 6

L'ascissa X(espressa in m) è considerata positiva verso monte con origine in corrispondenza dell'estremo libero della fondazione di valle

Momento positivo se tende le fibre inferiori, espresso in kNm

Taglio positivo se diretto verso l'alto, espresso in kN

Nr.	X	M	T
1	0.00	0.0000	0.0000
2	0.05	0.4173	16.6854
3	0.10	1.6679	33.3343
4	0.15	3.7501	49.9466
5	0.20	6.6620	66.5224
6	0.25	10.4017	83.0616
7	0.30	14.9675	99.5643
8	0.35	20.3576	116.0304
9	0.40	26.5700	132.4599
10	0.45	33.6029	148.8529
11	0.50	41.4546	165.2093

Sollecitazioni fondazione di monteCombinazione n° 6

L'ascissa X(espressa in m) è considerata positiva verso valle con origine in corrispondenza dell'estremo libero della fondazione di monte

Momento positivo se tende le fibre inferiori, espresso in kNm

Taglio positivo se diretto verso l'alto, espresso in kN

Nr.	X	M	T
1	0.00	0.0000	0.0000
2	0.83	-27.3958	-62.6274
3	1.67	-99.5923	-107.3073
4	2.50	-201.6036	-134.0398
5	3.34	-318.4435	-142.8249
6	4.17	-435.1258	-133.6626

PV_D_SR_AP_MU_3_C_016-_001_N_001_R_A_0

Muro prefabbricato – MU.3C.016.N – Relazione di Calcolo

7	5.01	-536.6646	-106.5529
8	5.84	-608.0738	-61.4957
9	6.68	-634.3671	1.5089
10	7.51	-600.5586	82.4596
11	8.35	-492.8001	177.3440

Armature e tensioni nei materiali della fondazioneCombinazione n° 6

Simbologia adottata

B	base della sezione espressa in [m]
H	altezza della sezione espressa in [m]
A _{fi}	area di armatura in corrispondenza del lembo inferiore in [mq]
A _{fs}	area di armatura in corrispondenza del lembo superiore in [mq]
N _u	sforzo normale ultimo espresso in [kN]
M _u	momento ultimo espresso in [kNm]
CS	coefficiente sicurezza sezione
V _{Rcd}	Aliquota di taglio assorbito dal cls, espresso in [kN]
V _{Rsd}	Aliquota di taglio assorbito dall'armatura, espresso in [kN]
V _{Rd}	Resistenza al taglio, espresso in [kN]

Fondazione di valle

(L'ascissa X, espressa in [m], è positiva verso monte con origine in corrispondenza dell'estremo libero della fondazione di valle)

Nr.	Y	B, H	A _{fs}	A _{fi}	N _u	M _u	CS	V _{Rd}	V _{Rcd}	V _{Rsd}
1	0.00	1.00, 1.800.0037170.003717			0.00	0.00	1000.00	518.73	--	--
2	0.05	1.00, 1.800.0037170.003717			0.00	2489.23	5965.24	518.73	--	--
3	0.10	1.00, 1.800.0037170.003717			0.00	2489.23	1492.40	518.73	--	--
4	0.15	1.00, 1.800.0037170.003717			0.00	2489.23	663.77	518.73	--	--
5	0.20	1.00, 1.800.0037170.003717			0.00	2489.23	373.65	518.73	--	--
6	0.25	1.00, 1.800.0037170.003717			0.00	2489.23	239.31	518.73	--	--
7	0.30	1.00, 1.800.0037170.003717			0.00	2489.23	166.31	518.73	--	--
8	0.35	1.00, 1.800.0037170.003717			0.00	2489.23	122.28	518.73	--	--
9	0.40	1.00, 1.800.0037170.003717			0.00	2489.23	93.69	518.73	--	--
10	0.45	1.00, 1.800.0037170.003717			0.00	2489.23	74.08	518.73	--	--
11	0.50	1.00, 1.800.0037170.003717			0.00	2489.23	60.05	518.73	--	--

Fondazione di monte

(L'ascissa X, espressa in [m], è positiva verso valle con origine in corrispondenza dell'estremo libero della fondazione di monte)

Nr.	Y	B, H	A _{fs}	A _{fi}	N _u	M _u	CS	V _{Rd}	V _{Rcd}	V _{Rsd}
1	0.00	1.00, 1.800.0037170.003717			0.00	0.00	1000.00	518.73	--	--
2	0.83	1.00, 1.800.0037170.003717			0.00	-2489.23	90.86	518.73	--	--
3	1.67	1.00, 1.800.0037170.003717			0.00	-2489.23	24.99	518.73	--	--
4	2.50	1.00, 1.800.0037170.003717			0.00	-2489.23	12.35	6021.08	6021.08	97523.99
5	3.34	1.00, 1.800.0037170.003717			0.00	-2489.23	7.82	6021.08	6021.08	97523.99
6	4.17	1.00, 1.800.0042470.003717			0.00	-2839.82	6.53	6021.08	6021.08	97523.99
7	5.01	1.00, 1.800.0042470.003717			0.00	-2839.82	5.29	518.73	--	--
8	5.84	1.00, 1.800.0042470.003717			0.00	-2839.82	4.67	518.73	--	--
9	6.68	1.00, 1.800.0058400.003717			0.00	-3884.58	6.12	518.73	--	--
10	7.51	1.00, 1.800.0058400.003717			0.00	-3884.58	6.47	518.73	--	--
11	8.35	1.00, 1.800.0053090.003717			0.00	-3537.49	7.18	518.73	--	--

COMBINAZIONE n° 7

Valore della spinta statica	888.8703	[kN]		
Componente orizzontale della spinta statica	762.0457	[kN]		
Componente verticale della spinta statica	457.5771	[kN]		
Punto d'applicazione della spinta	X = 8.85	[m]	Y = -6.81	[m]
Inclinaz. della spinta rispetto alla normale alla superficie	30.98	[°]		
Inclinazione linea di rottura in condizioni statiche	55.51	[°]		
Peso terrapieno gravante sulla fondazione a monte	1856.5090	[kN]		
Baricentro terrapieno gravante sulla fondazione a monte	X = 4.82	[m]	Y = -4.37	[m]

Risultanti carichi esterni

Componente dir. X 4.50 [kN]

PV_D_SR_AP_MU_3_C_016-_001_N_001_R_A_0

Risultanti

Risultante dei carichi applicati in dir. orizzontale	766.5457	[kN]
Risultante dei carichi applicati in dir. verticale	2903.6311	[kN]
Resistenza passiva a valle del muro	-78.0531	[kN]
Momento ribaltante rispetto allo spigolo a valle	4630.0965	[kNm]
Momento stabilizzante rispetto allo spigolo a valle	17447.7012	[kNm]
Sforzo normale sul piano di posa della fondazione	2903.6311	[kN]
Sforzo tangenziale sul piano di posa della fondazione	766.5457	[kN]
Eccentricità rispetto al baricentro della fondazione	0.51	[m]
Lunghezza fondazione reagente	9.85	[m]
Risultante in fondazione	3003.1094	[kN]
Inclinazione della risultante (rispetto alla normale)	14.79	[°]
Momento rispetto al baricentro della fondazione	1482.7787	[kNm]

COEFFICIENTI DI SICUREZZA

Coefficiente di sicurezza a ribaltamento 3.77

Stabilità globale muro + terreno**Combinazione n° 8**

Le ascisse X sono considerate positive verso monte

Le ordinate Y sono considerate positive verso l'alto

Origine in testa al muro (spigolo contro terra)

W	peso della striscia espresso in [kN]
α	angolo fra la base della striscia e l'orizzontale espresso in [°] (positivo antiorario)
ϕ	angolo d'attrito del terreno lungo la base della striscia
c	coesione del terreno lungo la base della striscia espressa in [MPa]
b	larghezza della striscia espressa in [m]
u	pressione neutra lungo la base della striscia espressa in [MPa]

Metodo di Bishop

Numero di cerchi analizzati 36

Numero di strisce 25

Cerchio critico

Coordinate del centro X[m]= -1.19 Y[m]= 8.32

Raggio del cerchio R[m]= 23.39

Ascissa a valle del cerchio Xi[m]= -15.22

Ascissa a monte del cerchio Xs[m]= 21.97

Larghezza della striscia dx[m]= 1.49

Coefficiente di sicurezza C= 1.81

Le strisce sono numerate da monte verso valle

Caratteristiche delle strisce

Striscia	W	$\alpha(^{\circ})$	Wsin α	b/cos α	ϕ	c	u
1	7679.58	74.80	7410.93	5.67	32.01	0.000	0.000
2	19595.45	63.78	17578.99	3.37	32.01	0.000	0.000
3	26967.47	56.36	22451.64	2.68	32.01	0.000	0.000
4	32609.37	50.22	25061.11	2.32	32.01	0.000	0.000
5	37187.76	44.80	26205.70	2.10	32.01	0.000	0.000
6	41002.15	39.86	26279.55	1.94	32.01	0.000	0.000
7	44219.15	35.26	25524.24	1.82	32.01	0.000	0.000
8	46942.71	30.90	24106.92	1.73	32.01	0.000	0.000
9	48891.15	26.74	21994.89	1.67	32.01	0.000	0.000
10	49852.56	22.72	19254.14	1.61	32.01	0.000	0.000
11	48929.48	18.82	15783.53	1.57	32.01	0.000	0.000
12	47692.11	15.01	12349.31	1.54	32.01	0.000	0.000
13	46159.19	11.26	9015.05	1.52	32.01	0.000	0.000
14	44367.84	7.57	5841.97	1.50	32.01	0.000	0.000
15	48171.70	3.90	3277.65	1.49	32.01	0.000	0.000
16	18087.22	0.25	79.79	1.49	32.01	0.000	0.000
17	12938.16	-3.39	-766.17	1.49	32.01	0.000	0.000

Muro prefabbricato – MU.3C.016.N – Relazione di Calcolo

18	12556.11	-7.06	-1542.49	1.50	32.01	0.000	0.000
19	11901.81	-10.75	-2219.45	1.51	32.01	0.000	0.000
20	10966.80	-14.48	-2742.95	1.54	32.01	0.000	0.000
21	9738.37	-18.29	-3055.44	1.57	32.01	0.000	0.000
22	8198.64	-22.17	-3094.13	1.61	32.01	0.000	0.000
23	6323.00	-26.17	-2788.74	1.66	32.01	0.000	0.000
24	4077.85	-30.31	-2058.13	1.72	32.01	0.000	0.000
25	1416.64	-34.64	-805.20	1.81	32.01	0.000	0.000

 $\Sigma W_i = 6732.1002$ [kN] $\Sigma W_i \sin \alpha_i = 2384.4532$ [kN] $\Sigma W_i \tan \phi_i = 4207.7545$ [kN] $\Sigma \tan \alpha_i \tan \phi_i = 6.47$ COMBINAZIONE n° 9

Valore della spinta statica	654.7920	[kN]		
Componente orizzontale della spinta statica	523.7518	[kN]		
Componente verticale della spinta statica	392.9842	[kN]		
Punto d'applicazione della spinta	X = 8.85	[m]	Y = -6.81	[m]
Inclinaz. della spinta rispetto alla normale alla superficie	36.88	[°]		
Inclinazione linea di rottura in condizioni statiche	59.15	[°]		
Incremento sismico della spinta	250.8436	[kN]		
Punto d'applicazione dell'incremento sismico di spinta	X = 8.85	[m]	Y = -6.81	[m]
Inclinazione linea di rottura in condizioni sismiche	53.72	[°]		
Peso terrapieno gravante sulla fondazione a monte	2062.7878	[kN]		
Baricentro terrapieno gravante sulla fondazione a monte	X = 4.82	[m]	Y = -4.37	[m]
Inerzia del muro	72.2608	[kN]		
Inerzia verticale del muro	36.1304	[kN]		
Inerzia del terrapieno fondazione di monte	229.4975	[kN]		
Inerzia verticale del terrapieno fondazione di monte	114.7488	[kN]		

Risultanti

Risultante dei carichi applicati in dir. orizzontale	1026.7711	[kN]
Risultante dei carichi applicati in dir. verticale	3412.2491	[kN]
Resistenza passiva a valle del muro	-111.9878	[kN]
Sforzo normale sul piano di posa della fondazione	3412.2491	[kN]
Sforzo tangenziale sul piano di posa della fondazione	1026.7711	[kN]
Eccentricità rispetto al baricentro della fondazione	0.80	[m]
Lunghezza fondazione reagente	9.85	[m]
Risultante in fondazione	3563.3836	[kN]
Inclinazione della risultante (rispetto alla normale)	16.75	[°]
Momento rispetto al baricentro della fondazione	2742.3300	[kNm]
Carico ultimo della fondazione	35081.9585	[kN]

Tensioni sul terreno

Lunghezza fondazione reagente	9.85	[m]
Tensione terreno allo spigolo di valle	0.51601	[MPa]
Tensione terreno allo spigolo di monte	0.17683	[MPa]

Fattori per il calcolo della capacità portante

Coeff. capacità portante	$N_c = 61.35$	$N_q = 48.93$	$N_\gamma = 78.02$
Fattori forma	$s_c = 1.00$	$s_q = 1.00$	$s_\gamma = 1.00$
Fattori inclinazione	$i_c = 0.58$	$i_q = 0.59$	$i_\gamma = 0.41$
Fattori profondità	$d_c = 1.10$	$d_q = 1.06$	$d_\gamma = 1.00$
Fattori inclinazione piano posa	$b_c = 1.00$	$b_q = 1.00$	$b_\gamma = 1.00$
Fattori inclinazione pendio	$g_c = 1.00$	$g_q = 1.00$	$g_\gamma = 1.00$

I coefficienti N' tengono conto dei fattori di forma, profondità, inclinazione carico, inclinazione piano di posa, inclinazione pendio.

 $N'_c = 46.85$ $N'_q = 36.29$ $N'_\gamma = 43.23$ COEFFICIENTI DI SICUREZZA

PV_D_SR_AP_MU_3_C_016-_001_N_001_R_A_0

Muro prefabbricato – MU.3C.016.N – Relazione di Calcolo

Coefficiente di sicurezza a scorrimento	2.71
Coefficiente di sicurezza a carico ultimo	10.28

Sollecitazioni fondazione di valleCombinazione n° 9

L'ascissa X(espressa in m) è considerata positiva verso monte con origine in corrispondenza dell'estremo libero della fondazione di valle

Momento positivo se tende le fibre inferiori, espresso in kNm

Taglio positivo se diretto verso l'alto, espresso in kN

Nr.	X	M	T
1	0.00	0.0000	0.0000
2	0.05	0.5742	22.9525
3	0.10	2.2938	45.8189
4	0.15	5.1546	68.5992
5	0.20	9.1523	91.2934
6	0.25	14.2825	113.9016
7	0.30	20.5410	136.4236
8	0.35	27.9235	158.8596
9	0.40	36.4255	181.2095
10	0.45	46.0430	203.4733
11	0.50	56.7714	225.6510

Sollecitazioni fondazione di monteCombinazione n° 9

L'ascissa X(espressa in m) è considerata positiva verso valle con origine in corrispondenza dell'estremo libero della fondazione di monte

Momento positivo se tende le fibre inferiori, espresso in kNm

Taglio positivo se diretto verso l'alto, espresso in kN

Nr.	X	M	T
1	0.00	0.0000	0.0000
2	0.83	-49.6329	-113.5880
3	1.67	-180.8520	-195.4158
4	2.50	-367.1374	-245.4835
5	3.34	-581.9696	-263.7912
6	4.17	-798.8288	-250.3387
7	5.01	-991.1953	-205.1261
8	5.84	-1132.5494	-128.1534
9	6.68	-1196.3715	-19.4205
10	7.51	-1156.1418	121.0712
11	8.35	-986.4786	289.3091

Armature e tensioni nei materiali della fondazioneCombinazione n° 9

Simbologia adottata

B	base della sezione espressa in [m]
H	altezza della sezione espressa in [m]
A _{fi}	area di armatura in corrispondenza del lembo inferiore in [mq]
A _{fs}	area di armatura in corrispondenza del lembo superiore in [mq]
N _u	sfuerzo normale ultimo espresso in [kN]
M _u	momento ultimo espresso in [kNm]
CS	coefficiente sicurezza sezione
V _{Rcd}	Aliquota di taglio assorbito dal cls, espresso in [kN]
V _{Rsd}	Aliquota di taglio assorbito dall'armatura, espresso in [kN]
V _{Rd}	Resistenza al taglio, espresso in [kN]

Fondazione di valle

(L'ascissa X, espressa in [m], è positiva verso monte con origine in corrispondenza dell'estremo libero della fondazione di valle)

Nr.	Y	B, H	A _{fs}	A _{fi}	N _u	M _u	CS	V _{Rd}	V _{Rcd}	V _{Rsd}
1	0.00	1.00, 1.800	0.0037170	0.003717	0.00	0.00	1000.00	518.73	--	--
2	0.05	1.00, 1.800	0.0037170	0.003717	0.00	2489.23	4335.34	518.73	--	--
3	0.10	1.00, 1.800	0.0037170	0.003717	0.00	2489.23	1085.19	518.73	--	--
4	0.15	1.00, 1.800	0.0037170	0.003717	0.00	2489.23	482.91	518.73	--	--
5	0.20	1.00, 1.800	0.0037170	0.003717	0.00	2489.23	271.98	518.73	--	--
6	0.25	1.00, 1.800	0.0037170	0.003717	0.00	2489.23	174.28	518.73	--	--
7	0.30	1.00, 1.800	0.0037170	0.003717	0.00	2489.23	121.18	518.73	--	--
8	0.35	1.00, 1.800	0.0037170	0.003717	0.00	2489.23	89.14	518.73	--	--
9	0.40	1.00, 1.800	0.0037170	0.003717	0.00	2489.23	68.34	518.73	--	--

PV_D_SR_AP_MU_3_C_016-_001_N_001_R_A_0

Muro prefabbricato – MU.3C.016.N – Relazione di Calcolo

10	0.45	1.00, 1.800.0037170.003717	0.00	2489.23	54.06	518.73	--	--
11	0.50	1.00, 1.800.0037170.003717	0.00	2489.23	43.85	518.73	--	--

Fondazione di monte

(L'ascissa X, espressa in [m], è positiva verso valle con origine in corrispondenza dell'estremo libero della fondazione di monte)

Nr.	Y	B, H	A _{fs}	A _{fi}	N _u	M _u	CS	V _{Rd}	V _{Rcd}	V _{Rsd}
1	0.00	1.00, 1.800.0037170.003717			0.00	0.00	1000.00	518.73	--	--
2	0.83	1.00, 1.800.0037170.003717			0.00	-2489.23	50.15	518.73	--	--
3	1.67	1.00, 1.800.0037170.003717			0.00	-2489.23	13.76	518.73	--	--
4	2.50	1.00, 1.800.0037170.003717			0.00	-2489.23	6.78	6021.08	6021.0897523.99	
5	3.34	1.00, 1.800.0037170.003717			0.00	-2489.23	4.28	6021.08	6021.0897523.99	
6	4.17	1.00, 1.800.0042470.003717			0.00	-2839.82	3.55	6021.08	6021.0897523.99	
7	5.01	1.00, 1.800.0042470.003717			0.00	-2839.82	2.87	518.73	--	--
8	5.84	1.00, 1.800.0042470.003717			0.00	-2839.82	2.51	518.73	--	--
9	6.68	1.00, 1.800.0058400.003717			0.00	-3884.58	3.25	518.73	--	--
10	7.51	1.00, 1.800.0058400.003717			0.00	-3884.58	3.36	518.73	--	--
11	8.35	1.00, 1.800.0053090.003717			0.00	-3537.49	3.59	518.73	--	--

COMBINAZIONE n° 10

Valore della spinta statica	654.7920	[kN]		
Componente orizzontale della spinta statica	523.7518	[kN]		
Componente verticale della spinta statica	392.9842	[kN]		
Punto d'applicazione della spinta	X = 8.85	[m]	Y = -6.81	[m]
Inclinaz. della spinta rispetto alla normale alla superficie	36.88	[°]		
Inclinazione linea di rottura in condizioni statiche	59.15	[°]		

Incremento sismico della spinta	181.6783	[kN]		
Punto d'applicazione dell'incremento sismico di spinta	X = 8.85	[m]	Y = -6.81	[m]
Inclinazione linea di rottura in condizioni sismiche	53.03	[°]		

Peso terrapieno gravante sulla fondazione a monte	2062.7878	[kN]		
Baricentro terrapieno gravante sulla fondazione a monte	X = 4.82	[m]	Y = -4.37	[m]
Inerzia del muro	72.2608	[kN]		
Inerzia verticale del muro	-36.1304	[kN]		
Inerzia del terrapieno fondazione di monte	229.4975	[kN]		
Inerzia verticale del terrapieno fondazione di monte	-114.7488	[kN]		

Risultanti

Risultante dei carichi applicati in dir. orizzontale	971.4475	[kN]		
Risultante dei carichi applicati in dir. verticale	3068.9801	[kN]		
Resistenza passiva a valle del muro	-111.9878	[kN]		
Sforzo normale sul piano di posa della fondazione	3068.9801	[kN]		
Sforzo tangenziale sul piano di posa della fondazione	971.4475	[kN]		
Eccentricità rispetto al baricentro della fondazione	0.89	[m]		
Lunghezza fondazione reagente	9.85	[m]		
Risultante in fondazione	3219.0603	[kN]		
Inclinazione della risultante (rispetto alla normale)	17.56	[°]		
Momento rispetto al baricentro della fondazione	2728.5088	[kNm]		
Carico ultimo della fondazione	32706.2265	[kN]		

Tensioni sul terreno

Lunghezza fondazione reagente	9.85	[m]		
Tensione terreno allo spigolo di valle	0.48031	[MPa]		
Tensione terreno allo spigolo di monte	0.14284	[MPa]		

Fattori per il calcolo della capacità portante

Coeff. capacità portante	N _c = 61.35	N _q = 48.93	N _γ = 78.02
Fattori forma	s _c = 1.00	s _q = 1.00	s _γ = 1.00
Fattori inclinazione	i _c = 0.56	i _q = 0.57	i _γ = 0.39
Fattori profondità	d _c = 1.10	d _q = 1.06	d _γ = 1.00
Fattori inclinazione piano posa	b _c = 1.00	b _q = 1.00	b _γ = 1.00

PV_D_SR_AP_MU_3_C_016-_001_N_001_R_A_0

Muro prefabbricato – MU.3C.016.N – Relazione di Calcolo**Fattori inclinazione pendio** $g_c = 1.00$ $g_q = 1.00$ $g_\gamma = 1.00$

I coefficienti N' tengono conto dei fattori di forma, profondità, inclinazione carico, inclinazione piano di posa, inclinazione pendio.

 $N'_c = 46.85$ $N'_q = 36.29$ $N'_\gamma = 43.23$ **COEFFICIENTI DI SICUREZZA**

Coefficiente di sicurezza a scorrimento

2.58

Coefficiente di sicurezza a carico ultimo

10.66

Sollecitazioni fondazione di valleCombinazione n° 10

L'ascissa X(espressa in m) è considerata positiva verso monte con origine in corrispondenza dell'estremo libero della fondazione di valle

Momento positivo se tende le fibre inferiori, espresso in kNm

Taglio positivo se diretto verso l'alto, espresso in kN

Nr.	X	M	T
1	0.00	0.0000	0.0000
2	0.05	0.5295	21.1675
3	0.10	2.1153	42.2493
4	0.15	4.7530	63.2455
5	0.20	8.4384	84.1560
6	0.25	13.1672	104.9809
7	0.30	18.9351	125.7201
8	0.35	25.7378	146.3737
9	0.40	33.5710	166.9416
10	0.45	42.4305	187.4239
11	0.50	52.3120	207.8205

Sollecitazioni fondazione di monteCombinazione n° 10

L'ascissa X(espressa in m) è considerata positiva verso valle con origine in corrispondenza dell'estremo libero della fondazione di monte

Momento positivo se tende le fibre inferiori, espresso in kNm

Taglio positivo se diretto verso l'alto, espresso in kN

Nr.	X	M	T
1	0.00	0.0000	0.0000
2	0.83	-61.5008	-142.0342
3	1.67	-228.3909	-252.4293
4	2.50	-474.2516	-331.1853
5	3.34	-772.6642	-378.3022
6	4.17	-1097.2100	-393.7800
7	5.01	-1421.4705	-377.6186
8	5.84	-1719.0270	-329.8182
9	6.68	-1963.4607	-250.3787
10	7.51	-2128.3531	-139.3012
11	8.35	-2188.4234	-0.5985

Armature e tensioni nei materiali della fondazioneCombinazione n° 10

Simbologia adottata

B base della sezione espressa in [m]

H altezza della sezione espressa in [m]

 A_{fi} area di armatura in corrispondenza del lembo inferiore in [mq] A_{fs} area di armatura in corrispondenza del lembo superiore in [mq] N_u sforzo normale ultimo espresso in [kN] M_u momento ultimo espresso in [kNm]

CS coefficiente sicurezza sezione

VRcd Aliquota di taglio assorbito dal cls, espresso in [kN]

VRsd Aliquota di taglio assorbito dall'armatura, espresso in [kN]

VRd Resistenza al taglio, espresso in [kN]

Fondazione di valle

(L'ascissa X, espressa in [m], è positiva verso monte con origine in corrispondenza dell'estremo libero della fondazione di valle)

Nr.	Y	B, H	A_{fs}	A_{fi}	N_u	M_u	CS	V_{Rd}	V_{Rcd}	V_{Rsd}
1	0.00	1.00, 1.800	0.0037170	0.003717	0.00	0.00	1000.00	518.73	--	--
2	0.05	1.00, 1.800	0.0037170	0.003717	0.00	2489.23	4700.70	518.73	--	--
3	0.10	1.00, 1.800	0.0037170	0.003717	0.00	2489.23	1176.76	518.73	--	--
4	0.15	1.00, 1.800	0.0037170	0.003717	0.00	2489.23	523.71	518.73	--	--

PV_D_SR_AP_MU_3_C_016-_001_N_001_R_A_0

Muro prefabbricato – MU.3C.016.N – Relazione di Calcolo

5	0.20	1.00, 1.800.0037170.003717	0.00	2489.23	294.99	518.73	--	--
6	0.25	1.00, 1.800.0037170.003717	0.00	2489.23	189.05	518.73	--	--
7	0.30	1.00, 1.800.0037170.003717	0.00	2489.23	131.46	518.73	--	--
8	0.35	1.00, 1.800.0037170.003717	0.00	2489.23	96.71	518.73	--	--
9	0.40	1.00, 1.800.0037170.003717	0.00	2489.23	74.15	518.73	--	--
10	0.45	1.00, 1.800.0037170.003717	0.00	2489.23	58.67	518.73	--	--
11	0.50	1.00, 1.800.0037170.003717	0.00	2489.23	47.58	518.73	--	--

Fondazione di monte

(L'ascissa X, espressa in [m], è positiva verso valle con origine in corrispondenza dell'estremo libero della fondazione di monte)

Nr.	Y	B, H	A _{fs}	A _{fi}	N _u	M _u	CS	V _{Rd}	V _{Rcd}	V _{Rsd}
1	0.00	1.00, 1.800.0037170.003717			0.00	0.00	1000.00	518.73	--	--
2	0.83	1.00, 1.800.0037170.003717			0.00	-2489.23	40.47	518.73	--	--
3	1.67	1.00, 1.800.0037170.003717			0.00	-2489.23	10.90	518.73	--	--
4	2.50	1.00, 1.800.0037170.003717			0.00	-2489.23	5.25	6021.08	6021.08	97523.99
5	3.34	1.00, 1.800.0037170.003717			0.00	-2489.23	3.22	6021.08	6021.08	97523.99
6	4.17	1.00, 1.800.0042470.003717			0.00	-2839.82	2.59	6021.08	6021.08	97523.99
7	5.01	1.00, 1.800.0042470.003717			0.00	-2839.82	2.00	518.73	--	--
8	5.84	1.00, 1.800.0042470.003717			0.00	-2839.82	1.65	518.73	--	--
9	6.68	1.00, 1.800.0058400.003717			0.00	-3884.58	1.98	518.73	--	--
10	7.51	1.00, 1.800.0058400.003717			0.00	-3884.58	1.83	518.73	--	--
11	8.35	1.00, 1.800.0053090.003717			0.00	-3537.49	1.62	518.73	--	--

COMBINAZIONE n° 11

Valore della spinta statica	808.0639	[kN]		
Componente orizzontale della spinta statica	692.7688	[kN]		
Componente verticale della spinta statica	415.9792	[kN]		
Punto d'applicazione della spinta	X = 8.85	[m]	Y = -6.81	[m]
Inclinaz. della spinta rispetto alla normale alla superficie	30.98	[°]		
Inclinazione linea di rottura in condizioni statiche	55.51	[°]		

Incremento sismico della spinta	280.2496	[kN]		
Punto d'applicazione dell'incremento sismico di spinta	X = 8.85	[m]	Y = -6.81	[m]
Inclinazione linea di rottura in condizioni sismiche	49.63	[°]		

Peso terrapieno gravante sulla fondazione a monte	2062.7878	[kN]		
Baricentro terrapieno gravante sulla fondazione a monte	X = 4.82	[m]	Y = -4.37	[m]
Inerzia del muro	72.2608	[kN]		
Inerzia verticale del muro	36.1304	[kN]		
Inerzia del terrapieno fondazione di monte	229.4975	[kN]		
Inerzia verticale del terrapieno fondazione di monte	114.7488	[kN]		

Risultanti

Risultante dei carichi applicati in dir. orizzontale	1235.4079	[kN]		
Risultante dei carichi applicati in dir. verticale	3428.9644	[kN]		
Resistenza passiva a valle del muro	-86.7256	[kN]		
Sforzo normale sul piano di posa della fondazione	3428.9644	[kN]		
Sforzo tangenziale sul piano di posa della fondazione	1235.4079	[kN]		
Eccentricità rispetto al baricentro della fondazione	1.14	[m]		
Lunghezza fondazione reagente	9.85	[m]		
Risultante in fondazione	3644.7263	[kN]		
Inclinazione della risultante (rispetto alla normale)	19.81	[°]		
Momento rispetto al baricentro della fondazione	3905.1407	[kNm]		
Carico ultimo della fondazione	11120.2785	[kN]		

Tensioni sul terreno

Lunghezza fondazione reagente	9.85	[m]		
Tensione terreno allo spigolo di valle	0.58962	[MPa]		
Tensione terreno allo spigolo di monte	0.10662	[MPa]		

Fattori per il calcolo della capacità portante

PV_D_SR_AP_MU_3_C_016-_001_N_001_R_A_0

Muro prefabbricato – MU.3C.016.N – Relazione di Calcolo

Coeff. capacità portante	$N_c = 61.35$	$N_q = 48.93$	$N_\gamma = 78.02$
Fattori forma	$s_c = 1.00$	$s_q = 1.00$	$s_\gamma = 1.00$
Fattori inclinazione	$i_c = 0.49$	$i_q = 0.51$	$i_\gamma = 0.33$
Fattori profondità	$d_c = 1.10$	$d_q = 1.07$	$d_\gamma = 1.00$
Fattori inclinazione piano posa	$b_c = 1.00$	$b_q = 1.00$	$b_\gamma = 1.00$
Fattori inclinazione pendio	$g_c = 1.00$	$g_q = 1.00$	$g_\gamma = 1.00$

I coefficienti N' tengono conto dei fattori di forma, profondità, inclinazione carico, inclinazione piano di posa, inclinazione pendio.

$N'_c = 46.85$	$N'_q = 36.29$	$N'_\gamma = 43.23$
----------------	----------------	---------------------

COEFFICIENTI DI SICUREZZA

Coefficiente di sicurezza a scorrimento

1.81

Coefficiente di sicurezza a carico ultimo

3.24

Sollecitazioni fondazione di valleCombinazione n° 11

L'ascissa X(espressa in m) è considerata positiva verso monte con origine in corrispondenza dell'estremo libero della fondazione di valle

Momento positivo se tende le fibre inferiori, espresso in kNm

Taglio positivo se diretto verso l'alto, espresso in kN

Nr.	X	M	T
1	0.00	0.0000	0.0000
2	0.05	0.6659	26.6146
3	0.10	2.6594	53.1066
4	0.15	5.9745	79.4759
5	0.20	10.6050	105.7228
6	0.25	16.5447	131.8470
7	0.30	23.7876	157.8486
8	0.35	32.3275	183.7276
9	0.40	42.1583	209.4841
10	0.45	53.2739	235.1180
11	0.50	65.6681	260.6292

Sollecitazioni fondazione di monteCombinazione n° 11

L'ascissa X(espressa in m) è considerata positiva verso valle con origine in corrispondenza dell'estremo libero della fondazione di monte

Momento positivo se tende le fibre inferiori, espresso in kNm

Taglio positivo se diretto verso l'alto, espresso in kN

Nr.	X	M	T
1	0.00	0.0000	0.0000
2	0.83	-72.6933	-167.1255
3	1.67	-267.4263	-292.3108
4	2.50	-549.1789	-375.5558
5	3.34	-882.9311	-416.8605
6	4.17	-1233.6626	-416.2250
7	5.01	-1566.3534	-373.6492
8	5.84	-1845.9833	-289.1331
9	6.68	-2037.5323	-162.6767
10	7.51	-2105.9801	5.7186
11	8.35	-2017.4446	212.0405

Armature e tensioni nei materiali della fondazioneCombinazione n° 11

Simbologia adottata

B	base della sezione espressa in [m]
H	altezza della sezione espressa in [m]
A_{fi}	area di armatura in corrispondenza del lembo inferiore in [mq]
A_{fs}	area di armatura in corrispondenza del lembo superiore in [mq]
N_u	sforzo normale ultimo espresso in [kN]
M_u	momento ultimo espresso in [kNm]
CS	coefficiente sicurezza sezione
VRcd	Aliquota di taglio assorbito dal cls, espresso in [kN]
VRsd	Aliquota di taglio assorbito dall'armatura, espresso in [kN]
VRd	Resistenza al taglio, espresso in [kN]

Fondazione di valle

(L'ascissa X, espressa in [m], è positiva verso monte con origine in corrispondenza dell'estremo libero della fondazione di valle)

PV_D_SR_AP_MU_3_C_016-_001_N_001_R_A_0

Muro prefabbricato – MU.3C.016.N – Relazione di Calcolo

Nr.	Y	B, H	A _{fs}	A _{fi}	N _u	M _u	CS	V _{Rd}	V _{Rcd}	V _{Rsd}
1	0.00	1.00, 1.800.0037170.003717			0.00	0.00	1000.00	518.73	--	--
2	0.05	1.00, 1.800.0037170.003717			0.00	2489.23	3738.28	518.73	--	--
3	0.10	1.00, 1.800.0037170.003717			0.00	2489.23	936.01	518.73	--	--
4	0.15	1.00, 1.800.0037170.003717			0.00	2489.23	416.64	518.73	--	--
5	0.20	1.00, 1.800.0037170.003717			0.00	2489.23	234.72	518.73	--	--
6	0.25	1.00, 1.800.0037170.003717			0.00	2489.23	150.45	518.73	--	--
7	0.30	1.00, 1.800.0037170.003717			0.00	2489.23	104.64	518.73	--	--
8	0.35	1.00, 1.800.0037170.003717			0.00	2489.23	77.00	518.73	--	--
9	0.40	1.00, 1.800.0037170.003717			0.00	2489.23	59.04	518.73	--	--
10	0.45	1.00, 1.800.0037170.003717			0.00	2489.23	46.73	518.73	--	--
11	0.50	1.00, 1.800.0037170.003717			0.00	2489.23	37.91	518.73	--	--

Fondazione di monte

(L'ascissa X, espressa in [m], è positiva verso valle con origine in corrispondenza dell'estremo libero della fondazione di monte)

Nr.	Y	B, H	A _{fs}	A _{fi}	N _u	M _u	CS	V _{Rd}	V _{Rcd}	V _{Rsd}
1	0.00	1.00, 1.800.0037170.003717			0.00	0.00	1000.00	518.73	--	--
2	0.83	1.00, 1.800.0037170.003717			0.00	-2489.23	34.24	518.73	--	--
3	1.67	1.00, 1.800.0037170.003717			0.00	-2489.23	9.31	518.73	--	--
4	2.50	1.00, 1.800.0037170.003717			0.00	-2489.23	4.53	6021.08	6021.0897523.99	6021.0897523.99
5	3.34	1.00, 1.800.0037170.003717			0.00	-2489.23	2.82	6021.08	6021.0897523.99	6021.0897523.99
6	4.17	1.00, 1.800.0042470.003717			0.00	-2839.82	2.30	6021.08	6021.0897523.99	6021.0897523.99
7	5.01	1.00, 1.800.0042470.003717			0.00	-2839.82	1.81	518.73	--	--
8	5.84	1.00, 1.800.0042470.003717			0.00	-2839.82	1.54	518.73	--	--
9	6.68	1.00, 1.800.0058400.003717			0.00	-3884.58	1.91	518.73	--	--
10	7.51	1.00, 1.800.0058400.003717			0.00	-3884.58	1.84	518.73	--	--
11	8.35	1.00, 1.800.0053090.003717			0.00	-3537.49	1.75	518.73	--	--

COMBINAZIONE n° 12

Valore della spinta statica	808.0639	[kN]		
Componente orizzontale della spinta statica	692.7688	[kN]		
Componente verticale della spinta statica	415.9792	[kN]		
Punto d'applicazione della spinta	X = 8.85	[m]	Y = -6.81	[m]
Inclinaz. della spinta rispetto alla normale alla superficie	30.98	[°]		
Inclinazione linea di rottura in condizioni statiche	55.51	[°]		
Incremento sismico della spinta	194.4289	[kN]		
Punto d'applicazione dell'incremento sismico di spinta	X = 8.85	[m]	Y = -6.81	[m]
Inclinazione linea di rottura in condizioni sismiche	48.88	[°]		
Peso terrapieno gravante sulla fondazione a monte	2062.7878	[kN]		
Baricentro terrapieno gravante sulla fondazione a monte	X = 4.82	[m]	Y = -4.37	[m]
Inerzia del muro	72.2608	[kN]		
Inerzia verticale del muro	-36.1304	[kN]		
Inerzia del terrapieno fondazione di monte	229.4975	[kN]		
Inerzia verticale del terrapieno fondazione di monte	-114.7488	[kN]		

Risultanti

Risultante dei carichi applicati in dir. orizzontale	1161.8322	[kN]
Risultante dei carichi applicati in dir. verticale	3083.0269	[kN]
Resistenza passiva a valle del muro	-86.7256	[kN]
Sforzo normale sul piano di posa della fondazione	3083.0269	[kN]
Sforzo tangenziale sul piano di posa della fondazione	1161.8322	[kN]
Eccentricità rispetto al baricentro della fondazione	1.23	[m]
Lunghezza fondazione reagente	9.85	[m]
Risultante in fondazione	3294.6789	[kN]
Inclinazione della risultante (rispetto alla normale)	20.65	[°]
Momento rispetto al baricentro della fondazione	3795.4864	[kNm]
Carico ultimo della fondazione	10266.2153	[kN]

PV_D_SR_AP_MU_3_C_016-_001_N_001_R_A_0

Muro prefabbricato – MU.3C.016.N – Relazione di Calcolo

Tensioni sul terreno

Lunghezza fondazione reagente	9.85	[m]
Tensione terreno allo spigolo di valle	0.54772	[MPa]
Tensione terreno allo spigolo di monte	0.07828	[MPa]

Fattori per il calcolo della capacità portante

Coeff. capacità portante	$N_c = 61.35$	$N_q = 48.93$	$N_\gamma = 78.02$
Fattori forma	$s_c = 1.00$	$s_q = 1.00$	$s_\gamma = 1.00$
Fattori inclinazione	$i_c = 0.47$	$i_q = 0.49$	$i_\gamma = 0.31$
Fattori profondità	$d_c = 1.10$	$d_q = 1.07$	$d_\gamma = 1.00$
Fattori inclinazione piano posa	$b_c = 1.00$	$b_q = 1.00$	$b_\gamma = 1.00$
Fattori inclinazione pendio	$g_c = 1.00$	$g_q = 1.00$	$g_\gamma = 1.00$

I coefficienti N' tengono conto dei fattori di forma, profondità, inclinazione carico, inclinazione piano di posa, inclinazione pendio.

$N'_c = 46.85$	$N'_q = 36.29$	$N'_\gamma = 43.23$
----------------	----------------	---------------------

COEFFICIENTI DI SICUREZZA

Coefficiente di sicurezza a scorrimento	1.73
Coefficiente di sicurezza a carico ultimo	3.33

Sollecitazioni fondazione di valleCombinazione n° 12

L'ascissa X(espressa in m) è considerata positiva verso monte con origine in corrispondenza dell'estremo libero della fondazione di valle

Momento positivo se tende le fibre inferiori, espresso in kNm

Taglio positivo se diretto verso l'alto, espresso in kN

Nr.	X	M	T
1	0.00	0.0000	0.0000
2	0.05	0.6135	24.5212
3	0.10	2.4501	48.9233
4	0.15	5.5039	73.2062
5	0.20	9.7688	97.3699
6	0.25	15.2389	121.4146
7	0.30	21.9082	145.3400
8	0.35	29.7709	169.1464
9	0.40	38.8209	192.8336
10	0.45	49.0523	216.4016
11	0.50	60.4591	239.8505

Sollecitazioni fondazione di monteCombinazione n° 12

L'ascissa X(espressa in m) è considerata positiva verso valle con origine in corrispondenza dell'estremo libero della fondazione di monte

Momento positivo se tende le fibre inferiori, espresso in kNm

Taglio positivo se diretto verso l'alto, espresso in kN

Nr.	X	M	T
1	0.00	0.0000	0.0000
2	0.83	-82.7063	-191.2689
3	1.67	-308.0129	-341.5576
4	2.50	-641.7013	-450.8660
5	3.34	-1049.5529	-519.1941
6	4.17	-1497.3493	-546.5419
7	5.01	-1950.8718	-532.9095
8	5.84	-2375.9020	-478.2968
9	6.68	-2738.2213	-382.7039
10	7.51	-3003.6113	-246.1319
11	8.35	-3138.9913	-72.5934

Armature e tensioni nei materiali della fondazioneCombinazione n° 12

Simbologia adottata

B	base della sezione espressa in [m]
H	altezza della sezione espressa in [m]
A_{fi}	area di armatura in corrispondenza del lembo inferiore in [mq]
A_{fs}	area di armatura in corrispondenza del lembo superiore in [mq]
N_u	sforzo normale ultimo espresso in [kN]
M_u	momento ultimo espresso in [kNm]

PV_D_SR_AP_MU_3_C_016-_001_N_001_R_A_0

Muro prefabbricato – MU.3C.016.N – Relazione di Calcolo

CS	coefficiente sicurezza sezione
VRcd	Aliquota di taglio assorbito dal cls, espresso in [kN]
VRsd	Aliquota di taglio assorbito dall'armatura, espresso in [kN]
VRd	Resistenza al taglio, espresso in [kN]

Fondazione di valle

(L'ascissa X, espressa in [m], è positiva verso monte con origine in corrispondenza dell'estremo libero della fondazione di valle)

Nr.	Y	B, H	A _{fs}	A _{fi}	N _u	M _u	CS	V _{Rd}	V _{Rcd}	V _{Rsd}
1	0.00	1.00, 1.800	1.800.0037170.003717	0.00	0.00	0.00	1000.00	518.73	--	--
2	0.05	1.00, 1.800	1.800.0037170.003717	0.00	2489.23	4057.24	518.73	518.73	--	--
3	0.10	1.00, 1.800	1.800.0037170.003717	0.00	2489.23	1015.96	518.73	518.73	--	--
4	0.15	1.00, 1.800	1.800.0037170.003717	0.00	2489.23	452.27	518.73	518.73	--	--
5	0.20	1.00, 1.800	1.800.0037170.003717	0.00	2489.23	254.81	518.73	518.73	--	--
6	0.25	1.00, 1.800	1.800.0037170.003717	0.00	2489.23	163.35	518.73	518.73	--	--
7	0.30	1.00, 1.800	1.800.0037170.003717	0.00	2489.23	113.62	518.73	518.73	--	--
8	0.35	1.00, 1.800	1.800.0037170.003717	0.00	2489.23	83.61	518.73	518.73	--	--
9	0.40	1.00, 1.800	1.800.0037170.003717	0.00	2489.23	64.12	518.73	518.73	--	--
10	0.45	1.00, 1.800	1.800.0037170.003717	0.00	2489.23	50.75	518.73	518.73	--	--
11	0.50	1.00, 1.800	1.800.0037170.003717	0.00	2489.23	41.17	518.73	518.73	--	--

Fondazione di monte

(L'ascissa X, espressa in [m], è positiva verso valle con origine in corrispondenza dell'estremo libero della fondazione di monte)

Nr.	Y	B, H	A _{fs}	A _{fi}	N _u	M _u	CS	V _{Rd}	V _{Rcd}	V _{Rsd}
1	0.00	1.00, 1.800	1.800.0037170.003717	0.00	0.00	0.00	1000.00	518.73	--	--
2	0.83	1.00, 1.800	1.800.0037170.003717	0.00	-2489.23	30.10	518.73	518.73	--	--
3	1.67	1.00, 1.800	1.800.0037170.003717	0.00	-2489.23	8.08	518.73	518.73	--	--
4	2.50	1.00, 1.800	1.800.0037170.003717	0.00	-2489.23	3.88	6021.08	6021.08	97523.99	97523.99
5	3.34	1.00, 1.800	1.800.0037170.003717	0.00	-2489.23	2.37	6021.08	6021.08	97523.99	97523.99
6	4.17	1.00, 1.800	1.800.0042470.003717	0.00	-2839.82	1.90	6021.08	6021.08	97523.99	97523.99
7	5.01	1.00, 1.800	1.800.0042470.003717	0.00	-2839.82	1.46	518.73	518.73	--	--
8	5.84	1.00, 1.800	1.800.0042470.003717	0.00	-2839.82	1.20	518.73	518.73	--	--
9	6.68	1.00, 1.800	1.800.0058400.003717	0.00	-3884.58	1.42	518.73	518.73	--	--
10	7.51	1.00, 1.800	1.800.0058400.003717	0.00	-3884.58	1.29	518.73	518.73	--	--
11	8.35	1.00, 1.800	1.800.0053090.003717	0.00	-3537.49	1.13	518.73	518.73	--	--

COMBINAZIONE n° 13

Valore della spinta statica	808.0639	[kN]		
Componente orizzontale della spinta statica	692.7688	[kN]		
Componente verticale della spinta statica	415.9792	[kN]		
Punto d'applicazione della spinta	X = 8.85	[m]	Y = -6.81	[m]
Inclinaz. della spinta rispetto alla normale alla superficie	30.98	[°]		
Inclinazione linea di rottura in condizioni statiche	55.51	[°]		
Incremento sismico della spinta	280.2496	[kN]		
Punto d'applicazione dell'incremento sismico di spinta	X = 8.85	[m]	Y = -6.81	[m]
Inclinazione linea di rottura in condizioni sismiche	49.63	[°]		
Peso terrapieno gravante sulla fondazione a monte	2062.7878	[kN]		
Baricentro terrapieno gravante sulla fondazione a monte	X = 4.82	[m]	Y = -4.37	[m]
Inerzia del muro	72.2608	[kN]		
Inerzia verticale del muro	36.1304	[kN]		
Inerzia del terrapieno fondazione di monte	229.4975	[kN]		
Inerzia verticale del terrapieno fondazione di monte	114.7488	[kN]		

Risultanti

Risultante dei carichi applicati in dir. orizzontale	1235.4079	[kN]
Risultante dei carichi applicati in dir. verticale	3428.9644	[kN]
Resistenza passiva a valle del muro	-86.7256	[kN]
Momento ribaltante rispetto allo spigolo a valle	7714.1007	[kNm]
Momento stabilizzante rispetto allo spigolo a valle	20696.6099	[kNm]

PV_D_SR_AP_MU_3_C_016-_001_N_001_R_A_0

Muro prefabbricato – MU.3C.016.N – Relazione di Calcolo

Sforzo normale sul piano di posa della fondazione	3428.9644	[kN]		
Sforzo tangenziale sul piano di posa della fondazione	1235.4079	[kN]		
Eccentricità rispetto al baricentro della fondazione	1.14	[m]		
Lunghezza fondazione reagente	9.85	[m]		
Risultante in fondazione	3644.7263	[kN]		
Inclinazione della risultante (rispetto alla normale)	19.81	[°]		
Momento rispetto al baricentro della fondazione	3905.1407	[kNm]		

COEFFICIENTI DI SICUREZZA

Coefficiente di sicurezza a ribaltamento 2.68

COMBINAZIONE n° 14

Valore della spinta statica	808.0639	[kN]		
Componente orizzontale della spinta statica	692.7688	[kN]		
Componente verticale della spinta statica	415.9792	[kN]		
Punto d'applicazione della spinta	X = 8.85	[m]	Y = -6.81	[m]
Inclinaz. della spinta rispetto alla normale alla superficie	30.98	[°]		
Inclinazione linea di rottura in condizioni statiche	55.51	[°]		
Incremento sismico della spinta	194.4289	[kN]		
Punto d'applicazione dell'incremento sismico di spinta	X = 8.85	[m]	Y = -6.81	[m]
Inclinazione linea di rottura in condizioni sismiche	48.88	[°]		
Peso terrapieno gravante sulla fondazione a monte	2062.7878	[kN]		
Baricentro terrapieno gravante sulla fondazione a monte	X = 4.82	[m]	Y = -4.37	[m]
Inerzia del muro	72.2608	[kN]		
Inerzia verticale del muro	-36.1304	[kN]		
Inerzia del terrapieno fondazione di monte	229.4975	[kN]		
Inerzia verticale del terrapieno fondazione di monte	-114.7488	[kN]		

Risultanti

Risultante dei carichi applicati in dir. orizzontale	1161.8322	[kN]		
Risultante dei carichi applicati in dir. verticale	3083.0269	[kN]		
Resistenza passiva a valle del muro	-86.7256	[kN]		
Momento ribaltante rispetto allo spigolo a valle	8073.2585	[kNm]		
Momento stabilizzante rispetto allo spigolo a valle	19461.6798	[kNm]		
Sforzo normale sul piano di posa della fondazione	3083.0269	[kN]		
Sforzo tangenziale sul piano di posa della fondazione	1161.8322	[kN]		
Eccentricità rispetto al baricentro della fondazione	1.23	[m]		
Lunghezza fondazione reagente	9.85	[m]		
Risultante in fondazione	3294.6789	[kN]		
Inclinazione della risultante (rispetto alla normale)	20.65	[°]		
Momento rispetto al baricentro della fondazione	3795.4864	[kNm]		

COEFFICIENTI DI SICUREZZA

Coefficiente di sicurezza a ribaltamento 2.41

Stabilità globale muro + terreno**Combinazione n° 15**

Le ascisse X sono considerate positive verso monte

Le ordinate Y sono considerate positive verso l'alto

Origine in testa al muro (spigolo contro terra)

W	peso della striscia espresso in [kN]
α	angolo fra la base della striscia e l'orizzontale espresso in [°] (positivo antiorario)
ϕ	angolo d'attrito del terreno lungo la base della striscia
c	coesione del terreno lungo la base della striscia espressa in [MPa]
b	larghezza della striscia espressa in [m]
u	pressione neutra lungo la base della striscia espressa in [MPa]

Metodo di Bishop

Numero di cerchi analizzati 36

Numero di strisce 25

Muro prefabbricato – MU.3C.016.N – Relazione di Calcolo

Cerchio critico

Coordinate del centro $X[m] = -2.38$ $Y[m] = 10.70$ Raggio del cerchio $R[m] = 26.04$ Ascissa a valle del cerchio $X_i[m] = -17.66$ Ascissa a monte del cerchio $X_s[m] = 23.04$ Larghezza della striscia $dx[m] = 1.63$ Coefficiente di sicurezza $C = 1.49$

Le strisce sono numerate da monte verso valle

Caratteristiche delle strisce

Striscia	W	$\alpha(^{\circ})$	$W\sin\alpha$	$b/\cos\alpha$	ϕ	c	u
1	7519.98	71.61	7135.89	5.16	32.01	0.000	0.000
2	19773.11	62.15	17483.64	3.49	32.01	0.000	0.000
3	28100.98	55.18	23069.43	2.85	32.01	0.000	0.000
4	34602.00	49.29	26230.86	2.50	32.01	0.000	0.000
5	39927.42	44.05	27763.38	2.27	32.01	0.000	0.000
6	44389.27	39.25	28084.62	2.10	32.01	0.000	0.000
7	48166.85	34.76	27458.59	1.98	32.01	0.000	0.000
8	51374.25	30.50	26071.37	1.89	32.01	0.000	0.000
9	53708.51	26.42	23895.04	1.82	32.01	0.000	0.000
10	54439.53	22.48	20814.18	1.76	32.01	0.000	0.000
11	53312.77	18.65	17048.18	1.72	32.01	0.000	0.000
12	51816.99	14.91	13328.52	1.68	32.01	0.000	0.000
13	49973.60	11.23	9728.51	1.66	32.01	0.000	0.000
14	49406.81	7.59	6527.91	1.64	32.01	0.000	0.000
15	35657.43	3.99	2481.04	1.63	32.01	0.000	0.000
16	15145.13	0.40	106.55	1.63	32.01	0.000	0.000
17	15023.71	-3.18	-833.97	1.63	32.01	0.000	0.000
18	14587.46	-6.78	-1722.13	1.64	32.01	0.000	0.000
19	13831.10	-10.40	-2497.93	1.66	32.01	0.000	0.000
20	12745.24	-14.07	-3099.03	1.68	32.01	0.000	0.000
21	11315.70	-17.80	-3459.26	1.71	32.01	0.000	0.000
22	9522.56	-21.61	-3506.80	1.75	32.01	0.000	0.000
23	7338.56	-25.52	-3161.65	1.80	32.01	0.000	0.000
24	4726.61	-29.56	-2332.11	1.87	32.01	0.000	0.000
25	1635.85	-33.78	-909.51	1.96	32.01	0.000	0.000

 $\Sigma W_i = 7139.7607$ [kN] $\Sigma W_i \sin\alpha_i = 2507.6526$ [kN] $\Sigma W_i \tan\phi_i = 4462.5539$ [kN] $\Sigma \tan\alpha_i \tan\phi_i = 5.91$ **Stabilità globale muro + terreno**Combinazione n° 16

Le ascisse X sono considerate positive verso monte

Le ordinate Y sono considerate positive verso l'alto

Origine in testa al muro (spigolo contro terra)

W peso della striscia espresso in [kN]

 α angolo fra la base della striscia e l'orizzontale espresso in $^{\circ}$ (positivo antiorario) ϕ angolo d'attrito del terreno lungo la base della striscia

c coesione del terreno lungo la base della striscia espressa in [MPa]

b larghezza della striscia espressa in [m]

u pressione neutra lungo la base della striscia espressa in [MPa]

Metodo di Bishop

Numero di cerchi analizzati 36

Numero di strisce 25

Cerchio critico

Coordinate del centro $X[m] = -2.38$ $Y[m] = 10.70$ Raggio del cerchio $R[m] = 26.04$ Ascissa a valle del cerchio $X_i[m] = -17.66$ Ascissa a monte del cerchio $X_s[m] = 23.04$

PV_D_SR_AP_MU_3_C_016-_001_N_001_R_A_0

Muro prefabbricato – MU.3C.016.N – Relazione di Calcolo

Larghezza della striscia dx[m]= 1.63

Coefficiente di sicurezza C= 1.46

Le strisce sono numerate da monte verso valle

Caratteristiche delle strisce

Striscia	W	$\alpha(^{\circ})$	$W\sin\alpha$	$b/\cos\alpha$	ϕ	c	u
1	7519.98	71.61	7135.89	5.16	32.01	0.000	0.000
2	19773.11	62.15	17483.64	3.49	32.01	0.000	0.000
3	28100.98	55.18	23069.43	2.85	32.01	0.000	0.000
4	34602.00	49.29	26230.86	2.50	32.01	0.000	0.000
5	39927.42	44.05	27763.38	2.27	32.01	0.000	0.000
6	44389.27	39.25	28084.62	2.10	32.01	0.000	0.000
7	48166.85	34.76	27458.59	1.98	32.01	0.000	0.000
8	51374.25	30.50	26071.37	1.89	32.01	0.000	0.000
9	53708.51	26.42	23895.04	1.82	32.01	0.000	0.000
10	54439.53	22.48	20814.18	1.76	32.01	0.000	0.000
11	53312.77	18.65	17048.18	1.72	32.01	0.000	0.000
12	51816.99	14.91	13328.52	1.68	32.01	0.000	0.000
13	49973.60	11.23	9728.51	1.66	32.01	0.000	0.000
14	49406.81	7.59	6527.91	1.64	32.01	0.000	0.000
15	35657.43	3.99	2481.04	1.63	32.01	0.000	0.000
16	15145.13	0.40	106.55	1.63	32.01	0.000	0.000
17	15023.71	-3.18	-833.97	1.63	32.01	0.000	0.000
18	14587.46	-6.78	-1722.13	1.64	32.01	0.000	0.000
19	13831.10	-10.40	-2497.93	1.66	32.01	0.000	0.000
20	12745.24	-14.07	-3099.03	1.68	32.01	0.000	0.000
21	11315.70	-17.80	-3459.26	1.71	32.01	0.000	0.000
22	9522.56	-21.61	-3506.80	1.75	32.01	0.000	0.000
23	7338.56	-25.52	-3161.65	1.80	32.01	0.000	0.000
24	4726.61	-29.56	-2332.11	1.87	32.01	0.000	0.000
25	1635.85	-33.78	-909.51	1.96	32.01	0.000	0.000

 $\Sigma W_i = 7139.7607$ [kN] $\Sigma W_i \sin \alpha_i = 2507.6526$ [kN] $\Sigma W_i \tan \phi_i = 4462.5539$ [kN] $\Sigma \tan \alpha_i \tan \phi_i = 5.91$ **Sollecitazioni fondazione di valle**Combinazione n° 17

L'ascissa X(espressa in m) è considerata positiva verso monte con origine in corrispondenza dell'estremo libero della fondazione di valle

Momento positivo se tende le fibre inferiori, espresso in kNm

Taglio positivo se diretto verso l'alto, espresso in kN

Nr.	X	M	T
1	0.00	0.0000	0.0000
2	0.05	0.3443	13.7719
3	0.10	1.3771	27.5358
4	0.15	3.0978	41.2916
5	0.20	5.5061	55.0395
6	0.25	8.6016	68.7793
7	0.30	12.3839	82.5111
8	0.35	16.8526	96.2349
9	0.40	22.0072	109.9507
10	0.45	27.8475	123.6584
11	0.50	34.3729	137.3581

Sollecitazioni fondazione di monteCombinazione n° 17

L'ascissa X(espressa in m) è considerata positiva verso valle con origine in corrispondenza dell'estremo libero della fondazione di monte

Momento positivo se tende le fibre inferiori, espresso in kNm

Taglio positivo se diretto verso l'alto, espresso in kN

Nr.	X	M	T
1	0.00	0.0000	0.0000

PV_D_SR_AP_MU_3_C_016-_001_N_001_R_A_0

Muro prefabbricato – MU.3C.016.N – Relazione di Calcolo

2	0.83	-9.7177	-21.6112
3	1.67	-33.3107	-33.2342
4	2.50	-62.4388	-34.8690
5	3.34	-88.7619	-26.5156
6	4.17	-103.9399	-8.1740
7	5.01	-99.6325	20.1558
8	5.84	-67.4997	58.4738
9	6.68	0.7987	106.7800
10	7.51	113.6029	165.0731
11	8.35	278.1151	229.3407

Armature e tensioni nei materiali della fondazioneCombinazione n° 17

Simbologia adottata

B	base della sezione espressa in [m]
H	altezza della sezione espressa in [m]
A _{fi}	area di armatura in corrispondenza del lembo inferiore in [mq]
A _{fs}	area di armatura in corrispondenza del lembo superiore in [mq]
σ _c	tensione nel calcestruzzo espressa in [MPa]
τ _c	tensione tangenziale nel calcestruzzo espressa in [MPa]
σ _{fi}	tensione nell'armatura disposta in corrispondenza del lembo inferiore in [MPa]
σ _{fs}	tensione nell'armatura disposta in corrispondenza del lembo superiore in [MPa]

Fondazione di valle

(L'ascissa X, espressa in [m], è positiva verso monte con origine in corrispondenza dell'estremo libero della fondazione di valle)

Nr.	X	B, H	A _{fs}	A _{fi}	σ _c	τ _c	σ _{fi}	σ _{fs}
1	0.00	1.00, 1.800.0037170.003717	1.800.0037170.003717	0.0037170.003717	0.000	0.000	0.000	0.000
2	0.05	1.00, 1.800.0037170.003717	1.800.0037170.003717	0.0037170.003717	0.001	0.009	0.056	-0.012
3	0.10	1.00, 1.800.0037170.003717	1.800.0037170.003717	0.0037170.003717	0.004	0.018	0.223	-0.049
4	0.15	1.00, 1.800.0037170.003717	1.800.0037170.003717	0.0037170.003717	0.008	0.028	0.502	-0.110
5	0.20	1.00, 1.800.0037170.003717	1.800.0037170.003717	0.0037170.003717	0.015	0.037	0.892	-0.196
6	0.25	1.00, 1.800.0037170.003717	1.800.0037170.003717	0.0037170.003717	0.023	0.046	1.394	-0.307
7	0.30	1.00, 1.800.0037170.003717	1.800.0037170.003717	0.0037170.003717	0.033	0.055	2.007	-0.442
8	0.35	1.00, 1.800.0037170.003717	1.800.0037170.003717	0.0037170.003717	0.045	0.064	2.731	-0.601
9	0.40	1.00, 1.800.0037170.003717	1.800.0037170.003717	0.0037170.003717	0.059	0.073	3.567	-0.785
10	0.45	1.00, 1.800.0037170.003717	1.800.0037170.003717	0.0037170.003717	0.075	0.083	4.513	-0.993
11	0.50	1.00, 1.800.0037170.003717	1.800.0037170.003717	0.0037170.003717	0.092	0.092	5.571	-1.226

Fondazione di monte

(L'ascissa X, espressa in [m], è positiva verso valle con origine in corrispondenza dell'estremo libero della fondazione di monte)

Nr.	X	B, H	A _{fs}	A _{fi}	σ _c	τ _c	σ _{fi}	σ _{fs}
1	0.00	1.00, 1.800.0037170.003717	1.800.0037170.003717	0.0037170.003717	0.000	0.000	0.000	0.000
2	0.83	1.00, 1.800.0037170.003717	1.800.0037170.003717	0.0037170.003717	0.026	-0.014	-0.346	1.575
3	1.67	1.00, 1.800.0037170.003717	1.800.0037170.003717	0.0037170.003717	0.089	-0.022	-1.188	5.399
4	2.50	1.00, 1.800.0037170.003717	1.800.0037170.003717	0.0037170.003717	0.168	-0.023	-2.226	10.120
5	3.34	1.00, 1.800.0037170.003717	1.800.0037170.003717	0.0037170.003717	0.238	-0.018	-3.165	14.386
6	4.17	1.00, 1.800.0042470.003717	1.800.0042470.003717	0.0037170.003717	0.266	-0.005	-3.560	14.802
7	5.01	1.00, 1.800.0042470.003717	1.800.0042470.003717	0.0037170.003717	0.255	0.013	-3.413	14.188
8	5.84	1.00, 1.800.0042470.003717	1.800.0042470.003717	0.0037170.003717	0.173	0.039	-2.312	9.612
9	6.68	1.00, 1.800.0058400.003717	1.800.0058400.003717	0.0037170.003717	0.002	0.071	0.129	-0.026
10	7.51	1.00, 1.800.0058400.003717	1.800.0058400.003717	0.0037170.003717	0.281	0.110	18.278	-3.702
11	8.35	1.00, 1.800.0053090.003717	1.800.0053090.003717	0.0037170.003717	0.702	0.153	44.821	-9.265

Verifiche a fessurazioneCombinazione n° 17

L'ordinata Y (espressa in [m]) è considerata positiva verso il basso con origine in testa al muro

A _{fs}	area di armatura in corrispondenza del lembo di monte in [mq]
A _{fi}	area di armatura in corrispondenza del lembo di valle in [mq]
M _{pf}	Momento di prima fessurazione espressa in [kNm]
M	Momento agente nella sezione espressa in [kNm]
ε _m	deformazione media espressa in [%]
s _m	Distanza media tra le fessure espressa in [mm]
w	Apertura media della fessura espressa in [mm]

Muro prefabbricato – MU.3C.016.N – Relazione di CalcoloVerifica fessurazione paramento

N°	Y	A _{fs}	A _{fi}	M _{pf}	M	ε _m	S _m	w
1	0.00	0.003660	0.001005	-78.08	-6.00	0.0000	0.00	0.000
2	0.55	0.003660	0.001005	-78.08	-11.78	0.0000	0.00	0.000
3	1.10	0.003660	0.001005	-78.08	-31.45	0.0000	0.00	0.000
4	1.65	0.003660	0.001005	-78.08	-59.04	0.0000	0.00	0.000
5	2.20	0.003660	0.001005	-78.08	-87.35	0.0154	103.47	0.027
6	2.75	0.003660	0.001005	-78.08	-117.56	0.0263	103.47	0.046
7	3.30	0.003660	0.001005	-78.08	-151.27	0.0387	103.47	0.068
8	3.85	0.007320	0.001005	-93.83	-190.06	0.0262	78.61	0.035
9	4.40	0.007320	0.003660	-96.76	-235.10	0.0327	78.61	0.044
10	4.95	0.004665	0.003660	-85.05	-287.36	0.0646	90.39	0.099
11	5.50	0.003660	0.002655	-79.67	-347.98	0.1018	103.47	0.179
12	5.50	0.005309	0.002655	-304.66	-339.32	0.0173	93.15	0.027
13	6.05	0.005309	0.002655	-304.66	-409.13	0.0214	93.15	0.034
14	6.60	0.005309	0.002655	-304.66	-488.92	0.0313	93.15	0.050
15	7.15	0.005309	0.002655	-304.66	-579.14	0.0418	93.15	0.066
16	7.70	0.005309	0.002655	-304.66	-680.44	0.0530	93.15	0.084
17	8.25	0.005309	0.002655	-304.66	-793.44	0.0651	93.15	0.103
18	8.80	0.005309	0.002655	-304.66	-918.56	0.0782	93.15	0.124
19	9.35	0.006371	0.003186	-316.76	-1056.14	0.0772	85.46	0.112
20	9.90	0.006371	0.003186	-316.76	-1206.62	0.0902	85.46	0.131
21	10.45	0.007433	0.002655	-326.14	-1370.34	0.0906	80.04	0.123
22	11.00	0.007964	0.002655	-331.50	-1547.53	0.0972	77.90	0.129

Verifica fessurazione fondazione

N°	Y	A _{fs}	A _{fi}	M _{pf}	M	ε _m	S _m	w
1	-1.00	0.003717	0.003717	-881.78	0.00	0.0000	0.00	0.000
2	-0.95	0.003717	0.003717	881.78	0.34	0.0000	0.00	0.000
3	-0.90	0.003717	0.003717	881.78	1.38	0.0000	0.00	0.000
4	-0.85	0.003717	0.003717	881.78	3.10	0.0000	0.00	0.000
5	-0.80	0.003717	0.003717	881.78	5.51	0.0000	0.00	0.000
6	-0.75	0.003717	0.003717	881.78	8.60	0.0000	0.00	0.000
7	-0.70	0.003717	0.003717	881.78	12.38	0.0000	0.00	0.000
8	-0.65	0.003717	0.003717	881.78	16.85	0.0000	0.00	0.000
9	-0.60	0.003717	0.003717	881.78	22.01	0.0000	0.00	0.000
10	-0.55	0.003717	0.003717	881.78	27.85	0.0000	0.00	0.000
11	-0.50	0.003717	0.003717	881.78	34.37	0.0000	0.00	0.000
12	0.50	0.005309	0.003717	889.28	278.12	0.0000	0.00	0.000
13	1.33	0.005840	0.003717	891.74	113.60	0.0000	0.00	0.000
14	2.17	0.005840	0.003717	891.74	0.80	0.0000	0.00	0.000
15	3.00	0.004247	0.003717	-892.09	-67.50	0.0000	0.00	0.000
16	3.84	0.004247	0.003717	-892.09	-99.63	0.0000	0.00	0.000
17	4.67	0.004247	0.003717	-892.09	-103.94	0.0000	0.00	0.000
18	5.51	0.003717	0.003717	-881.78	-88.76	0.0000	0.00	0.000
19	6.34	0.003717	0.003717	-881.78	-62.44	0.0000	0.00	0.000
20	7.18	0.003717	0.003717	-881.78	-33.31	0.0000	0.00	0.000
21	8.02	0.003717	0.003717	-881.78	-9.72	0.0000	0.00	0.000
22	8.85	0.003717	0.003717	-881.78	0.00	0.0000	0.00	0.000

Sollecitazioni fondazione di valleCombinazione n° 18

L'ascissa X(espressa in m) è considerata positiva verso monte con origine in corrispondenza dell'estremo libero della fondazione di valle

Momento positivo se tende le fibre inferiori, espresso in kNm

Taglio positivo se diretto verso l'alto, espresso in kN

Nr.	X	M	T
1	0.00	0.0000	0.0000
2	0.05	0.3443	13.7719
3	0.10	1.3771	27.5358
4	0.15	3.0978	41.2916

PV_D_SR_AP_MU_3_C_016-_001_N_001_R_A_0

Muro prefabbricato – MU.3C.016.N – Relazione di Calcolo

5	0.20	5.5061	55.0395
6	0.25	8.6016	68.7793
7	0.30	12.3839	82.5111
8	0.35	16.8526	96.2349
9	0.40	22.0072	109.9507
10	0.45	27.8475	123.6584
11	0.50	34.3729	137.3581

Sollecitazioni fondazione di monteCombinazione n° 18

L'ascissa X(espressa in m) è considerata positiva verso valle con origine in corrispondenza dell'estremo libero della fondazione di monte

Momento positivo se tende le fibre inferiori, espresso in kNm

Taglio positivo se diretto verso l'alto, espresso in kN

Nr.	X	M	T
1	0.00	0.0000	0.0000
2	0.83	-9.7177	-21.6112
3	1.67	-33.3107	-33.2342
4	2.50	-62.4388	-34.8690
5	3.34	-88.7619	-26.5156
6	4.17	-103.9399	-8.1740
7	5.01	-99.6325	20.1558
8	5.84	-67.4997	58.4738
9	6.68	0.7987	106.7800
10	7.51	113.6029	165.0731
11	8.35	278.1151	229.3407

Armature e tensioni nei materiali della fondazioneCombinazione n° 18

Simbologia adottata

B base della sezione espressa in [m]

H altezza della sezione espressa in [m]

A_{fi} area di armatura in corrispondenza del lembo inferiore in [mq]

A_{fs} area di armatura in corrispondenza del lembo superiore in [mq]

σ_c tensione nel calcestruzzo espressa in [MPa]

τ_c tensione tangenziale nel calcestruzzo espressa in [MPa]

σ_{fi} tensione nell'armatura disposta in corrispondenza del lembo inferiore in [MPa]

σ_{fs} tensione nell'armatura disposta in corrispondenza del lembo superiore in [MPa]

Fondazione di valle

(L'ascissa X, espressa in [m], è positiva verso monte con origine in corrispondenza dell'estremo libero della fondazione di valle)

Nr.	X	B, H	A_{fs}	A_{fi}	σ_c	τ_c	σ_{fi}	σ_{fs}
1	0.00	1.00, 1.800	0.0037170	0.003717	0.000	0.000	0.000	0.000
2	0.05	1.00, 1.800	0.0037170	0.003717	0.001	0.009	0.056	-0.012
3	0.10	1.00, 1.800	0.0037170	0.003717	0.004	0.018	0.223	-0.049
4	0.15	1.00, 1.800	0.0037170	0.003717	0.008	0.028	0.502	-0.110
5	0.20	1.00, 1.800	0.0037170	0.003717	0.015	0.037	0.892	-0.196
6	0.25	1.00, 1.800	0.0037170	0.003717	0.023	0.046	1.394	-0.307
7	0.30	1.00, 1.800	0.0037170	0.003717	0.033	0.055	2.007	-0.442
8	0.35	1.00, 1.800	0.0037170	0.003717	0.045	0.064	2.731	-0.601
9	0.40	1.00, 1.800	0.0037170	0.003717	0.059	0.073	3.567	-0.785
10	0.45	1.00, 1.800	0.0037170	0.003717	0.075	0.083	4.513	-0.993
11	0.50	1.00, 1.800	0.0037170	0.003717	0.092	0.092	5.571	-1.226

Fondazione di monte

(L'ascissa X, espressa in [m], è positiva verso valle con origine in corrispondenza dell'estremo libero della fondazione di monte)

Nr.	X	B, H	A_{fs}	A_{fi}	σ_c	τ_c	σ_{fi}	σ_{fs}
1	0.00	1.00, 1.800	0.0037170	0.003717	0.000	0.000	0.000	0.000
2	0.83	1.00, 1.800	0.0037170	0.003717	0.026	-0.014	-0.346	1.575
3	1.67	1.00, 1.800	0.0037170	0.003717	0.089	-0.022	-1.188	5.399
4	2.50	1.00, 1.800	0.0037170	0.003717	0.168	-0.023	-2.226	10.120
5	3.34	1.00, 1.800	0.0037170	0.003717	0.238	-0.018	-3.165	14.386
6	4.17	1.00, 1.800	0.0042470	0.003717	0.266	-0.005	-3.560	14.802
7	5.01	1.00, 1.800	0.0042470	0.003717	0.255	0.013	-3.413	14.188

PV_D_SR_AP_MU_3_C_016-_001_N_001_R_A_0

Muro prefabbricato – MU.3C.016.N – Relazione di Calcolo

8	5.84	1.00, 1.800.0042470.003717	0.173	0.039	-2.312	9.612
9	6.68	1.00, 1.800.0058400.003717	0.002	0.071	0.129	-0.026
10	7.51	1.00, 1.800.0058400.003717	0.281	0.110	18.278	-3.702
11	8.35	1.00, 1.800.0053090.003717	0.702	0.153	44.821	-9.265

Verifiche a fessurazioneCombinazione n° 18

L'ordinata Y (espressa in [m]) è considerata positiva verso il basso con origine in testa al muro

A_{fs} area di armatura in corrispondenza del lembo di monte in [mq]A_{fi} area di armatura in corrispondenza del lembo di valle in [mq]M_{pf} Momento di prima fessurazione espressa in [kNm]

M Momento agente nella sezione espressa in [kNm]

ε_m deformazione media espressa in [%]S_m Distanza media tra le fessure espressa in [mm]

w Apertura media della fessura espressa in [mm]

Verifica fessurazione paramento

N°	Y	A _{fs}	A _{fi}	M _{pf}	M	ε _m	S _m	w
1	0.00	0.003660	0.001005	-78.08	-6.00	0.0000	0.00	0.000
2	0.55	0.003660	0.001005	-78.08	-11.78	0.0000	0.00	0.000
3	1.10	0.003660	0.001005	-78.08	-31.45	0.0000	0.00	0.000
4	1.65	0.003660	0.001005	-78.08	-59.04	0.0000	0.00	0.000
5	2.20	0.003660	0.001005	-78.08	-87.35	0.0154	103.47	0.027
6	2.75	0.003660	0.001005	-78.08	-117.56	0.0263	103.47	0.046
7	3.30	0.003660	0.001005	-78.08	-151.27	0.0387	103.47	0.068
8	3.85	0.007320	0.001005	-93.83	-190.06	0.0262	78.61	0.035
9	4.40	0.007320	0.003660	-96.76	-235.10	0.0327	78.61	0.044
10	4.95	0.004665	0.003660	-85.05	-287.36	0.0646	90.39	0.099
11	5.50	0.003660	0.002655	-79.67	-347.98	0.1018	103.47	0.179
12	5.50	0.005309	0.002655	-304.66	-339.32	0.0173	93.15	0.027
13	6.05	0.005309	0.002655	-304.66	-409.13	0.0214	93.15	0.034
14	6.60	0.005309	0.002655	-304.66	-488.92	0.0313	93.15	0.050
15	7.15	0.005309	0.002655	-304.66	-579.14	0.0418	93.15	0.066
16	7.70	0.005309	0.002655	-304.66	-680.44	0.0530	93.15	0.084
17	8.25	0.005309	0.002655	-304.66	-793.44	0.0651	93.15	0.103
18	8.80	0.005309	0.002655	-304.66	-918.56	0.0782	93.15	0.124
19	9.35	0.006371	0.003186	-316.76	-1056.14	0.0772	85.46	0.112
20	9.90	0.006371	0.003186	-316.76	-1206.62	0.0902	85.46	0.131
21	10.45	0.007433	0.002655	-326.14	-1370.34	0.0906	80.04	0.123
22	11.00	0.007964	0.002655	-331.50	-1547.53	0.0972	77.90	0.129

Verifica fessurazione fondazione

N°	Y	A _{fs}	A _{fi}	M _{pf}	M	ε _m	S _m	w
1	-1.00	0.003717	0.003717	-881.78	0.00	0.0000	0.00	0.000
2	-0.95	0.003717	0.003717	881.78	0.34	0.0000	0.00	0.000
3	-0.90	0.003717	0.003717	881.78	1.38	0.0000	0.00	0.000
4	-0.85	0.003717	0.003717	881.78	3.10	0.0000	0.00	0.000
5	-0.80	0.003717	0.003717	881.78	5.51	0.0000	0.00	0.000
6	-0.75	0.003717	0.003717	881.78	8.60	0.0000	0.00	0.000
7	-0.70	0.003717	0.003717	881.78	12.38	0.0000	0.00	0.000
8	-0.65	0.003717	0.003717	881.78	16.85	0.0000	0.00	0.000
9	-0.60	0.003717	0.003717	881.78	22.01	0.0000	0.00	0.000
10	-0.55	0.003717	0.003717	881.78	27.85	0.0000	0.00	0.000
11	-0.50	0.003717	0.003717	881.78	34.37	0.0000	0.00	0.000
12	0.50	0.005309	0.003717	889.28	278.12	0.0000	0.00	0.000
13	1.33	0.005840	0.003717	891.74	113.60	0.0000	0.00	0.000
14	2.17	0.005840	0.003717	891.74	0.80	0.0000	0.00	0.000
15	3.00	0.004247	0.003717	-892.09	-67.50	0.0000	0.00	0.000
16	3.84	0.004247	0.003717	-892.09	-99.63	0.0000	0.00	0.000
17	4.67	0.004247	0.003717	-892.09	-103.94	0.0000	0.00	0.000
18	5.51	0.003717	0.003717	-881.78	-88.76	0.0000	0.00	0.000
19	6.34	0.003717	0.003717	-881.78	-62.44	0.0000	0.00	0.000

PV_D_SR_AP_MU_3_C_016-_001_N_001_R_A_0

Muro prefabbricato – MU.3C.016.N – Relazione di Calcolo

20	7.18	0.003717	0.003717	-881.78	-33.31	0.0000	0.00	0.000
21	8.02	0.003717	0.003717	-881.78	-9.72	0.0000	0.00	0.000
22	8.85	0.003717	0.003717	-881.78	0.00	0.0000	0.00	0.000

Sollecitazioni fondazione di valleCombinazione n° 19

L'ascissa X(espressa in m) è considerata positiva verso monte con origine in corrispondenza dell'estremo libero della fondazione di valle

Momento positivo se tende le fibre inferiori, espresso in kNm

Taglio positivo se diretto verso l'alto, espresso in kN

Nr.	X	M	T
1	0.00	0.0000	0.0000
2	0.05	0.3443	13.7719
3	0.10	1.3771	27.5358
4	0.15	3.0978	41.2916
5	0.20	5.5061	55.0395
6	0.25	8.6016	68.7793
7	0.30	12.3839	82.5111
8	0.35	16.8526	96.2349
9	0.40	22.0072	109.9507
10	0.45	27.8475	123.6584
11	0.50	34.3729	137.3581

Sollecitazioni fondazione di monteCombinazione n° 19

L'ascissa X(espressa in m) è considerata positiva verso valle con origine in corrispondenza dell'estremo libero della fondazione di monte

Momento positivo se tende le fibre inferiori, espresso in kNm

Taglio positivo se diretto verso l'alto, espresso in kN

Nr.	X	M	T
1	0.00	0.0000	0.0000
2	0.83	-9.7177	-21.6112
3	1.67	-33.3107	-33.2342
4	2.50	-62.4388	-34.8690
5	3.34	-88.7619	-26.5156
6	4.17	-103.9399	-8.1740
7	5.01	-99.6325	20.1558
8	5.84	-67.4997	58.4738
9	6.68	0.7987	106.7800
10	7.51	113.6029	165.0731
11	8.35	278.1151	229.3407

Armature e tensioni nei materiali della fondazioneCombinazione n° 19

Simbologia adottata

B base della sezione espressa in [m]

H altezza della sezione espressa in [m]

A_{fi} area di armatura in corrispondenza del lembo inferiore in [mq]

A_{fs} area di armatura in corrispondenza del lembo superiore in [mq]

σ_c tensione nel calcestruzzo espressa in [MPa]

τ_c tensione tangenziale nel calcestruzzo espressa in [MPa]

σ_{fi} tensione nell'armatura disposta in corrispondenza del lembo inferiore in [MPa]

σ_{fs} tensione nell'armatura disposta in corrispondenza del lembo superiore in [MPa]

Fondazione di valle

(L'ascissa X, espressa in [m], è positiva verso monte con origine in corrispondenza dell'estremo libero della fondazione di valle)

Nr.	X	B, H	A _{fs}	A _{fi}	σ _c	τ _c	σ _{fi}	σ _{fs}
1	0.00	1.00, 1.800	0.003717	0.003717	0.000	0.000	0.000	0.000
2	0.05	1.00, 1.800	0.003717	0.003717	0.001	0.009	0.056	-0.012
3	0.10	1.00, 1.800	0.003717	0.003717	0.004	0.018	0.223	-0.049
4	0.15	1.00, 1.800	0.003717	0.003717	0.008	0.028	0.502	-0.110
5	0.20	1.00, 1.800	0.003717	0.003717	0.015	0.037	0.892	-0.196
6	0.25	1.00, 1.800	0.003717	0.003717	0.023	0.046	1.394	-0.307
7	0.30	1.00, 1.800	0.003717	0.003717	0.033	0.055	2.007	-0.442
8	0.35	1.00, 1.800	0.003717	0.003717	0.045	0.064	2.731	-0.601
9	0.40	1.00, 1.800	0.003717	0.003717	0.059	0.073	3.567	-0.785

PV_D_SR_AP_MU_3_C_016-_001_N_001_R_A_0

Muro prefabbricato – MU.3C.016.N – Relazione di Calcolo

10	0.45	1.00, 1.800.0037170.003717	0.075	0.083	4.513	-0.993
11	0.50	1.00, 1.800.0037170.003717	0.092	0.092	5.571	-1.226

Fondazione di monte

(L'ascissa X, espressa in [m], è positiva verso valle con origine in corrispondenza dell'estremo libero della fondazione di monte)

Nr.	X	B, H	A _{fs}	A _{fi}	σ _c	τ _c	σ _{fi}	σ _{fs}
1	0.00	1.00, 1.800.0037170.003717			0.000	0.000	0.000	0.000
2	0.83	1.00, 1.800.0037170.003717			0.026	-0.014	-0.346	1.575
3	1.67	1.00, 1.800.0037170.003717			0.089	-0.022	-1.188	5.399
4	2.50	1.00, 1.800.0037170.003717			0.168	-0.023	-2.226	10.120
5	3.34	1.00, 1.800.0037170.003717			0.238	-0.018	-3.165	14.386
6	4.17	1.00, 1.800.0042470.003717			0.266	-0.005	-3.560	14.802
7	5.01	1.00, 1.800.0042470.003717			0.255	0.013	-3.413	14.188
8	5.84	1.00, 1.800.0042470.003717			0.173	0.039	-2.312	9.612
9	6.68	1.00, 1.800.0058400.003717			0.002	0.071	0.129	-0.026
10	7.51	1.00, 1.800.0058400.003717			0.281	0.110	18.278	-3.702
11	8.35	1.00, 1.800.0053090.003717			0.702	0.153	44.821	-9.265

Verifiche a fessurazioneCombinazione n° 19

L'ordinata Y (espressa in [m]) è considerata positiva verso il basso con origine in testa al muro

A_{fs} area di armatura in corrispondenza del lembo di monte in [mq]

A_{fi} area di armatura in corrispondenza del lembo di valle in [mq]

M_{pf} Momento di prima fessurazione espressa in [kNm]

M Momento agente nella sezione espressa in [kNm]

ε_m deformazione media espressa in [%]

S_m Distanza media tra le fessure espressa in [mm]

w Apertura media della fessura espressa in [mm]

Verifica fessurazione paramento

N°	Y	A _{fs}	A _{fi}	M _{pf}	M	ε _m	S _m	w
1	0.00	0.003660	0.001005	-78.08	-6.00	0.0000	0.00	0.000
2	0.55	0.003660	0.001005	-78.08	-11.78	0.0000	0.00	0.000
3	1.10	0.003660	0.001005	-78.08	-31.45	0.0000	0.00	0.000
4	1.65	0.003660	0.001005	-78.08	-59.04	0.0000	0.00	0.000
5	2.20	0.003660	0.001005	-78.08	-87.35	0.0154	103.47	0.027
6	2.75	0.003660	0.001005	-78.08	-117.56	0.0263	103.47	0.046
7	3.30	0.003660	0.001005	-78.08	-151.27	0.0387	103.47	0.068
8	3.85	0.007320	0.001005	-93.83	-190.06	0.0262	78.61	0.035
9	4.40	0.007320	0.003660	-96.76	-235.10	0.0327	78.61	0.044
10	4.95	0.004665	0.003660	-85.05	-287.36	0.0646	90.39	0.099
11	5.50	0.003660	0.002655	-79.67	-347.98	0.1018	103.47	0.179
12	5.50	0.005309	0.002655	-304.66	-339.32	0.0173	93.15	0.027
13	6.05	0.005309	0.002655	-304.66	-409.13	0.0214	93.15	0.034
14	6.60	0.005309	0.002655	-304.66	-488.92	0.0313	93.15	0.050
15	7.15	0.005309	0.002655	-304.66	-579.14	0.0418	93.15	0.066
16	7.70	0.005309	0.002655	-304.66	-680.44	0.0530	93.15	0.084
17	8.25	0.005309	0.002655	-304.66	-793.44	0.0651	93.15	0.103
18	8.80	0.005309	0.002655	-304.66	-918.56	0.0782	93.15	0.124
19	9.35	0.006371	0.003186	-316.76	-1056.14	0.0772	85.46	0.112
20	9.90	0.006371	0.003186	-316.76	-1206.62	0.0902	85.46	0.131
21	10.45	0.007433	0.002655	-326.14	-1370.34	0.0906	80.04	0.123
22	11.00	0.007964	0.002655	-331.50	-1547.53	0.0972	77.90	0.129

Verifica fessurazione fondazione

N°	Y	A _{fs}	A _{fi}	M _{pf}	M	ε _m	S _m	w
1	-1.00	0.003717	0.003717	-881.78	0.00	0.0000	0.00	0.000
2	-0.95	0.003717	0.003717	881.78	0.34	0.0000	0.00	0.000
3	-0.90	0.003717	0.003717	881.78	1.38	0.0000	0.00	0.000
4	-0.85	0.003717	0.003717	881.78	3.10	0.0000	0.00	0.000
5	-0.80	0.003717	0.003717	881.78	5.51	0.0000	0.00	0.000

PV_D_SR_AP_MU_3_C_016-_001_N_001_R_A_0

Muro prefabbricato – MU.3C.016.N – Relazione di Calcolo

6	-0.75	0.003717	0.003717	881.78	8.60	0.0000	0.00	0.000
7	-0.70	0.003717	0.003717	881.78	12.38	0.0000	0.00	0.000
8	-0.65	0.003717	0.003717	881.78	16.85	0.0000	0.00	0.000
9	-0.60	0.003717	0.003717	881.78	22.01	0.0000	0.00	0.000
10	-0.55	0.003717	0.003717	881.78	27.85	0.0000	0.00	0.000
11	-0.50	0.003717	0.003717	881.78	34.37	0.0000	0.00	0.000
12	0.50	0.005309	0.003717	889.28	278.12	0.0000	0.00	0.000
13	1.33	0.005840	0.003717	891.74	113.60	0.0000	0.00	0.000
14	2.17	0.005840	0.003717	891.74	0.80	0.0000	0.00	0.000
15	3.00	0.004247	0.003717	-892.09	-67.50	0.0000	0.00	0.000
16	3.84	0.004247	0.003717	-892.09	-99.63	0.0000	0.00	0.000
17	4.67	0.004247	0.003717	-892.09	-103.94	0.0000	0.00	0.000
18	5.51	0.003717	0.003717	-881.78	-88.76	0.0000	0.00	0.000
19	6.34	0.003717	0.003717	-881.78	-62.44	0.0000	0.00	0.000
20	7.18	0.003717	0.003717	-881.78	-33.31	0.0000	0.00	0.000
21	8.02	0.003717	0.003717	-881.78	-9.72	0.0000	0.00	0.000
22	8.85	0.003717	0.003717	-881.78	0.00	0.0000	0.00	0.000